

Prüfbericht

WICO 047FB222-01

29.06.2022

Ermittlung des Schattenwurfs von Windenergieanlagen (WEA)

nach WEA-Schattenwurf-Hinweise des LAI

Prüfobjekt: 6 WEA des Typs Nordex N149/5.X als Zusatzbelastung

Standort: Wussentin, Mecklenburg-Vorpommern

Projekt

Titel:

Ermittlung des Schattenwurfs von Windenergieanlagen (WEA)

Standort:

Wussentin, Mecklenburg-Vorpommern

Aufgabenstellung:

Ermittlung des Schattenwurfs durch Windenergieanlagen (WEA) nach den WEA-Schattenwurf-Hinweisen des LAI /10/ in Verbindung mit den Festlegungen der Prüfanweisung QMP-12 /11/ der WIND-consult GmbH.

Prüfobjekt:

6 x WEA des Typs Nordex N149/5.X als Zusatzbelastung

Referenzdokumente (Bezugsquellen):

keine

Standard:

WEA-Schattenwurf-Hinweisen des LAI /10/

Auftrag

Auftraggeber:

Wusstentiner Wind GmbH & Co. KG, Gut Möhlhorst, 24357 Fleckeby

Auftragnehmer:

WIND-consult GmbH, Reuterstraße 9, 18211 Bargeshagen, Deutschland

Auftragsnummer:

WICO 047FB222

Auftragserteilung:

15.02.2022

Auftragsbestätigung:

17.02.2022

Bearbeitung:



C. Hoffmann M.Eng.

Prüfingenieur

(Dieser Prüfbericht wurde elektronisch unterschrieben.)

Prüfung:



T. Torkler M.Sc.

Prüfingenieur

Freigabe:



Dipl.-Ing. J. Schwabe

Geschäftsleitung

Dieser Prüfbericht darf nur mit schriftlicher Zustimmung der WIND-consult GmbH auszugsweise vervielfältigt und genutzt werden. Die Ergebnisse beziehen sich ausschließlich auf das Mess- / Prüfobjekt.

Inhalt

1 EINFÜHRUNG	4
1.1 AUFGABENSTELLUNG	4
1.2 VERWENDETE NORMEN UND RICHTLINIEN	4
2 METHODE DER BERECHNUNG UND BEURTEILUNG	5
2.1 MATHEMATISCH-PHYSIKALISCHE GRUNDLAGEN ZUM SCHATTENWURF	5
2.2 METHODE DER PROGNOSEUNSIKERHEIT	6
2.3 TABELLARISCHE DARSTELLUNG DER ERGEBNISSE	6
2.4 GRAPHISCHE DARSTELLUNG DES GANZJÄHRIGEN SCHATTENVERLAUFS VON WEA	6
3 STANDORT- UND PROJEKTBE SCHREIBUNG	8
4 EINGANGSDATEN FÜR DIE BERECHNUNG	10
4.1 PARAMETER DER IMMISSIONSORTE UND EMITTENTEN	10
4.2 KOORDINATENSYSTEM UND KOORDINATEN	15
4.3 MAXIMALER EINWIRKBEREICH DES SCHATTENWURFS VON WEA	15
5 ERGEBNISSE	36
5.1 ZEITDAUER DER BESCHATTUNG DER BETRACHTETEN IMMISSIONSORTE DURCH DIE WEA	36
5.2 SCHATTENFELD DER WEA	69
6 ABWEICHUNG ZU DEN RICHTLINIEN	74
7 ZUSAMMENFASSUNG	75
8 LITERATUR	76
9 ANHÄNGE	77
9.1 DETAILLIERTE ERGEBNISSE ZUR BESCHATTUNG	77
9.2 FOTODOKUMENTATION	270

1 Einführung

1.1 Aufgabenstellung

Die WIND-consult GmbH wurde von der Wussentiner Wind GmbH & Co. KG beauftragt, die Ermittlung des Schattenwurfs von Windenergieanlagen (WEA) nach den Vorgaben der WEA-Schattenwurf-Hinweise des LAI /10/ am Standort Wussentin, durchzuführen

Grundlage der erneuten Berechnung ist die Windparkkonfiguration aus dem Bericht WICO 054FB318-02 /12/ vom 29.11.2018, die bezüglich des WEA-Typs und den Koordinaten der WEA der Zusatzbelastung geändert wurde.

1.2 Verwendete Normen und Richtlinien

Die Hauptmethodik der Berechnungen folgt den WEA-Schattenwurf-Hinweisen Hinweise zur Ermittlung und Beurteilung der optischen Immissionen von Windenergieanlagen des Länderausschusses Immissionsschutz (LAI) /10/.

Die Abweichungen von Normen oder Richtlinien sind in Kapitel 6 erläutert.

2 Methode der Berechnung und Beurteilung

2.1 Mathematisch-physikalische Grundlagen zum Schattenwurf

Jeder undurchsichtige Körper erzeugt im Strahlengang einer Lichtquelle einen Schatten, dessen Konturen, denen der äußeren Umrandung des Körpers entsprechen. Dabei existiert bei einer realen flächenhaften Lichtquelle keine scharfe Schattengrenze, sondern zwischen dem vollkommen abgeschatteten und begrenzten Raum (Kernschatten) und dem beleuchteten besteht ein Übergangsgebiet (Halbschatten), in dem jeweils nur ein Teil der Lichtquelle abgeschattet wird.

Die entscheidende Besonderheit bei dem Schattenwurf durch eine Windenergieanlage (WEA) ist der bei Wind auftretende schnelle Wechsel von Licht und Schatten durch die sich bewegenden Rotorblätter. Dieser Effekt bewirkt selbst in größeren Entfernungen von der WEA, d.h. weit außerhalb des Kernschattengebiets (ca. 200 bis 300 m) eine spürbare Beeinträchtigung der Umgebung. Als vorläufiger Anhaltswert für diesen **maximalen Einwirkungsbereich** wurde durch den Arbeitskreis Schattenwurf ein Abstand zur WEA vereinbart, bei dem **20% der Sonnenkreisfläche** durch die mittlere Rotorblatttiefe bedeckt wird /6/, /8/. Bei einer mittleren Blatttiefe von 1,5 m beträgt diese Entfernung ca. 1020 m /7/.

Wird vom Hersteller keine Rotorblatttiefe angegeben, findet eine fiktive leistungsabhängige mittlere Blatttiefe zur Ermittlung des maximalen Einwirkungsbereiches Berücksichtigung (500 kW bis < 1000 kW: 1,5 m; ≥ 1000 kW: 2,0 m).

In den folgenden Untersuchungen wird deshalb keine Unterscheidung zwischen Halb- und Kernschatten getroffen. Der statische Schatten des Turms oder des Rotors bei Windstille wirkt genauso wenig belästigend wie bei jedem anderen vergleichbaren Bauwerk.

Die Berechnung der **astronomisch möglichen Beschattungsdauer** (Annahme: Durchgehender Sonnenschein von Sonnenaufgang (SA) bis Sonnenuntergang (SU), d. h. keine Berücksichtigung von Bewölkung und Lufttrübung) eines Immissionsortes durch die Rotorblätter einer WEA erfolgt auf der Grundlage allgemein bekannter sphärisch-trigonometrischer Beziehungen zum tages- und jahreszeitlichen Sonnenstand (DIN 5034 /2/) und der Gesetze der ebenen Geometrie. Die WEA-Rotorfläche wird dabei als Kreisfläche senkrecht zur Verbindungsgeraden Immissionsort – WEA-Turm und damit senkrecht zur Sonnenscheinrichtung und der Immissionsort als ein Punkt in einer bestimmten vereinbarten Höhe über Grund (2,0 m) betrachtet. Die Beschattungsdauer an einem beliebigen Tag ist dann die Zeit, in der sich die Sonne vom Immissionsort aus gesehen hinter der Rotorfläche befindet. Sie wird schrittweise in 2-Minuten-Intervallen aus dem momentanen Höhenwinkel und dem Azimutwinkel der Sonne für alle Tage eines vorher ermittelten maximalen Jahreszeitraums berechnet.

Eine entscheidende Ausgangsgröße ist dabei die scheinbare Niveauhöhe der Sonne H_{RP} innerhalb der Rotorkreisfläche bezüglich der Niveauhöhe H_{IP} des Immissionspunktes im horizontalen Abstand L_{RI} dieses Punktes von der Rotorfläche bei dem momentanen Höhenwinkel h_s der Sonne:

$$H_{RP} = H_{IP} + L_{RI} \cdot \tan h_s \quad 2.1$$

Als ein vorläufiger Richtwert wird bei den Schattenberechnungen eine minimale Sonnenhöhe von 3,0 ° festgelegt, ab der die Berechnungen schrittweise beginnen.

Eine weitere hier berechnete Größe ist die **wahrscheinliche Beschattungsdauer**. Sie ergibt sich aus der astronomischen Beschattungsdauer und langjährig gemittelten, regionalen, monatlichen Klimadaten zur Sonnenscheindauer und Windrichtungsverteilung (/1/, /5/) sowie einem Ansatz von BEHR /3/ zur Ermittlung der wirksamen Rotorfläche. Die wahrscheinliche Beschattungsdauer ist für die praktische Bewertung wichtig und liegt im Allgemeinen erheblich, insbesondere in den frühen Vormittags- oder späten Nachmittagsstunden bis zu einer Größenordnung unter der astronomischen Beschattungsdauer.

2.2 Methode der Prognoseunsicherheit

Zur Ermittlung bzw. Anwendung von Unsicherheiten werden nach /10/ keine Angaben gemacht. Das Berechnungsmodell nach /10/ basiert auf einer rein geometrischen Berechnung unter Ansatz eines worst-case Szenarios.

Abschließend ist darauf zu verweisen, dass aufgrund notwendig vereinfachender physikalisch-mathematischer Annahmen und methodischer Vorgaben in /10/ Unsicherheiten der Berechnung z. B. bezüglich der tageszeitlichen Zuordnung von ca. 1,0 Minuten und der jährlichen astronomischen Beschattungsdauer von ca. 0,5 h/a auftreten können. Die Ermittlung zusätzlicher Beschattungen der Immissionsorte durch andere Hindernisse ist nicht Gegenstand der Berechnungen.

2.3 Tabellarische Darstellung der Ergebnisse

Die quantitativen Ergebnisse der schrittweisen Berechnung des Schattenverlaufs der WEA an den jeweiligen Immissionsorten werden in den Tabellen in Anhang 9.1 zusammenfassend dargestellt. Sie beinhalten neben den wichtigsten Eingangsgrößen und Parametern des Immissionsortes und der beschattenden WEA die jährliche astronomische Beschattungsdauer, die gesamte wahrscheinliche Beschattungsdauer eines Immissionsortes, die Anzahl der Beschattungstage und den jahres- und tageszeitlichen Beschattungszeitraum. Der Kalender der Beschattungszeiten für die Immissionsorte im Einwirkungsbereich der zu beurteilenden WEA, an denen es zu einer Überschreitung der Richtwerte kommt, kann bei Bedarf angefordert werden. Er beinhaltet im Tabellenkopf die zusammengefassten Ergebniswerte und darunter folgend für jeden Tag, an dem Beschattung des jeweiligen Immissionsortes auftritt, die Uhrzeit für Beginn und Ende der Beschattung (die angegebenen Zeiten für den Beginn sind die Zeiten zu der die jeweilige WEA den Immissionsort noch nicht beschattet, die angegebenen Zeiten für das Ende sind die Zeiten zu der die jeweilige WEA den Immissionsort nicht mehr beschattet), die tägliche astronomische und wahrscheinliche Beschattungsdauer und schließlich die beschattenden WEA an dem Tag. Die Beschattungskalender erlauben u.a. detaillierte Entscheidungen zu den notwendigen Abschaltzeiten ausgewählter WEA an den jeweiligen Schattentagen.

Sämtliche Berechnungen und graphische Darstellungen erfolgen mit Hilfe eines von der WIND-consult GmbH entwickelten internen Programms SHADOW /9/.

Als Richtwert für die zulässige **astronomische Beschattungsdauer** wurde ein Wert von maximal 30 Stunden pro Jahr und maximal 30 Minuten pro Tag als Summe aus allen einen Immissionsort beschattenden WEA eines Windparks vereinbart /10/.

2.4 Graphische Darstellung des ganzjährigen Schattenverlaufs von WEA

Für eine umfassende Bewertung des Schattenwurfs von WEA an dessen Standort ist eine flächenhafte Darstellung der Verteilung der jährlichen astronomischen Beschattungsdauer in der gesamten Umgebung der WEA sinnvoll. Das gilt insbesondere für Windparks. Eine derartige Darstellung als Schattenfeld gibt einerseits einen schnellen Überblick über Größe und Aussehen der Fläche, die wesentlich von Schattenwurf der WEA betroffen ist. Andererseits erlaubt sie eine erste Beurteilung weiterer oder künftiger Immissionsorte hinsichtlich einer möglichen Beschattung durch die WEA.

Zu diesem Zweck werden in einer hinreichend großen Umgebung des Windparks die Stundensummen der jährlichen astronomischen Beschattungsdauer durch die Gesamtheit aller WEA in geeigneten Schrittweiten rasterförmig ermittelt und diese Werte anschließend in einem Feld den jeweiligen geometrischen Orten zugeordnet. Für eine exakte Ermittlung dieses Schattenfeldes ist eine topologische Karte des Gebietes mit digitalisierter Höhenverteilung erforderlich. Da diese häufig nicht vorliegt, wird mit einer mittleren, repräsentativen oder einer grob gestaffelten Niveauhöhe gerechnet. Durch eine zweckmäßige Klassierung der Werte der jährlichen Beschattungsdauer und deren Markierung erhält man Flächen gleicher Grenzbereiche der Beschattungsdauer durch die Gesamtheit aller WEA. Ein so berechnetes Schattenfeld zeigen Abbildung 5.1 und Abbildung 5..

Mögliche Immissionsorte, die innerhalb des ersten Schattenbereichs ($< 3,0$ h/a) liegen, werden überhaupt nicht oder extrem geringfügig beschattet, so dass sich eine detaillierte Schattenanalyse (Schattengutachten) für solche Orte erübrigt. Immissionsorte, die sich innerhalb des zweiten Schattenbereichs ($3,0$ h/a bis $30,0$ h/a) befinden, werden grundsätzlich durch eine oder mehrere WEA beschattet, jedoch unterhalb des kritischen Richtwerts von $30,0$ h/a. Eine detaillierte Schattenanalyse empfiehlt sich insbesondere dann, wenn sich solche Immissionsorte nahe am dritten Schattenbereich ($> 30,0$ h/a) befinden. Immissionsorte im dritten Schattenbereich ($> 30,0$ h/a) werden so stark beschattet, dass auf der Grundlage einer notwendigen detaillierten Schattenanalyse Maßnahmen zur Reduzierung der Beschattungsdauer getroffen werden müssen.

Eine derartige graphische Darstellung erlaubt auch eine grobe tages- und jahreszeitliche Zuordnung der Werte: Punkte links (westlich) der jeweiligen WEA werden vormittags und solche rechts (östlich) davon nachmittags beschattet. Punkte oberhalb (nördlich) der jeweiligen WEA werden im Winterhalbjahr und solche unterhalb (südlich) davon im Sommerhalbjahr beschattet.

Grundsätzlich ersetzt die Darstellung des Schattenfeldes jedoch keine detaillierte Schattenanalyse an einem bestimmten Immissionsort. Es ist keine genaue zeitliche Ermittlung der Beschattungsdauer möglich, und aufgrund der Unsicherheiten allein von Rasterung und Orographie liegt die Gesamtunsicherheit insbesondere in der Nähe des dritten Schattenbereichs ($> 30,0$ h/a) bei ca. $5,0$ h/a bzw. 5 min/d.

3 Standort- und Projektbeschreibung

Der zu untersuchende Windpark Wussentin befindet sich ca. 1,2 km östlich des Ortes Wussentin. Östlich des Windparks verläuft die Ortsverbindungsstraße Medow-Stolpe an der Peene in einer Entfernung von ca. 1,2 km, nördlich verläuft die Bundesstraße B110 in einer Entfernung von ca. 1,1 km. Die nächstgelegenen Ortschaften sind Medow und Brenkenhof südlich, sowie Dersewitz und Grüttow nördlich der WEA. Die betroffenen Gemeinden liegen auf dem Gebiet des Landkreises Vorpommern-Greifswald.

Das Gelände am Standort des Windparks ist eben. Die Höhe über Normalnull (Höhe ü. NN) im Planungsbereich liegt bei ca. 10 m ü. NN. Immissionsrelevante Hindernisse sind, bis auf vereinzelte Baumgruppen innerhalb der Freiflächen und Baumreihen im Bereich der Ortschaften sowie im Verlauf umliegender Straßen, nicht vorhanden.

Die durch Schattenwurf möglicherweise betroffenen Immissionsorte (IO) wurden im Rahmen einer Standortbesichtigung ermittelt.

Die betrachteten Immissionsorte für Schattenwurf sind Abbildung 3.1 und Tabelle 4.1 zu entnehmen.

Nach den Informationen des Staatlichen Amtes für Landwirtschaft und Umwelt Vorpommern sind 15 WEA als Vorbelastung zu berücksichtigen.

Es handelt sich hierbei um eine WEA des Typs Enercon E66/18.70 mit einer Nabenhöhe von 98 m, vier WEA des Typs Enronwind EW 1.5s mit einer Nabenhöhe von 65 m, eine WEA des Typs Enronwind EW 1.5sl mit einer Nabenhöhe von 85 m, eine WEA des Typs Nordex N90 mit einer Nabenhöhe von 80 m und acht WEA des Typs Vestas V90-2.0 MW mit einer Nabenhöhe von 95 m.

Bei den zu beurteilenden (geplanten) sechs WEA, WEA ZB01 bis WEA ZB06, handelt es sich um WEA des Typs Nordex N149/5.X mit einer Nabenhöhe von 164 m.

Die Parameter und Koordinaten der betreffenden WEA sind Tabelle 4.2 zu entnehmen.

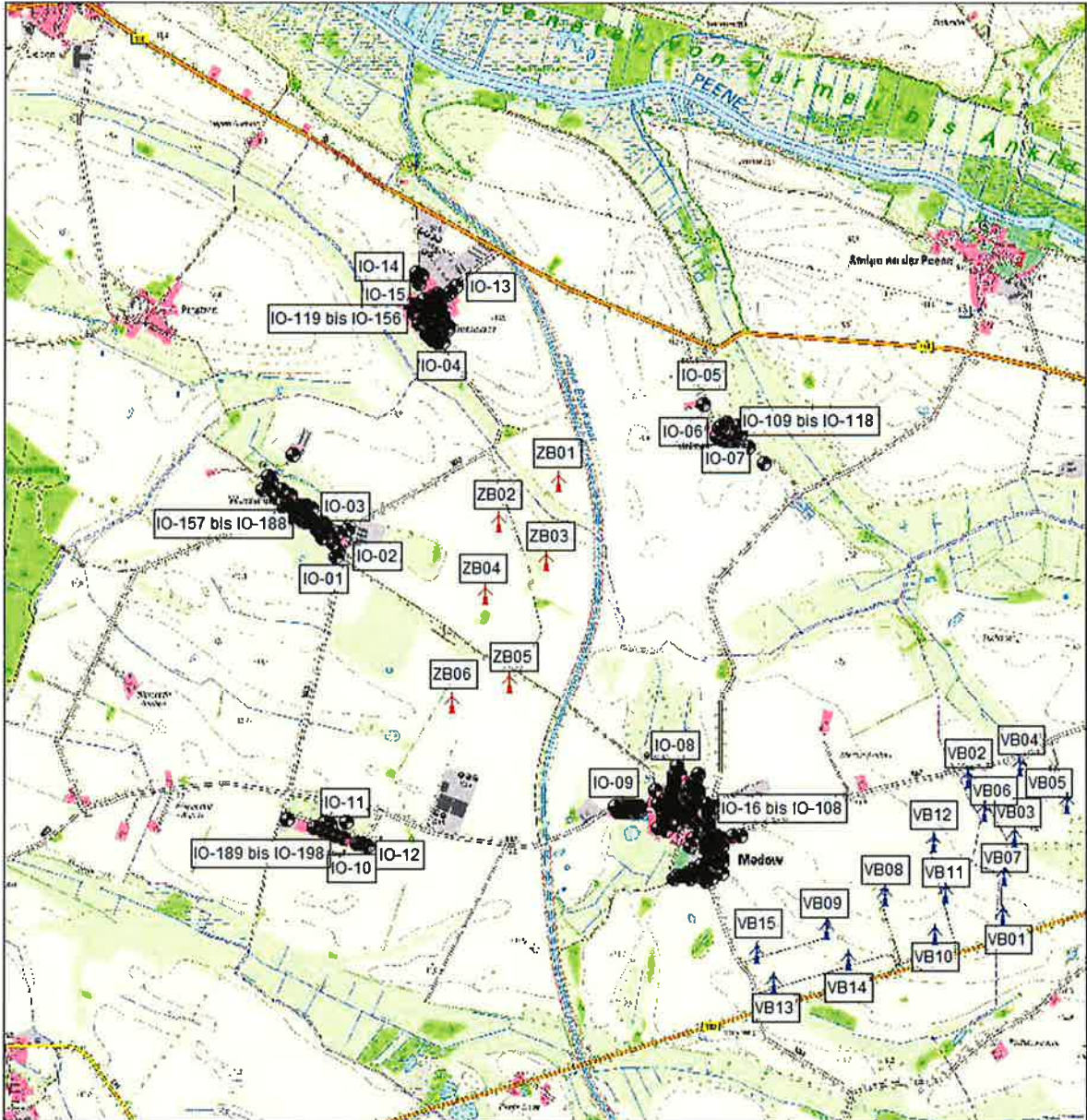


Abbildung 3.1: Lageplan Wussentin

4 Eingangsdaten für die Berechnung

4.1 Parameter der Immissionsorte und Emittenten

Tabelle 4.1: Standortparameter und Koordinaten der Immissionsorte

Parameter der Immissionsorte				
Bezeichnung	Nummer	x-Koordinate in Meter	y-Koordinate in Meter	z-Koordinate in Meter
Wussentin 25a, Wussentin	IO-01	33.401.048	5.968.328	11,6
Wussentin 25, Wussentin	IO-02	33.401.082	5.968.352	11,5
Wussentin 24, Wussentin	IO-03	33.401.133	5.968.498	10,6
Dersewitz 19, Dersewitz	IO-04	33.401.749	5.969.723	13,6
Grüttow 1, Grüttow	IO-05	33.403.446	5.969.326	7,5
Grüttow 3, Grüttow	IO-06	33.403.549	5.969.113	7,5
Grüttow 4, Grüttow	IO-07	33.403.572	5.969.084	7,5
Mühlenstraße 17, Medow	IO-08	33.403.270	5.966.951	10,0
Hauptstraße 44, Medow	IO-09	33.402.878	5.966.692	10,0
Brenkenhof 3, Brenkenhof	IO-10	33.401.240	5.966.453	11,7
Brenkenhof 12, Brenkenhof	IO-11	33.401.119	5.966.583	12,0
Brenkenhof 1, Brenkenhof	IO-12	33.401.271	5.966.429	11,6
Dersewitz 1, Dersewitz	IO-13	33.401.844	5.970.080	15,6
Dersewitz 31, Dersewitz	IO-14	33.401.585	5.970.184	15,0
Dersewitz 32, Dersewitz	IO-15	33.401.624	5.970.161	15,0
Stolper Straße 5, Medow	IO-16	33.403.466	5.966.720	11,7
Stolper Straße 2, Medow	IO-17	33.403.493	5.966.588	12,5
Tramstower Straße 6, Medow	IO-18	33.403.693	5.966.502	12,5
Tramstower Straße 4, Medow	IO-19	33.403.644	5.966.496	12,5
Pappelallee 1, Medow	IO-20	33.403.577	5.966.489	12,5
Pappelallee 3, Medow	IO-21	33.403.576	5.966.423	12,5
Pappelallee 5, Medow	IO-22	33.403.576	5.966.367	12,5
Pappelallee 7, Medow	IO-23	33.403.575	5.966.335	12,5
Pappelallee 11, Medow	IO-24	33.403.574	5.966.260	12,4
Hauptstraße 2, Medow	IO-25	33.403.499	5.966.227	12,0
Hauptstraße 1, Medow	IO-26	33.403.466	5.966.204	11,7
Hauptstraße 3, Medow	IO-27	33.403.450	5.966.251	11,6
Zur Weidenschule 1, Medow	IO-28	33.403.409	5.966.242	11,4
Zur Weidenschule 3, Medow	IO-29	33.403.358	5.966.224	11,1
Zur Weidenschule 10, Medow	IO-30	33.403.269	5.966.229	10,5
Zur Weidenschule 8, Medow	IO-31	33.403.286	5.966.234	10,6
Zur Weidenschule 6, Medow	IO-32	33.403.314	5.966.244	10,7
Zur Weidenschule 4, Medow	IO-33	33.403.345	5.966.255	10,9
Zur Weidenschule 2, Medow	IO-34	33.403.386	5.966.274	11,2
Hauptstraße 5, Medow	IO-35	33.403.432	5.966.307	11,5
Hauptstraße 6a, Medow	IO-36	33.403.470	5.966.314	11,9
Hauptstraße 6b, Medow	IO-37	33.403.488	5.966.319	12,0
Pappelallee 10, Medow	IO-38	33.403.543	5.966.329	12,5
Pappelallee 8, Medow	IO-39	33.403.512	5.966.392	12,5
Pappelallee 6, Medow	IO-40	33.403.545	5.966.415	12,5
Pappelallee 4, Medow	IO-41	33.403.545	5.966.437	12,5
Pappelallee 2, Medow	IO-42	33.403.546	5.966.463	12,5
Tramstower Straße 2, Medow	IO-43	33.403.545	5.966.503	12,5
Hauptstraße 14, Medow	IO-44	33.403.487	5.966.510	12,5
Hauptstraße 10, Medow	IO-45	33.403.477	5.966.455	12,5
Hauptstraße 8, Medow	IO-46	33.403.465	5.966.412	12,4
Hauptstraße 13, Medow	IO-47	33.403.467	5.966.479	12,5
Hauptstraße 16, Medow	IO-48	33.403.481	5.966.561	12,5
Stolper Straße 1, Medow	IO-49	33.403.484	5.966.648	12,2
Stolper Straße 3, Medow	IO-50	33.403.490	5.966.673	12,1

Bezeichnung	Nummer	x-Koordinate in Meter	y-Koordinate in Meter	z-Koordinate in Meter
Stolper Straße 4, Medow	IO-51	33.403.520	5.966.702	12,2
Gutshof 5, Medow	IO-52	33.403.361	5.966.429	11,3
Gutshof 3, Medow	IO-53	33.403.386	5.966.481	11,8
Gutshof 8, Medow	IO-54	33.403.279	5.966.571	10,0
Gutshof 17, Medow	IO-55	33.403.210	5.966.532	10,0
Gutshof 16, Medow	IO-56	33.403.150	5.966.553	10,0
Gutshof 14, Medow	IO-57	33.403.184	5.966.589	10,0
Hauptstraße 19, Medow	IO-58	33.403.183	5.966.645	10,0
Hauptstraße 25b, Medow	IO-59	33.403.037	5.966.659	10,0
Hauptstraße 25a, Medow	IO-60	33.403.024	5.966.658	10,0
Hauptstraße 31, Medow	IO-61	33.402.964	5.966.659	10,0
Hauptstraße 33, Medow	IO-62	33.402.948	5.966.659	10,0
Hauptstraße 35, Medow	IO-63	33.402.921	5.966.660	10,0
Hauptstraße 37, Medow	IO-64	33.402.885	5.966.655	10,0
Hauptstraße 42, Medow	IO-65	33.402.928	5.966.695	10,0
Hauptstraße 40, Medow	IO-66	33.402.969	5.966.689	10,0
Hauptstraße 38, Medow	IO-67	33.402.987	5.966.688	10,0
Hauptstraße 36, Medow	IO-68	33.403.020	5.966.688	10,0
Hauptstraße 34, Medow	IO-69	33.403.032	5.966.690	10,0
Hauptstraße 30, Medow	IO-70	33.403.148	5.966.708	10,0
Hauptstraße 28, Medow	IO-71	33.403.184	5.966.693	10,0
Mühlenstraße 1a, Medow	IO-72	33.403.223	5.966.722	10,0
Mühlenstraße 1b, Medow	IO-73	33.403.220	5.966.709	10,0
Mühlenstraße 1c, Medow	IO-74	33.403.217	5.966.695	10,0
Gartenlaube a, Medow	IO-75	33.403.188	5.966.733	10,0
Mühlenstraße 5, Medow	IO-76	33.403.244	5.966.771	10,0
Mühlenstraße 7, Medow	IO-77	33.403.245	5.966.793	10,0
Mühlenstraße 9, Medow	IO-78	33.403.259	5.966.820	10,0
Mühlenstraße 11, Medow	IO-79	33.403.262	5.966.849	10,0
Mühlenstraße 13, Medow	IO-80	33.403.268	5.966.883	10,0
Mühlenstraße 15, Medow	IO-81	33.403.263	5.966.899	10,0
Mühlenstraße 10, Medow	IO-82	33.403.294	5.966.896	10,0
Mühlenstraße 6, Medow	IO-83	33.403.272	5.966.775	10,0
Mühlenstraße 2, Medow	IO-84	33.403.257	5.966.720	10,0
Gartenlaube b, Medow	IO-85	33.403.138	5.966.791	10,0
Hauptstraße 26, Medow	IO-86	33.403.247	5.966.686	10,0
Hauptstraße 17, Medow	IO-87	33.403.244	5.966.651	10,0
Hauptstraße 24, Medow	IO-88	33.403.297	5.966.664	10,0
Hauptstraße 22, Medow	IO-89	33.403.314	5.966.660	10,1
Kirchstraße 1, Medow	IO-90	33.403.336	5.966.653	10,5
Kirchstraße 3, Medow	IO-91	33.403.342	5.966.666	10,5
Kirchstraße 5, Medow	IO-92	33.403.348	5.966.699	10,4
Kirchstraße 7, Medow	IO-93	33.403.344	5.966.772	10,3
Kirchstraße 11, Medow	IO-94	33.403.385	5.966.845	10,4
Kirchstraße 13, Medow	IO-95	33.403.407	5.966.872	10,5
Kirchstraße 15, Medow	IO-96	33.403.416	5.966.900	10,4
Kirchstraße 16, Medow	IO-97	33.403.416	5.966.802	10,9
Kirchstraße 14, Medow	IO-98	33.403.413	5.966.793	10,9
Kirchstraße 9, Medow	IO-99	33.403.374	5.966.809	10,5
Kirchstraße 12, Medow	IO-100	33.403.414	5.966.758	11,1

Parameter der Immissionsorte				
Bezeichnung	Nummer	x-Koordinate in Meter	y-Koordinate in Meter	z-Koordinate in Meter
Kirchstraße 10, Medow	IO-101	33.403.396	5.966.731	11,0
Kirchstraße 8, Medow	IO-102	33.403.380	5.966.694	10,8
Kirchstraße 6, Medow	IO-103	33.403.373	5.966.666	10,9
Kirchstraße 4, Medow	IO-104	33.403.362	5.966.636	10,9
Kirchstraße 2, Medow	IO-105	33.403.355	5.966.620	10,9
Hauptstraße 15, Medow	IO-106	33.403.301	5.966.633	10,0
Hauptstraße 20, Medow	IO-107	33.403.400	5.966.584	11,7
Hauptstraße 18, Medow	IO-108	33.403.426	5.966.580	12,1
Grüttow 7, Grüttow	IO-109	33.403.850	5.968.941	5,7
Grüttow 6, Grüttow	IO-110	33.403.652	5.969.041	7,5
Grüttow 5, Grüttow	IO-111	33.403.606	5.969.065	7,5
Grüttow 2, Grüttow	IO-112	33.403.556	5.969.168	7,5
Grüttow 12, Grüttow	IO-113	33.403.568	5.969.187	7,5
Grüttow 11, Grüttow	IO-114	33.403.614	5.969.203	7,5
Grüttow 10, Grüttow	IO-115	33.403.680	5.969.174	7,5
Kirche, Grüttow	IO-116	33.403.656	5.969.108	7,5
Grüttow 9, Grüttow	IO-117	33.403.705	5.969.122	7,5
Grüttow 8, Grüttow	IO-118	33.403.755	5.969.045	6,6
Dersewitz 2, Dersewitz	IO-119	33.401.810	5.970.054	15,5
Dersewitz 3, Dersewitz	IO-120	33.401.789	5.970.039	15,4
Dersewitz 4, Dersewitz	IO-121	33.401.746	5.970.009	15,3
Dersewitz 5, Dersewitz	IO-122	33.401.723	5.969.993	15,2
Dersewitz 6, Dersewitz	IO-123	33.401.733	5.969.941	15,2
Dersewitz 7, Dersewitz	IO-124	33.401.742	5.969.922	15,3
Dersewitz 8, Dersewitz	IO-125	33.401.755	5.969.899	15,3
Dersewitz 9, Dersewitz	IO-126	33.401.764	5.969.881	15,4
Dersewitz 42, Dersewitz	IO-127	33.401.778	5.969.845	15,3
Dersewitz 40, Dersewitz	IO-128	33.401.790	5.969.822	15,3
Dersewitz 41, Dersewitz	IO-129	33.401.798	5.969.803	15,2
Dersewitz 20, Dersewitz	IO-130	33.401.714	5.969.718	12,8
Dersewitz 21, Dersewitz	IO-131	33.401.681	5.969.745	12,5
Dersewitz 22, Dersewitz	IO-132	33.401.671	5.969.757	12,4
Dersewitz 23, Dersewitz	IO-133	33.401.655	5.969.781	12,5
Dersewitz 24, Dersewitz	IO-134	33.401.651	5.969.795	12,7
Dersewitz 25, Dersewitz	IO-135	33.401.591	5.969.843	11,9
Dersewitz 34a, Dersewitz	IO-136	33.401.638	5.969.871	14,2
Dersewitz 34, Dersewitz	IO-137	33.401.621	5.969.954	15,0
Dersewitz 26, Dersewitz	IO-138	33.401.556	5.969.919	12,5
Dersewitz 27, Dersewitz	IO-139	33.401.546	5.969.957	13,1
Dersewitz 28, Dersewitz	IO-140	33.401.590	5.969.969	14,4
Dersewitz 29, Dersewitz	IO-141	33.401.594	5.970.106	15,0
Dersewitz 30, Dersewitz	IO-142	33.401.588	5.970.144	15,0
Dersewitz 33, Dersewitz	IO-143	33.401.642	5.970.002	15,0
Dersewitz 10, Dersewitz	IO-144	33.401.662	5.969.950	15,0
Dersewitz 35, Dersewitz	IO-145	33.401.684	5.970.007	15,1
Dersewitz 36, Dersewitz	IO-146	33.401.692	5.970.012	15,1
Dersewitz 37, Dersewitz	IO-147	33.401.713	5.970.028	15,2
Dersewitz 38, Dersewitz	IO-148	33.401.718	5.970.034	15,2
Dersewitz 11, Dersewitz	IO-149	33.401.659	5.969.907	15,0
Dersewitz 12, Dersewitz	IO-150	33.401.665	5.969.858	14,8

Bezeichnung	Nummer	x-Koordinate in Meter	y-Koordinate in Meter	z-Koordinate in Meter
Dersewitz 13, Dersewitz	IO-151	33.401.681	5.969.829	14,5
Dersewitz 14, Dersewitz	IO-152	33.401.684	5.969.817	14,3
Dersewitz 15, Dersewitz	IO-153	33.401.686	5.969.806	14,1
Dersewitz 17, Dersewitz	IO-154	33.401.676	5.969.794	13,6
Dersewitz 18, Dersewitz	IO-155	33.401.678	5.969.783	13,3
Dersewitz 16, Dersewitz	IO-156	33.401.712	5.969.778	14,0
Wussentin 23, Wussentin	IO-157	33.401.074	5.968.482	10,6
Wussentin 29, Wussentin	IO-158	33.401.003	5.968.471	10,9
Wussentin 26, Wussentin	IO-159	33.401.042	5.968.408	11,2
Wussentin 28, Wussentin	IO-160	33.400.970	5.968.447	11,1
Wussentin 30, Wussentin	IO-161	33.400.963	5.968.482	10,9
Wussentin 31, Wussentin	IO-162	33.400.939	5.968.504	10,8
Wussentin 32, Wussentin	IO-163	33.400.913	5.968.528	10,6
Wussentin 34, Wussentin	IO-164	33.400.902	5.968.541	10,6
Wussentin 1, Wussentin	IO-165	33.400.859	5.968.549	10,6
Wussentin 2, Wussentin	IO-166	33.400.837	5.968.561	10,6
Wussentin 3a, Wussentin	IO-167	33.400.799	5.968.577	10,7
Wussentin 3, Wussentin	IO-168	33.400.789	5.968.598	10,6
Wussentin 4, Wussentin	IO-169	33.400.767	5.968.587	10,7
Wussentin 5a, Wussentin	IO-170	33.400.770	5.968.632	10,5
Wussentin 6, Wussentin	IO-171	33.400.724	5.968.640	10,6
Wussentin 7, Wussentin	IO-172	33.400.734	5.968.674	10,4
Wussentin 7a, Wussentin	IO-173	33.400.680	5.968.712	10,3
Wussentin 8, Wussentin	IO-174	33.400.635	5.968.755	10,1
Wussentin 8b, Wussentin	IO-175	33.400.586	5.968.763	10,1
Wussentin 10, Wussentin	IO-176	33.400.626	5.968.844	10,0
Wussentin 11, Wussentin	IO-177	33.400.629	5.968.811	10,0
Wussentin 13, Wussentin	IO-178	33.400.714	5.968.751	10,1
Wussentin 14, Wussentin	IO-179	33.400.752	5.968.725	10,2
Wussentin 15, Wussentin	IO-180	33.400.808	5.968.655	10,3
Wussentin 17, Wussentin	IO-181	33.400.860	5.968.657	10,2
Wussentin 16, Wussentin	IO-182	33.400.828	5.968.652	10,3
Wussentin 18, Wussentin	IO-183	33.400.893	5.968.638	10,2
Wussentin 19, Wussentin	IO-184	33.400.883	5.968.579	10,4
Wussentin 22, Wussentin	IO-185	33.400.920	5.968.551	10,5
Wussentin 21, Wussentin	IO-186	33.400.976	5.968.552	10,5
Wussentin 20, Wussentin	IO-187	33.400.991	5.968.524	10,7
Wussentin 12, Wussentin	IO-188	33.400.782	5.968.992	10,0
Brenkenhof 10, Brenkenhof	IO-189	33.400.738	5.966.608	11,8
Brenkenhof 14, Brenkenhof	IO-190	33.400.988	5.966.590	11,8
Brenkenhof 13, Brenkenhof	IO-191	33.401.014	5.966.580	11,8
Brenkenhof 2, Brenkenhof	IO-192	33.401.215	5.966.455	11,7
Brenkenhof 4, Brenkenhof	IO-193	33.401.192	5.966.455	11,7
Brenkenhof 5 Brenkenhof	IO-194	33.401.108	5.966.491	11,7
Brenkenhof 6, Brenkenhof	IO-195	33.401.061	5.966.499	11,6
Brenkenhof 11, Brenkenhof	IO-196	33.401.014	5.966.514	11,6
Brenkenhof 15, Brenkenhof	IO-197	33.400.963	5.966.544	11,6
Brenkenhof 8, Brenkenhof	IO-198	33.400.914	5.966.560	11,6

Tabelle 4.2: Standortparameter und Koordinaten der WEA

Parameter der WEA									
Bezeichnung	Nummer	Anlagentyp	Naben- höhe in m	Rotor- durch- messer in m	Mittlere Blatt- tiefe in m	x-Koor- dinate in Meter	y-Koor- dinate in Meter	z-Koor- dinate in Meter	Maximale r Schatten- einwirk- bereich in m
WEA ZB01	A1	Nordex N149/5.X	164,0	149,0	2,680	33.402.487	5.968.812	10,0	1.825
WEA ZB02	A2	Nordex N149/5.X	164,0	149,0	2,680	33.402.128	5.968.554	10,0	1.825
WEA ZB03	A3	Nordex N149/5.X	164,0	149,0	2,680	33.402.404	5.968.300	10,0	1.825
WEA ZB04	A4	Nordex N149/5.X	164,0	149,0	2,680	33.402.045	5.968.084	10,2	1.825
WEA ZB05	A5	Nordex N149/5.X	164,0	149,0	2,680	33.402.248	5.967.470	10,8	1.825
WEA ZB06	A6	Nordex N149/5.X	164,0	149,0	2,680	33.401.891	5.967.486	11,6	1.825
WEA VB01	A9	ENERCON E66/18.70	98,0	70,0	2,130	33.405.408	5.965.981	13,9	1.451
WEA VB02	A10	Enronwind EW 1.5s	65,0	70,0	2,088	33.405.179	5.966.886	8,6	1.422
WEA VB03	A11	Enronwind EW 1.5s	65,0	70,0	2,088	33.405.485	5.966.494	9,8	1.422
WEA VB04	A12	Enronwind EW 1.5s	65,0	70,0	2,088	33.405.524	5.966.963	7,5	1.422
WEA VB05	A13	Enronwind EW 1.5s	65,0	70,0	2,088	33.405.834	5.966.715	7,7	1.422
WEA VB06	A14	Enronwind EW 1.5sl	85,0	77,0	1,976	33.405.284	5.966.666	9,2	1.346
WEA VB07	A15	Nordex N90	80,0	90,0	2,169	33.405.418	5.966.241	10,0	1.477
WEA VB08	A16	Vestas V90-2MW	95,0	90,0	2,214	33.404.635	5.966.116	12,9	1.508
WEA VB09	A17	Vestas V90-2MW	95,0	90,0	2,214	33.404.266	5.965.897	15,0	1.508
WEA VB10	A18	Vestas V90-2MW	95,0	90,0	2,214	33.404.960	5.965.858	15,0	1.508
WEA VB11	A19	Vestas V90-2MW	95,0	90,0	2,214	33.405.035	5.966.128	13,4	1.508
WEA VB12	A20	Vestas V90-2MW	95,0	90,0	2,214	33.404.956	5.966.458	10,3	1.508
WEA VB13	A21	Vestas V90-2MW	95,0	90,0	2,214	33.403.919	5.965.543	10,3	1.508
WEA VB14	A22	Vestas V90-2MW	95,0	90,0	2,214	33.404.401	5.965.688	13,5	1.508
WEA VB15	A23	Vestas V90-2MW	95,0	90,0	2,214	33.403.810	5.965.739	11,0	1.508

4.2 Koordinatensystem und Koordinaten

Für die Berechnungen wurden Koordinaten im Bezugssystem ETRS 89 mit UTM-Abbildung – 6°-Zonensystems, vorangestellte Zone 33 verwendet.

Die Bezugshöhe an den Immissionsorten beträgt unter Berücksichtigung der vorhandenen Bebauung jeweils 2 m über Grund.

4.3 Maximaler Einwirkungsbereich des Schattenwurfs von WEA

Mit den Ermittlungen des **maximalen Einwirkungsbereich des Schattenwurfs von WEA /6/, /7/, /8/** (vgl. Pkt. 1.1 und Tabelle 4.2) ist bereits aus den Entfernungsabständen der WEA zu den Immissionsorten vorab eine Selektion der zu betrachtenden WEA und Immissionsorte gegeben. Dazu sind in Tabelle 4.3 die Entfernungen der WEA zu den Immissionsorten innerhalb des Einwirkungsbereichs des Schattenwurfs der WEA dargestellt (schwarze Zahlen). Alle Entfernungen der nicht im Einwirkungsbereich der jeweiligen WEA befindlichen Immissionsorte werden als graue Zahlen dargestellt. Dabei wurde die azimutale Lage der WEA zu den Immissionsorten hier noch nicht berücksichtigt.

Tabelle 4.3: Entfernungen der WEA zu den Immissionsorten

WEA	IO	I1	I2	I3	I4	I5	I6	I7	I8	I9	I10
		IO-01 Wussentin 25a, Wussentin	IO-02 Wussentin 25, Wussentin	IO-03 Wussentin 24, Wussentin	IO-04 Dersewitz 19, Dersewitz	IO-05 Grüttow 1, Grüttow	IO-06 Grüttow 3, Grüttow	IO-07 Grüttow 4, Grüttow	IO-08 Mühlenstraße 17, Medow	IO-09 Hauptstraße 44, Medow	IO-10 Brenkenhof 3, Brenkenhof
WEA ZB01 Nordex N149/5.X		1518,2	1478,4	1389,9	1172,4	1088,1	1103,8	1118,6	2019,0	2155,8	2668,3
WEA ZB02 Nordex N149/5.X		1103,5	1065,4	996,6	1228,5	1527,2	1526,9	1538,1	1968,5	2007,7	2281,3
WEA ZB03 Nordex N149/5.X		1356,3	1323,0	1286,3	1566,5	1462,3	1404,3	1406,7	1603,0	1676,4	2183,2
WEA ZB04 Nordex N149/5.X		1026,5	999,7	1001,7	1665,9	1872,5	1822,6	1825,5	1668,3	1621,8	1818,5
WEA ZB05 Nordex N149/5.X		1475,2	1462,0	1516,6	2307,6	2209,1	2095,7	2087,6	1146,2	1001,1	1431,9
WEA ZB06 Nordex N149/5.X		1191,5	1185,1	1264,4	2241,5	2409,1	2322,9	2319,5	1479,1	1266,7	1221,0
WEA VB01 ENERCON E66/18.70		4951,6	4933,1	4960,9	5238,6	3877,9	3642,2	3605,5	2347,8	2628,0	4194,6
WEA VB02 Enronwind EW 1.5s		4375,4	4351,4	4355,3	4451,2	2992,8	2759,8	2722,8	1910,1	2309,2	3962,7
WEA VB03 Enronwind EW 1.5s		4801,1	4779,0	4791,2	4933,0	3489,7	3256,9	3219,9	2261,7	2614,5	4245,2
WEA VB04 Enronwind EW 1.5s		4679,5	4654,1	4651,6	4676,3	3148,7	2919,4	2882,5	2254,0	2659,8	4314,3
WEA VB05 Enronwind EW 1.5s		5050,6	5026,1	5027,8	5073,0	3538,3	3312,3	3275,5	2674,3	2956,1	4601,5
WEA VB06 Enronwind EW 1.5sl		4550,4	4527,6	4537,3	4673,5	3233,2	2999,7	2962,7	2034,1	2406,1	4049,6
WEA VB07 Nordex N90		4842,8	4822,6	4843,1	5058,2	3661,1	3426,5	3389,7	2262,3	2579,7	4183,4
WEA VB08 Vestas V90-2MW		4214,2	4199,0	4205,3	4619,5	3423,1	3167,0	3182,6	1850,1	1849,0	3411,7
WEA VB09 Vestas V90-2MW		4000,0	4000,6	4012,0	4578,7	3528,7	3246,0	3201,7	1450,1	1599,6	3076,7
WEA VB10 Vestas V90-2MW		4828,5	4810,7	4849,3	5024,8	3784,1	3547,7	3511,9	2012,6	2242,8	3767,3
WEA VB11 Vestas V90-2MW		4553,7	4535,7	4565,4	4870,5	3671,0	3334,4	3290,2	1947,4	2229,5	3808,9
WEA VB12 Vestas V90-2MW		4332,4	4312,2	4333,2	4576,6	3241,2	3064,8	2968,4	1758,6	2091,1	3716,0
WEA VB13 Vestas V90-2MW		3999,9	3992,4	4001,3	4709,7	3812,5	3589,1	3556,0	1550,4	1659,4	2829,3
WEA VB14 Vestas V90-2MW		4267,6	4255,9	4310,0	4828,5	3761,3	3529,1	3495,7	1855,4	1824,2	3252,3
WEA VB15 Vestas V90-2MW		3785,7	3777,5	3844,3	4485,5	3605,4	3384,1	3353,5	1326,9	1333,0	2667,3

WEA	IO	I11	I12	I13	I14	I15	I16	I17	I18	I19	I20
		IO-11 Brenkenhof 12, Brenkenhof	IO-12 Brenkenhof 1, Brenkenhof	IO-13 Dersewitz 1, Dersewitz	IO-14 Dersewitz 31, Dersewitz	IO-15 Dersewitz 32, Dersewitz	IO-16 Stolper Straße 5, Medow	IO-17 Stolper Straße 2, Medow	IO-18 Tramstower Straße 6, Medow	IO-19 Tramstower Straße 4, Medow	IO-20 Pappelallee 1, Medow
WEA ZB01 Nordex N149/5.X		2615,3	2675,3	1421,7	1641,9	1601,4	2309,7	2440,9	2605,9	2588,9	2566,0
WEA ZB02 Nordex N149/5.X		2214,6	2291,7	1551,8	1717,7	1683,8	2270,5	2393,7	2581,0	2556,4	2523,0
WEA ZB03 Nordex N149/5.X		2144,6	2187,3	1866,0	2054,3	2017,9	1903,7	2029,0	2212,3	2189,1	2157,7
WEA ZB04 Nordex N149/5.X		1763,3	1826,7	2006,5	2150,2	2119,6	1969,4	2081,7	2284,1	2253,3	2211,3
WEA ZB05 Nordex N149/5.X		1435,8	1427,7	2641,1	2793,8	2762,4	1430,4	1525,8	1739,3	1702,2	1651,8
WEA ZB06 Nordex N149/5.X		1188,0	1225,4	2594,4	2715,3	2688,3	1751,4	1836,5	2053,2	2013,2	1958,7
WEA VB01 ENERCON E66/18.70		4331,0	4181,2	5431,7	5681,6	5638,4	2077,9	2008,9	1792,4	1837,6	1900,2
WEA VB02 Enronwind EW 1.5s		4071,3	3934,6	4617,8	4877,9	4833,6	1721,0	1712,1	1534,8	1583,8	1650,5
WEA VB03 Enronwind EW 1.5s		4366,9	4214,5	5110,4	5369,0	5324,9	2031,6	1934,2	1792,0	1841,0	1908,0
WEA VB04 Enronwind EW 1.5s		4421,4	4286,4	4822,7	5088,3	5043,5	2072,3	2065,3	1888,1	1937,1	2003,9
WEA VB05 Enronwind EW 1.5s		4716,8	4572,0	5219,5	5485,2	5440,5	2368,0	2344,4	2151,6	2200,9	2268,3
WEA VB06 Enronwind EW 1.5sl		4165,8	4020,0	4846,5	5104,8	5060,7	1818,8	1792,7	1599,4	1648,8	1716,2
WEA VB07 Nordex N90		4312,6	4151,3	5245,1	5499,0	5455,3	2009,9	1956,0	1744,6	1792,2	1857,6
WEA VB08 Vestas V90-2MW		3546,9	3378,5	4848,0	5084,4	5042,6	1315,8	1235,7	1018,0	1061,4	1121,8
WEA VB09 Vestas V90-2MW		3229,3	3011,9	4832,9	5056,0	5013,2	1147,7	1036,8	833,3	863,5	908,4
WEA VB10 Vestas V90-2MW		3938,8	3732,9	5247,4	5488,5	5444,7	1724,8	1638,6	1421,3	1462,5	1520,1
WEA VB11 Vestas V90-2MW		3942,3	3776,0	5079,4	5324,8	5282,0	1677,0	1609,2	1393,1	1438,9	1502,0
WEA VB12 Vestas V90-2MW		3839,0	3685,1	4775,3	5024,6	4981,4	1512,9	1468,8	1263,8	1312,6	1379,3
WEA VB13 Vestas V90-2MW		2986,9	2792,3	4989,0	5194,8	5156,3	1261,2	1128,5	985,3	991,9	1005,9
WEA VB14 Vestas V90-2MW		3401,8	3216,5	5082,1	5305,1	5264,9	1392,6	1278,5	1078,8	1107,2	1149,2
WEA VB15 Vestas V90-2MW		2820,3	2631,1	4765,4	4970,8	4932,8	1039,6	906,3	771,9	775,0	785,4

WEA	IO	I21	I22	I23	I24	I25	I26	I27	I28	I29	I30
		IO-21 Pappelallee 3, Meadow	IO-22 Pappelallee 5, Meadow	IO-23 Pappelallee 7, Meadow	IO-24 Pappelallee 11, Meadow	IO-25 Hauptstraße 2, Meadow	IO-26 Hauptstraße 1, Meadow	IO-27 Hauptstraße 3, Meadow	IO-28 Zur Weidenschu le 1, Meadow	IO-29 Zur Weidenschu le 3, Meadow	IO-30 Zur Weidenschu le 10,
WEA ZB01 Nordex N149/5.X		2625,5	2676,6	2705,4	2773,9	2776,0	2785,7	2736,1	2730,4	2730,6	2698,8
WEA ZB02 Nordex N149/5.X		2576,7	2623,2	2649,4	2712,0	2701,2	2704,6	2655,8	2643,5	2635,1	2590,2
WEA ZB03 Nordex N149/5.X		2212,9	2260,5	2287,5	2351,7	2344,4	2349,7	2300,5	2290,3	2284,7	2244,4
WEA ZB04 Nordex N149/5.X		2258,6	2300,1	2323,5	2379,8	2358,2	2356,3	2309,2	2291,7	2276,4	2222,1
WEA ZB05 Nordex N149/5.X		1691,1	1726,3	1746,2	1795,1	1763,5	1756,8	1711,9	1689,9	1668,7	1607,0
WEA ZB06 Nordex N149/5.X		1992,3	2022,7	2039,8	2082,2	2042,2	2030,8	1988,9	1962,6	1935,1	1865,2
WEA VB01 ENERCON E66/18.70		1884,6	1872,2	1866,9	1855,1	1924,8	1954,8	1976,5	2016,0	2064,4	2153,3
WEA VB02 Enronwind EW 1.5s		1668,5	1684,9	1696,0	1722,8	1804,6	1843,8	1841,9	1883,5	1937,6	2019,8
WEA VB03 Enronwind EW 1.5s		1910,3	1913,2	1916,6	1925,3	2003,9	2039,7	2049,5	2091,2	2144,1	2231,8
WEA VB04 Enronwind EW 1.5s		2021,5	2037,1	2047,7	2072,9	2154,6	2193,5	2192,8	2234,5	2288,6	2371,5
WEA VB05 Enronwind EW 1.5s		2278,8	2284,7	2290,7	2305,3	2385,4	2422,5	2428,7	2470,7	2524,2	2610,6
WEA VB06 Enronwind EW 1.5s		1725,2	1734,0	1740,8	1757,5	1838,2	1875,8	1880,4	1922,3	1976,1	2061,8
WEA VB07 Nordex N90		1851,0	1846,3	1845,4	1844,1	1919,1	1952,4	1968,0	2009,0	2060,1	2149,0
WEA VB08 Vestas V90-2MW		1102,6	1088,3	1082,4	1070,7	1141,4	1172,3	1192,7	1232,5	1281,6	1370,7
WEA VB09 Vestas V90-2MW		867,6	834,9	818,1	781,4	835,0	856,9	889,5	923,8	965,1	1050,8
WEA VB10 Vestas V90-2MW		1494,9	1474,6	1464,8	1443,1	1506,9	1535,5	1530,3	1597,2	1645,3	1731,1
WEA VB11 Vestas V90-2MW		1488,5	1478,4	1474,6	1467,0	1539,2	1570,8	1589,8	1630,0	1679,7	1768,9
WEA VB12 Vestas V90-2MW		1380,4	1383,0	1386,5	1396,1	1475,2	1511,5	1520,2	1562,0	1615,0	1702,5
WEA VB13 Vestas V90-2MW		944,5	892,5	863,5	795,7	802,7	801,3	849,2	865,3	882,3	945,0
WEA VB14 Vestas V90-2MW		1104,9	1068,5	1049,2	1005,5	1050,8	1067,9	1105,2	1136,2	1172,7	1254,6
WEA VB15 Vestas V90-2MW		722,9	670,2	640,7	572,0	578,7	578,4	625,9	643,3	663,0	729,9

WEA \ IO	I31	I32	I33	I34	I35	I36	I37	I38	I39	I40
	IO-31 Zur Weidenschule 8, Meadow	IO-32 Zur Weidenschule 6, Meadow	IO-33 Zur Weidenschule 4, Meadow	IO-34 Zur Weidenschule 2, Meadow	IO-35 Hauptstraße 5, Meadow	IO-36 Hauptstraße 6a, Meadow	IO-37 Hauptstraße 6b, Meadow	IO-38 Pappelallee 10, Meadow	IO-39 Pappelallee 8, Meadow	IO-40 Pappelallee 6, Meadow
WEA ZB01 Nordex N149/5.X	2699,0	2697,9	2697,1	2692,5	2677,3	2684,5	2666,5	2698,2	2628,1	2620,1
WEA ZB02 Nordex N149/5.X	2593,3	2597,0	2601,6	2604,4	2588,3	2611,6	2616,6	2637,2	2567,4	2566,1
WEA ZB03 Nordex N149/5.X	2246,4	2248,4	2251,1	2251,4	2242,5	2254,0	2258,2	2276,4	2206,4	2203,4
WEA ZB04 Nordex N149/5.X	2227,3	2234,8	2243,6	2252,3	2253,9	2272,0	2279,5	2307,1	2239,1	2243,7
WEA ZB05 Nordex N149/5.X	1614,0	1624,6	1637,0	1650,9	1659,6	1682,1	1691,9	1726,0	1661,3	1671,9
WEA ZB06 Nordex N149/5.X	1874,4	1888,8	1905,1	1924,6	1940,3	1966,4	1978,0	2016,9	1955,6	1970,5
WEA VB01 ENERCON E66/18.70	2137,0	2110,5	2081,1	2043,1	2002,7	1966,4	1949,5	1897,2	1940,0	1912,9
WEA VB02 Enronwind EW 1.5s	2002,1	1972,4	1939,5	1894,6	1840,4	1802,2	1783,5	1728,2	1738,7	1700,5
WEA VB03 Enronwind EW 1.5s	2214,3	2185,3	2153,3	2110,5	2061,5	2023,0	2004,7	1949,0	1975,6	1941,6
WEA VB04 Enronwind EW 1.5s	2353,7	2324,0	2291,1	2246,3	2192,4	2154,1	2135,4	2080,0	2091,5	2053,5
WEA VB05 Enronwind EW 1.5s	2593,0	2563,6	2531,2	2487,4	2436,4	2397,8	2379,2	2323,3	2344,4	2308,6
WEA VB06 Enronwind EW 1.5s	2044,2	2014,7	1982,1	1938,1	1886,5	1847,8	1829,2	1773,3	1793,1	1757,0
WEA VB07 Nordex N90	2132,0	2104,0	2073,0	2032,3	1987,1	1949,4	1931,6	1877,1	1912,0	1881,1
WEA VB08 Vestas V90-2MW	1354,2	1327,2	1297,5	1259,0	1218,1	1181,7	1164,8	1112,6	1156,4	1130,3
WEA VB09 Vestas V90-2MW	1036,3	1013,3	988,1	957,4	929,3	898,6	885,1	842,2	902,0	887,8
WEA VB10 Vestas V90-2MW	1715,7	1690,7	1665,1	1626,0	1592,5	1558,2	1542,5	1493,2	1543,3	1520,7
WEA VB11 Vestas V90-2MW	1752,2	1724,9	1694,8	1655,5	1613,0	1576,0	1558,7	1505,5	1545,7	1517,4
WEA VB12 Vestas V90-2MW	1685,0	1655,9	1623,7	1580,7	1531,5	1493,0	1474,6	1418,9	1445,5	1411,7
WEA VB13 Vestas V90-2MW	937,1	926,0	914,6	904,7	906,0	892,2	887,7	871,3	941,5	948,8
WEA VB14 Vestas V90-2MW	1241,5	1220,9	1198,6	1172,0	1149,8	1121,9	1109,8	1071,0	1134,0	1123,1
WEA VB15 Vestas V90-2MW	720,8	707,8	694,6	682,6	682,3	668,0	663,4	647,6	717,8	726,1

WEA	IO	I41	I42	I43	I44	I45	I46	I47	I48	I49	I50
		IO-41 Pappelallee 4, Meadow	IO-42 Pappelallee 2, Meadow	IO-43 Tramstower Straße 2, Meadow	IO-44 Hauptstraße 14, Meadow	IO-45 Hauptstraße 10, Meadow	IO-46 Hauptstraße 8, Meadow	IO-47 Hauptstraße 13, Meadow	IO-48 Hauptstraße 16, Meadow	IO-49 Stolper Straße 1, Meadow	IO-50 Stolper Straße 3, Meadow
WEA ZB01 Nordex N149/5.X		2600,0	2576,7	2533,9	2509,8	2556,5	2591,6	2530,5	2460,7	2392,6	2362,5
WEA ZB02 Nordex N149/5.X		2547,8	2526,8	2493,2	2454,9	2495,5	2525,4	2469,9	2409,2	2339,5	2322,7
WEA ZB03 Nordex N149/5.X		2184,6	2163,0	2128,6	2092,1	2134,3	2165,7	2108,6	2045,5	1973,7	1956,2
WEA ZB04 Nordex N149/5.X		2227,4	2208,9	2179,0	2134,4	2168,6	2193,3	2144,0	2092,9	2032,6	2019,3
WEA ZB05 Nordex N149/5.X		1658,1	1642,8	1617,8	1567,4	1593,9	1612,6	1571,0	1531,9	1484,4	1475,7
WEA ZB06 Nordex N149/5.X		1958,6	1945,7	1924,1	1870,8	1891,7	1905,5	1870,2	1839,5	1800,0	1793,8
WEA VB01 ENERCON E66/18,70		1918,0	1923,4	1934,7	1992,5	1988,3	1990,2	2003,9	2012,4	2036,3	2039,0
WEA VB02 Enronwind EW 1.5s		1694,6	1686,9	1678,3	1733,3	1755,7	1778,3	1759,7	1728,8	1711,6	1702,4
WEA VB03 Enronwind EW 1.5s		1940,8	1939,2	1940,0	1998,1	2008,4	2021,7	2018,1	2005,1	2006,9	2003,0
WEA VB04 Enronwind EW 1,5s		2047,7	2040,2	2031,8	2086,8	2109,1	2131,5	2113,2	2082,2	2064,2	2054,6
WEA VB05 Enronwind EW 1,5s		2305,8	2301,8	2298,8	2355,9	2371,3	2388,3	2378,7	2358,0	2351,0	2344,4
WEA VB06 Enronwind EW 1.5sl		1754,0	1749,8	1746,6	1803,8	1819,3	1836,6	1826,6	1806,1	1800,1	1794,0
WEA VB07 Nordex N90		1883,2	1885,1	1891,2	1949,6	1952,8	1960,5	1965,5	1963,3	1978,4	1975,8
WEA VB08 Vestas V90-2MW		1136,3	1142,9	1156,7	1213,7	1206,6	1206,9	1223,1	1236,8	1268,0	1273,3
WEA VB09 Vestas V90-2MW		900,8	915,8	941,8	991,3	966,4	952,3	988,5	1028,2	1084,2	1097,4
WEA VB10 Vestas V90-2MW		1829,9	1839,0	1839,1	1910,8	1899,7	1901,9	1917,0	1957,8	1974,1	1989,8
WEA VB11 Vestas V90-2MW		1521,7	1526,2	1536,5	1594,4	1591,9	1595,5	1606,8	1613,2	1635,8	1638,3
WEA VB12 Vestas V90-2MW		1411,2	1410,0	1411,7	1469,9	1479,0	1491,7	1489,1	1478,6	1484,2	1481,7
WEA VB13 Vestas V90-2MW		969,1	992,7	1030,3	1059,1	1013,5	980,4	1039,4	1108,2	1187,5	1208,7
WEA VB14 Vestas V90-2MW		1137,4	1154,0	1181,9	1229,3	1200,9	1183,3	1223,9	1268,3	1327,6	1341,7
WEA VB15 Vestas V90-2MW		746,6	770,6	808,7	835,9	789,6	756,3	815,6	885,4	965,7	987,3

WEA	IO	I51	I52	I53	I54	I55	I56	I57	I58	I59	I60
		IO-51 Stolper Straße 4, Meadow	IO-52 Gutshof 5, Meadow	IO-53 Gutshof 3, Meadow	IO-54 Gutshof 8, Meadow	IO-55 Gutshof 17, Meadow	IO-56 Gutshof 16, Meadow	IO-57 Gutshof 14, Meadow	IO-58 Hauptstraße 19, Meadow	IO-59 Hauptstraße 25b, Meadow	IO-60 Hauptstraße 25a, Meadow
WEA ZB01 Nordex N149/5.X		2349,3	2538,2	2498,4	2376,8	2391,9	2354,3	2329,7	2276,0	2222,1	2219,9
WEA ZB02 Nordex N149/5.X		2317,1	2457,2	2425,2	2293,2	2293,6	2247,2	2231,1	2181,5	2102,1	2097,4
WEA ZB03 Nordex N149/5.X		1949,1	2101,5	2067,1	1937,8	1943,1	1899,6	1880,4	1829,2	1758,9	1755,2
WEA ZB04 Nordex N149/5.X		2021,0	2114,1	2089,6	1952,1	1940,3	1887,8	1879,1	1834,3	1735,9	1729,4
WEA ZB05 Nordex N149/5.X		1485,9	1524,0	1507,7	1367,9	1343,6	1286,3	1285,4	1246,9	1131,5	1123,2
WEA ZB06 Nordex N149/5.X		1807,8	1810,6	1801,4	1662,5	1627,8	1567,0	1573,7	1541,6	1413,2	1403,3
WEA VB01 ENERCON E66/18.70		2021,0	2095,5	2082,9	2209,2	2266,0	2329,3	2305,6	2322,0	2466,0	2478,3
WEA VB02 Enronwind EW 1.5s		1669,2	1874,6	1838,2	1925,9	2000,6	2056,1	2017,0	2010,5	2154,0	2167,0
WEA VB03 Enronwind EW 1.5s		1976,0	2125,0	2099,0	2207,3	2275,3	2335,7	2303,0	2306,9	2453,6	2466,5
WEA VB04 Enronwind EW 1.5s		2020,9	2227,9	2191,7	2279,0	2353,8	2409,1	2369,7	2362,5	2505,5	2518,5
WEA VB05 Enronwind EW 1.5s		2314,0	2489,5	2459,2	2559,1	2630,4	2688,9	2653,0	2651,9	2797,6	2810,6
WEA VB06 Enronwind EW 1.5sl		1784,4	1937,5	1907,0	2007,2	2078,3	2137,0	2101,4	2101,1	2247,0	2260,0
WEA VB07 Nordex N90		1953,2	2065,6	2046,1	2164,3	2227,1	2289,4	2260,9	2271,2	2417,4	2430,0
WEA VB08 Vestas V90-2MW		1259,6	1311,9	1301,2	1430,3	1484,5	1548,0	1526,1	1545,4	1687,7	1699,7
WEA VB09 Vestas V90-2MW		1097,5	1049,8	1056,2	1195,2	1232,2	1294,5	1284,4	1316,2	1446,1	1456,6
WEA VB10 Vestas V90-2MW		1665,1	1807,9	1892,8	1829,0	1875,3	1898,5	1920,3	1943,5	2083,2	2004,0
WEA VB11 Vestas V90-2MW		1620,1	1700,8	1686,4	1811,0	1869,2	1932,3	1907,5	1922,8	2067,4	2079,7
WEA VB12 Vestas V90-2MW		1456,6	1595,3	1570,2	1680,8	1747,6	1808,5	1776,8	1782,8	1929,5	1942,3
WEA VB13 Vestas V90-2MW		1225,8	1047,1	1078,9	1210,9	1216,9	1269,4	1278,4	1325,2	1422,5	1429,8
WEA VB14 Vestas V90-2MW		1343,3	1277,0	1288,1	1427,8	1459,7	1520,9	1514,2	1549,0	1674,3	1684,3
WEA VB15 Vestas V90-2MW		1005,7	823,2	854,6	987,0	994,4	1047,9	1055,6	1101,8	1201,6	1209,3

WEA	IO	I61	I62	I63	I64	I65	I66	I67	I68	I69	I70
		Hauptstraße 31, Meadow	Hauptstraße 33, Meadow	Hauptstraße 35, Meadow	Hauptstraße 37, Meadow	Hauptstraße 42, Meadow	Hauptstraße 40, Meadow	Hauptstraße 38, Meadow	Hauptstraße 36, Meadow	Hauptstraße 34, Meadow	Hauptstraße 30, Meadow
WEA ZB01 Nordex N149/5.X		2205,2	2201,8	2195,3	2193,4	2182,4	2177,0	2182,1	2189,9	2190,9	2205,4
WEA ZB02 Nordex N149/5.X		2071,6	2065,2	2053,7	2044,7	2024,2	2046,2	2054,6	2068,6	2072,0	2109,4
WEA ZB03 Nordex N149/5.X		1733,9	1728,8	1719,6	1713,9	1688,4	1707,2	1714,2	1725,7	1728,1	1757,3
WEA ZB04 Nordex N149/5.X		1695,3	1686,7	1671,5	1657,2	1645,6	1672,9	1683,8	1702,4	1707,7	1763,2
WEA ZB05 Nordex N149/5.X		1081,8	1071,3	1053,1	1034,4	1031,0	1062,9	1075,9	1098,9	1105,9	1179,3
WEA ZB06 Nordex N149/5.X		1354,7	1342,1	1320,3	1295,6	1304,2	1340,6	1355,7	1382,6	1391,2	1478,3
WEA VB01 ENERCON E66/18,70		2536,3	2551,7	2578,0	2611,5	2580,7	2539,7	2522,1	2490,5	2479,5	2374,1
WEA VB02 Enronwind EW 1.5s		2226,6	2242,5	2269,3	2305,6	2259,1	2218,8	2200,9	2168,1	2155,9	2038,8
WEA VB03 Enronwind EW 1.5s		2526,4	2542,4	2569,4	2605,0	2564,9	2523,5	2505,5	2472,6	2460,8	2348,8
WEA VB04 Enronwind EW 1.5s		2578,0	2593,9	2620,6	2656,9	2609,8	2569,6	2551,9	2519,1	2506,9	2389,6
WEA VB05 Enronwind EW 1.5s		2870,5	2886,5	2913,5	2949,6	2906,1	2865,1	2847,1	2814,1	2802,1	2686,0
WEA VB06 Enronwind EW 1.5s		2320,0	2336,0	2363,0	2399,0	2356,2	2315,1	2297,1	2264,1	2252,1	2136,4
WEA VB07 Nordex N90		2489,3	2505,1	2531,9	2566,6	2531,1	2489,6	2471,8	2439,3	2427,9	2317,5
WEA VB08 Vestas V90-2MW		1757,0	1772,2	1798,3	1831,1	1802,5	1761,0	1744,4	1713,3	1702,7	1600,5
WEA VB09 Vestas V90-2MW		1506,8	1522,4	1548,5	1575,5	1567,8	1519,7	1503,8	1475,9	1466,8	1381,2
WEA VB10 Vestas V90-2MW		2159,7	2169,6	2191,1	2222,9	2197,6	2157,3	2140,5	2119,1	2099,1	2001,5
WEA VB11 Vestas V90-2MW		2138,0	2163,5	2179,9	2213,6	2182,0	2140,8	2123,2	2091,4	2080,3	1974,1
WEA VB12 Vestas V90-2MW		2002,1	2018,0	2045,0	2080,3	2041,8	2000,4	1982,4	1949,6	1937,9	1825,2
WEA VB13 Vestas V90-2MW		1468,8	1479,3	1497,9	1518,5	1519,6	1488,6	1476,4	1455,8	1450,0	1397,0
WEA VB14 Vestas V90-2MW		1734,3	1747,6	1770,6	1798,2	1784,3	1747,2	1731,9	1705,0	1696,5	1615,7
WEA VB15 Vestas V90-2MW		1249,8	1260,7	1280,1	1301,8	1300,7	1268,8	1256,2	1234,8	1228,7	1173,5

WEA \ IO	I71	I72	I73	I74	I75	I76	I77	I78	I79	I80
	IO-71 Hauptstraße 28, Meadow	IO-72 Mühlenstraße e 1a, Meadow	IO-73 Mühlenstraße e 1b, Meadow	IO-74 Mühlenstraße e 1c, Meadow	IO-75 Gartenlaube a, Meadow	IO-76 Mühlenstraße e 5, Meadow	IO-77 Mühlenstraße e 7, Meadow	IO-78 Mühlenstraße e 9, Meadow	IO-79 Mühlenstraße e 11, Meadow	IO-80 Mühlenstraße e 13, Meadow
WEA ZB01 Nordex N149/5.X	2230,7	2215,8	2227,1	2239,3	2194,0	2176,9	2156,6	2136,4	2110,4	2081,1
WEA ZB02 Nordex N149/5.X	2140,1	2134,6	2144,3	2154,8	2107,4	2103,8	2085,7	2070,6	2048,0	2023,2
WEA ZB03 Nordex N149/5.X	1786,3	1777,9	1788,1	1799,2	1752,2	1744,5	1725,8	1709,2	1685,7	1659,6
WEA ZB04 Nordex N149/5.X	1797,5	1800,4	1808,3	1817,1	1769,3	1777,8	1762,3	1752,3	1733,6	1713,8
WEA ZB05 Nordex N149/5.X	1216,5	1228,9	1234,5	1240,8	1194,5	1216,8	1205,1	1201,9	1189,0	1176,8
WEA ZB06 Nordex N149/5.X	1516,8	1535,6	1539,5	1544,0	1499,7	1530,3	1521,0	1521,5	1511,8	1503,2
WEA VB01 ENERCON E66/18,70	2335,2	2307,2	2305,9	2304,4	2343,9	2303,7	2310,4	2307,0	2314,9	2322,3
WEA VB02 Enronwind EW 1.5s	2004,3	1962,9	1967,0	1971,3	1996,9	1938,4	1936,2	1921,1	1917,4	1911,0
WEA VB03 Enronwind EW 1.5s	2309,6	2273,5	2275,2	2276,9	2309,4	2258,1	2259,9	2249,7	2251,2	2250,9
WEA VB04 Enronwind EW 1.5s	2355,5	2313,6	2318,0	2322,5	2347,3	2288,1	2285,3	2269,5	2264,9	2257,4
WEA VB05 Enronwind EW 1.5s	2650,1	2611,0	2614,0	2617,1	2646,1	2590,6	2590,2	2577,1	2575,5	2571,5
WEA VB06 Enronwind EW 1.5sl	2100,2	2061,8	2064,4	2067,2	2097,1	2042,7	2043,0	2030,8	2030,3	2027,6
WEA VB07 Nordex N90	2279,3	2247,1	2247,3	2247,3	2283,6	2237,7	2242,0	2235,3	2240,1	2243,8
WEA VB08 Vestas V90-2MW	1561,5	1536,5	1534,2	1531,7	1573,1	1537,5	1546,1	1545,6	1556,4	1567,5
WEA VB09 Vestas V90-2MW	1343,3	1329,8	1324,2	1318,0	1364,2	1344,8	1358,4	1366,0	1383,6	1402,9
WEA VB10 Vestas V90-2MW	1992,5	1940,6	1937,0	1933,6	1976,3	1943,3	1951,3	1954,2	1968,0	1978,3
WEA VB11 Vestas V90-2MW	1935,3	1906,9	1905,7	1904,4	1943,6	1902,9	1909,5	1906,1	1914,0	1921,5
WEA VB12 Vestas V90-2MW	1787,5	1753,0	1754,1	1755,1	1789,3	1740,4	1743,5	1735,2	1738,5	1740,7
WEA VB13 Vestas V90-2MW	1364,8	1369,1	1359,5	1349,0	1396,6	1401,3	1420,1	1437,5	1461,9	1489,8
WEA VB14 Vestas V90-2MW	1578,3	1567,4	1561,2	1554,3	1601,1	1584,8	1599,2	1608,0	1626,4	1646,7
WEA VB15 Vestas V90-2MW	1141,0	1144,9	1135,3	1125,0	1172,6	1177,0	1195,9	1213,3	1237,9	1265,9

WEA	IO	I81	I82	I83	I84	I85	I86	I87	I88	I89	I90
		Mühlenstraße 15, Meadow	Mühlenstraße 10, Meadow	Mühlenstraße 6, Meadow	Mühlenstraße 2, Meadow	Gartenlaube b, Meadow	Hauptstraße 26, Meadow	Hauptstraße 17, Meadow	Hauptstraße 24, Meadow	Hauptstraße 22, Meadow	Kirchstraße 1, Meadow
WEA ZB01 Nordex N149/5.X		2064,4	2079,0	2183,0	2229,2	2123,3	2257,8	2289,8	2295,6	2305,4	2319,9
WEA ZB02 Nordex N149/5.X		2007,1	2027,3	2115,4	2154,0	2032,2	2177,9	2206,4	2222,7	2235,0	2252,7
WEA ZB03 Nordex N149/5.X		1643,4	1662,3	1754,7	1795,6	1678,0	1820,9	1850,6	1863,9	1875,6	1892,4
WEA ZB04 Nordex N149/5.X		1699,0	1723,5	1793,9	1824,4	1692,8	1843,4	1868,1	1892,8	1907,1	1927,0
WEA ZB05 Nordex N149/5.X		1164,6	1193,1	1237,6	1257,2	1119,4	1269,9	1289,5	1322,9	1338,8	1360,6
WEA ZB06 Nordex N149/5.X		1492,3	1522,0	1553,3	1566,1	1427,6	1574,4	1589,9	1628,7	1645,4	1667,9
WEA VB01 ENERCON E66/18.70		2333,2	2303,5	2278,8	2274,4	2410,2	2273,1	2265,3	2218,7	2201,3	2178,2
WEA VB02 Enronwind EW 1.5s		1916,0	1885,0	1910,2	1929,2	2043,2	1942,3	1949,2	1895,0	1878,6	1857,7
WEA VB03 Enronwind EW 1.5s		2258,6	2227,6	2230,8	2239,4	2365,7	2246,2	2246,5	2194,6	2177,3	2154,9
WEA VB04 Enronwind EW 1.5s		2261,9	2231,0	2259,8	2280,0	2392,2	2293,8	2301,2	2247,0	2230,7	2209,9
WEA VB05 Enronwind EW 1.5s		2577,6	2546,4	2562,7	2577,0	2697,1	2587,2	2590,8	2537,5	2520,6	2498,8
WEA VB06 Enronwind EW 1.5sl		2034,4	2003,2	2015,0	2027,7	2149,6	2037,1	2040,1	1987,0	1970,0	1948,0
WEA VB07 Nordex N90		2253,2	2222,7	2211,4	2213,5	2345,4	2216,1	2212,3	2162,8	2145,3	2122,4
WEA VB08 Vestas V90-2MW		1579,7	1551,3	1514,0	1504,6	1642,1	1500,5	1490,3	1445,9	1428,6	1405,6
WEA VB09 Vestas V90-2MW		1417,7	1393,8	1326,2	1302,1	1439,3	1288,8	1270,0	1235,8	1220,0	1198,5
WEA VB10 Vestas V90-2MW		1500,9	1462,9	1421,0	1406,7	1547,0	1402,6	1390,4	1348,0	1331,0	1309,1
WEA VB11 Vestas V90-2MW		1932,5	1902,9	1878,0	1874,0	2009,5	1873,0	1865,8	1818,6	1801,4	1778,3
WEA VB12 Vestas V90-2MW		1749,5	1718,7	1713,6	1719,1	1848,2	1724,1	1722,8	1671,7	1654,4	1631,7
WEA VB13 Vestas V90-2MW		1506,3	1490,4	1391,6	1350,4	1472,2	1325,9	1297,4	1282,0	1270,3	1253,8
WEA VB14 Vestas V90-2MW		1661,8	1636,5	1597,2	1540,7	1676,8	1525,7	1505,3	1473,6	1458,2	1437,2
WEA VB15 Vestas V90-2MW		1282,5	1266,8	1167,4	1126,1	1248,3	1101,7	1073,4	1057,7	1046,1	1029,6

WEA \ IO	I91	I92	I93	I94	I95	I96	I97	I98	I99	I100
	IO-91 Kirchstraße 3, Medow	IO-92 Kirchstraße 5, Medow	IO-93 Kirchstraße 7, Medow	IO-94 Kirchstraße 11, Medow	IO-95 Kirchstraße 13, Medow	IO-96 Kirchstraße 15, Medow	IO-97 Kirchstraße 16, Medow	IO-98 Kirchstraße 14, Medow	IO-99 Kirchstraße 9, Medow	IO-100 Kirchstraße 12, Medow
WEA ZB01 Nordex N149/5.X	2310,1	2281,7	2212,7	2162,3	2147,1	2125,7	2214,3	2221,2	2190,6	2253,5
WEA ZB02 Nordex N149/5.X	2245,0	2220,6	2157,7	2121,8	2113,4	2096,7	2174,8	2180,3	2144,5	2209,3
WEA ZB03 Nordex N149/5.X	1894,1	1858,6	1794,0	1754,8	1745,0	1727,5	1807,8	1813,6	1778,8	1843,3
WEA ZB04 Nordex N149/5.X	1921,4	1901,3	1846,0	1824,7	1822,9	1811,2	1876,7	1880,7	1841,4	1905,6
WEA ZB05 Nordex N149/5.X	1357,7	1343,3	1299,4	1297,5	1304,2	1299,7	1345,5	1347,4	1305,7	1366,2
WEA ZB06 Nordex N149/5.X	1666,7	1656,0	1619,0	1625,7	1635,6	1633,7	1671,4	1672,3	1630,2	1688,1
WEA VB01 ENERCON E66/18,70	2176,6	2181,5	2210,4	2199,8	2190,4	2193,8	2154,6	2153,9	2196,1	2140,0
WEA VB02 Enronwind EW 1.5s	1850,1	1840,5	1838,5	1794,5	1772,1	1763,1	1765,0	1768,4	1806,6	1769,6
WEA VB03 Enronwind EW 1.5s	2149,9	2146,8	2159,0	2129,1	2112,1	2108,5	2091,8	2093,5	2134,4	2087,8
WEA VB04 Enronwind EW 1.5s	2202,1	2192,0	2188,4	2142,3	2119,0	2108,9	2114,1	2117,8	2155,5	2119,9
WEA VB05 Enronwind EW 1.5s	2492,5	2486,1	2490,7	2452,4	2432,1	2425,1	2419,6	2422,3	2461,8	2420,4
WEA VB06 Enronwind EW 1.5sl	1942,0	1936,3	1942,9	1907,4	1888,3	1882,6	1872,9	1875,3	1915,3	1872,3
WEA VB07 Nordex N90	2119,1	2120,1	2140,9	2120,8	2107,7	2107,7	2079,1	2079,6	2121,5	2069,6
WEA VB08 Vestas V90-2MW	1405,1	1412,9	1448,1	1447,0	1442,1	1449,4	1398,8	1397,0	1438,9	1379,5
WEA VB09 Vestas V90-2MW	1202,1	1219,0	1271,1	1294,2	1299,4	1314,7	1241,6	1237,1	1275,7	1211,3
WEA VB10 Vestas V90-2MW	1808,5	1818,2	1856,6	1858,7	1854,7	1862,7	1509,7	1207,6	1849,3	1786,9
WEA VB11 Vestas V90-2MW	1776,4	1781,0	1809,5	1799,1	1789,9	1793,6	1753,7	1753,0	1795,2	1739,1
WEA VB12 Vestas V90-2MW	1627,3	1626,0	1642,3	1618,0	1603,4	1602,2	1578,0	1578,9	1620,5	1570,9
WEA VB13 Vestas V90-2MW	1262,6	1289,3	1356,9	1407,3	1424,2	1447,2	1355,8	1348,5	1378,3	1315,8
WEA VB14 Vestas V90-2MW	1441,5	1459,8	1514,0	1539,8	1545,9	1561,8	1487,0	1482,3	1520,3	1455,7
WEA VB15 Vestas V90-2MW	1038,4	1065,4	1133,2	1184,8	1202,5	1226,0	1133,7	1126,3	1155,4	1093,2

WEA	IO	I101	I102	I103	I104	I105	I106	I107	I108	I109	I110
		IO-101 Kirchstraße 10, Medow	IO-102 Kirchstraße 8, Medow	IO-103 Kirchstraße 6, Medow	IO-104 Kirchstraße 4, Medow	IO-105 Kirchstraße 2, Medow	IO-106 Hauptstraße 15, Medow	IO-107 Hauptstraße 20, Medow	IO-108 Hauptstraße 18, Medow	IO-109 Grütto 7, Grütto	IO-110 Grütto 6, Grütto
WEA ZB01 Nordex N149/5.X		2270,9	2260,6	2321,7	2345,3	2357,6	2326,1	2407,8	2421,5	1369,1	1187,3
WEA ZB02 Nordex N149/5.X		2220,9	2242,6	2261,9	2261,0	2290,7	2251,2	2345,3	2362,8	1764,9	1599,8
WEA ZB03 Nordex N149/5.X		1856,3	1879,3	1899,7	1920,1	1930,5	1893,0	1984,1	2000,7	1581,7	1451,4
WEA ZB04 Nordex N149/5.X		1911,7	1927,0	1942,5	1957,0	1964,2	1918,8	2021,1	2041,5	1998,3	1870,6
WEA ZB05 Nordex N149/5.X		1365,3	1372,4	1382,8	1391,6	1395,7	1345,1	1453,3	1476,4	2174,9	2107,0
WEA ZB06 Nordex N149/5.X		1683,8	1686,5	1693,7	1698,9	1701,0	1647,9	1758,0	1782,4	2440,2	2349,3
WEA VB01 ENERCON E66/18.70		2147,2	2149,7	2147,2	2148,3	2150,1	2205,6	2096,6	2070,5	3345,0	3528,0
WEA VB02 Enronwind EW 1.5s		1789,7	1809,2	1819,4	1834,1	1843,3	1895,0	1804,5	1779,5	2447,3	2641,2
WEA VB03 Enronwind EW 1.5s		2102,4	2114,5	2119,0	2127,7	2133,7	2188,4	2086,9	2060,6	2943,0	3138,0
WEA VB04 Enronwind EW 1.5s		2140,6	2160,8	2171,4	2186,6	2196,0	2247,4	2157,5	2132,7	2591,3	2796,9
WEA VB05 Enronwind EW 1.5s		2438,1	2454,1	2461,5	2473,3	2480,6	2534,3	2437,5	2411,8	2981,8	3189,3
WEA VB06 Enronwind EW 1.5s		1889,1	1904,2	1911,0	1922,2	1929,5	1983,3	1885,8	1860,0	2689,2	2881,7
WEA VB07 Nordex N90		2080,5	2087,7	2088,7	2093,6	2097,5	2153,0	2046,9	2020,6	3122,3	3310,4
WEA VB08 Vestas V90-2MW		1383,2	1381,7	1376,6	1375,1	1375,7	1430,7	1320,7	1295,0	2932,0	3085,8
WEA VB09 Vestas V90-2MW		1205,2	1191,7	1178,5	1167,6	1163,0	1213,6	1105,4	1082,6	3072,3	3203,4
WEA VB10 Vestas V90-2MW		1791,2	1787,5	1780,9	1777,3	1776,7	1831,1	1720,7	1695,4	3278,7	3441,3
WEA VB11 Vestas V90-2MW		1746,4	1749,1	1746,9	1746,4	1750,6	1806,0	1697,4	1671,3	3052,4	3224,6
WEA VB12 Vestas V90-2MW		1593,7	1593,6	1596,5	1603,9	1609,2	1661,2	1561,1	1534,0	2718,2	2891,5
WEA VB13 Vestas V90-2MW		1298,0	1271,0	1248,7	1226,7	1215,7	1253,0	1163,2	1148,2	3098,7	3508,2
WEA VB14 Vestas V90-2MW		1448,4	1433,3	1418,9	1406,5	1401,0	1450,2	1343,4	1321,5	3299,3	3435,6
WEA VB15 Vestas V90-2MW		1074,9	1047,3	1024,8	1002,7	991,6	1028,7	939,2	924,5	3202,2	3305,8

WEA	IO	I111	I112	I113	I114	I115	I116	I117	I118	I119	I120
		IO-111 Grüttow 5, Grüttow	IO-112 Grüttow 2, Grüttow	IO-113 Grüttow 12, Grüttow	IO-114 Grüttow 11, Grüttow	IO-115 Grüttow 10, Grüttow	IO-116 Kirche, Grüttow	IO-117 Grüttow 9, Grüttow	IO-118 Grüttow 8, Grüttow	IO-119 Dersewitz 2, Dersewitz	IO-120 Dersewitz 3, Dersewitz
WEA ZB01											
Nordex N149/5.X		1147,2	1126,7	1144,2	1192,9	1246,7	1205,9	1256,8	1289,2	1414,5	1411,6
WEA ZB02											
Nordex N149/5.X		1563,7	1554,2	1572,8	1621,4	1671,1	1625,2	1676,0	1699,4	1532,9	1522,8
WEA ZB03											
Nordex N149/5.X		1424,8	1442,4	1463,4	1509,8	1546,6	1490,1	1538,9	1542,8	1851,9	1844,5
WEA ZB04											
Nordex N149/5.X		1643,9	1859,9	1880,7	1927,4	1965,3	1909,1	1958,0	1961,7	1984,4	1972,1
WEA ZB05											
Nordex N149/5.X		2094,8	2143,4	2165,8	2206,6	2225,8	2160,0	2202,7	2179,8	2620,9	2609,7
WEA ZB06											
Nordex N149/5.X		2331,2	2366,7	2388,7	2432,5	2459,6	2397,1	2442,8	2430,0	2569,3	2555,0
WEA VB01											
ENERCON E66/18.70		3571,9	3686,0	3696,5	3687,8	3630,6	3584,4	3573,0	3481,5	5434,6	5437,3
WEA VB02											
Enronwind EW 1.5s		2687,4	2800,3	2808,9	2796,0	2735,3	2693,8	2678,1	2586,3	4624,5	4629,6
WEA VB03											
Enronwind EW 1.5s		3184,4	3297,2	3305,6	3292,3	3231,2	3190,3	3174,1	3082,3	5116,6	5121,3
WEA VB04											
Enronwind EW 1.5s		2845,5	2955,5	2961,8	2943,8	2879,0	2844,4	2823,1	2732,0	4832,0	4838,6
WEA VB05											
Enronwind EW 1.5s		3238,3	3347,6	3353,4	3334,4	3269,0	3235,8	3213,5	3122,7	5228,9	5235,6
WEA VB06											
Enronwind EW 1.5sl		2927,6	3040,7	3049,6	3037,3	2977,1	2934,9	2919,8	2828,0	4852,5	4857,2
WEA VB07											
Nordex N90		3355,3	3469,1	3478,7	3468,1	3409,3	3365,2	3351,8	3260,1	5249,4	5253,0
WEA VB08											
Vestas V90-2MW		3123,4	3237,1	3251,1	3251,5	3203,7	3148,1	3146,6	3058,3	4846,5	4846,6
WEA VB09											
Vestas V90-2MW		3236,0	3347,2	3363,2	3369,7	3329,0	3268,4	3273,4	3189,2	4828,3	4826,1
WEA VB10											
Vestas V90-2MW		3481,1	3595,5	3608,3	3605,7	3554,5	3501,8	3497,0	3407,2	5246,8	5247,5
WEA VB11											
Vestas V90-2MW		3266,2	3380,7	3392,6	3387,5	3333,8	3283,6	3276,1	3185,5	5080,8	5082,6
WEA VB12											
Vestas V90-2MW		2935,8	3050,3	3061,7	3055,5	3000,8	2951,7	2943,1	2852,2	4777,9	4780,5
WEA VB13											
Vestas V90-2MW		3235,5	3343,1	3350,9	3372,7	3338,9	3271,7	3235,4	3108,8	4979,7	4975,0
WEA VB14											
Vestas V90-2MW		3469,3	3581,1	3596,8	3602,0	3559,8	3500,2	3503,8	3418,6	5076,9	5074,8
WEA VB15											
Vestas V90-2MW		3332,3	3438,4	3456,5	3469,5	3437,5	3372,5	3384,6	3306,5	4756,0	4751,3

WEA	IO	I121	I122	I123	I124	I125	I126	I127	I128	I129	I130
		IO-121 Dersewitz 4, Dersewitz	IO-122 Dersewitz 5, Dersewitz	IO-123 Dersewitz 6, Dersewitz	IO-124 Dersewitz 7, Dersewitz	IO-125 Dersewitz 8, Dersewitz	IO-126 Dersewitz 9, Dersewitz	IO-127 Dersewitz 42, Dersewitz	IO-128 Dersewitz 40, Dersewitz	IO-129 Dersewitz 41, Dersewitz	IO-130 Dersewitz 20, Dersewitz
WEA ZB01 Nordex N149/5.X		1407,8	1406,6	1357,6	1336,8	1310,5	1290,5	1252,9	1227,2	1207,0	1191,0
WEA ZB02 Nordex N149/5.X		1503,9	1494,5	1441,8	1421,0	1395,4	1375,6	1337,2	1311,9	1291,5	1235,1
WEA ZB03 Nordex N149/5.X		1831,3	1824,8	1772,9	1751,9	1725,7	1705,6	1667,0	1641,2	1620,6	1577,0
WEA ZB04 Nordex N149/5.X		1948,5	1936,4	1883,4	1863,2	1838,4	1819,2	1781,5	1757,0	1737,1	1667,6
WEA ZB05 Nordex N149/5.X		2588,2	2577,0	2524,1	2503,7	2478,5	2459,1	2421,1	2396,2	2376,0	2310,6
WEA ZB06 Nordex N149/5.X		2527,2	2512,6	2460,1	2440,6	2416,8	2398,4	2361,7	2338,2	2318,9	2239,0
WEA VB01 ENERCON E66/18.70		5443,8	5447,5	5402,5	5382,5	5356,8	5337,5	5301,6	5276,7	5257,4	5254,6
WEA VB02 Enronwind EW 1.5s		4641,0	4647,3	4605,2	4585,9	4560,9	4542,3	4508,0	4483,9	4465,4	4475,1
WEA VB03 Enronwind EW 1.5s		5131,8	5137,7	5095,0	5075,6	5050,4	5031,7	4997,1	4972,8	4954,1	4961,3
WEA VB04 Enronwind EW 1.5s		4853,0	4860,9	4820,8	4802,0	4777,6	4759,4	4726,4	4702,8	4684,9	4701,7
WEA VB05 Enronwind EW 1.5s		5250,0	5257,9	5217,8	5199,0	5174,6	5156,4	5123,3	5099,7	5081,8	5098,3
WEA VB06 Enronwind EW 1.5s		4867,6	4873,4	4830,7	4811,2	4786,0	4767,2	4732,7	4708,3	4689,7	4696,8
WEA VB07 Nordex N90		5261,3	5266,0	5222,0	5202,2	5176,7	5157,6	5122,3	5097,6	5078,6	5080,3
WEA VB08 Vestas V90-2MW		4647,9	4648,8	4601,3	4780,7	4754,5	4734,8	4697,6	4672,1	4652,2	4637,5
WEA VB09 Vestas V90-2MW		4822,8	4821,2	4771,8	4750,9	4724,5	4704,5	4666,6	4640,7	4620,4	4594,9
WEA VB10 Vestas V90-2MW		5249,8	5251,3	5204,3	5183,3	5157,7	5138,0	5101,1	5075,6	5055,8	5043,4
WEA VB11 Vestas V90-2MW		5037,2	5039,9	5044,0	5023,5	4997,9	4978,4	4942,1	4916,9	4897,3	4900,5
WEA VB12 Vestas V90-2MW		4788,8	4790,5	4745,4	4725,4	4699,7	4680,4	4644,5	4619,5	4600,2	4567,3
WEA VB13 Vestas V90-2MW		4995,6	4992,0	4941,7	4886,2	4865,0	4843,0	4795,0	4770,4	4756,3	4721,5
WEA VB14 Vestas V90-2MW		5071,5	5070,0	5020,6	4999,7	4973,3	4953,3	4915,4	4889,5	4869,2	4843,6
WEA VB15 Vestas V90-2MW		4742,7	4738,4	4687,3	4666,3	4639,9	4619,8	4581,3	4555,4	4534,8	4497,3

WEA \ IO	I131	I132	I133	I134	I135	I136	I137	I138	I139	I140
	IO-131 Dersewitz 21, Dersewitz	IO-132 Dersewitz 22, Dersewitz	IO-133 Dersewitz 23, Dersewitz	IO-134 Dersewitz 24, Dersewitz	IO-135 Dersewitz 25, Dersewitz	IO-136 Dersewitz 34a, Dersewitz	IO-137 Dersewitz 34, Dersewitz	IO-138 Dersewitz 26, Dersewitz	IO-139 Dersewitz 27, Dersewitz	IO-140 Dersewitz 28, Dersewitz
WEA ZB01										
Nordex N149/5.X	1232,9	1248,6	1277,2	1290,4	1365,9	1357,3	1433,2	1446,4	1482,1	1464,0
WEA ZB02										
Nordex N149/5.X	1271,7	1286,5	1314,6	1329,1	1396,0	1404,8	1488,6	1479,6	1518,6	1513,5
WEA ZB03										
Nordex N149/5.X	1615,8	1631,0	1659,6	1673,9	1744,1	1747,8	1830,0	1827,6	1866,0	1856,9
WEA ZB04										
Nordex N149/5.X	1700,8	1714,7	1741,6	1756,2	1817,0	1833,2	1917,9	1899,4	1938,7	1939,5
WEA ZB05										
Nordex N149/5.X	2344,6	2358,7	2385,9	2400,4	2462,3	2477,3	2561,9	2544,9	2584,2	2584,2
WEA ZB06										
Nordex N149/5.X	2268,7	2281,6	2307,1	2321,4	2376,0	2398,4	2482,7	2456,0	2495,0	2501,2
WEA VB01										
ENERCON E66/18.70	5297,0	5312,6	5340,9	5353,7	5430,0	5417,1	5488,7	5508,7	5542,9	5521,0
WEA VB02										
Enronwind EW 1.5s	4517,7	4533,1	4560,7	4572,6	4649,5	4631,3	4698,1	4725,0	4757,1	4731,4
WEA VB03										
Enronwind EW 1.5s	5003,9	5019,3	5047,1	5059,3	5136,1	5118,9	5186,7	5212,3	5244,8	5219,8
WEA VB04										
Enronwind EW 1.5s	4744,3	4759,4	4786,5	4798,0	4874,7	4853,6	4917,3	4948,0	4978,8	4951,0
WEA VB05										
Enronwind EW 1.5s	5140,8	5156,0	5183,1	5194,6	5271,4	5250,4	5314,2	5344,8	5375,6	5347,9
WEA VB06										
Enronwind EW 1.5sl	4739,4	4754,8	4782,6	4794,7	4871,5	4854,4	4922,2	4947,7	4980,3	4955,3
WEA VB07										
Nordex N90	5122,8	5138,3	5166,4	5178,9	5255,5	5240,7	5310,7	5333,2	5366,7	5343,4
WEA VB08										
Vestas V90-2MW	4679,3	4694,9	4723,6	4737,0	4812,1	4804,4	4880,0	4893,2	4929,0	4911,0
WEA VB09										
Vestas V90-2MW	4635,7	4651,2	4680,0	4693,9	4767,2	4764,4	4843,1	4849,8	4886,9	4872,6
WEA VB10										
Vestas V90-2MW	5085,3	5101,0	5129,6	5142,9	5218,3	5209,6	5284,5	5299,0	5334,5	5315,8
WEA VB11										
Vestas V90-2MW	4932,7	4948,3	4976,8	4989,8	5065,8	5054,7	5127,7	5145,4	5180,2	5159,6
WEA VB12										
Vestas V90-2MW	4640,0	4655,6	4693,9	4696,7	4773,0	4760,0	4831,6	4851,7	4885,8	4863,9
WEA VB13										
Vestas V90-2MW	4760,8	4776,1	4804,3	4819,1	4895,7	4882,3	4973,7	4973,3	5011,4	5001,4
WEA VB14										
Vestas V90-2MW	4884,4	4900,0	4928,8	4942,7	5016,0	5013,1	5091,9	5098,6	5135,7	5121,4
WEA VB15										
Vestas V90-2MW	4536,6	4551,9	4580,6	4594,8	4665,5	4668,1	4749,5	4749,0	4787,2	4777,2

WEA \ IO	I141	I142	I143	I144	I145	I146	I147	I148	I149	I150
	IO-141 Dersewitz 29, Dersewitz	IO-142 Dersewitz 30, Dersewitz	IO-143 Dersewitz 33, Dersewitz	IO-144 Dersewitz 10, Dersewitz	IO-145 Dersewitz 35, Dersewitz	IO-146 Dersewitz 36, Dersewitz	IO-147 Dersewitz 37, Dersewitz	IO-148 Dersewitz 38, Dersewitz	IO-149 Dersewitz 11, Dersewitz	IO-150 Dersewitz 12, Dersewitz
WEA ZB01 Nordex N149/5.X	1572,2	1607,0	1459,5	1405,6	1439,7	1439,5	1441,4	1443,8	1372,8	1330,3
WEA ZB02 Nordex N149/5.X	1640,9	1678,8	1527,0	1471,3	1518,9	1521,4	1530,9	1535,4	1431,6	1383,4
WEA ZB03 Nordex N149/5.X	1979,3	2016,5	1864,8	1809,2	1852,6	1854,2	1861,0	1864,8	1771,3	1724,4
WEA ZB04 Nordex N149/5.X	2072,1	2110,5	1960,3	1905,3	1957,0	1960,5	1972,6	1977,6	1863,8	1814,7
WEA ZB05 Nordex N149/5.X	2715,9	2754,2	2603,5	2548,3	2598,9	2602,1	2613,3	2618,2	2507,2	2458,1
WEA ZB06 Nordex N149/5.X	2636,8	2675,2	2528,3	2474,6	2529,5	2533,8	2548,2	2553,9	2432,1	2382,7
WEA VB01 ENERCON E66/18.70	5618,0	5650,0	5509,2	5457,6	5484,2	5482,5	5480,1	5481,1	5428,5	5389,0
WEA VB02 Enronwind EW 1.5s	4818,8	4848,7	4713,8	4664,5	4685,7	4693,1	4678,2	4678,5	4638,6	4602,3
WEA VB03 Enronwind EW 1.5s	5309,1	5339,4	5203,3	5153,6	5175,8	5173,3	5188,9	5169,3	5127,1	5090,1
WEA VB04 Enronwind EW 1.5s	5032,2	5060,7	4930,1	4882,3	4900,2	4897,0	4890,6	4890,5	4858,5	4824,2
WEA VB05 Enronwind EW 1.5s	5429,2	5457,7	5327,0	5279,3	5297,1	5294,0	5287,6	5287,5	5255,4	5221,0
WEA VB06 Enronwind EW 1.5s	5044,8	5075,1	4939,9	4889,1	4911,4	4909,0	4904,6	4905,1	4862,6	4825,6
WEA VB07 Nordex N90	5437,0	5468,3	5329,5	5278,7	5303,3	5301,3	5298,0	5298,8	5250,7	5212,3
WEA VB08 Vestas V90-2MW	5016,8	5050,6	4905,0	4851,6	4883,5	4882,6	4882,8	4884,6	4819,6	4777,4
WEA VB09 Vestas V90-2MW	4985,5	5020,8	4872,0	4817,4	4853,7	4853,7	4856,2	4858,7	4782,9	4738,6
WEA VB10 Vestas V90-2MW	5419,9	5453,5	5308,7	5255,6	5286,4	5285,4	5285,1	5286,7	5224,1	5182,4
WEA VB11 Vestas V90-2MW	5259,7	5292,5	5149,8	5097,5	5126,0	5124,6	5123,1	5124,4	5067,4	5026,9
WEA VB12 Vestas V90-2MW	4933,9	4933,6	4852,1	4800,5	4827,2	4825,4	4833,1	4824,1	4771,4	4731,9
WEA VB13 Vestas V90-2MW	5171,7	5157,8	5006,2	4951,5	4990,2	4992,1	4984,2	5001,3	4914,5	4861,9
WEA VB14 Vestas V90-2MW	5234,3	5269,6	5120,8	5066,2	5102,5	5102,5	5105,0	5107,5	5031,8	4987,4
WEA VB15 Vestas V90-2MW	4897,1	4933,7	4782,6	4727,2	4768,2	4769,1	4774,2	4777,4	4690,3	4644,0

WEA	IO	I151	I152	I153	I154	I155	I156	I157	I158	I159	I160
		IO-151 Dersewitz 13, Dersewitz	IO-152 Dersewitz 14, Dersewitz	IO-153 Dersewitz 15, Dersewitz	IO-154 Dersewitz 17, Dersewitz	IO-155 Dersewitz 18, Dersewitz	IO-156 Dersewitz 16, Dersewitz	IO-157 Wussentin 23, Wussentin	IO-158 Wussentin 29, Wussentin	IO-159 Wussentin 26, Wussentin	IO-160 Wussentin 28, Wussentin
WEA ZB01											
Nordex N149/5.X		1297,7	1286,4	1276,6	1273,6	1263,9	1238,5	1451,0	1522,7	1500,4	1560,3
WEA ZB02											
Nordex N149/5.X		1350,7	1338,4	1327,4	1319,4	1308,4	1292,4	1056,5	1128,1	1095,8	1163,0
WEA ZB03											
Nordex N149/5.X		1691,3	1679,2	1668,4	1661,9	1651,2	1632,0	1342,4	1411,4	1366,3	1441,5
WEA ZB04											
Nordex N149/5.X		1783,0	1770,6	1759,4	1749,8	1738,6	1726,8	1049,6	1111,7	1054,2	1134,8
WEA ZB05											
Nordex N149/5.X		2426,2	2413,8	2402,7	2393,4	2382,2	2369,4	1550,0	1597,5	1527,8	1608,7
WEA ZB06											
Nordex N149/5.X		2352,4	2340,2	2329,0	2318,0	2306,9	2299,0	1288,2	1326,2	1253,3	1331,1
WEA VB01											
ENERCON E66/18.70		5357,0	5346,3	5337,0	5335,4	5326,2	5298,8	5003,9	5060,1	4995,2	5077,1
WEA VB02											
Enronwind EW 1.5s		4571,4	4561,3	4552,7	4552,7	4544,2	4514,8	4404,3	4466,7	4408,1	4489,1
WEA VB03											
Enronwind EW 1.5s		5058,9	5048,8	5040,0	5039,7	5031,0	5002,0	4838,3	4898,7	4837,7	4919,3
WEA VB04											
Enronwind EW 1.5s		4794,0	4784,4	4776,3	4777,2	4769,1	4738,7	4702,1	4765,9	4709,2	4789,7
WEA VB05											
Enronwind EW 1.5s		5190,8	5181,2	5173,0	5173,9	5165,7	5135,5	5077,4	5140,2	5082,3	5163,2
WEA VB06											
Enronwind EW 1.5s		4794,4	4784,2	4775,5	4775,1	4766,4	4737,5	4585,0	4646,0	4585,8	4667,2
WEA VB07											
Nordex N90		5180,6	5170,2	5161,1	5160,1	5151,1	5123,0	4888,0	4946,2	4883,2	4965,0
WEA VB08											
Vestas V90-2MW		4744,7	4733,5	4723,6	4720,5	4710,7	4685,5	4275,4	4328,7	4261,8	4343,5
WEA VB09											
Vestas V90-2MW		4705,6	4693,9	4683,7	4679,2	4668,9	4646,0	4107,4	4156,0	4086,5	4167,3
WEA VB10											
Vestas V90-2MW		5149,8	5138,7	5128,9	5126,1	5116,4	5090,8	4689,0	4741,9	4674,7	4756,4
WEA VB11											
Vestas V90-2MW		4994,7	4983,8	4974,3	4972,2	4962,7	4936,1	4607,7	4663,3	4598,1	4680,0
WEA VB12											
Vestas V90-2MW		4699,9	4689,2	4680,0	4678,4	4669,1	4641,8	4378,0	4436,0	4372,9	4454,7
WEA VB13											
Vestas V90-2MW		4835,1	4823,1	4812,4	4806,5	4795,8	4775,5	4096,4	4132,3	4086,2	4138,8
WEA VB14											
Vestas V90-2MW		4954,4	4942,7	4932,5	4928,0	4917,7	4894,8	4344,6	4392,2	4322,2	4402,7
WEA VB15											
Vestas V90-2MW		4610,9	4598,9	4588,2	4582,2	4571,6	4551,4	3874,2	3917,0	3845,2	3924,1

WEA \ IO	I161	I162	I163	I164	I165	I166	I167	I168	I169	I170
	IO-161 Wussentin 30, Wussentin	IO-162 Wussentin 31, Wussentin	IO-163 Wussentin 32, Wussentin	IO-164 Wussentin 34, Wussentin	IO-165 Wussentin 1, Wussentin	IO-166 Wussentin 2, Wussentin	IO-167 Wussentin 3a, Wussentin	IO-168 Wussentin 3, Wussentin	IO-169 Wussentin 4, Wussentin	IO-170 Wussentin 5a, Wussentin
WEA ZB01 Nordex N149/5.X	1559,3	1578,3	1599,4	1608,0	1649,1	1669,0	1704,3	1711,4	1734,7	1726,4
WEA ZB02 Nordex N149/5.X	1167,2	1190,1	1215,3	1226,1	1269,0	1291,0	1329,2	1339,7	1361,4	1360,2
WEA ZB03 Nordex N149/5.X	1452,4	1479,1	1508,3	1521,2	1564,9	1588,6	1628,7	1642,3	1662,0	1667,4
WEA ZB04 Nordex N149/5.X	1153,0	1183,2	1216,1	1231,1	1274,1	1298,9	1340,1	1357,3	1373,6	1387,9
WEA ZB05 Nordex N149/5.X	1635,7	1668,1	1703,4	1720,1	1758,9	1783,6	1823,5	1844,2	1855,0	1880,1
WEA ZB06 Nordex N149/5.X	1361,3	1393,8	1429,1	1446,1	1481,6	1505,5	1543,6	1565,6	1573,4	1603,1
WEA VB01 ENERCON E66/18.70	5100,3	5132,0	5166,5	5182,4	5223,8	5248,9	5289,8	5308,8	5322,6	5342,2
WEA VB02 Enronwind EW 1.5s	4508,0	4538,2	4571,1	4586,0	4629,0	4653,9	4695,1	4712,0	4728,5	4742,1
WEA VB03 Enronwind EW 1.5s	4939,7	4970,5	5004,0	5019,4	5061,9	5086,9	5128,1	5145,8	5161,4	5177,1
WEA VB04 Enronwind EW 1.5s	4807,3	4837,0	4869,3	4884,0	4927,2	4951,9	4993,1	5009,3	5026,6	5038,5
WEA VB05 Enronwind EW 1.5s	5181,6	5211,7	5244,4	5259,2	5302,3	5327,1	5368,3	5385,0	5401,7	5414,7
WEA VB06 Enronwind EW 1.5sl	4687,1	4717,8	4751,1	4766,3	4809,0	4833,9	4875,2	4892,6	4908,5	4923,6
WEA VB07 Nordex N90	4988,9	5019,2	5052,3	5068,0	5109,9	5135,0	5176,1	5194,5	5209,2	5226,9
WEA VB08 Vestas V90-2MW	4368,2	4400,3	4435,2	4451,5	4492,0	4516,9	4557,6	4577,3	4589,9	4611,8
WEA VB09 Vestas V90-2MW	4194,3	4226,7	4262,0	4278,7	4317,5	4342,2	4382,1	4402,8	4413,5	4438,7
WEA VB10 Vestas V90-2MW	4781,4	4813,5	4848,4	4864,8	4905,1	4930,0	4970,6	4990,5	5002,9	5025,1
WEA VB11 Vestas V90-2MW	4703,5	4735,2	4769,8	4785,8	4827,0	4852,1	4893,0	4912,2	4925,7	4945,7
WEA VB12 Vestas V90-2MW	4475,7	4508,0	4542,1	4557,9	4599,7	4624,8	4665,8	4684,4	4699,0	4716,0
WEA VB13 Vestas V90-2MW	4155,4	4200,0	4235,1	4252,3	4294,5	4319,6	4362,0	4379,6	4391,8	4411,1
WEA VB14 Vestas V90-2MW	4430,2	4462,7	4498,0	4514,7	4553,1	4577,8	4617,4	4638,4	4648,7	4674,5
WEA VB15 Vestas V90-2MW	3953,4	3986,0	4021,3	4038,3	4074,9	4099,1	4137,7	4159,4	4167,8	4196,6

WEA \ IO	I171	I172	I173	I174	I175	I176	I177	I178	I179	I180
	IO-171 Wussentin 6, Wussentin	IO-172 Wussentin 7, Wussentin	IO-173 Wussentin 7a, Wussentin	IO-174 Wussentin 8, Wussentin	IO-175 Wussentin 8b, Wussentin	IO-176 Wussentin 10, Wussentin	IO-177 Wussentin 11, Wussentin	IO-178 Wussentin 13, Wussentin	IO-179 Wussentin 14, Wussentin	IO-180 Wussentin 15, Wussentin
WEA ZB01										
Nordex N149/5.X	1771,4	1758,4	1809,8	1852,9	1901,0	1861,3	1858,0	1774,0	1737,2	1686,3
WEA ZB02										
Nordex N149/5.X	1406,6	1399,1	1456,6	1506,4	1556,0	1529,7	1520,8	1427,6	1386,5	1323,8
WEA ZB03										
Nordex N149/5.X	1714,1	1711,4	1772,5	1826,6	1876,0	1859,4	1847,1	1749,1	1705,8	1635,0
WEA ZB04										
Nordex N149/5.X	1433,4	1437,8	1502,7	1561,7	1609,4	1609,9	1591,9	1489,0	1443,4	1362,6
WEA ZB05										
Nordex N149/5.X	1921,3	1934,4	2000,3	2062,3	2105,7	2125,7	2102,2	1998,5	1952,7	1864,9
WEA ZB06										
Nordex N149/5.X	1641,2	1658,3	1723,3	1785,5	1825,9	1855,9	1829,8	1727,9	1683,0	1593,6
WEA VB01										
ENERCON E66/18,70	5388,1	5394,3	5460,1	5520,6	5567,0	5573,5	5554,1	5450,4	5404,4	5320,7
WEA VB02										
Enronwind EW 1.5s	4787,9	4791,1	4855,4	4913,4	4961,7	4956,2	4940,5	4838,8	4793,8	4715,4
WEA VB03										
Enronwind EW 1.5s	5222,3	5227,3	5292,2	5351,1	5398,9	5397,4	5380,4	5277,9	5232,5	5152,1
WEA VB04										
Enronwind EW 1.5s	5084,5	5086,4	5150,1	5207,1	5255,8	5246,8	5232,2	5131,6	5088,9	5010,3
WEA VB05										
Enronwind EW 1.5s	5460,6	5463,3	5527,4	5584,9	5633,5	5626,4	5611,2	5510,0	5465,1	5387,4
WEA VB06										
Enronwind EW 1.5sl	4968,9	4973,4	5038,1	5096,0	5144,8	5142,0	5125,4	5023,2	4977,8	4898,0
WEA VB07										
Nordex N90	5271,5	5278,2	5343,6	5403,5	5450,6	5453,3	5435,0	5331,8	5286,0	5203,8
WEA VB08										
Vestas V90-2MW	4654,7	4664,9	4730,9	4792,1	4837,5	4849,1	4828,2	4724,1	4678,1	4592,7
WEA VB09										
Vestas V90-2MW	4479,9	4493,0	4558,9	4620,9	4664,4	4683,4	4660,4	4556,5	4510,6	4423,2
WEA VB10										
Vestas V90-2MW	5067,9	5078,3	5144,3	5205,6	5250,8	5263,1	5241,9	5137,9	5091,9	5008,2
WEA VB11										
Vestas V90-2MW	4989,5	4998,1	5063,9	5124,6	5170,8	5178,4	5158,6	5054,8	5008,8	4924,8
WEA VB12										
Vestas V90-2MW	4761,4	4788,2	4852,7	4893,6	4940,6	4943,6	4925,4	4822,1	4776,3	4693,9
WEA VB13										
Vestas V90-2MW	4448,7	4468,0	4531,1	4593,6	4634,4	4660,7	4637,2	4534,7	4489,4	4406,5
WEA VB14										
Vestas V90-2MW	4715,4	4729,0	4794,8	4856,9	4900,0	4920,5	4897,1	4793,3	4747,5	4659,7
WEA VB15										
Vestas V90-2MW	4235,5	4251,6	4316,9	4379,1	4420,3	4447,5	4422,2	4319,4	4274,1	4185,1

WEA \ IO	I181	I182	I183	I184	I185	I186	I187	I188	I189	I190
	IO-181 Wussentin 17, Wussentin	IO-182 Wussentin 16, Wussentin	IO-183 Wussentin 18, Wussentin	IO-184 Wussentin 19, Wussentin	IO-185 Wussentin 22, Wussentin	IO-186 Wussentin 21, Wussentin	IO-187 Wussentin 20, Wussentin	IO-188 Wussentin 12, Wussentin	IO-189 Brenkenhof 10, Brenkenhof	IO-190 Brenkenhof 14, Brenkenhof
WEA ZB01 Nordex N149/5.X	1634,4	1666,7	1603,5	1620,8	1588,6	1533,2	1523,5	1714,5	2812,6	2836,4
WEA ZB02 Nordex N149/5.X	1272,1	1303,7	1237,8	1245,2	1208,0	1152,0	1137,4	1415,3	2391,3	2271,2
WEA ZB03 Nordex N149/5.X	1584,7	1614,8	1548,3	1546,4	1505,1	1450,1	1430,6	1763,4	2374,5	2220,2
WEA ZB04 Nordex N149/5.X	1316,4	1343,2	1278,5	1263,2	1218,2	1167,1	1142,3	1555,8	1971,2	1829,8
WEA ZB05 Nordex N149/5.X	1826,3	1847,6	1788,9	1758,7	1712,4	1669,9	1640,4	2113,2	1738,7	1536,9
WEA ZB06 Nordex N149/5.X	1560,2	1577,8	1524,2	1486,8	1441,2	1404,8	1373,8	1870,3	1449,2	1272,1
WEA VB01 ENERCON E66/18.70	5276,9	5301,9	5238,8	5217,8	5171,8	5123,7	5096,7	5519,6	4711,9	4461,8
WEA VB02 Enronwind EW 1.5s	4668,0	4695,7	4630,3	4617,6	4572,9	4521,1	4496,9	4875,3	4449,7	4201,4
WEA VB03 Enronwind EW 1.5s	5105,8	5132,7	5067,9	5052,3	5007,0	4956,5	4931,2	5325,2	4748,4	4498,0
WEA VB04 Enronwind EW 1.5s	4982,1	4990,5	4924,6	4914,3	4870,2	4817,6	4794,2	5157,8	4799,1	4551,3
WEA VB05 Enronwind EW 1.5s	5339,7	5367,7	5302,0	5290,3	5245,8	5193,7	5169,8	5541,4	5097,1	4847,6
WEA VB06 Enronwind EW 1.5sl	4851,4	4878,5	4813,5	4798,8	4753,7	4702,8	4677,8	5067,4	4546,4	4296,7
WEA VB07 Nordex N90	5158,7	5184,7	5120,7	5102,2	5056,5	5007,2	4981,0	5390,8	4694,4	4443,7
WEA VB08 Vestas V90-2MW	4550,5	4574,3	4512,5	4488,2	4441,9	4395,7	4367,7	4808,0	3927,9	3677,7
WEA VB09 Vestas V90-2MW	4383,9	4405,7	4348,3	4317,2	4270,8	4227,7	4198,4	4860,2	3598,9	3350,5
WEA VB10 Vestas V90-2MW	4984,3	4988,0	4926,3	4901,6	4855,3	4809,4	4781,3	5222,8	4288,1	4038,9
WEA VB11 Vestas V90-2MW	4331,2	4306,1	4345,2	4321,5	4275,4	4227,7	4200,5	5127,4	4323,7	4073,0
WEA VB12 Vestas V90-2MW	4543,6	4571,8	4510,9	4492,2	4445,4	4397,2	4371,0	4850,0	4220,7	3978,9
WEA VB13 Vestas V90-2MW	4385,1	4384,1	4323,5	4305,8	4247,8	4190,7	4176,5	4662,1	3854,5	3612,4
WEA VB14 Vestas V90-2MW	4621,0	4642,4	4583,5	4553,5	4507,1	4464,7	4435,2	4900,4	3776,8	3530,2
WEA VB15 Vestas V90-2MW	4149,4	4168,7	4112,6	4078,3	4032,3	3993,1	3962,7	4444,2	3192,5	2947,5

WEA	IO	I191	I192	I193	I194	I195	I196	I197	I198
		IO-191 Brenkenhof 13, Brenkenhof	IO-192 Brenkenhof 2, Brenkenhof	IO-193 Brenkenhof 4, Brenkenhof	IO-194 Brenkenhof 5 Brenkenhof	IO-195 Brenkenhof 6, Brenkenhof	IO-196 Brenkenhof 11, Brenkenhof	IO-197 Brenkenhof 15, Brenkenhof	IO-198 Brenkenhof 8, Brenkenhof
WEA ZB01									
Nordex N149/5.X		2674,2	2676,3	2689,3	2699,8	2717,2	2729,6	2732,5	2747,0
WEA ZB02									
Nordex N149/5.X		2267,0	2289,3	2298,6	2301,7	2315,8	2324,7	2323,6	2334,8
WEA ZB03									
Nordex N149/5.X		2211,4	2194,9	2207,5	2225,3	2246,6	2263,2	2271,6	2290,8
WEA ZB04									
Nordex N149/5.X		1823,1	1827,9	1838,4	1847,8	1865,3	1877,9	1881,8	1897,5
WEA ZB05									
Nordex N149/5.X		1521,5	1448,2	1464,7	1502,7	1533,6	1561,0	1583,9	1614,8
WEA ZB06									
Nordex N149/5.X		1260,9	1232,9	1245,6	1266,1	1289,6	1309,2	1322,3	1346,1
WEA VB01									
ENERCON E66/18.70		4434,6	4219,7	4242,6	4330,1	4377,8	4426,2	4480,5	4531,1
WEA VB02									
Enronwind EW 1.5s		4176,2	3987,4	4010,2	4090,1	4136,1	4181,6	4229,8	4277,4
WEA VB03									
Enronwind EW 1.5s		4471,8	4270,2	4293,2	4377,0	4424,0	4471,0	4522,3	4571,5
WEA VB04									
Enronwind EW 1.5s		4526,2	4338,8	4361,7	4441,2	4487,1	4532,3	4580,2	4627,6
WEA VB05									
Enronwind EW 1.5s		4821,9	4626,3	4649,3	4731,3	4777,9	4824,2	4874,0	4922,4
WEA VB06									
Enronwind EW 1.5sl		4270,9	4074,5	4097,4	4179,7	4226,3	4272,7	4322,7	4371,3
WEA VB07									
Nordex N90		4417,0	4208,4	4231,4	4317,2	4364,6	4412,5	4465,3	4515,3
WEA VB08									
Vestas V90-2MW		3650,6	3436,8	3459,6	3546,9	3594,5	3642,8	3696,9	3747,4
WEA VB09									
Vestas V90-2MW		3322,9	3101,6	3124,2	3213,4	3261,0	3310,0	3365,8	3416,9
WEA VB10									
Vestas V90-2MW		4011,5	3792,3	3815,0	3903,7	3951,3	4000,2	4055,4	4106,4
WEA VB11									
Vestas V90-2MW		4046,3	3834,0	3856,9	3943,7	3991,3	4039,5	4093,2	4143,6
WEA VB12									
Vestas V90-2MW		3913,9	3711,0	3734,0	3823,1	3875,2	3924,4	3993,9	4043,3
WEA VB13									
Vestas V90-2MW		3094,5	2858,7	2875,9	2966,6	3013,7	3062,0	3123,9	3172,4
WEA VB14									
Vestas V90-2MW		3502,5	3277,0	3299,4	3389,5	3437,1	3486,3	3543,0	3594,4
WEA VB15									
Vestas V90-2MW		2919,7	2692,0	2714,1	2804,7	2852,1	2901,4	2958,6	3010,1

5 Ergebnisse

5.1 Zeitdauer der Beschattung der betrachteten Immissionsorte durch die WEA

Die Hauptergebnisse (astronomische jährliche Beschattung, max. astronomische tägliche Beschattung, beschattende WEA) der Berechnungen sind für die WEA der Zusatzbelastung in Tabelle 5.1, für die WEA der Vorbelastung in Tabelle 5.2 und für die WEA der Gesamtbelastung in Tabelle 5.3 für alle Immissionsorte, die durch die jeweiligen WEA beschattet werden, dargestellt.

Für die Immissionsorte, an denen Beschattung durch die zu beurteilenden WEA auftritt, sind in den Tabellen in der Anhang 9.1 die ausführlichen Ergebnisse dargestellt. Darin sind im Kopf des Datenblatts die geographischen Daten des Standortes und die Koordinaten des jeweiligen Immissionsortes enthalten. In der darunter befindlichen Tabelle sind in den Spalten 3 bis 19 für jede den Immissionsort beschattende WEA neben den Eingangsgrößen zusätzlich die Entfernung vom Immissionsort und der Azimutwinkel der WEA angegeben.

Als wichtigste Ergebnisse der Schattenberechnung enthalten die Spalten 3 bis 19 für jede beschattende WEA die jährliche **astronomische Beschattungsdauer** in h/a, die **maximale tägliche Beschattungsdauer** in min/d, die **Anzahl der Beschattungstage**, den **jahreszeitlichen Beschattungszeitraum** und die **Tageszeit der Beschattung** an einem Tag in der Mitte der jeweiligen Beschattungsperiode. In der letzten Spalte (20, Gesamt) befinden sich für den jeweiligen Immissionsort die entsprechenden resultierenden Werte aus allen WEA. Dabei werden Überschneidungen der Beschattungen durch mehrere WEA an einem einzelnen Tag berücksichtigt und z. B. bezüglich der maximalen täglichen Beschattungsdauer diese nicht addiert. Das gilt auch für die Anzahl der Beschattungstage und die Beschattungsdauer. Als weiterer Ergebniswert ist die gesamte **wahrscheinliche Beschattungsdauer** (siehe Abschnitt 2.1) angegeben.

5.1.1 Zusatzbelastung

Tabelle 5.1: Hauptergebnisse der Beschattung der Immissionsorte, die sich im Einwirkungsbereich der WEA der Zusatzbelastung befinden

Lfd-Nr.	Adresse	astr. Beschattung in h/a	max. astr. Beschattung in min/d	Beschattende WEA
1	IO-01 Wussentin 25a, Wussentin	81,7	50	WEAZB01, WEAZB02, WEAZB03, WEAZB04, WEAZB05, WEAZB06
2	IO-02 Wussentin 25, Wussentin	98,3	60	WEAZB01, WEAZB02, WEAZB03, WEAZB04, WEAZB05, WEAZB06
3	IO-03 Wussentin 24, Wussentin	100,0	50	WEAZB01, WEAZB02, WEAZB03, WEAZB04, WEAZB05, WEAZB06
4	IO-04 Dersewitz 19, Dersewitz	36,7	30	WEAZB01
5	IO-05 Grüttow 1, Grüttow	33,3	30	WEAZB01, WEAZB02, WEAZB03
6	IO-06 Grüttow 3, Grüttow	36,7	30	WEAZB01, WEAZB02, WEAZB03, WEAZB04
7	IO-07 Grüttow 4, Grüttow	36,7	30	WEAZB01, WEAZB02, WEAZB03
8	IO-08 Mühlenstraße 17, Medow	51,7	40	WEAZB05, WEAZB06
9	IO-11 Brenkenhof 12, Brenkenhof	1,7	10	WEAZB05
10	IO-13 Dersewitz 1, Dersewitz	3,3	10	WEAZB01
11	IO-14 Dersewitz 31, Dersewitz	10,0	20	WEAZB01
12	IO-15 Dersewitz 32, Dersewitz	8,3	20	WEAZB01
13	IO-16 Stolper Straße 5, Medow	33,3	30	WEAZB05, WEAZB06
14	IO-17 Stolper Straße 2, Medow	5,0	10	WEAZB05
15	IO-18 Tramstower Straße 6, Medow	13,3	20	WEAZB05

Lfd-Nr.	Adresse	astr. Beschattung in h/a	max. astr. Beschattung in min/d	Beschattende WEA
16	IO-19 Tramstower Straße 4, Medow	11,7	20	WEAZB05
17	IO-20 Pappelallee 1, Medow	1,7	10	WEAZB05
18	IO-49 Stolper Straße 1, Medow	26,7	30	WEAZB05, WEAZB06
19	IO-50 Stolper Straße 3, Medow	31,7	40	WEAZB05, WEAZB06
20	IO-51 Stolper Straße 4, Medow	28,3	30	WEAZB05, WEAZB06
21	IO-52 Gutshof 5, Medow	5,0	10	WEAZB06
22	IO-53 Gutshof 3, Medow	16,7	20	WEAZB06
23	IO-54 Gutshof 8, Medow	13,3	20	WEAZB06
24	IO-55 Gutshof 17, Medow	3,3	10	WEAZB06
25	IO-57 Gutshof 14, Medow	8,3	20	WEAZB06
26	IO-58 Hauptstraße 19, Medow	16,7	30	WEAZB06
27	IO-68 Hauptstraße 36, Medow	1,7	10	WEAZB06
28	IO-69 Hauptstraße 34, Medow	5,0	20	WEAZB06
29	IO-70 Hauptstraße 30, Medow	16,7	20	WEAZB06
30	IO-71 Hauptstraße 28, Medow	20,0	30	WEAZB06

Lfd-Nr.	Adresse	astr. Beschattung in h/a	max. astr. Beschattung in min/d	Beschattende WEA
31	IO-72 Mühlenstraße 1a, Medow	26,7	30	WEAZB06
32	IO-73 Mühlenstraße 1b, Medow	21,7	30	WEAZB06
33	IO-74 Mühlenstraße 1c, Medow	21,7	30	WEAZB06
34	IO-75 Gartenlaube a, Medow	23,3	30	WEAZB06
35	IO-76 Mühlenstraße 5, Medow	25,0	20	WEAZB06
36	IO-77 Mühlenstraße 7, Medow	30,0	30	WEAZB05, WEAZB06
37	IO-78 Mühlenstraße 9, Medow	35,0	40	WEAZB05, WEAZB06
38	IO-79 Mühlenstraße 11, Medow	45,0	40	WEAZB05, WEAZB06
39	IO-80 Mühlenstraße 13, Medow	46,7	30	WEAZB05, WEAZB06
40	IO-81 Mühlenstraße 15, Medow	41,7	30	WEAZB05, WEAZB06
41	IO-82 Mühlenstraße 10, Medow	45,0	30	WEAZB05, WEAZB06
42	IO-83 Mühlenstraße 6, Medow	26,7	30	WEAZB05, WEAZB06
43	IO-84 Mühlenstraße 2, Medow	25,0	30	WEAZB06
44	IO-85 Gartenlaube b, Medow	26,7	30	WEAZB06
45	IO-86 Hauptstraße 26, Medow	21,7	30	WEAZB06

Lfd-Nr.	Adresse	astr. Beschattung in h/a	max. astr. Beschattung in min/d	Beschattende WEA
46	IO-87 Hauptstraße 17, Medow	18,3	20	WEAZB06
47	IO-88 Hauptstraße 24, Medow	18,3	30	WEAZB06
48	IO-89 Hauptstraße 22, Medow	23,3	30	WEAZB06
49	IO-90 Kirchstraße 1, Medow	23,3	20	WEAZB06
50	IO-91 Kirchstraße 3, Medow	25,0	30	WEAZB06
51	IO-92 Kirchstraße 5, Medow	31,7	40	WEAZB05, WEAZB06
52	IO-93 Kirchstraße 7, Medow	33,3	30	WEAZB05, WEAZB06
53	IO-94 Kirchstraße 11, Medow	41,7	30	WEAZB05, WEAZB06
54	IO-95 Kirchstraße 13, Medow	43,3	40	WEAZB05, WEAZB06
55	IO-96 Kirchstraße 15, Medow	41,7	30	WEAZB05, WEAZB06
56	IO-97 Kirchstraße 16, Medow	41,7	30	WEAZB05, WEAZB06
57	IO-98 Kirchstraße 14, Medow	40,0	30	WEAZB05, WEAZB06
58	IO-99 Kirchstraße 9, Medow	45,0	40	WEAZB05, WEAZB06
59	IO-100 Kirchstraße 12, Medow	33,3	30	WEAZB05, WEAZB06

Lfd-Nr.	Adresse	astr. Beschattung in h/a	max. astr. Beschattung in min/d	Beschattende WEA
1	IO-101 Kirchstraße 10, Medow	30,3	30	WEAZB05, WEAZB06
2	IO-102 Kirchstraße 8, Medow	27,6	32	WEAZB05, WEAZB06
3	IO-103 Kirchstraße 6, Medow	22,5	26	WEAZB05, WEAZB06
4	IO-104 Kirchstraße 4, Medow	20,8	22	WEAZB06
5	IO-105 Kirchstraße 2, Medow	19,8	22	WEAZB06
6	IO-106 Hauptstraße 15, Medow	19,1	24	WEAZB06
7	IO-107 Hauptstraße 20, Medow	19,1	22	WEAZB06
8	IO-108 Hauptstraße 18, Medow	19,0	20	WEAZB06
9	IO-109 Grüttow 7, Grüttow	24,5	26	WEAZB01, WEAZB02, WEAZB03
10	IO-110 Grüttow 6, Grüttow	31,3	30	WEAZB01, WEAZB02, WEAZB03
11	IO-111 Grüttow 5, Grüttow	33,0	30	WEAZB01, WEAZB02, WEAZB03
12	IO-112 Grüttow 2, Grüttow	33,8	30	WEAZB01, WEAZB02, WEAZB03
13	IO-113 Grüttow 12, Grüttow	32,7	30	WEAZB01, WEAZB02, WEAZB03
14	IO-114 Grüttow 11, Grüttow	30,8	30	WEAZB01, WEAZB02, WEAZB03
15	IO-115 Grüttow 10, Grüttow	28,9	30	WEAZB01, WEAZB02, WEAZB03

Lfd-Nr.	Adresse	astr. Beschattung in h/a	max. astr. Beschattung in min/d	Beschattende WEA
16	IO-116 Kirche, Grüttow	30,6	30	WEAZB01, WEAZB02, WEAZB03
17	IO-117 Grüttow 9, Grüttow	28,6	28	WEAZB01, WEAZB02, WEAZB03
18	IO-118 Grüttow 8, Grüttow	26,9	26	WEAZB01, WEAZB02, WEAZB03
19	IO-119 Dersewitz 2, Dersewitz	6,9	18	WEAZB01
20	IO-120 Dersewitz 3, Dersewitz	9,5	22	WEAZB01
21	IO-121 Dersewitz 4, Dersewitz	14,6	26	WEAZB01
22	IO-122 Dersewitz 5, Dersewitz	17,2	26	WEAZB01
23	IO-123 Dersewitz 6, Dersewitz	21,0	28	WEAZB01
24	IO-124 Dersewitz 7, Dersewitz	22,5	28	WEAZB01
25	IO-125 Dersewitz 8, Dersewitz	23,9	28	WEAZB01
26	IO-126 Dersewitz 9, Dersewitz	25,2	30	WEAZB01
27	IO-127 Dersewitz 42, Dersewitz	27,6	30	WEAZB01
28	IO-128 Dersewitz 40, Dersewitz	29,3	30	WEAZB01
29	IO-129 Dersewitz 41, Dersewitz	30,6	32	WEAZB01
30	IO-130 Dersewitz 20, Dersewitz	32,5	32	WEAZB01

Lfd-Nr.	Adresse	astr. Beschattung in h/a	max. astr. Beschattung in min/d	Beschattende WEA
31	IO-131 Dersewitz 21, Dersewitz	30,9	30	WEAZB01
32	IO-132 Dersewitz 22, Dersewitz	30,3	30	WEAZB01
33	IO-133 Dersewitz 23, Dersewitz	30,0	30	WEAZB01
34	IO-134 Dersewitz 24, Dersewitz	30,0	28	WEAZB01
35	IO-135 Dersewitz 25, Dersewitz	27,5	28	WEAZB01
36	IO-136 Dersewitz 34a, Dersewitz	27,8	28	WEAZB01
37	IO-137 Dersewitz 34, Dersewitz	23,4	26	WEAZB01
38	IO-138 Dersewitz 26, Dersewitz	25,8	26	WEAZB01
39	IO-139 Dersewitz 27, Dersewitz	24,4	26	WEAZB01
40	IO-140 Dersewitz 28, Dersewitz	23,3	26	WEAZB01
41	IO-141 Dersewitz 29, Dersewitz	14,0	24	WEAZB01
42	IO-142 Dersewitz 30, Dersewitz	11,3	22	WEAZB01
43	IO-143 Dersewitz 33, Dersewitz	19,7	26	WEAZB01
44	IO-144 Dersewitz 10, Dersewitz	22,9	28	WEAZB01
45	IO-145 Dersewitz 35, Dersewitz	17,7	26	WEAZB01

Lfd-Nr.	Adresse	astr. Beschattung in h/a	max. astr. Beschattung in min/d	Beschattende WEA
46	IO-146 Dersewitz 36, Dersewitz	16,9	26	WEAZB01
47	IO-147 Dersewitz 37, Dersewitz	14,7	24	WEAZB01
48	IO-148 Dersewitz 38, Dersewitz	13,9	24	WEAZB01
49	IO-149 Dersewitz 11, Dersewitz	25,9	28	WEAZB01
50	IO-150 Dersewitz 12, Dersewitz	28,5	28	WEAZB01
51	IO-151 Dersewitz 13, Dersewitz	30,0	28	WEAZB01
52	IO-152 Dersewitz 14, Dersewitz	30,5	28	WEAZB01
53	IO-153 Dersewitz 15, Dersewitz	30,8	30	WEAZB01
54	IO-154 Dersewitz 17, Dersewitz	31,1	30	WEAZB01
55	IO-155 Dersewitz 18, Dersewitz	31,4	30	WEAZB01
56	IO-156 Dersewitz 16, Dersewitz	32,5	30	WEAZB01
57	IO-157 Wussentin 23, Wussentin	100,5	48	WEAZB01, WEAZB02, WEAZB03, WEAZB04, WEAZB05, WEAZB06
58	IO-158 Wussentin 29, Wussentin	87,6	46	WEAZB01, WEAZB02, WEAZB03, WEAZB04, WEAZB05, WEAZB06
59	IO-159 Wussentin 26, Wussentin	92,1	50	WEAZB01, WEAZB02, WEAZB03, WEAZB04, WEAZB05, WEAZB06
60	IO-160 Wussentin 28, Wussentin	80,1	46	WEAZB01, WEAZB02, WEAZB03, WEAZB04, WEAZB05, WEAZB06

Lfd-Nr.	Adresse	astr. Beschattung in h/a	max. astr. Beschattung in min/d	Beschattende WEA
61	IO-161 Wussentin 30, Wussentin	80,2	44	WEAZB01, WEAZB02, WEAZB03, WEAZB04, WEAZB05, WEAZB06
62	IO-162 Wussentin 31, Wussentin	77,0	42	WEAZB01, WEAZB02, WEAZB03, WEAZB04, WEAZB05, WEAZB06
63	IO-163 Wussentin 32, Wussentin	74,0	42	WEAZB01, WEAZB02, WEAZB03, WEAZB04, WEAZB05, WEAZB06
64	IO-164 Wussentin 34, Wussentin	72,7	40	WEAZB01, WEAZB02, WEAZB03, WEAZB04, WEAZB05, WEAZB06
65	IO-165 Wussentin 1, Wussentin	67,7	38	WEAZB01, WEAZB02, WEAZB03, WEAZB04, WEAZB05, WEAZB06
66	IO-166 Wussentin 2, Wussentin	64,6	38	WEAZB01, WEAZB02, WEAZB03, WEAZB04, WEAZB05, WEAZB06
67	IO-167 Wussentin 3a, Wussentin	52,5	32	WEAZB01, WEAZB02, WEAZB03, WEAZB04, WEAZB06
68	IO-168 Wussentin 3, Wussentin	51,9	30	WEAZB01, WEAZB02, WEAZB03, WEAZB04, WEAZB06
69	IO-169 Wussentin 4, Wussentin	50,2	32	WEAZB01, WEAZB02, WEAZB03, WEAZB04, WEAZB06
70	IO-170 Wussentin 5a, Wussentin	50,7	28	WEAZB01, WEAZB02, WEAZB03, WEAZB04, WEAZB06
71	IO-171 Wussentin 6, Wussentin	47,1	28	WEAZB01, WEAZB02, WEAZB03, WEAZB04, WEAZB06
72	IO-172 Wussentin 7, Wussentin	48,4	24	WEAZB01, WEAZB02, WEAZB03, WEAZB04, WEAZB06
73	IO-173 Wussentin 7a, Wussentin	44,9	24	WEAZB01, WEAZB02, WEAZB03, WEAZB04, WEAZB06
74	IO-174 Wussentin 8, Wussentin	30,6	24	WEAZB02, WEAZB04, WEAZB06
75	IO-175 Wussentin 8b, Wussentin	15,8	22	WEAZB02, WEAZB04

Lfd-Nr.	Adresse	astr. Beschattung in h/a	max. astr. Beschattung in min/d	Beschattende WEA
76	IO-176 Wussentin 10, Wussentin	16,8	22	WEAZB02, WEAZB04
77	IO-177 Wussentin 11, Wussentin	16,8	22	WEAZB02, WEAZB04
78	IO-178 Wussentin 13, Wussentin	50,4	24	WEAZB01, WEAZB02, WEAZB03, WEAZB04, WEAZB06
79	IO-179 Wussentin 14, Wussentin	53,2	24	WEAZB01, WEAZB02, WEAZB03, WEAZB04, WEAZB06
80	IO-180 Wussentin 15, Wussentin	57,1	28	WEAZB01, WEAZB02, WEAZB03, WEAZB04, WEAZB06
81	IO-181 Wussentin 17, Wussentin	62,0	32	WEAZB01, WEAZB02, WEAZB03, WEAZB04, WEAZB06
82	IO-182 Wussentin 16, Wussentin	59,2	30	WEAZB01, WEAZB02, WEAZB03, WEAZB04, WEAZB06
83	IO-183 Wussentin 18, Wussentin	74,9	38	WEAZB01, WEAZB02, WEAZB03, WEAZB04, WEAZB05, WEAZB06
84	IO-184 Wussentin 19, Wussentin	72,1	38	WEAZB01, WEAZB02, WEAZB03, WEAZB04, WEAZB05, WEAZB06
85	IO-185 Wussentin 22, Wussentin	77,1	40	WEAZB01, WEAZB02, WEAZB03, WEAZB04, WEAZB05, WEAZB06
86	IO-186 Wussentin 21, Wussentin	85,3	40	WEAZB01, WEAZB02, WEAZB03, WEAZB04, WEAZB05, WEAZB06
87	IO-187 Wussentin 20, Wussentin	87,4	42	WEAZB01, WEAZB02, WEAZB03, WEAZB04, WEAZB05, WEAZB06
88	IO-188 Wussentin 12, Wussentin	33,5	30	WEAZB01, WEAZB02, WEAZB03, WEAZB04
89	IO-189 Brenkenhof 10, Brenkenhof	21,5	22	WEAZB05, WEAZB06
90	IO-190 Brenkenhof 14, Brenkenhof	16,0	24	WEAZB05

Lfd-Nr.	Adresse	astr. Beschattung in h/a	max. astr. Beschattung in min/d	Beschattende WEA
91	IO-191 Brenkenhof 13, Brenkenhof	12,7	22	WEAZB05
92	IO-196 Brenkenhof 11, Brenkenhof	4,9	16	WEAZB05
93	IO-197 Brenkenhof 15, Brenkenhof	13,0	22	WEAZB05
94	IO-198 Brenkenhof 8, Brenkenhof	17,6	24	WEAZB05

5.1.2 Vorbelastung

Tabelle 5.2: Hauptergebnisse der Beschattung der Immissionsorte, die sich im Einwirkungsbereich der WEA der Vorbelastung befinden

Lfd-Nr.	Adresse	astr. Beschattung in h/a	max. astr. Beschattung in min/d	Beschattende WEA
1	IO-08 Mühlenstraße 17, Medow	10,0	20	WEAVB09
2	IO-09 Hauptstraße 44, Medow	10,0	20	WEAVB15
3	IO-16 Stolper Straße 5, Medow	21,7	30	WEAVB08, WEAVB09, WEAVB14
4	IO-17 Stolper Straße 2, Medow	25,0	30	WEAVB08, WEAVB09, WEAVB12, WEAVB14
5	IO-18 Tramstower Straße 6, Medow	48,3	30	WEAVB08, WEAVB09, WEAVB10, WEAVB11, WEAVB12, WEAVB14
6	IO-19 Tramstower Straße 4, Medow	46,7	30	WEAVB08, WEAVB09, WEAVB10, WEAVB11, WEAVB12, WEAVB14
7	IO-20 Pappelallee 1, Medow	30,0	30	WEAVB08, WEAVB09, WEAVB11, WEAVB12, WEAVB14
8	IO-21 Pappelallee 3, Medow	35,0	30	WEAVB08, WEAVB09, WEAVB10, WEAVB11, WEAVB12, WEAVB14
9	IO-22 Pappelallee 5, Medow	41,7	30	WEAVB08, WEAVB09, WEAVB10, WEAVB11, WEAVB12, WEAVB14, WEAVB15
10	IO-23 Pappelallee 7, Medow	50,0	30	WEAVB08, WEAVB09, WEAVB10, WEAVB11, WEAVB12, WEAVB14, WEAVB15
11	IO-24 Pappelallee 11, Medow	75,0	40	WEAVB08, WEAVB09, WEAVB10, WEAVB11, WEAVB12, WEAVB13, WEAVB14, WEAVB15
12	IO-25 Hauptstraße 2, Medow	75,0	40	WEAVB08, WEAVB09, WEAVB10, WEAVB12, WEAVB13, WEAVB14, WEAVB15
13	IO-26 Hauptstraße 1, Medow	71,7	40	WEAVB08, WEAVB09, WEAVB13, WEAVB14, WEAVB15
14	IO-27 Hauptstraße 3, Medow	63,3	30	WEAVB08, WEAVB09, WEAVB13, WEAVB14, WEAVB15
15	IO-28 Zur Weidenschule 1, Medow	70,0	40	WEAVB08, WEAVB09, WEAVB13, WEAVB14, WEAVB15

Lfd-Nr.	Adresse	astr. Beschattung in h/a	max. astr. Beschattung in min/d	Beschattende WEA
16	IO-29 Zur Weidenschule 3, Medow	65,0	40	WEAVB08, WEAVB09, WEAVB13, WEAVB14, WEAVB15
17	IO-30 Zur Weidenschule 10, Medow	56,7	40	WEAVB08, WEAVB09, WEAVB13, WEAVB14, WEAVB15
18	IO-31 Zur Weidenschule 8, Medow	53,3	40	WEAVB08, WEAVB09, WEAVB13, WEAVB14, WEAVB15
19	IO-32 Zur Weidenschule 6, Medow	60,0	40	WEAVB08, WEAVB09, WEAVB13, WEAVB14, WEAVB15
20	IO-33 Zur Weidenschule 4, Medow	60,0	40	WEAVB08, WEAVB09, WEAVB13, WEAVB14, WEAVB15
21	IO-34 Zur Weidenschule 2, Medow	61,7	40	WEAVB08, WEAVB09, WEAVB13, WEAVB14, WEAVB15
22	IO-35 Hauptstraße 5, Medow	50,0	40	WEAVB08, WEAVB09, WEAVB13, WEAVB14, WEAVB15
23	IO-36 Hauptstraße 6a, Medow	53,3	40	WEAVB08, WEAVB09, WEAVB13, WEAVB14, WEAVB15
24	IO-37 Hauptstraße 6b, Medow	46,7	30	WEAVB08, WEAVB09, WEAVB13, WEAVB14, WEAVB15
25	IO-38 Pappelallee 10, Medow	58,3	30	WEAVB08, WEAVB09, WEAVB10, WEAVB12, WEAVB14, WEAVB15
26	IO-39 Pappelallee 8, Medow	41,7	30	WEAVB08, WEAVB09, WEAVB12, WEAVB14, WEAVB15
27	IO-40 Pappelallee 6, Medow	26,7	20	WEAVB08, WEAVB09, WEAVB12, WEAVB14, WEAVB15
28	IO-41 Pappelallee 4, Medow	30,0	30	WEAVB08, WEAVB09, WEAVB12, WEAVB14
29	IO-42 Pappelallee 2, Medow	28,3	30	WEAVB08, WEAVB09, WEAVB12, WEAVB14
30	IO-43 Tramstower Straße 2, Medow	25,0	30	WEAVB08, WEAVB09, WEAVB12, WEAVB14

Lfd-Nr.	Adresse	astr. Beschattung in h/a	max. astr. Beschattung in min/d	Beschattende WEA
31	IO-44 Hauptstraße 14, Medow	20,0	20	WEAVB08, WEAVB09, WEAVB12, WEAVB14
32	IO-45 Hauptstraße 10, Medow	25,0	30	WEAVB08, WEAVB09, WEAVB14, WEAVB15
33	IO-46 Hauptstraße 8, Medow	40,0	30	WEAVB08, WEAVB09, WEAVB12, WEAVB14, WEAVB15
34	IO-47 Hauptstraße 13, Medow	25,0	30	WEAVB08, WEAVB09, WEAVB12, WEAVB14
35	IO-48 Hauptstraße 16, Medow	23,3	20	WEAVB08, WEAVB09, WEAVB12, WEAVB14
36	IO-49 Stolper Straße 1, Medow	25,0	20	WEAVB08, WEAVB09, WEAVB12, WEAVB14
37	IO-50 Stolper Straße 3, Medow	28,3	20	WEAVB08, WEAVB09, WEAVB12, WEAVB14
38	IO-51 Stolper Straße 4, Medow	31,7	30	WEAVB08, WEAVB09, WEAVB12, WEAVB14
39	IO-52 Gutshof 5, Medow	41,7	30	WEAVB08, WEAVB09, WEAVB14, WEAVB15
40	IO-53 Gutshof 3, Medow	23,3	20	WEAVB08, WEAVB09, WEAVB14, WEAVB15
41	IO-54 Gutshof 8, Medow	21,7	20	WEAVB08, WEAVB09, WEAVB14, WEAVB15
42	IO-55 Gutshof 17, Medow	30,0	30	WEAVB08, WEAVB09, WEAVB13, WEAVB14, WEAVB15
43	IO-56 Gutshof 16, Medow	26,7	30	WEAVB09, WEAVB13, WEAVB15
44	IO-57 Gutshof 14, Medow	20,0	20	WEAVB09, WEAVB15
45	IO-58 Hauptstraße 19, Medow	11,7	20	WEAVB09, WEAVB15

Lfd-Nr.	Adresse	astr. Beschattung in h/a	max. astr. Beschattung in min/d	Beschattende WEA
46	IO-59 Hauptstraße 25b, Meadow	18,3	20	WEAVB09, WEAVB13, WEAVB15
47	IO-60 Hauptstraße 25a, Meadow	16,7	20	WEAVB09, WEAVB13, WEAVB15
48	IO-61 Hauptstraße 31, Meadow	15,0	20	WEAVB13, WEAVB15
49	IO-62 Hauptstraße 33, Meadow	16,7	20	WEAVB13, WEAVB15
50	IO-63 Hauptstraße 35, Meadow	16,7	30	WEAVB13, WEAVB15
51	IO-64 Hauptstraße 37, Meadow	10,0	20	WEAVB15
52	IO-65 Hauptstraße 42, Meadow	10,0	20	WEAVB15
53	IO-66 Hauptstraße 40, Meadow	15,0	20	WEAVB13, WEAVB15
54	IO-67 Hauptstraße 38, Meadow	18,3	30	WEAVB09, WEAVB13, WEAVB15
55	IO-68 Hauptstraße 36, Meadow	16,7	20	WEAVB09, WEAVB13, WEAVB15
56	IO-69 Hauptstraße 34, Meadow	16,7	20	WEAVB09, WEAVB13, WEAVB15
57	IO-70 Hauptstraße 30, Meadow	8,3	20	WEAVB09, WEAVB15
58	IO-71 Hauptstraße 28, Meadow	8,3	20	WEAVB09, WEAVB15
59	IO-72 Mühlenstraße 1a, Meadow	6,7	20	WEAVB09
60	IO-73 Mühlenstraße 1b, Meadow	3,3	10	WEAVB09

Lfd-Nr.	Adresse	astr. Beschattung in h/a	max. astr. Beschattung in min/d	Beschattende WEA
61	IO-74 Mühlenstraße 1c, Medow	3,3	10	WEAVB09
62	IO-75 Gartenlaube a, Medow	3,3	10	WEAVB09
63	IO-76 Mühlenstraße 5, Medow	6,7	10	WEAVB09
64	IO-77 Mühlenstraße 7, Medow	6,7	20	WEAVB09
65	IO-78 Mühlenstraße 9, Medow	8,3	20	WEAVB09
66	IO-79 Mühlenstraße 11, Medow	6,7	20	WEAVB09
67	IO-80 Mühlenstraße 13, Medow	6,7	10	WEAVB09
68	IO-81 Mühlenstraße 15, Medow	8,3	20	WEAVB09
69	IO-82 Mühlenstraße 10, Medow	11,7	20	WEAVB09
70	IO-83 Mühlenstraße 6, Medow	5,0	10	WEAVB09
71	IO-84 Mühlenstraße 2, Medow	11,7	20	WEAVB08, WEAVB09
72	IO-85 Gartenlaube b, Medow	5,0	20	WEAVB09
73	IO-86 Hauptstraße 26, Medow	6,7	10	WEAVB08, WEAVB09
74	IO-87 Hauptstraße 17, Medow	10,0	20	WEAVB09, WEAVB14
75	IO-88 Hauptstraße 24, Medow	15,0	20	WEAVB08, WEAVB09, WEAVB14

Lfd-Nr.	Adresse	astr. Beschattung in h/a	max. astr. Beschattung in min/d	Beschattende WEA
76	IO-89 Hauptstraße 22, Medow	15,0	20	WEAVB08, WEAVB09, WEAVB14
77	IO-90 Kirchstraße 1, Medow	15,0	20	WEAVB08, WEAVB09, WEAVB14
78	IO-91 Kirchstraße 3, Medow	15,0	20	WEAVB08, WEAVB09, WEAVB14
79	IO-92 Kirchstraße 5, Medow	20,0	30	WEAVB08, WEAVB09, WEAVB14
80	IO-93 Kirchstraße 7, Medow	10,0	20	WEAVB08, WEAVB09
81	IO-94 Kirchstraße 11, Medow	15,0	20	WEAVB08, WEAVB09
82	IO-95 Kirchstraße 13, Medow	20,0	20	WEAVB08, WEAVB09
83	IO-96 Kirchstraße 15, Medow	13,3	20	WEAVB08, WEAVB09
84	IO-97 Kirchstraße 16, Medow	16,7	20	WEAVB08, WEAVB09, WEAVB14
85	IO-98 Kirchstraße 14, Medow	20,0	20	WEAVB08, WEAVB09, WEAVB14
86	IO-99 Kirchstraße 9, Medow	13,3	20	WEAVB08, WEAVB09
87	IO-100 Kirchstraße 12, Medow	21,7	30	WEAVB08, WEAVB09, WEAVB14

Lfd-Nr.	Adresse	astr. Beschattung in h/a	max. astr. Beschattung in min/d	Beschattende WEA
1	IO-101 Kirchstraße 10, Medow	19,0	22	WEAVB08, WEAVB09, WEAVB14
2	IO-102 Kirchstraße 8, Medow	17,1	24	WEAVB08, WEAVB09, WEAVB14
3	IO-103 Kirchstraße 6, Medow	16,5	24	WEAVB08, WEAVB09, WEAVB14
4	IO-104 Kirchstraße 4, Medow	16,2	24	WEAVB08, WEAVB09, WEAVB14
5	IO-105 Kirchstraße 2, Medow	15,8	24	WEAVB08, WEAVB09, WEAVB14
6	IO-106 Hauptstraße 15, Medow	14,1	24	WEAVB08, WEAVB09, WEAVB14
7	IO-107 Hauptstraße 20, Medow	17,8	26	WEAVB08, WEAVB09, WEAVB14
8	IO-108 Hauptstraße 18, Medow	18,8	26	WEAVB08, WEAVB09, WEAVB14

5.1.3 Gesamtbelastung

Tabelle 5.3: Hauptergebnisse der Beschattung der Immissionsorte, die sich im Einwirkungsbereich der WEA der Gesamtbelastung befinden

Lfd-Nr.	Adresse	astr. Beschattung in h/a	max. astr. Beschattung in min/d	Beschattende WEA
1	IO-01 Wussentin 25a, Wussentin	81,7	60	WEAZB01, WEAZB02, WEAZB03, WEAZB04, WEAZB05, WEAZB06
2	IO-02 Wussentin 25, Wussentin	98,3	60	WEAZB01, WEAZB02, WEAZB03, WEAZB04, WEAZB05, WEAZB06
3	IO-03 Wussentin 24, Wussentin	100,0	50	WEAZB01, WEAZB02, WEAZB03, WEAZB04, WEAZB05, WEAZB06
4	IO-04 Dersewitz 19, Dersewitz	36,7	30	WEAZB01
5	IO-05 Grüttow 1, Grüttow	33,3	30	WEAZB01, WEAZB02, WEAZB03
6	IO-06 Grüttow 3, Grüttow	36,7	30	WEAZB01, WEAZB02, WEAZB03, WEAZB04
7	IO-07 Grüttow 4, Grüttow	36,7	30	WEAZB01, WEAZB02, WEAZB03
8	IO-08 Mühlenstraße 17, Medow	66,7	40	WEAZB05, WEAZB06, WEAVB09
9	IO-09 Hauptstraße 44, Medow	10,0	20	WEAVB15
10	IO-11 Brenkenhof 12, Brenkenhof	1,7	10	WEAZB05
11	IO-13 Dersewitz 1, Dersewitz	3,3	10	WEAZB01
12	IO-14 Dersewitz 31, Dersewitz	10,0	20	WEAZB01
13	IO-15 Dersewitz 32, Dersewitz	6,7	20	WEAZB01
14	IO-16 Stolper Straße 5, Medow	58,3	30	WEAZB05, WEAZB06, WEAVB08, WEAVB09, WEAVB14
15	IO-17 Stolper Straße 2, Medow	33,3	30	WEAZB05, WEAVB08, WEAVB09, WEAVB12, WEAVB14

Lfd-Nr.	Adresse	astr. Beschattung in h/a	max. astr. Beschattung in min/d	Beschattende WEA
16	IO-18 Tramstower Straße 6, Medow	60,0	30	WEAZB05, WEAVB08, WEAVB09, WEAVB10, WEAVB11, WEAVB12, WEAVB14
17	IO-19 Tramstower Straße 4, Medow	58,3	30	WEAZB05, WEAVB08, WEAVB09, WEAVB10, WEAVB11, WEAVB12, WEAVB14
18	IO-20 Pappelallee 1, Medow	33,3	30	WEAZB05, WEAVB08, WEAVB09, WEAVB11, WEAVB12, WEAVB14
19	IO-21 Pappelallee 3, Medow	35,0	30	WEAVB08, WEAVB09, WEAVB10, WEAVB11, WEAVB12, WEAVB14
20	IO-22 Pappelallee 5, Medow	50,0	30	WEAVB08, WEAVB09, WEAVB10, WEAVB11, WEAVB12, WEAVB14, WEAVB15
21	IO-23 Pappelallee 7, Medow	48,3	30	WEAVB08, WEAVB09, WEAVB10, WEAVB11, WEAVB12, WEAVB14, WEAVB15
22	IO-24 Pappelallee 11, Medow	76,7	40	WEAVB08, WEAVB09, WEAVB10, WEAVB11, WEAVB12, WEAVB13, WEAVB14, WEAVB15
23	IO-25 Hauptstraße 2, Medow	76,7	40	WEAVB08, WEAVB09, WEAVB10, WEAVB12, WEAVB13, WEAVB14, WEAVB15
24	IO-26 Hauptstraße 1, Medow	75,0	40	WEAVB08, WEAVB09, WEAVB13, WEAVB14, WEAVB15
25	IO-27 Hauptstraße 3, Medow	63,3	30	WEAVB08, WEAVB09, WEAVB13, WEAVB14, WEAVB15
26	IO-28 Zur Weidenschule 1, Medow	66,7	40	WEAVB08, WEAVB09, WEAVB13, WEAVB14, WEAVB15
27	IO-29 Zur Weidenschule 3, Medow	65,0	40	WEAVB08, WEAVB09, WEAVB13, WEAVB14, WEAVB15
28	IO-30 Zur Weidenschule 10, Medow	55,0	30	WEAVB08, WEAVB09, WEAVB13, WEAVB14, WEAVB15
29	IO-31 Zur Weidenschule 8, Medow	58,3	40	WEAVB08, WEAVB09, WEAVB13, WEAVB14, WEAVB15
30	IO-32 Zur Weidenschule 6, Medow	61,7	40	WEAVB08, WEAVB09, WEAVB13, WEAVB14, WEAVB15

Lfd-Nr.	Adresse	astr. Beschattung in h/a	max. astr. Beschattung in min/d	Beschattende WEA
31	IO-33 Zur Weidenschule 4, Medow	65,0	40	WEAVB08, WEAVB09, WEAVB13, WEAVB14, WEAVB15
32	IO-34 Zur Weidenschule 2, Medow	63,3	40	WEAVB08, WEAVB09, WEAVB13, WEAVB14, WEAVB15
33	IO-35 Hauptstraße 5, Medow	51,7	30	WEAVB08, WEAVB09, WEAVB13, WEAVB14, WEAVB15
34	IO-36 Hauptstraße 6a, Medow	60,0	40	WEAVB08, WEAVB09, WEAVB12, WEAVB13, WEAVB14, WEAVB15
35	IO-37 Hauptstraße 6b, Medow	55,0	30	WEAVB08, WEAVB09, WEAVB12, WEAVB13, WEAVB14, WEAVB15
36	IO-38 Pappelallee 10, Medow	60,0	30	WEAVB08, WEAVB09, WEAVB10, WEAVB12, WEAVB14, WEAVB15
37	IO-39 Pappelallee 8, Medow	46,7	30	WEAVB08, WEAVB09, WEAVB12, WEAVB14, WEAVB15
38	IO-40 Pappelallee 6, Medow	30,0	30	WEAVB08, WEAVB09, WEAVB12, WEAVB14, WEAVB15
39	IO-41 Pappelallee 4, Medow	28,3	30	WEAVB08, WEAVB09, WEAVB12, WEAVB14
40	IO-42 Pappelallee 2, Medow	23,3	30	WEAVB08, WEAVB09, WEAVB14
41	IO-43 Tramstower Straße 2, Medow	26,7	30	WEAVB08, WEAVB09, WEAVB12, WEAVB14
42	IO-44 Hauptstraße 14, Medow	21,7	20	WEAVB08, WEAVB09, WEAVB12, WEAVB14
43	IO-45 Hauptstraße 10, Medow	25,0	30	WEAVB08, WEAVB09, WEAVB14, WEAVB15
44	IO-46 Hauptstraße 8, Medow	35,0	30	WEAVB08, WEAVB09, WEAVB12, WEAVB14, WEAVB15
45	IO-47 Hauptstraße 13, Medow	23,3	30	WEAVB08, WEAVB09, WEAVB12, WEAVB14

Lfd-Nr.	Adresse	astr. Beschattung in h/a	max. astr. Beschattung in min/d	Beschattende WEA
46	IO-48 Hauptstraße 16, Medow	25,0	30	WEAVB08, WEAVB09, WEAVB12, WEAVB14
47	IO-49 Stolper Straße 1, Medow	51,7	30	WEAZB05, WEAZB06, WEAVB08, WEAVB09, WEAVB14
48	IO-50 Stolper Straße 3, Medow	58,3	30	WEAZB05, WEAZB06, WEAVB08, WEAVB09, WEAVB12, WEAVB14
49	IO-51 Stolper Straße 4, Medow	71,7	30	WEAZB05, WEAZB06, WEAVB08, WEAVB09, WEAVB12, WEAVB14
50	IO-52 Gutshof 5, Medow	48,3	30	WEAZB06, WEAVB08, WEAVB09, WEAVB14, WEAVB15
51	IO-53 Gutshof 3, Medow	41,7	20	WEAZB06, WEAVB08, WEAVB09, WEAVB14, WEAVB15
52	IO-54 Gutshof 8, Medow	33,3	20	WEAZB06, WEAVB08, WEAVB09, WEAVB14, WEAVB15
53	IO-55 Gutshof 17, Medow	38,3	30	WEAZB06, WEAVB08, WEAVB09, WEAVB13, WEAVB14, WEAVB15
54	IO-56 Gutshof 16, Medow	26,7	30	WEAVB09, WEAVB13, WEAVB15
55	IO-57 Gutshof 14, Medow	30,0	20	WEAZB06, WEAVB09, WEAVB15
56	IO-58 Hauptstraße 19, Medow	31,7	30	WEAZB06, WEAVB09, WEAVB15
57	IO-59 Hauptstraße 25b, Medow	18,3	20	WEAVB09, WEAVB13, WEAVB15
58	IO-60 Hauptstraße 25a, Medow	18,3	20	WEAVB09, WEAVB13, WEAVB15
59	IO-61 Hauptstraße 31, Medow	18,3	20	WEAVB13, WEAVB15
60	IO-62 Hauptstraße 33, Medow	16,7	20	WEAVB13, WEAVB15

Lfd-Nr.	Adresse	astr. Beschattung in h/a	max. astr. Beschattung in min/d	Beschattende WEA
61	IO-63 Hauptstraße 35, Meadow	20,0	20	WEAVB13, WEAVB15
62	IO-64 Hauptstraße 37, Meadow	10,0	20	WEAVB15
63	IO-65 Hauptstraße 42, Meadow	11,7	20	WEAVB15
64	IO-66 Hauptstraße 40, Meadow	18,3	20	WEAVB13, WEAVB15
65	IO-67 Hauptstraße 38, Meadow	20,0	30	WEAVB09, WEAVB13, WEAVB15
66	IO-68 Hauptstraße 36, Meadow	18,3	20	WEAZB06, WEAVB09, WEAVB13, WEAVB15
67	IO-69 Hauptstraße 34, Meadow	21,7	20	WEAZB06, WEAVB09, WEAVB13, WEAVB15
68	IO-70 Hauptstraße 30, Meadow	26,7	20	WEAZB06, WEAVB09, WEAVB15
69	IO-71 Hauptstraße 28, Meadow	30,0	30	WEAZB06, WEAVB09, WEAVB15
70	IO-72 Mühlenstraße 1a, Meadow	31,7	30	WEAZB06, WEAVB09
71	IO-73 Mühlenstraße 1b, Meadow	28,3	30	WEAZB06, WEAVB09
72	IO-74 Mühlenstraße 1c, Meadow	28,3	30	WEAZB06, WEAVB09
73	IO-75 Gartenlaube a, Meadow	28,3	30	WEAZB06, WEAVB09
74	IO-76 Mühlenstraße 5, Meadow	30,0	20	WEAZB06, WEAVB09
75	IO-77 Mühlenstraße 7, Meadow	36,7	30	WEAZB05, WEAZB06, WEAVB09

Lfd-Nr.	Adresse	astr. Beschattung in h/a	max. astr. Beschattung in min/d	Beschattende WEA
76	IO-78 Mühlenstraße 9, Medow	43,3	40	WEAZB05, WEAZB06, WEAVB09
77	IO-79 Mühlenstraße 11, Medow	46,7	40	WEAZB05, WEAZB06, WEAVB09
78	IO-80 Mühlenstraße 13, Medow	53,3	30	WEAZB05, WEAZB06, WEAVB09
79	IO-81 Mühlenstraße 15, Medow	51,7	30	WEAZB05, WEAZB06, WEAVB09
80	IO-82 Mühlenstraße 10, Medow	56,7	30	WEAZB05, WEAZB06, WEAVB09
81	IO-83 Mühlenstraße 6, Medow	31,7	20	WEAZB05, WEAZB06, WEAVB09
82	IO-84 Mühlenstraße 2, Medow	33,3	30	WEAZB06, WEAVB08, WEAVB09
83	IO-85 Gartenlaube b, Medow	28,3	30	WEAZB06, WEAVB09
84	IO-86 Hauptstraße 26, Medow	31,7	30	WEAZB06, WEAVB08, WEAVB09
85	IO-87 Hauptstraße 17, Medow	30,0	20	WEAZB06, WEAVB08, WEAVB09, WEAVB14
86	IO-88 Hauptstraße 24, Medow	40,0	30	WEAZB06, WEAVB08, WEAVB09, WEAVB14
87	IO-89 Hauptstraße 22, Medow	40,0	30	WEAZB06, WEAVB08, WEAVB09, WEAVB14
88	IO-90 Kirchstraße 1, Medow	36,7	20	WEAZB06, WEAVB08, WEAVB09, WEAVB14
89	IO-91 Kirchstraße 3, Medow	40,0	30	WEAZB06, WEAVB08, WEAVB09, WEAVB14
90	IO-92 Kirchstraße 5, Medow	48,3	40	WEAZB05, WEAZB06, WEAVB08, WEAVB09, WEAVB14

Lfd-Nr.	Adresse	astr. Beschattung in h/a	max. astr. Beschattung in min/d	Beschattende WEA
91	IO-93 Kirchstraße 7, Medow	46,7	30	WEAZB05, WEAZB06, WEAVB08, WEAVB09
92	IO-94 Kirchstraße 11, Medow	58,3	30	WEAZB05, WEAZB06, WEAVB08, WEAVB09
93	IO-95 Kirchstraße 13, Medow	63,3	40	WEAZB05, WEAZB06, WEAVB08, WEAVB09
94	IO-96 Kirchstraße 15, Medow	55,0	30	WEAZB05, WEAZB06, WEAVB08, WEAVB09
95	IO-97 Kirchstraße 16, Medow	61,7	30	WEAZB05, WEAZB06, WEAVB08, WEAVB09, WEAVB14
96	IO-98 Kirchstraße 14, Medow	61,7	30	WEAZB05, WEAZB06, WEAVB08, WEAVB09, WEAVB14
97	IO-99 Kirchstraße 9, Medow	58,3	40	WEAZB05, WEAZB06, WEAVB08, WEAVB09
98	IO-100 Kirchstraße 12, Medow	60,0	30	WEAZB05, WEAZB06, WEAVB08, WEAVB09, WEAVB14

Lfd-Nr.	Adresse	astr. Beschattung in h/a	max. astr. Beschattung in min/d	Beschattende WEA
1	IO-101 Kirchstraße 10, Medow	49,3	30	WEAZB05, WEAZB06, WEAVB08, WEAVB09, WEAVB14
2	IO-102 Kirchstraße 8, Medow	44,6	32	WEAZB05, WEAZB06, WEAVB08, WEAVB09, WEAVB14
3	IO-103 Kirchstraße 6, Medow	39,0	26	WEAZB05, WEAZB06, WEAVB08, WEAVB09, WEAVB14
4	IO-104 Kirchstraße 4, Medow	36,9	24	WEAZB06, WEAVB08, WEAVB09, WEAVB14
5	IO-105 Kirchstraße 2, Medow	35,6	24	WEAZB06, WEAVB08, WEAVB09, WEAVB14
6	IO-106 Hauptstraße 15, Medow	33,3	24	WEAZB06, WEAVB08, WEAVB09, WEAVB14
7	IO-107 Hauptstraße 20, Medow	36,9	26	WEAZB06, WEAVB08, WEAVB09, WEAVB14
8	IO-108 Hauptstraße 18, Medow	37,7	26	WEAZB06, WEAVB08, WEAVB09, WEAVB14
9	IO-109 Grüttow 7, Grüttow	24,5	26	WEAZB01, WEAZB02, WEAZB03
10	IO-110 Grüttow 6, Grüttow	31,3	30	WEAZB01, WEAZB02, WEAZB03
11	IO-111 Grüttow 5, Grüttow	33,0	30	WEAZB01, WEAZB02, WEAZB03
12	IO-112 Grüttow 2, Grüttow	33,8	30	WEAZB01, WEAZB02, WEAZB03
13	IO-113 Grüttow 12, Grüttow	32,7	30	WEAZB01, WEAZB02, WEAZB03
14	IO-114 Grüttow 11, Grüttow	30,8	30	WEAZB01, WEAZB02, WEAZB03
15	IO-115 Grüttow 10, Grüttow	28,9	30	WEAZB01, WEAZB02, WEAZB03

Lfd-Nr.	Adresse	astr. Beschattung in h/a	max. astr. Beschattung in min/d	Beschattende WEA
16	IO-116 Kirche, Grüttow	30,6	30	WEAZB01, WEAZB02, WEAZB03
17	IO-117 Grüttow 9, Grüttow	28,6	28	WEAZB01, WEAZB02, WEAZB03
18	IO-118 Grüttow 8, Grüttow	26,9	26	WEAZB01, WEAZB02, WEAZB03
19	IO-119 Dersewitz 2, Dersewitz	6,9	18	WEAZB01
20	IO-120 Dersewitz 3, Dersewitz	9,5	22	WEAZB01
21	IO-121 Dersewitz 4, Dersewitz	14,6	26	WEAZB01
22	IO-122 Dersewitz 5, Dersewitz	17,2	26	WEAZB01
23	IO-123 Dersewitz 6, Dersewitz	21,0	28	WEAZB01
24	IO-124 Dersewitz 7, Dersewitz	22,5	28	WEAZB01
25	IO-125 Dersewitz 8, Dersewitz	23,9	28	WEAZB01
26	IO-126 Dersewitz 9, Dersewitz	25,2	30	WEAZB01
27	IO-127 Dersewitz 42, Dersewitz	27,6	30	WEAZB01
28	IO-128 Dersewitz 40, Dersewitz	29,3	30	WEAZB01
29	IO-129 Dersewitz 41, Dersewitz	30,6	32	WEAZB01
30	IO-130 Dersewitz 20, Dersewitz	32,5	32	WEAZB01

Lfd-Nr.	Adresse	astr. Beschattung in h/a	max. astr. Beschattung in min/d	Beschattende WEA
31	IO-131 Dersewitz 21, Dersewitz	30,9	30	WEAZB01
32	IO-132 Dersewitz 22, Dersewitz	30,3	30	WEAZB01
33	IO-133 Dersewitz 23, Dersewitz	30,0	30	WEAZB01
34	IO-134 Dersewitz 24, Dersewitz	30,0	28	WEAZB01
35	IO-135 Dersewitz 25, Dersewitz	27,5	28	WEAZB01
36	IO-136 Dersewitz 34a, Dersewitz	27,8	28	WEAZB01
37	IO-137 Dersewitz 34, Dersewitz	23,4	26	WEAZB01
38	IO-138 Dersewitz 26, Dersewitz	25,8	26	WEAZB01
39	IO-139 Dersewitz 27, Dersewitz	24,4	26	WEAZB01
40	IO-140 Dersewitz 28, Dersewitz	23,3	26	WEAZB01
41	IO-141 Dersewitz 29, Dersewitz	14,0	24	WEAZB01
42	IO-142 Dersewitz 30, Dersewitz	11,3	22	WEAZB01
43	IO-143 Dersewitz 33, Dersewitz	19,7	26	WEAZB01
44	IO-144 Dersewitz 10, Dersewitz	22,9	28	WEAZB01
45	IO-145 Dersewitz 35, Dersewitz	17,7	26	WEAZB01

Lfd-Nr.	Adresse	astr. Beschattung in h/a	max. astr. Beschattung in min/d	Beschattende WEA
46	IO-146 Dersewitz 36, Dersewitz	16,9	26	WEAZB01
47	IO-147 Dersewitz 37, Dersewitz	14,7	24	WEAZB01
48	IO-148 Dersewitz 38, Dersewitz	13,9	24	WEAZB01
49	IO-149 Dersewitz 11, Dersewitz	25,9	28	WEAZB01
50	IO-150 Dersewitz 12, Dersewitz	28,5	28	WEAZB01
51	IO-151 Dersewitz 13, Dersewitz	30,0	28	WEAZB01
52	IO-152 Dersewitz 14, Dersewitz	30,5	28	WEAZB01
53	IO-153 Dersewitz 15, Dersewitz	30,8	30	WEAZB01
54	IO-154 Dersewitz 17, Dersewitz	31,1	30	WEAZB01
55	IO-155 Dersewitz 18, Dersewitz	31,4	30	WEAZB01
56	IO-156 Dersewitz 16, Dersewitz	32,5	30	WEAZB01
57	IO-157 Wussentin 23, Wussentin	100,5	48	WEAZB01, WEAZB02, WEAZB03, WEAZB04, WEAZB05, WEAZB06
58	IO-158 Wussentin 29, Wussentin	87,6	46	WEAZB01, WEAZB02, WEAZB03, WEAZB04, WEAZB05, WEAZB06
59	IO-159 Wussentin 26, Wussentin	92,1	50	WEAZB01, WEAZB02, WEAZB03, WEAZB04, WEAZB05, WEAZB06
60	IO-160 Wussentin 28, Wussentin	80,1	46	WEAZB01, WEAZB02, WEAZB03, WEAZB04, WEAZB05, WEAZB06

Lfd-Nr.	Adresse	astr. Beschattung in h/a	max. astr. Beschattung in min/d	Beschattende WEA
61	IO-161 Wussentin 30, Wussentin	80,2	44	WEAZB01, WEAZB02, WEAZB03, WEAZB04, WEAZB05, WEAZB06
62	IO-162 Wussentin 31, Wussentin	77,0	42	WEAZB01, WEAZB02, WEAZB03, WEAZB04, WEAZB05, WEAZB06
63	IO-163 Wussentin 32, Wussentin	74,0	42	WEAZB01, WEAZB02, WEAZB03, WEAZB04, WEAZB05, WEAZB06
64	IO-164 Wussentin 34, Wussentin	72,7	40	WEAZB01, WEAZB02, WEAZB03, WEAZB04, WEAZB05, WEAZB06
65	IO-165 Wussentin 1, Wussentin	67,7	38	WEAZB01, WEAZB02, WEAZB03, WEAZB04, WEAZB05, WEAZB06
66	IO-166 Wussentin 2, Wussentin	64,6	38	WEAZB01, WEAZB02, WEAZB03, WEAZB04, WEAZB05, WEAZB06
67	IO-167 Wussentin 3a, Wussentin	52,5	32	WEAZB01, WEAZB02, WEAZB03, WEAZB04, WEAZB06
68	IO-168 Wussentin 3, Wussentin	51,9	30	WEAZB01, WEAZB02, WEAZB03, WEAZB04, WEAZB06
69	IO-169 Wussentin 4, Wussentin	50,2	32	WEAZB01, WEAZB02, WEAZB03, WEAZB04, WEAZB06
70	IO-170 Wussentin 5a, Wussentin	50,7	28	WEAZB01, WEAZB02, WEAZB03, WEAZB04, WEAZB06
71	IO-171 Wussentin 6, Wussentin	47,1	28	WEAZB01, WEAZB02, WEAZB03, WEAZB04, WEAZB06
72	IO-172 Wussentin 7, Wussentin	48,4	24	WEAZB01, WEAZB02, WEAZB03, WEAZB04, WEAZB06
73	IO-173 Wussentin 7a, Wussentin	44,9	24	WEAZB01, WEAZB02, WEAZB03, WEAZB04, WEAZB06
74	IO-174 Wussentin 8, Wussentin	30,6	24	WEAZB02, WEAZB04, WEAZB06
75	IO-175 Wussentin 8b, Wussentin	15,8	22	WEAZB02, WEAZB04

Lfd-Nr.	Adresse	astr. Beschattung in h/a	max. astr. Beschattung in min/d	Beschattende WEA
76	IO-176 Wussentin 10, Wussentin	16,8	22	WEAZB02, WEAZB04
77	IO-177 Wussentin 11, Wussentin	16,8	22	WEAZB02, WEAZB04
78	IO-178 Wussentin 13, Wussentin	50,4	24	WEAZB01, WEAZB02, WEAZB03, WEAZB04, WEAZB06
79	IO-179 Wussentin 14, Wussentin	53,2	24	WEAZB01, WEAZB02, WEAZB03, WEAZB04, WEAZB06
80	IO-180 Wussentin 15, Wussentin	57,1	28	WEAZB01, WEAZB02, WEAZB03, WEAZB04, WEAZB06
81	IO-181 Wussentin 17, Wussentin	62,0	32	WEAZB01, WEAZB02, WEAZB03, WEAZB04, WEAZB06
82	IO-182 Wussentin 16, Wussentin	59,2	30	WEAZB01, WEAZB02, WEAZB03, WEAZB04, WEAZB06
83	IO-183 Wussentin 18, Wussentin	74,9	38	WEAZB01, WEAZB02, WEAZB03, WEAZB04, WEAZB05, WEAZB06
84	IO-184 Wussentin 19, Wussentin	72,1	38	WEAZB01, WEAZB02, WEAZB03, WEAZB04, WEAZB05, WEAZB06
85	IO-185 Wussentin 22, Wussentin	77,1	40	WEAZB01, WEAZB02, WEAZB03, WEAZB04, WEAZB05, WEAZB06
86	IO-186 Wussentin 21, Wussentin	85,3	40	WEAZB01, WEAZB02, WEAZB03, WEAZB04, WEAZB05, WEAZB06
87	IO-187 Wussentin 20, Wussentin	87,4	42	WEAZB01, WEAZB02, WEAZB03, WEAZB04, WEAZB05, WEAZB06
88	IO-188 Wussentin 12, Wussentin	33,5	30	WEAZB01, WEAZB02, WEAZB03, WEAZB04
89	IO-189 Brenkenhof 10, Brenkenhof	21,5	22	WEAZB05, WEAZB06
90	IO-190 Brenkenhof 14, Brenkenhof	16,0	24	WEAZB05

Lfd-Nr.	Adresse	astr. Beschattung in h/a	max. astr. Beschattung in min/d	Beschattende WEA
91	IO-191 Brenkenhof 13, Brenkenhof	12,7	22	WEAZB05
92	IO-196 Brenkenhof 11, Brenkenhof	4,9	16	WEAZB05
93	IO-197 Brenkenhof 15, Brenkenhof	13,0	22	WEAZB05
94	IO-198 Brenkenhof 8, Brenkenhof	17,6	24	WEAZB05

5.2 Schattenfeld der WEA

In den Abbildung 5.1 bis Abbildung 5.4 ist das in Abschnitt 2.4 erläuterte jährliche Schattenfeld und das tägliche Schattenfeld durch alle WEA am Standort Wussentin dargestellt. Die Schattenfelder beziehen sich in diesem Fall auf eine durch orografische Daten ermittelte Niveauhöhe in der Umgebung der WEA. In Abb. 5.5 ist informativ das jährliche Schattenfeld nur für die WEA der Zusatzbelastung dargestellt.

Die Abbildungen lassen erkennen, dass der kritische Bereich für Immissionsorte mit einer jährlichen astronomischen Beschattungsdauer über 30,0 h/a innerhalb einer Fläche von ca. 6,2 x 5,1 km und der Bereich von einer maximalen täglichen Beschattung von über 30 min/d innerhalb einer Fläche von 6,4 km x 5,4 km liegt.

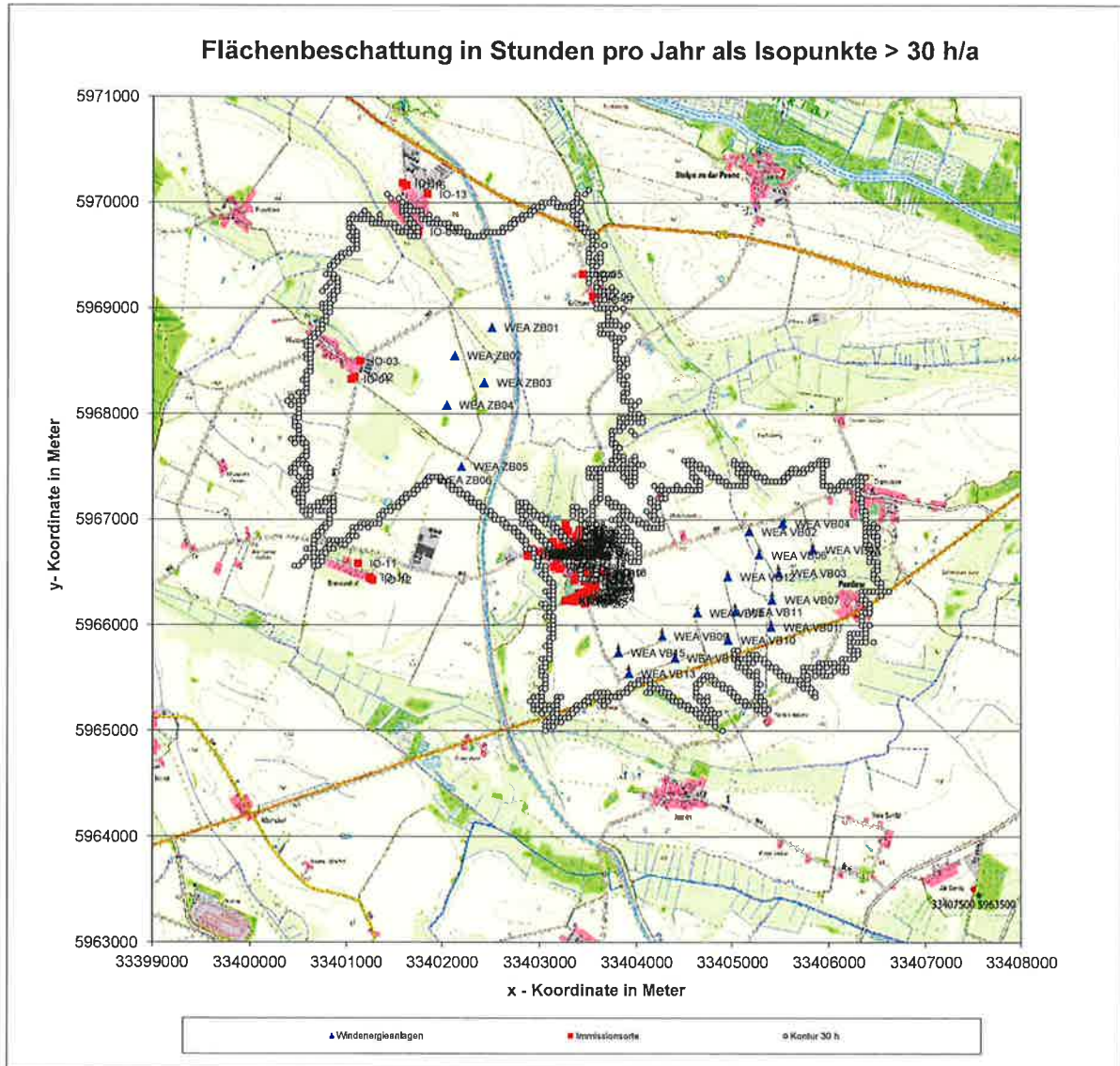


Abbildung 5.1: Jährliches Schattenfeld der WEA (IO-01 bis IO-100)

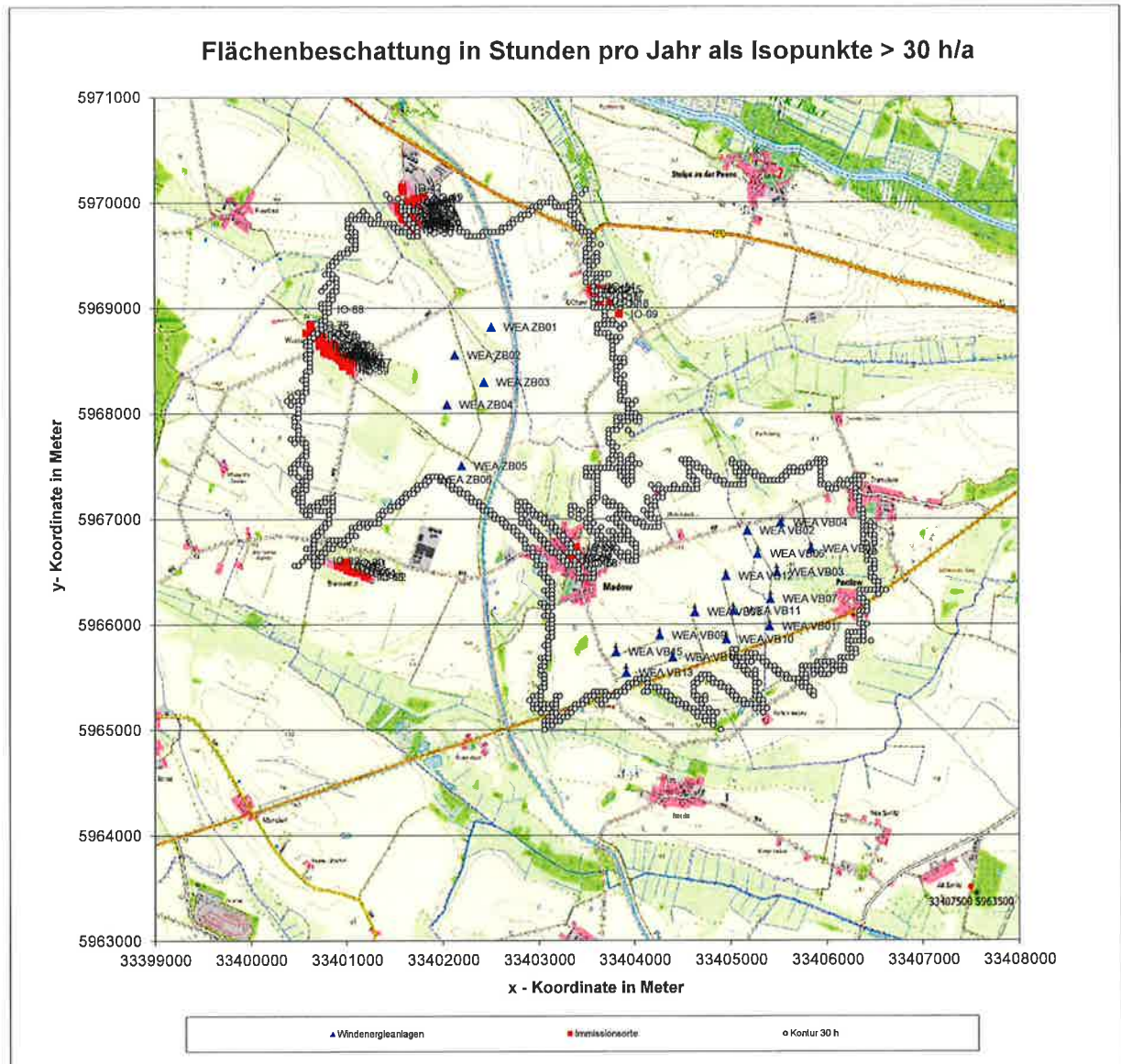


Abbildung 5.2: Jährliches Schattenfeld der WEA (IO-101 bis IO-198)

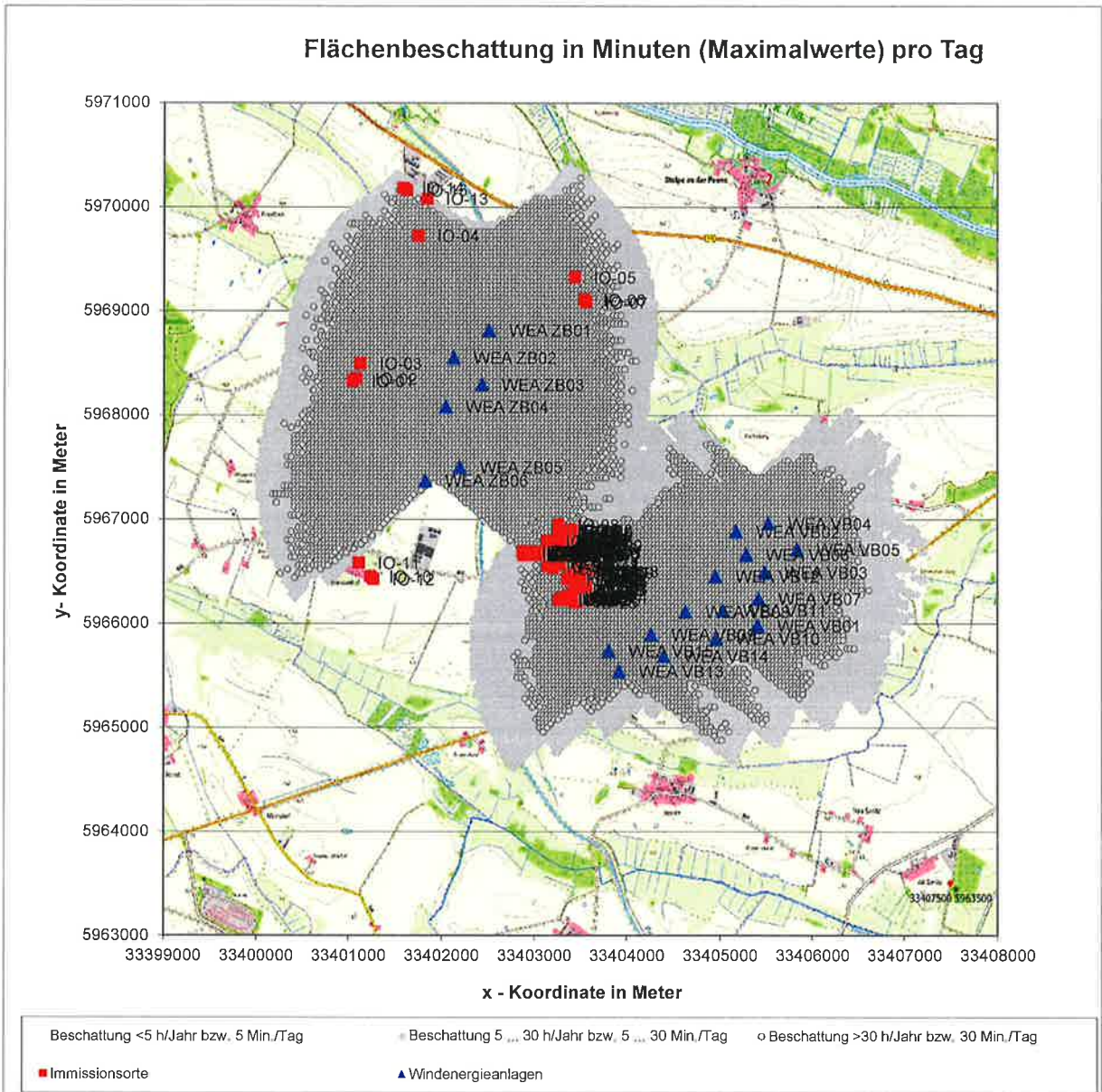


Abbildung 5.3: Schattenfeld der maximalen astronomischen täglichen Beschattung durch die WEA (IO-01 bis IO-100)

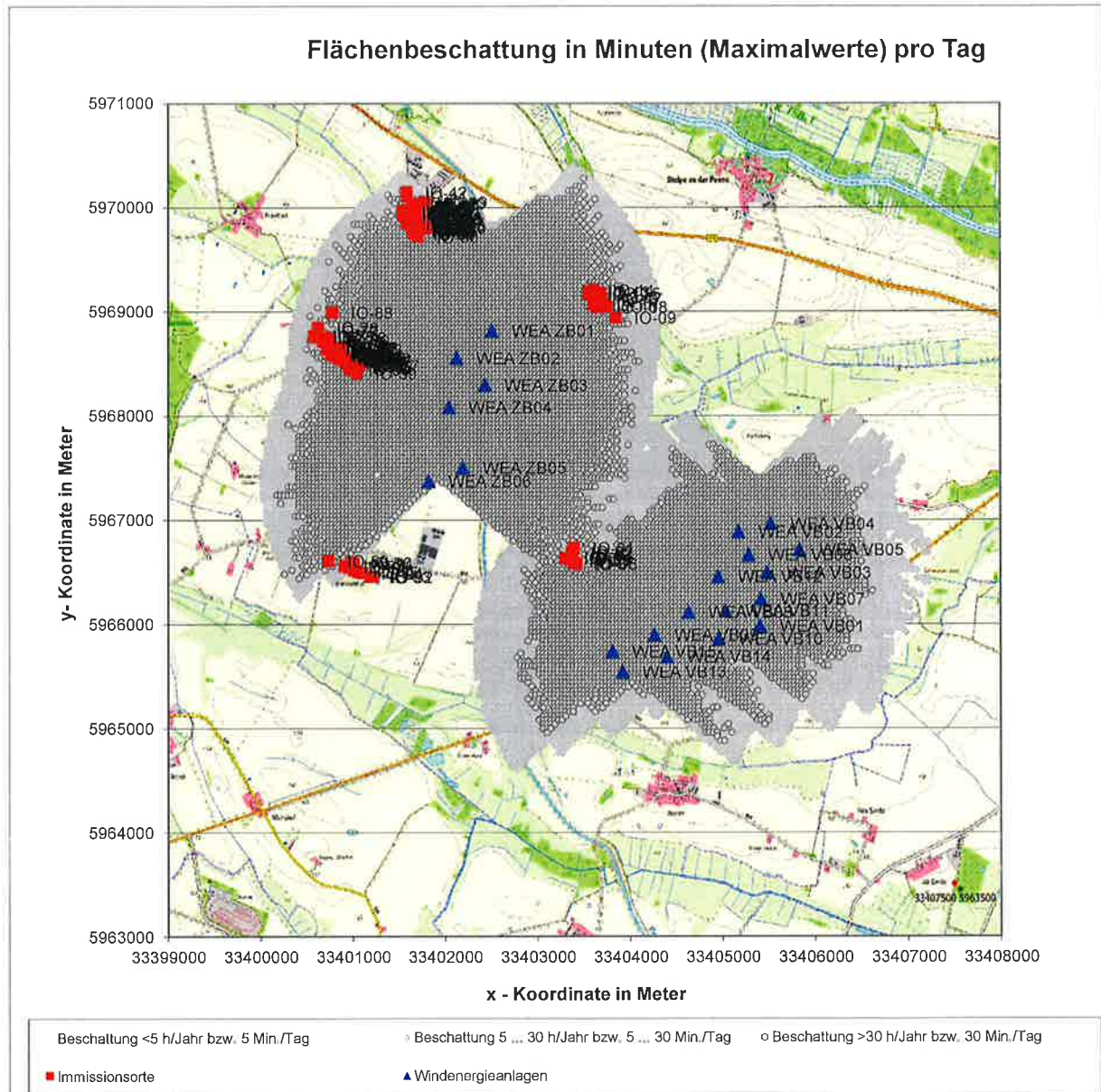


Abbildung 5.4: Schattenfeld der maximalen astronomischen täglichen Beschattung durch die WEA (IO-101 bis IO-198)

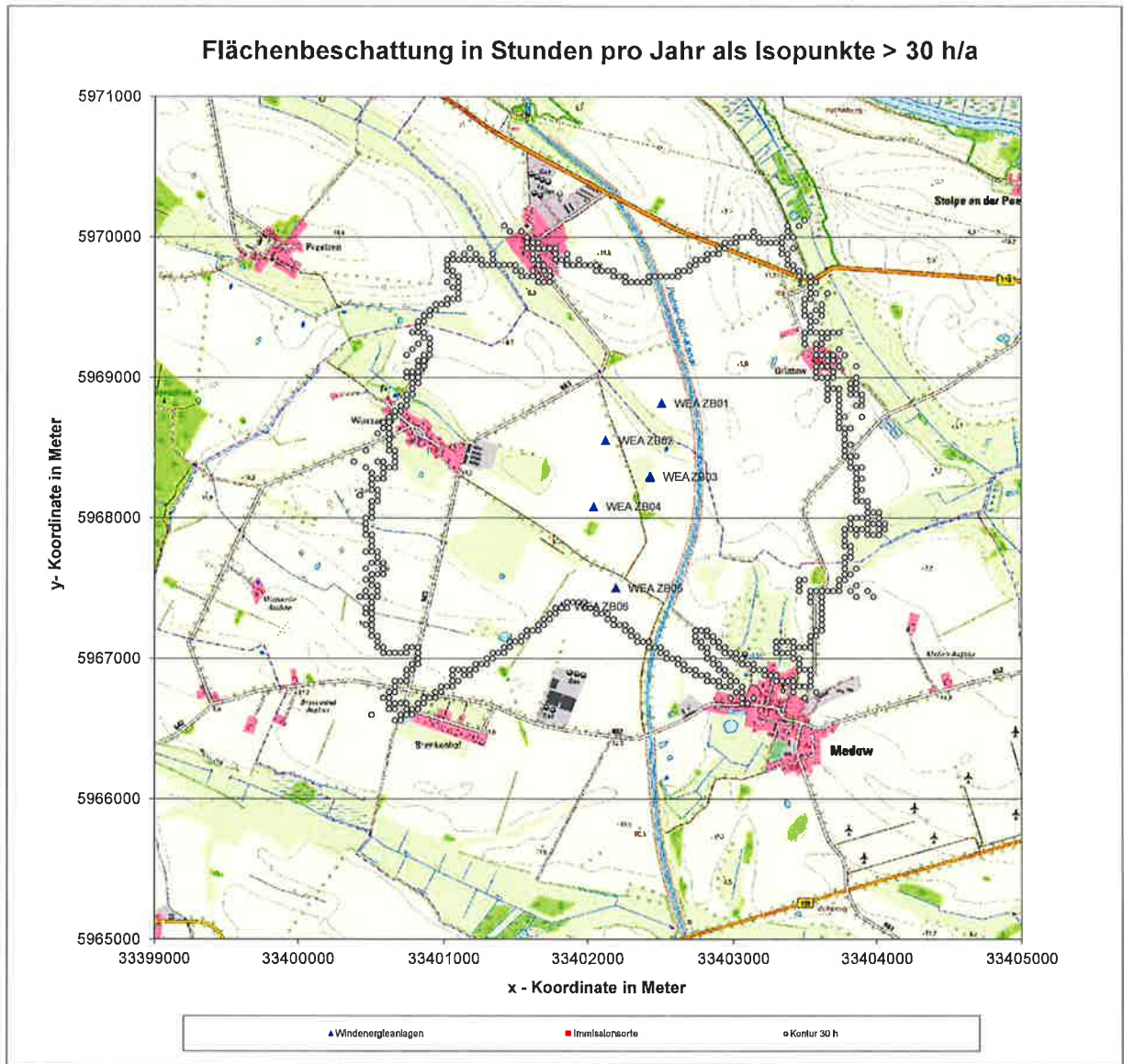


Abbildung 5.5: Jährliches Schattenfeld der WEA der Zusatzbelastung

6 Abweichung zu den Richtlinien

Keine Abweichungen

7 Zusammenfassung

Für die geplanten WEA am Standort Wussentin wurde in Abstimmung mit dem Auftraggeber, bezüglich der Parameter und Koordinaten der WEA, die Beschattung von 198 möglicherweise betroffenen Immissionsorten durch die Rotorblätter der WEA untersucht. Für 153 dieser Immissionsorte (Immissionsorte im Einwirkungsbereich der WEA ZB01 bis WEA ZB06) wurden der jahres- und tageszeitliche Beschattungszeitraum, die aufsummierte und maximale tägliche astronomische Beschattungsdauer sowie die mittlere wahrscheinliche, meteorologisch bedingte Beschattungsdauer entsprechend Windparkkonfiguration ermittelt.

Die **astronomische Gesamtbeschattungsdauer** der Immissionsorte durch alle WEA liegt zwischen **ca. 1,7 h/a** (IO-11) und **ca. 100,5 h/a** (IO-157), die **wahrscheinliche** zwischen **ca. 0,3 h/a** (IO-119) und **ca. 12,3 h/a** (IO-03). Die astronomische **maximale tägliche Beschattungsdauer** liegt zwischen **ca. 10 Min/d** (IO-11 und IO-13) und **ca. 60 Min/d** (IO-01 und IO-02).

Der Richtwert für die **maximale jährliche astronomische Gesamtbeschattung von 30 h/a** (WEA-Schattenwurf-Hinweise /10/) wird an mehreren Immissionsorten überschritten (vgl. Tabelle 5.1 bis Tabelle 5.3).

Der Richtwert für die **maximale tägliche astronomische Gesamtbeschattung von 30 min/d** (WEA-Schattenwurf-Hinweise /10/) wird an mehreren Immissionsorten überschritten (Tabelle 5.1 bis Tabelle 5.3).

Die Einhaltung bzw. eine Unterschreitung der Richtwerte wäre grundsätzlich durch die Installation einer geeigneten Abschaltvorrichtung an der jeweiligen WEA möglich. Dabei wäre zu gewährleisten, dass entsprechend der WEA-Schattenwurf-Hinweise /10/ eine tatsächliche tägliche Beschattung von 30 min/d sowie eine tatsächliche jährliche Beschattungsdauer von 8 h/a nicht überschritten wird. Die dazu notwendigen astronomisch bedingten Abschaltzeiten können dem Kalender der Beschattungszeiten der relevanten Immissionsorte, nach Selektion der abzuschaltenden WEA, entnommen werden. Dieser wird aus Platzgründen hier nicht aufgeführt, kann aber bei Bedarf jederzeit angefordert werden.

Die Aussagen gelten für die dem Modell zugrundeliegenden Annahmen und Parameter (Abschnitt 1 und 2). Die Werte der wahrscheinlichen Beschattungsdauer basieren auf den langjährigen monatlichen Klimadaten von Angermünde (Solar) und Neustrelitz (Wind) und sind als statistische Größen zu bewerten.

Die vorliegende Untersuchung wurde von der WIND-consult GmbH gemäß dem Stand von Wissenschaft und Technik nach bestem Wissen und Gewissen unparteiisch durchgeführt.

8 Literatur

- /1/ METEOROLOGISCHER DIENST DER DDR (MD): KLIMADATEN DER DDR: REIHE B: STRAHLUNG UND BEWÖLKUNG. Bd. 3. POTSDAM (D): MD, 1981/1983
- /2/ DEUTSCHES INSTITUT FÜR NORMUNG E.V. (DIN): TAGESLICHT IN INNENRÄUMEN. DIN 5034 FEBRUAR 1985. BERLIN (D): BEUTH-VERLAG GMBH, 1985
- /3/ BEHR, H. D.: LICHT UND SCHATTEN. IN: WIND-KRAFT JOURNAL AUSGABE 3/92 S. 7 - 10. BREKENDORF (D): VERLAG NATÜRLICHE ENERGIE GREVENSBERG, 1992
- /4/ KASTEN, F.: ERGEBNISSE VON STRAHLUNGSMESSUNGEN IN DER BUNDESREPUBLIK DEUTSCHLAND SOWIE VON SPEZIELLEN MESSREIHEN AM METEOROLOGISCHEN OBSERVATORIUM HAMBURG. DEUTSCHER WETTERDIENST, METEOROLOGISCHES OBSERVATORIUM HAMBURG: HAMBURG 1991
- /5/ DEUTSCHES INSTITUT FÜR NORMUNG E.V. (DIN): METEOROLOGISCHE DATEN ZUR BERECHNUNG DES ENERGIEVERBRAUCHES VON HEIZ- UND RAUMLUFTTECHNISCHEN ANLAGEN. DIN 4710 NOVEMBER 1992. BERLIN (D): BEUTH-VERLAG GMBH, 1992
- /6/ STAATLICHES UMWELTAMT SCHLESWIG : BERATUNG DES ARBEITSKREISES SCHATTENWURF : GUTACHTEN ÜBER DEN SCHATTENWURF VON WINDENERGIEANLAGEN. BERATUNG AM 04.09.98 IM STAATLICHEN UMWELTAMT SCHLESWIG. ARBEITSMATERIAL UNVERÖFFENTLICHT. SCHLESWIG (D), 1998
- /7/ OSTEN, T., PAHLKE, T.: SCHATTENWURF VON WINDENERGIEANLAGEN: WIRD DIE GERÄUSCH-ABSTRAHLUNG DER MW-ANLAGEN IN DEN SCHATTEN GESTELLT ?. IN DEWI-MAGAZIN Nr. 13, AUGUST 1998, S.6 - 12. WILHELMSHAVEN (D): DEUTSCHES WINDENERGIE-INSTITUT, 1998
- /8/ MINISTERIUM FÜR BAU, LANDESENTWICKLUNG UND UMWELT MECKLENBURG-VORPOMMERN: PLANUNG UND GENEHMIGUNG VON WINDENERGIEANLAGEN. ERLAB VOM 2. NOVEMBER 1998 VIII 200/410-510.18.9. SCHWERIN (D): AMTBLATT M-V, 1998
- /9/ WIND-CONSULT GMBH (WICO): PROGRAMMSYSTEM SHADOW FÜR WINDOWS ZUR RECHNERGESTÜTZTEN SCHATTENWURFBERECHNUNG. BARGESHAGEN (D): WICO 2008
- /10/ LÄNDERAUSSCHUSS FÜR IMMISSIONSSCHUTZ: HINWEISE ZUR ERMITTLUNG UND BEURTEILUNG DER OPTISCHEN IMMISSIONEN VON WINDENERGIEANLAGEN. WEA-SCHATTENWURF-HINWEISE. STAND: 13.03.2002.
- /11/ WIND-CONSULT GMBH (WICO): QMP 12: ERMITTLUNG DES SCHATTENWURFS VON WEA AUF FLÄCHEN. QM-PRÜFANWEISUNG UNVERÖFFENTLICHT. BARGESHAGEN (D), AKT. FASSUNG
- /12/ WIND-CONSULT GMBH (WICO): ERMITTLUNG DER SCHALLIMMISSION DURCH PROGNOSE NACH TA LÄRM 1998 : STANDORT: WUSSENTIN, MECKLENBURG-VORPOMMERN. BARGESHAGEN (D), 22.06.2022

9 Anhänge

9.1 Detaillierte Ergebnisse zur Beschattung

Projektdaten	
Projekt	Windpark Wussentin
Geographische nördl. Breite in °	53,852306
Geographische östl. Länge in °	13,514012
Wetterstation Sonnenscheindauer	Angermünde
Wetterstation Windrichtung	Neustrelitz
Immissionsort (IO)	
Bezeichnung	IO-02
x-Koordinate in m	33401082
y-Koordinate in m	5968352
z-Koordinate in m	11,52

	WEA ZB01		WEA ZB02		WEA ZB03		WEA ZB04		WEA ZB05		WEA ZB06	
	Nordex N149/5.X											
Typ der WEA												
Nabenhöhe in m	164,0	164,0	164,0	164,0	164,0	164,0	164,0	164,0	164,0	164,0	164,0	164,0
Rotordurchm. WEA in m	149,0	149,0	149,0	149,0	149,0	149,0	149,0	149,0	149,0	149,0	149,0	149,0
x-Koordinate der WEA in m	33402487	33402128	33402404	33402045	33402248	33401891	33402045	33402248	33401891	33401891	33401891	33401891
y-Koordinate der WEA in m	5968812	5968554,4	5968300	5968083,583	5967470	5967486	5968083,583	5967470	5967486	5967486	5967486	5967486
Entfernung der WEA vom IO in m	1478	1065	1323	1000	1462	1186	1000	1462	1186	1186	1186	1186
Azimuth der WEA bez. des IO in ° N	73	80	93	107	128	138	107	128	138	138	138	138
Astron. Beschattungsdauer in h/a	11,7	20,0	10,0	18,3	13,3	25,0	18,3	13,3	25,0	13,3	25,0	25,0
Wahrscheinliche Beschattungsdauer in h/a												
Max. Beschatt.dauer in mind	30,0											
Anzahl der Beschattungstage in d/a	40	40	20	40	40	60	40	40	40	40	60	200
Jahreszeit	30. Apr.	20. Apr.	31. Mrz.	11. Mrz.	30. Jan.	10. Jan.	30. Apr.	11. Mrz.	30. Jan.	10. Jan.	10. Jan.	10. Jan.
Beginn Schattenperiode 1	10. Mai.	30. Apr.	31. Mrz.	21. Mrz.	9. Feb.	30. Jan.	31. Mrz.	21. Mrz.	9. Feb.	30. Jan.	30. Jan.	10. Mai.
Ende Schattenperiode 1	4. Aug.	14. Aug.	13. Sep.	23. Sep.	2. Nov.	12. Nov.	4. Aug.	13. Sep.	2. Nov.	12. Nov.	12. Nov.	4. Aug.
Beginn Schattenperiode 2	14. Aug.	24. Aug.	13. Sep.	3. Okt.	12. Nov.	2. Dez.	14. Aug.	13. Sep.	12. Nov.	2. Dez.	2. Dez.	2. Dez.
Ende Schattenperiode 2												
Tägl. Beginn Schattenperiode 1	5:20	5:40	6:30	7:20	8:40	9:10	5:20	6:30	7:20	8:40	9:10	5:20
und												
Tägl. Ende Schattenperiode 1	5:40	6:10	7:00	7:50	9:00	9:40	5:40	6:10	7:50	9:00	9:40	5:40
Max-werte	5:20	5:50	6:20	7:00	8:10	8:40	5:20	6:20	7:00	8:10	8:40	5:20
Min-werte	5:50	6:20	6:50	7:30	8:30	9:10	5:50	6:50	7:30	8:30	9:10	5:50

Projektdaten	
Projekt	Windpark Wussentin
Geographische nördl. Breite in °	53,852306
Geographische östl. Länge in °	13,514012
Wetterstation Sonnenscheindauer	Angermünde
Wetterstation Windrichtung	Neustrelitz
Immissionsort (IO)	
Bezeichnung	IO-03
x-Koordinate in m	33401133
y-Koordinate in m	5968498
z-Koordinate in m	10,56

	WEA ZB01	WEA ZB02	WEA ZB03	WEA ZB04	WEA ZB05	WEA ZB06													
Windenergieanlage																			
Typ der WEA	Nordex N149/5.X																		
Nabenhöhe in m	164,0	164,0	164,0	164,0	164,0	164,0													
Rotordurchm. WEA in m	149,0	149,0	149,0	149,0	149,0	149,0													
x-Koordinate der WEA in m	33402487	33402128	33402404	33402248	33402248	33401891													
y-Koordinate der WEA in m	5968812	5968554,4	5968300	5968083,583	5967470	5967486													
Entfernung der WEA vom IO in m	1390	997	1286	1002	1517	1264													
Azimuth der WEA bez. des IO in ° N	78	88	100	116	134	144													
Astron. Beschattungsdauer in h/a	10,0	20,0	10,0	20,0	11,7	28,3													
Wahrscheinliche Beschattungsdauer in h/a																			
Max. Beschatt.dauer in min/d	20,0	30,0	30,0	40,0	20,0	30,0													
Anzahl der Beschattungstage in d/a	40	50	20	50	40	70													
Beginn Schattenperiode 1	20. Apr.	10. Apr.	21. Mrz.	1. Mrz.	20. Jan.	21. Dez.													
Ende Schattenperiode 1	30. Apr.	20. Apr.	21. Mrz.	11. Mrz.	30. Jan.	20. Jan.													
Beginn Schattenperiode 2	13. Aug.	23. Aug.	22. Sep.	2. Okt.	11. Nov.	21. Nov.													
Ende Schattenperiode 2	23. Aug.	12. Sep.	22. Sep.	22. Okt.	21. Nov.	11. Dez.													
Min- und Max-werte																			
Tägl. Beginn Schattenperiode 1	5:40	6:10	6:50	7:50	9:00	9:20													
Tägl. Ende Schattenperiode 1	6:00	6:40	7:20	8:30	9:20	10:00													
Tägl. Beginn Schattenperiode 2	5:40	6:10	6:40	7:30	8:30	9:10													
Tägl. Ende Schattenperiode 2	6:00	6:40	7:10	8:00	8:50	9:40													

Projektdaten	
Projekt	Windpark Wussentin
Geographische nördl. Breite in °	53,852306
Geographische östl. Länge in °	13,514012
Wetterstation Sonnenscheindauer	Angermünde
Wetterstation Windrichtung	Neustrelitz
Immissionsort (IO)	
Bezeichnung	IO-07
x-Koordinate in m	33403572
y-Koordinate in m	5969084
z-Koordinate in m	7,5

	WEA ZB01 Nortex	WEA ZB02 Nortex	WEA ZB03 Nortex																	
Typ der WEA	N149/5.X	N149/5.X	N149/5.X																	
Nabenhöhe in m	164,0	164,0	164,0																	
Rotordurchm. WEA in m	149,0	149,0	149,0																	
x-Koordinate der WEA in m	33402487	33402128	33402404																	
y-Koordinate der WEA in m	5968812	5968654,4	5968300																	
Entfernung der WEA vom IO in m	1119	1538	1407																	
Azimuth der WEA bez. des IO in ° N	257	251	237																	
Astron. Beschattungsdauer in h/a	15,0	8,3	13,3																	
Wahrscheinliche Beschattungsdauer in h/a																				
Max. Beschattungsdauer in min/d	30,0	20,0	20,0																	
Anzahl der Beschattungstage in d/a	40	30	40																	
Beginn Schattenperiode 1	11. Mrz.	1. Mrz.	9. Feb.																	
Ende Schattenperiode 1	21. Mrz.	11. Mrz.	19. Feb.																	
Beginn Schattenperiode 2	16. Sep.	6. Okt.	26. Okt.																	
Ende Schattenperiode 2	26. Sep.	6. Okt.	5. Nov.																	
Min- und Maxwerte																				
Tagl. Beginn Schattenperiode 1	17:00	17:00	16:10																	
Tagl. Ende Schattenperiode 1	17:30	17:20	16:30																	
Tagl. Beginn Schattenperiode 2	16:50	16:30	15:40																	
Tagl. Ende Schattenperiode 2	17:20	16:50	16:00																	

Projekt		Windpark Wussentfin	
Geographische nördl. Breite in °	53,852306	Geographische östl. Länge in °	13,514012
Wetterstation Sonnenscheindauer	Angermünde	Wetterstation Windrichtung	Neustrelitz
Immissionsort (IO)		IO-13	
Bezeichnung	33401844	x-Koordinate in m	5970080
y-Koordinate in m		z-Koordinate in m	15,63

		WEA ZB01	
Windereignislage		Nordex	
Typ der WEA		N149/5X	
Nabenhöhe in m		164,0	
Rotordurchm., WEA in m		149,0	
x-Koordinate der WEA in m		33402487	
y-Koordinate der WEA in m		5968812	
Entfernung der WEA vom IO in m		1422	
Azimuth der WEA bez. des IO in ° N		154	
Astron. Beschattungsdauer in h/a		3,3	3,3
Wahrscheinliche Beschattungsdauer in h/a			0,4
Max. Beschatt.dauer in min/d		10,0	10,0
Anzahl der Beschattungstage in d/a		20	20
Jahreszeit		21. Dez.	21. Dez.
Beginn Schattenperiode 1		21. Dez.	0. Jan.
Ende Schattenperiode 1		16. Dez.	16. Dez.
Beginn Schattenperiode 2		16. Dez.	0. Jan.
Ende Schattenperiode 2		10:10	10:10
Min- und		10:20	0:00
Max- und		10:10	10:10
Min- und		10:20	0:00

Projektdaten	
Projekt	Windpark Wussenfin
Geographische nördl. Breite in °	53.852306
Geographische östl. Länge in °	13.514012
Wetterstation Sonnenscheindauer	Angermünde
Wetterstation Windrichtung	Neustrelitz
Immissionsort (IO)	
Bezeichnung	IO-16
x-Koordinate in m	33403466
y-Koordinate in m	5966720
z-Koordinate in m	11,68

	WEA ZB05	WEA ZB06	WEA VB08	WEA VB09	WEA VB14															
Windenergieanlage																				
Typ der WEA	Nordex N149/5.X	Nordex N149/5.X	Vestas V90-2MW	Vestas V90-2MW	Vestas V90-2MW															
Nabenhöhe in m	164,0	164,0	95,0	95,0	95,0															
Rotordurchm. WEA in m	149,0	149,0	90,0	90,0	90,0															
x-Koordinate der WEA in m	33402248	33401891	33404636	33404266	33404401															
y-Koordinate der WEA in m	5967470	5967486	5966116	5965897	5965688															
Entfernung der WEA vom IO in m	1430	1751	1316	1148	1393															
Azimuth der WEA bez. des IO in ° N	303	297	119	137	139															
Astron. Beschattungsdauer in h/a	20,0	13,3	5,0	11,7	13,3															
Wahrscheinliche Beschattungsdauer in h/a																				
Max. Beschatt.dauer in min/d	30,0	30,0	20,0	20,0	20,0															
Anzahl der Beschattungstage in d/a	60	50	20	50	60															
Beginn Schattenperiode 1	30. Mai.	20. Mai.	19. Feb.	10. Jan.	21. Dez.															
Ende Schattenperiode 1	19. Jun.	30. Mai.	19. Feb.	20. Jan.	10. Jan.															
Beginn Schattenperiode 2	22. Jun.	12. Jul.	30. Okt.	19. Nov.	29. Nov.															
Ende Schattenperiode 2	12. Jul.	1. Aug.	30. Okt.	8. Dez.	19. Dez.															
Min. und	19:30	19:20	8:00	9:00	9:00															
Max.werte	20:00	19:40	8:10	9:20	9:20															
	19:40	19:20	7:30	8:40	8:50															
	20:00	19:50	7:50	9:00	9:10															

Projektdaten	
Projekt	Windpark Wussentfin
Geographische nördl. Breite in °	53,852306
Geographische östl. Länge in °	13,514012
Wetterstation Sonnenscheindauer	Angermünde
Wetterstation Windrichtung	Neustrelitz
Immissionsort (IO)	
Bezeichnung	IO-18
x-Koordinate in m	33403693
y-Koordinate in m	5966502
z-Koordinate in m	12,5

	WEA ZB05	WEA VB08	WEA VB09	WEA VB10	WEA VB11	WEA VB12	WEA VB14													
Typ der WEA	Nordex N149/5 X	Vestas V90-2MW																		
Nabenhöhe in m	164,0	95,0	95,0	95,0	95,0	95,0	95,0													
Rotordurchm. WEA in m	149,0	90,0	90,0	90,0	90,0	90,0	90,0													
x-Koordinate der WEA in m	33402248	33404635	33404266	33404960	33405035	33404956	33404401													
y-Koordinate der WEA in m	5967470	5966116	5966897	5965858	5966128	5966456	5965688													
Entfernung der WEA vom IO in m	1739	1018	833	1421	1393	1264	1079													
Azimuth der WEA bez. des IO in ° N	305	114	138	118	107	93	140													
Astron. Beschattungsdauer in h/a	15,0	6,7	20,0	3,3	3,3	1,7	18,3													
Wahrscheinliche Beschattungsdauer in h/a																				
Max. Beschatt.dauer in min/d	20,0	20,0	30,0	10,0	20,0	10,0	20,0													
Anzahl der Beschattungstage in d/a	50	30	60	20	20	20	70													
Beginn Schattenperiode 1	9. Jun.	19. Feb.	10. Jan.	19. Feb.	0. Jan.	0. Jan.	21. Dez.													
Ende Schattenperiode 1	19. Jun.	1. Mrz.	30. Jan.	19. Feb.	0. Jan.	0. Jan.	20. Jan.													
Beginn Schattenperiode 2	22. Jun.	20. Okt.	19. Nov.	30. Okt.	10. Okt.	20. Sep.	29. Nov.													
Ende Schattenperiode 2	12. Jul.	20. Okt.	9. Dez.	30. Okt.	10. Okt.	20. Sep.	19. Dez.													
Tägl. Beginn Schattenperiode 1	19:50	7:40	9:10	8:00	0:00	0:00	9:10													
Tägl. Ende Schattenperiode 1	20:10	8:00	9:30	8:10	0:00	0:00	9:30													
Max.-Tägl. Beginn Schattenperiode 2	19:50	7:20	8:40	7:30	6:50	6:20	9:00													
Max.-Tägl. Ende Schattenperiode 2	20:10	7:30	9:10	7:40	7:10	6:30	9:20													
Jahreszeit																				
Min- und Max-werte																				

Projekt		Windpark Wussentin	
Geographische nördl. Breite in °	53,852306	Geographische östl. Länge in °	13,514012
Wetterstation Sonnenscheindauer	Angermünde	Wetterstation Windrichtung	Neustrelitz
Immissionsort (IO)			
Bezeichnung	IO-19	x-Koordinate in m	33403644
y-Koordinate in m	5966496	z-Koordinate in m	12,5

	WEA ZB05	WEA VB08	WEA VB09	WEA VB10	WEA VB11	WEA VB12	WEA VB14												
Windenergieanlage																			
Typ der WEA	Nordex N149/5 X	Vestas V90-2MW	Vestas V90-2MW	Vestas V90-2MW	Vestas V90-2MW	stias V90-2MW	stias V90-2MW												
Nabenhöhe in m	164,0	95,0	95,0	95,0	95,0	95,0	95,0												
Rotordurchm. WEA in m	149,0	90,0	90,0	90,0	90,0	90,0	90,0												
x-Koordinate der WEA in m	33402248	33404635	33404266	33404960	33405035	33404966	33404401												
y-Koordinate der WEA in m	5967470	5966116	5965897	5965898	5966128	5966458	5965898												
Entfernung der WEA vom IO in m	1702	1061	864	1462	1439	1313	1107												
Azimuth der WEA bez. des IO in ° N	306	112	135	117	106	93	138												
Astron. Beschattungsdauer in h/a	11,7	6,7	16,7	3,3	3,3	1,7	18,3												
Wahrscheinliche Beschattungsdauer in h/a																			
Max. Beschatt.dauer in min/d	20,0	20,0	30,0	10,0	20,0	10,0	20,0												
Anzahl der Beschattungstage in d/a	40	20	50	20	20	20	70												
Jahreszeit	9. Jun.	1. Mäz.	20. Jan.	19. Feb.	0. Jan.	0. Jan.	21. Dez.												
Beginn Schattenperiode 1	19. Jun.	1. Mäz.	30. Jan.	19. Feb.	0. Jan.	0. Jan.	20. Jan.												
Ende Schattenperiode 1	22. Jun.	20. Okt.	9. Nov.	30. Okt.	10. Okt.	20. Sep.	29. Nov.												
Beginn Schattenperiode 2	2. Jul.	20. Okt.	29. Nov.	30. Okt.	10. Okt.	20. Sep.	19. Dez.												
Ende Schattenperiode 2	19.50	7:40	9:00	8:00	0:00	0:00	9:00												
Min- und	20:10	8:00	9:20	8:10	0:00	0:00	9:30												
Max- und	19:50	7:10	8:30	7:30	6:50	6:20	8:50												
Min- und	20:10	7:30	9:00	7:40	7:10	6:30	9:10												

Projektdaten	
Projekt	Windpark Wussentfin
Geographische nördl. Breite in °	53,852306
Geographische östl. Länge in °	13,514012
Wetterstation Sonnenscheindauer	Angermünde
Wetterstation Windrichtung	Neustrelitz
Immissionsort (IO)	
Bezeichnung	IO-20
x-Koordinate in m	33403577
y-Koordinate in m	5966489
z-Koordinate in m	12,5

	WEA ZB05 Nordex N149/5 X	WEA VB08 Vestas V90- 2MW	WEA VB09 Vestas V90- 2MW	WEA VB11 Vestas V90- 2MW	WEA VB12 Vestas V90- 2MW	WEA VB14 stias V90-2MW														
Typ der WEA	N149/5 X	2MW	2MW	2MW	2MW	stias V90-2MW														
Nabenhöhe in m	164,0	95,0	95,0	95,0	95,0	95,0														
Rotordurchm. WEA in m	149,0	90,0	90,0	90,0	90,0	90,0														
x-Koordinate der WEA in m	33402248	33404635	33404266	33405035	33404956	33404401														
y-Koordinate der WEA in m	5967470	5966116	5966997	5966128	5966458	5966588														
Entfernung der WEA vom IO in m	1652	1122	908	1502	1379	1149														
Azimuth der WEA bez. des IO in ° N	308	111	132	105	93	135														
Astron. Beschattungsdauer in h/a	3,3	6,7	11,7	1,7	1,7	8,3													33,3	
Wahrscheinliche Beschattungsdauer in h/a																			8,1	
Max. Beschattungsdauer in mind	10,0	20,0	20,0	10,0	10,0	20,0													30,0	
Anzahl der Beschattungstage in d/a	20	30	40	20	20	40													120	
Jahreszeit																				
Beginn Schattenperiode 1	19. Jun.	1. Mrz.	20. Jan.	0. Jan.	0. Jan.	10. Jan.													10. Jan.	
Ende Schattenperiode 1	19. Jun.	1. Mrz.	30. Jan.	0. Jan.	0. Jan.	20. Jan.													19. Jun.	
Beginn Schattenperiode 2	22. Jun.	10. Okt.	9. Nov.	10. Okt.	20. Sep.	19. Nov.													22. Jun.	
Ende Schattenperiode 2	22. Jun.	20. Okt.	19. Nov.	10. Okt.	20. Sep.	29. Nov.													29. Nov.	
Min- und Maxwerte																				
Tägl. Beginn Schattenperiode 1	20:00	7:30	8:50	0:00	0:00	9:00													7:30	
Tägl. Ende Schattenperiode 1	20:10	7:50	9:10	0:00	0:00	9:20													20:10	
Tägl. Beginn Schattenperiode 2	20:00	7:10	8:20	6:50	6:20	8:40													6:20	
Tägl. Ende Schattenperiode 2	20:10	7:20	8:40	7:00	6:30	8:50													8:50	

Projektdaten	
Projekt	Windpark Wussentin
Geographische nördl. Breite in °	53,852306
Geographische östl. Länge in °	13,514012
Wetterstation Sonnenscheindauer	Angermünde
Wetterstation Windrichtung	Neustrelitz
Immissionsort (IO)	
Bezeichnung	IO-21
x-Koordinate in m	33403576
y-Koordinate in m	5966423
z-Koordinate in m	12,5

	WEA VB08 Vestas V90- 2MW	WEA VB09 Vestas V90- 2MW	WEA VB10 Vestas V90- 2MW	WEA VB11 Vestas V90- 2MW	WEA VB12 Vestas V90- 2MW	WEA VB14 Vestas V90- 2MW												
Typ der WEA																		
Nabenhöhe in m	95,0	95,0	95,0	95,0	95,0	95,0												
Rotordurchm. WEA in m	90,0	90,0	90,0	90,0	90,0	90,0												
x-Koordinate der WEA in m	33404636	33404268	33404960	33405035	33404956	33404401												
y-Koordinate der WEA in m	5966116	5965897	5965858	5966128	5966458	5965688												
Entfernung der WEA vom IO in m	1103	868	1495	1489	1380	1105												
Azimuth der WEA bez. des IO in ° N	107	129	113	103	90	133												
Astron. Beschattungsdauer in h/a	5,0	11,7	5,0	3,3	1,7	10,0												
Wahrscheinliche Beschattungsdauer in h/a																		
Max. Beschatt.dauer in min/d	20,0	20,0	20,0	20,0	10,0	20,0												
Anzahl der Beschattungstage in d/a	20	40	20	20	20	30												
Beginn Schattenperiode 1	1. Mrz.	30. Jan.	19. Feb.	11. Mrz.	31. Mrz.	20. Jan.												
Ende Schattenperiode 1	1. Mrz.	9. Feb.	19. Feb.	11. Mrz.	31. Mrz.	30. Jan.												
Beginn Schattenperiode 2	10. Okt.	30. Okt.	20. Okt.	0. Jan.	0. Jan.	19. Nov.												
Ende Schattenperiode 2	10. Okt.	9. Nov.	20. Okt.	0. Jan.	0. Jan.	19. Nov.												
Tägl. Beginn Schattenperiode 1	7:30	8:40	7:50	7:00	6:20	8:50												
Tägl. Ende Schattenperiode 1	7:40	9:00	8:00	7:20	6:30	9:10												
Max. -	7:00	8:10	7:10	0:00	0:00	8:20												
werte	7:20	8:30	7:30	0:00	0:00	8:40												

Projekt		Windpark Wussentfin	
Geographische nördl. Breite in °	53,852306	Geographische östl. Länge in °	13,514012
Wetterstation Sonnenscheindauer	Angermünde	Wetterstation Windrichtung	Neustrelitz
Immissionsort (IO)		IO-22	
Bezeichnung	33403576	x-Koordinate in m	5966367
y-Koordinate in m	12,5	z-Koordinate in m	

	WEA VB08 Vestas V90- 2MW	WEA VB09 Vestas V90- 2MW	WEA VB10 Vestas V90- 2MW	WEA VB11 Vestas V90- 2MW	WEA VB12 Vestas V90- 2MW	WEA VB14 Vestas V90- 2MW	WEA VB15 Vestas V90-2MW											
Windenergieanlage																		
Typ der WEA																		
Nabenhöhe in m	95,0	95,0	95,0	95,0	95,0	95,0	95,0											
Rotordurchm. WEA in m	90,0	90,0	90,0	90,0	90,0	90,0	90,0											
x-Koordinate der WEA in m	33404635	33404266	33404960	33405035	33404956	33404401	33403810											
y-Koordinate der WEA in m	5966116	5965897	5965858	5966128	5966458	5965688	5965739											
Entfernung der WEA vom IO in m	1088	835	1475	1478	1383	1068	670											
Azimuth der WEA bez. des IO in ° N	105	125	111	101	87	131	161											
Astron. Beschattungsdauer in h/a	6,7	11,7	3,3	3,3	5,0	8,3	11,7											
Wahrscheinliche Beschattungsdauer in h/a																		
Max. Beschattungsdauer in min/d	20,0	20,0	10,0	10,0	20,0	20,0	20,0											
Anzahl der Beschattungstage in d/a	30	40	20	20	20	40	40											
Jahreszeit																		
Beginn Schattenperiode 1	11. Mrz.	9. Feb.	1. Mrz.	11. Mrz.	31. Mrz.	20. Jan.	21. Dez.											
Ende Schattenperiode 1	11. Mrz.	19. Feb.	1. Mrz.	11. Mrz.	31. Mrz.	30. Jan.	31. Dez.											
Beginn Schattenperiode 2	30. Sep.	30. Okt.	20. Okt.	30. Sep.	10. Sep.	9. Nov.	9. Dez.											
Ende Schattenperiode 2	10. Okt.	9. Nov.	20. Okt.	30. Sep.	10. Sep.	19. Nov.	19. Dez.											
Min- und Max-werte																		
Tägl. Beginn Schattenperiode 1	7:10	8:30	7:40	7:00	6:10	8:40	10:30											
Tägl. Ende Schattenperiode 1	7:30	8:50	7:50	7:10	6:20	9:00	11:00											
Tägl. Beginn Schattenperiode 2	6:50	8:00	7:10	6:40	6:00	8:20	10:30											
Tägl. Ende Schattenperiode 2	7:00	8:20	7:20	6:50	6:20	8:30	10:50											

Projektdaten	
Projekt	Windpark Wussentin
Geographische nördl. Breite in °	53,852306
Geographische östl. Länge in °	13,514012
Wetterstation Sonnenscheindauer	Angermünde
Wetterstation Windrichtung	Neustrelitz
Immissionsort (IO)	
Bezeichnung	IO-24
x-Koordinate in m	33403574
y-Koordinate in m	5966260
z-Koordinate in m	12,38

	WEA VB08 Vestas V90- 2MW	WEA VB09 Vestas V90- 2MW	WEA VB10 Vestas V90- 2MW	WEA VB11 stas V90-2MW	WEA VB12 stas V90-2MW	WEA VB13 stas V90-2MW	WEA VB14 stas V90-2MW	WEA VB15 stas V90-2MW											
Typ der WEA																			
Nabenhöhe in m	95,0	95,0	95,0	95,0	95,0	95,0	95,0	95,0	95,0	95,0	95,0	95,0	95,0	95,0	95,0	95,0	95,0	95,0	
Rotordurchm. WEA in m	90,0	90,0	90,0	90,0	90,0	90,0	90,0	90,0	90,0	90,0	90,0	90,0	90,0	90,0	90,0	90,0	90,0	90,0	
x-Koordinate der WEA in m	33404635	33404266	33404960	33405035	33404956	33403919	33404401	33403810											
y-Koordinate der WEA in m	5966116	5965897	5965858	5966128	5966458	5965543	5965688	5965739											
Entfernung der WEA vom IO in m	1071	781	1443	1467	1396	796	1006	572											
Azimuth der WEA bez. des IO in ° N	99	119	107	96	83	156	126	157											
Astron. Beschattungsdauer in h/a	5,0	13,3	3,3	1,7	3,3	8,3	10,0	40,0										76,7	
Wahrscheinliche Beschattungsdauer in h/a																		7,7	
Max. Beschatt.dauer in mind	20,0	30,0	10,0	10,0	20,0	20,0	20,0	40,0										40,0	
Anzahl der Beschattungslage in d/a	20	40	20	20	20	30	40	70										180	
Jahres- zeit	21. Mrz. 21. Mrz. 30. Sep. 30. Sep.	19. Feb. 1. Mrz. 20. Okt. 30. Okt.	1. Mrz. 1. Mrz. 10. Okt. 10. Okt.	21. Mrz. 21. Mrz. 0. Jan. 0. Jan.	10. Apr. 10. Apr. 0. Jan. 0. Jan.	21. Dez. 31. Dez. 19. Dez. 19. Dez.	30. Jan. 9. Feb. 30. Okt. 9. Nov.	21. Dez. 20. Jan. 29. Nov. 19. Dez.											21. Dez. 10. Apr. 30. Sep. 19. Dez.
Min- und Max- werte	6:50 7:10 6:40 6:50	8:00 8:30 7:30 8:00	7:30 7:40 7:00 7:10	6:40 6:50 0:00 0:00	5:50 6:10 0:00 0:00	10:10 10:30 10:10 10:30	8:30 8:50 8:00 8:20	10:10 10:50 10:00 10:50											5:50 10:50 6:40 10:50

Projektdaten	
Projekt	Windpark Wussentin
Geographische nördl. Breite in °	53,852306
Geographische östl. Länge in °	13,514012
Wetterstation Sonnenscheindauer	Angermünde
Wetterstation Windrichtung	Neustrelitz
Immissionsort (IO)	
Bezeichnung	IO-25
x-Koordinate in m	33403499
y-Koordinate in m	5966227
z-Koordinate in m	11,96

	WEA VB08 Vestas V90- 2MW	WEA VB09 Vestas V90- 2MW	WEA VB10 Vestas V90- 2MW	WEA VB12 Vestas V90- 2MW	WEA VB13 stas V90-2MW/stas V90-2MW	WEA VB14 stas V90-2MW/stas V90-2MW	WEA VB15 stas V90-2MW
Typ der WEA							
Nabenhöhe in m	95,0	95,0	95,0	95,0	95,0	95,0	95,0
Rotordurchm. WEA in m	90,0	90,0	90,0	90,0	90,0	90,0	90,0
x-Koordinate der WEA in m	33404635	33404266	33404960	33404956	33403919	33404401	33403810
y-Koordinate der WEA in m	5966116	5965897	5965858	5966458	5965543	5965688	5965739
Entfernung der WEA vom IO in m	1141	835	1507	1475	803	1051	579
Azimuth der WEA bez. des IO in ° N	97	115	105	82	150	122	149
Astron. Beschattungsdauer in h/a	5,0	10,0	1,7	3,3	20,0	8,3	48,3
Wahrscheinliche Beschattungsdauer in h/a							7,0
Max. Beschatt.dauer in min/d	20,0	20,0	10,0	10,0	30,0	20,0	40,0
Anzahl der Beschattungstage in d/a	20	40	20	20	60	30	90
Beginn Schattenperiode 1	21. Mrz.	19. Feb.	0. Jan.	10. Apr.	21. Dez.	9. Feb.	21. Dez.
Ende Schattenperiode 1	21. Mrz.	1. Mrz.	0. Jan.	10. Apr.	10. Jan.	19. Feb.	10. Apr.
Beginn Schattenperiode 2	20. Sep.	10. Okt.	10. Okt.	31. Aug.	29. Nov.	30. Okt.	31. Aug.
Ende Schattenperiode 2	20. Sep.	20. Okt.	10. Okt.	31. Aug.	19. Dez.	30. Okt.	19. Dez.
Min- und Max.werte							
Min- und Max.werte	6:40	7:50	0:00	5:50	9:40	8:10	9:40
Min- und Max.werte	7:00	8:10	0:00	6:00	10:10	8:30	10:30
Min- und Max.werte	6:30	7:20	6:50	5:50	9:40	7:40	9:30
Min- und Max.werte	6:40	7:40	7:00	6:00	10:10	8:00	10:10

Projektdaten	
Projekt	Windpark Wussentfin
Geographische nördl. Breite in °	53,852306
Geographische östl. Länge in °	13,514012
Wetterstation Sommerscheindauer	Angermünde
Wetterstation Windrichtung	Neustrelitz
Immissionsort (IO)	
Bezeichnung	IO-26
x-Koordinate in m	33403466
y-Koordinate in m	5966204
z-Koordinate in m	11,74

	WEA VB08 Vestas V90- 2MW	WEA VB09 Vestas V90- 2MW	WEA VB13 Vestas V90- 2MW	WEA VB14 Vestas V90-2MW	WEA VB15 Vestas V90-2MW														
Typ der WEA	WEA VB08 Vestas V90- 2MW	WEA VB09 Vestas V90- 2MW	WEA VB13 Vestas V90- 2MW	WEA VB14 Vestas V90-2MW	WEA VB15 Vestas V90-2MW														
Nabenhöhe in m	95,0	95,0	95,0	95,0	95,0														
Rotordurchm. WEA in m	90,0	90,0	90,0	90,0	90,0														
x-Koordinate der WEA in m	33404635	33404266	33403919	33404401	33403810														
y-Koordinate der WEA in m	5966116	5966597	5965543	5965688	5965739														
Entfernung der WEA vom IO in m	1172	857	801	1068	578														
Azimuth der WEA bez. des IO in ° N	96	112	147	120	145														
Astron. Beschattungsdauer in h/a	5,0	10,0	26,7	6,7	50,0														
Wahrscheinliche Beschattungsdauer in h/a																			
Max. Beschatt.dauer in min/d	20,0	30,0	30,0	20,0	40,0														
Anzahl der Beschattungstage in d/a	20	30	60	30	100														
Jahreszeit																			
Beginn Schattenperiode 1	21. Mrz.	1. Mrz.	21. Dez.	9. Feb.	21. Dez.														
Ende Schattenperiode 1	21. Mrz.	1. Mrz.	10. Jan.	19. Feb.	30. Jan.														
Beginn Schattenperiode 2	20. Sep.	10. Okt.	29. Nov.	30. Okt.	9. Nov.														
Ende Schattenperiode 2	20. Sep.	20. Okt.	19. Dez.	30. Okt.	19. Dez.														
Min. und	Tägl. Beginn Schattenperiode 1 6:40	7:40	9:30	8:10	9:30														
Max. werte	Tägl. Ende Schattenperiode 1 7:00	8:00	10:00	8:20	10:10														
	Tägl. Beginn Schattenperiode 2 6:30	7:10	9:20	7:40	9:10														
	Tägl. Ende Schattenperiode 2 6:40	7:40	10:00	8:00	9:50														

Projekt		Windpark Wussentin	
Geographische nördl. Breite in °	53,852306	Geographische östl. Länge in °	13,514012
Wetterstation Sonnenscheindauer	Angermünde	Wetterstation Windrichtung	Neustrelitz
Immissionsort (IO)			
Bezeichnung	IO-27	x-Koordinate in m	33403450
y-Koordinate in m	5966251	z-Koordinate in m	11,62

	WEA VB08 Vestas V90-2MW	WEA VB09 Vestas V90-2MW	WEA VB13 Vestas V90-2MW	WEA VB14 Vestas V90-2MW	WEA VB15 Vestas V90-2MW													
Widenergieanlage																		
Typ der WEA																		
Nabenhöhe in m	95,0	95,0	95,0	95,0	95,0													
Rotordurchm. WEA in m	90,0	90,0	90,0	90,0	90,0													
x-Koordinate der WEA in m	33404635	33404266	33403919	33404401	33403810													
y-Koordinate der WEA in m	5966116	5965897	5965543	5965688	5965739													
Entfernung der WEA vom IO in m	1193	889	849	1105	626													
Azimuth der WEA bez. des IO in ° N	98	115	148	122	146													
Astron. Beschattungsdauer in h/a	1,7	11,7	20,0	6,7	43,3													
Wahrscheinliche Beschattungsdauer in h/a																		
Max. Beschattungsdauer in min/d	10,0	20,0	30,0	20,0	30,0													
Anzahl der Beschattungstage in d/a	20	40	60	20	90													
Beginn Schattenperiode 1	21. Mrz.	19. Feb.	21. Dez.	9. Feb.	21. Dez.													
Ende Schattenperiode 1	21. Mrz.	1. Mrz.	10. Jan.	9. Feb.	30. Jan.													
Beginn Schattenperiode 2	0. Jan.	10. Okt.	29. Nov.	30. Okt.	19. Nov.													
Ende Schattenperiode 2	0. Jan.	20. Okt.	19. Dez.	30. Okt.	19. Dez.													
Tägl. Beginn Schattenperiode 1	6:50	7:50	9:30	8:10	9:30													
Tägl. Ende Schattenperiode 1	7:00	8:10	10:00	8:30	10:10													
Max. -	0:00	7:20	9:30	7:40	9:20													
werte	0:00	7:40	10:00	8:00	10:00													

Projektdaten	
Projekt	Windpark Wussentin
Geographische nördl. Breite in °	53,852306
Geographische östl. Länge in °	13,514012
Wetterstation Sonnenscheindauer	Angermünde
Wetterstation Windrichtung	Neustrelitz
Immissionsort (IO)	
Bezeichnung	IO-28
x-Koordinate in m	33403409
y-Koordinate in m	5966242
z-Koordinate in m	11,37

	WEA VB08 Vestas V90- 2MW	WEA VB09 Vestas V90- 2MW	WEA VB13 Vestas V90- 2MW	WEA VB14 stas V90-2MW	WEA VB15 stas V90-2MW																
Typ der WEA																					
Nabenhöhe in m	95,0	95,0	95,0	95,0	95,0																
Rotordurchm. WEA in m	90,0	90,0	90,0	90,0	90,0																
x-Koordinate der WEA in m	33404635	33404266	33403919	33404401	33403810																
y-Koordinate der WEA in m	5966116	5965897	5965543	5965688	5965739																
Entfernung der WEA vom IO in m	1232	924	865	1136	643																
Azimuth der WEA bez. des IO in ° N	97	113	145	120	143																
Astron. Beschattungsdauer in h/a	3,3	6,7	25,0	6,7	45,0															66,7	
Wahrscheinliche Beschattungsdauer in h/a																					6,3
Max. Beschatt.dauer in min/d	20,0	20,0	30,0	20,0	40,0																40,0
Anzahl der Beschattungstage in d/a	20	30	60	30	100																170
Beginn Schattenperiode 1	21. Mrz.	1. Mrz.	21. Dez.	9. Feb.	21. Dez.																21. Dez.
Ende Schattenperiode 1	21. Mrz.	1. Mrz.	10. Jan.	19. Feb.	30. Jan.																21. Mrz.
Beginn Schattenperiode 2	0. Jan.	10. Okt.	29. Nov.	30. Okt.	9. Nov.																10. Okt.
Ende Schattenperiode 2	0. Jan.	20. Okt.	19. Dez.	30. Okt.	19. Dez.																19. Dez.
Tägl. Beginn Schattenperiode 1	6:40	7:40	9:20	8:10	9:20																6:40
Tägl. Ende Schattenperiode 1	7:00	8:00	10:00	8:20	10:00																10:00
Tägl. Beginn Schattenperiode 2	0:00	7:20	9:20	7:40	9:00																7:20
Tägl. Ende Schattenperiode 2	0:00	7:30	9:50	8:00	9:40																9:50

Projektdaten	
Projekt	Windpark Wussentin
Geographische nördl. Breite in °	53,852306
Geographische östl. Länge in °	13,514012
Wetterstation Sonnenscheindauer	Angermünde
Wetterstation Windrichtung	Neustrelitz
Immissionsort (IO)	
Bezeichnung	IO-30
x-Koordinate in m	33403269
y-Koordinate in m	5966229
z-Koordinate in m	10,46

	WEA VB08	WEA VB09	WEA VB13	WEA VB14	WEA VB15															
Windenergieanlage	Vestas V90-2MW	Vestas V90-2MW	stas V90-2MW	stas V90-2MW	stas V90-2MW															
Typ der WEA	2MW	2MW	stas V90-2MW	stas V90-2MW	stas V90-2MW															
Nabenhöhe in m	95,0	95,0	95,0	95,0	95,0															
Rotordurchm. WEA in m	90,0	90,0	90,0	90,0	90,0															
x-Koordinate der WEA in m	33404635	33404266	33403919	33404401	33403810															
y-Koordinate der WEA in m	5966116	5965897	5965543	5965688	5965739															
Entfernung der WEA vom IO in m	1371	1051	945	1255	730															
Azimuth der WEA bez. des IO in ° N	96	110	138	117	133															
Astron. Beschattungsdauer in h/a	3,3	6,7	23,3	5,0	18,3															
Wahrscheinliche Beschattungsdauer in h/a	10,0	20,0	30,0	10,0	30,0															
Max. Beschatt.dauer in min/d	20	20	80	30	50															
Anzahl der Beschattungstage in d/a																				
Jahreszeit																				
Beginn Schattenperiode 1	21. Mrz.	1. Mrz.	21. Dez.	19. Feb.	20. Jan.															
Ende Schattenperiode 1	21. Mrz.	1. Mrz.	20. Jan.	19. Feb.	9. Feb.															
Beginn Schattenperiode 2	20. Sep.	10. Okt.	19. Nov.	20. Okt.	9. Nov.															
Ende Schattenperiode 2	20. Sep.	10. Okt.	19. Dez.	30. Okt.	19. Nov.															
Min. und	Tägl. Beginn Schattenperiode 1	6:40	9:00	8:00	8:50															
Max. werte	Tägl. Ende Schattenperiode 1	6:50	9:30	8:10	9:20															
	Tägl. Beginn Schattenperiode 2	6:30	8:40	7:30	8:20															
	Tägl. Ende Schattenperiode 2	6:40	9:10	7:40	8:50															

Projekt		Windpark Wussentin	
Geographische nördl. Breite in °	53,852306	Geographische östl. Länge in °	13,514012
Wetterstation Sonnenscheindauer	Angermünde	Wetterstation Windrichtung	Neustrelitz
Immissionsort (IO)			
Bezeichnung	IO-31	x-Koordinate in m	33403286
y-Koordinate in m	5966234	z-Koordinate in m	10,57

	WEA VB08 Vestas V90-2MW	WEA VB09 Vestas V90-2MW	WEA VB13 Vestas 2MW	WEA VB14 Vestas V90-2MW	WEA VB15 Vestas V90-2MW													
Windenergieanlage																		
Typ der WEA																		
Nabenhöhe in m	95,0	95,0	95,0	95,0	95,0													
Rotordurchm. WEA in m	90,0	90,0	90,0	90,0	90,0													
x-Koordinate der WEA in m	33404635	33404266	33403919	33404401	33403810													
y-Koordinate der WEA in m	5966116	5965887	5965543	5965688	5965739													
Entfernung der WEA vom IO in m	1354	1036	937	1242	721													
Azmut der WEA bez. des IO in ° N	96	110	139	117	135													
Astron. Beschattungsdauer in h/a	5,0	6,7	25,0	5,0	20,0													
Wahrscheinliche Beschattungsdauer in h/a																		
Max. Beschatt.dauer in min/d	20,0	20,0	20,0	10,0	30,0													
Anzahl der Beschattungstage in d/a	20	20	80	30	50													
Beginn Schattenperiode 1	21. Mrz.	1. Mrz.	21. Dez.	19. Feb.	20. Jan.													
Ende Schattenperiode 1	21. Mrz.	1. Mrz.	20. Jan.	19. Feb.	9. Feb.													
Beginn Schattenperiode 2	20. Sep.	10. Okt.	19. Nov.	20. Okt.	9. Nov.													
Ende Schattenperiode 2	20. Sep.	10. Okt.	19. Dez.	30. Okt.	19. Nov.													
Min- und Max.werte																		
Tägl. Beginn Schattenperiode 1	6:40	7:30	9:00	8:00	9:00													
Tägl. Ende Schattenperiode 1	7:00	7:50	9:30	8:10	9:30													
Tägl. Beginn Schattenperiode 2	6:30	7:10	8:50	7:30	8:30													
Tägl. Ende Schattenperiode 2	6:40	7:30	9:20	7:40	9:00													

Projektdaten	
Projekt	Windpark Wussentin
Geographische nördl. Breite in °	53,852306
Geographische östl. Länge in °	13,514012
Wetterstation Sonnenscheindauer	Angermünde
Wetterstation Windrichtung	Neustrelitz
Immissionsort (IO)	
Bezeichnung	IO-33
x-Koordinate in m	33403345
y-Koordinate in m	5966255
z-Koordinate in m	10,92

	WEA VB08 Vestas V90- 2MW	WEA VB09 Vestas V90- 2MW	WEA VB13 Vestas V90- 2MW	WEA VB14 stias V90-2MW	WEA VB15 stias V90-2MW														
Typ der WEA																			
Nabenhöhe in m	95,0	95,0	95,0	95,0	95,0														
Rotordurchm. WEA in m	90,0	90,0	90,0	90,0	90,0														
x-Koordinate der WEA in m	33404635	33404266	33403919	33404401	33403810														
y-Koordinate der WEA in m	5966116	5965897	5965543	5965688	5965739														
Entfernung der WEA vom IO in m	1297	988	915	1199	695														
Azimuth der WEA bez. des IO in ° N	97	112	142	119	139														
Astron. Beschattungsdauer in h/a	3,3	8,3	26,7	6,7	30,0														
Wahrscheinliche Beschattungsdauer in h/a																			
Max. Beschatt.dauer in min/d	20,0	20,0	30,0	20,0	30,0														
Anzahl der Beschattungstage in d/a	20	30	70	30	70														
Beginn Schattenperiode 1	21. Mrz.	1. Mrz.	21. Dez.	9. Feb.	10. Jan.														
Ende Schattenperiode 1	21. Mrz.	1. Mrz.	20. Jan.	19. Feb.	30. Jan.														
Beginn Schattenperiode 2	0. Jan.	10. Okt.	29. Nov.	30. Okt.	9. Nov.														
Ende Schattenperiode 2	0. Jan.	20. Okt.	19. Dez.	30. Okt.	9. Dez.														
Min- und	Tägl. Beginn Schattenperiode 1	6:40	7:40	8:10	8:10														
Max- und	Tägl. Ende Schattenperiode 1	7:00	8:00	9:50	8:20														
Min- und	Tägl. Beginn Schattenperiode 2	0:00	7:10	9:00	7:30														
Max- und	Tägl. Ende Schattenperiode 2	0:00	7:30	9:30	7:50														
Min- und																			
Max- und																			
Min- und																			
Max- und																			
Min- und																			
Max- und																			
Min- und																			
Max- und																			
Min- und																			
Max- und																			
Min- und																			
Max- und																			
Min- und																			
Max- und																			
Min- und																			
Max- und																			
Min- und																			
Max- und																			
Min- und																			
Max- und																			
Min- und																			
Max- und																			
Min- und																			
Max- und																			
Min- und																			
Max- und																			
Min- und																			
Max- und																			
Min- und																			
Max- und																			
Min- und																			
Max- und																			
Min- und																			
Max- und																			
Min- und																			
Max- und																			
Min- und																			
Max- und																			
Min- und																			
Max- und																			
Min- und																			
Max- und																			
Min- und																			
Max- und																			
Min- und																			
Max- und																			
Min- und																			
Max- und																			
Min- und																			
Max- und																			
Min- und																			
Max- und																			
Min- und																			
Max- und																			
Min- und																			
Max- und																			
Min- und																			
Max- und																			
Min- und																			
Max- und																			
Min- und																			
Max- und																			
Min- und																			
Max- und																			
Min- und																			
Max- und																			
Min- und																			
Max- und																			
Min- und																			
Max- und																			
Min- und																			
Max- und																			
Min- und																			
Max- und																			
Min- und																			
Max- und																			
Min- und																			
Max- und																			
Min- und																			
Max- und																			
Min- und																			
Max- und																			

Projektdaten	
Projekt	Windpark Wussentin
Geographische nördl. Breite in °	53,852306
Geographische östl. Länge in °	13,514012
Wetterstation Sonnenscheindauer	Angermünde
Wetterstation Windrichtung	Neustrelitz
Immissionsort (IO)	
Bezeichnung	IO-34
x-Koordinate in m	33403386
y-Koordinate in m	5966274
z-Koordinate in m	11,15

	WEA V508 Vestas V90- 2MW	WEA V509 Vestas V90- 2MW	WEA VB13 stas V90-2MW	WEA VB14 stas V90-2MW	WEA VB15 stas V90-2MW															
Windenergieanlage																				
Typ der WEA	WEA V508 Vestas V90- 2MW	WEA V509 Vestas V90- 2MW	WEA VB13 stas V90-2MW	WEA VB14 stas V90-2MW	WEA VB15 stas V90-2MW															
Nabenhöhe in m	95,0	95,0	95,0	95,0	95,0															
Rotordurchm. WEA in m	90,0	90,0	90,0	90,0	90,0															
x-Koordinate der WEA in m	33404636	33404266	33403919	33404401	33403810															
y-Koordinate der WEA in m	5966116	5965897	5965543	5965688	5965739															
Entfernung der WEA vom IO in m	1259	957	905	1172	683															
Azimuth der WEA bez. des IO in ° N	98	114	145	121	143															
Astron. Beschattungsdauer in h/a	3,3	8,3	23,3	6,7	40,0															
Wahrscheinliche Beschattungsdauer in h/a																				
Max. Beschatt.dauer in min/d	10,0	20,0	30,0	20,0	40,0															
Anzahl der Beschattungstage in d/a	20	30	60	20	90															
Jahreszeit	21. Mrz.	19. Feb.	21. Dez.	9. Feb.	21. Dez.															
Beginn Schattenperiode 1	21. Mrz.	1. Mrz.	10. Jan.	9. Feb.	30. Jan.															
Ende Schattenperiode 1	30. Sep.	20. Okt.	29. Nov.	30. Okt.	19. Nov.															
Beginn Schattenperiode 2	30. Sep.	20. Okt.	19. Dez.	30. Okt.	19. Dez.															
Ende Schattenperiode 2	6:50	7:50	9:20	8:10	9:20															
Min. und	Tägl. Beginn Schattenperiode 1																			
Max. und	Tägl. Ende Schattenperiode 1																			
Min. und	Tägl. Beginn Schattenperiode 2																			
Max. und	Tägl. Ende Schattenperiode 2																			
Min. und	6:50	7:20	9:20	7:40	9:00															
Max. und	7:00	8:10	10:00	8:30	10:00															
Min. und	6:40	7:40	9:50	7:40	9:40															
Max. und	6:50	7:40	9:50	8:00	9:40															
Min. und	6:50	7:40	9:50	8:00	9:40															
Max. und	6:50	7:40	9:50	8:00	9:40															
Min. und	6:50	7:40	9:50	8:00	9:40															
Max. und	6:50	7:40	9:50	8:00	9:40															
Min. und	6:50	7:40	9:50	8:00	9:40															
Max. und	6:50	7:40	9:50	8:00	9:40															
Min. und	6:50	7:40	9:50	8:00	9:40															
Max. und	6:50	7:40	9:50	8:00	9:40															
Min. und	6:50	7:40	9:50	8:00	9:40															
Max. und	6:50	7:40	9:50	8:00	9:40															
Min. und	6:50	7:40	9:50	8:00	9:40															
Max. und	6:50	7:40	9:50	8:00	9:40															
Min. und	6:50	7:40	9:50	8:00	9:40															
Max. und	6:50	7:40	9:50	8:00	9:40															
Min. und	6:50	7:40	9:50	8:00	9:40															
Max. und	6:50	7:40	9:50	8:00	9:40															
Min. und	6:50	7:40	9:50	8:00	9:40															
Max. und	6:50	7:40	9:50	8:00	9:40															
Min. und	6:50	7:40	9:50	8:00	9:40															
Max. und	6:50	7:40	9:50	8:00	9:40															
Min. und	6:50	7:40	9:50	8:00	9:40															
Max. und	6:50	7:40	9:50	8:00	9:40															
Min. und	6:50	7:40	9:50	8:00	9:40															
Max. und	6:50	7:40	9:50	8:00	9:40															
Min. und	6:50	7:40	9:50	8:00	9:40															
Max. und	6:50	7:40	9:50	8:00	9:40															
Min. und	6:50	7:40	9:50	8:00	9:40															
Max. und	6:50	7:40	9:50	8:00	9:40															
Min. und	6:50	7:40	9:50	8:00	9:40															
Max. und	6:50	7:40	9:50	8:00	9:40															
Min. und	6:50	7:40	9:50	8:00	9:40															
Max. und	6:50	7:40	9:50	8:00	9:40															
Min. und	6:50	7:40	9:50	8:00	9:40															
Max. und	6:50	7:40	9:50	8:00	9:40															
Min. und	6:50	7:40	9:50	8:00	9:40															
Max. und	6:50	7:40	9:50	8:00	9:40															
Min. und	6:50	7:40	9:50	8:00	9:40															
Max. und	6:50	7:40	9:50	8:00	9:40															
Min. und	6:50	7:40	9:50	8:00	9:40															
Max. und	6:50	7:40	9:50	8:00	9:40															
Min. und	6:50	7:40	9:50	8:00	9:40															
Max. und	6:50	7:40	9:50	8:00	9:40															
Min. und	6:50	7:40	9:50	8:00	9:40															
Max. und	6:50	7:40	9:50	8:00	9:40															
Min. und	6:50	7:40	9:50	8:00	9:40															
Max. und	6:50	7:40	9:50	8:00	9:40															
Min. und	6:50	7:40	9:50	8:00	9:40															
Max. und	6:50	7:40	9:50	8:00	9:40															
Min. und	6:50	7:40	9:50	8:00	9:40															
Max. und	6:50	7:40	9:50	8:00	9:40															
Min. und	6:50	7:40	9:50	8:00	9:40															
Max. und	6:50	7:40	9:50	8:00	9:40															
Min. und	6:50	7:40	9:50	8:00	9:40															
Max. und	6:50	7:40	9:50	8:00	9:40															
Min. und	6:50	7:40	9:50	8:00	9:40															
Max. und	6:50	7:40	9:50	8:00	9:40															
Min. und	6:50	7:40	9:50	8:00	9:															

Projektdaten	
Projekt	Windpark Wussentirn
Geographische nördl. Breite in °	53.852306
Geographische östl. Länge in °	13.514012
Wetterstation Sonnenscheindauer	Angermünde
Wetterstation Windrichtung	Neustrelitz
Immissionsort (IO)	
Bezeichnung	IO-35
x-Koordinate in m	33403432
y-Koordinate in m	5966307
z-Koordinate in m	11,54

	WEA VB08 Vestas V90- 2MW	WEA VB09 Vestas V90- 2MW	WEA VB13 stas V90-2MW	WEA VB14 stas V90-2MW	WEA VB15 stas V90-2MW													
Typ der WEA	95,0	95,0	95,0	95,0	95,0													
Nabenhöhe in m	90,0	90,0	90,0	90,0	90,0													
Rotordurchm. WEA in m	33404635	33404266	33403919	33404401	33403810													
x-Koordinate der WEA in m	5966116	5965897	5965543	5965688	5965739													
y-Koordinate der WEA in m	1218	929	906	1150	682													
Entfernung der WEA vom IO in m	100	117	149	124	148													
Azimuth der WEA bez. des IO in ° N	3,3	6,7	10,0	6,7	35,0													
Astron. Beschattungsdauer in h/a	10,0	20,0	20,0	20,0	30,0													
Wahrscheinliche Beschattungsdauer in h/a	20	20	40	30	80													
Max. Beschatt.dauer in min/d	11. Mrz.	19. Feb.	21. Dez.	9. Feb.	21. Dez.													
Anzahl der Beschattungsstadien in d/a	11. Mrz.	19. Feb.	31. Dez.	9. Feb.	20. Jan.													
Beginn Schattenperiode 1	30. Sep.	20. Okt.	9. Dez.	30. Okt.	19. Nov.													
Ende Schattenperiode 1	30. Sep.	20. Okt.	19. Dez.	9. Nov.	19. Dez.													
Min- und Max.werte	Tägl. Beginn Schattenperiode 1 7:00	Tägl. Beginn Schattenperiode 1 8:00	Tägl. Beginn Schattenperiode 1 9:40	Tägl. Beginn Schattenperiode 1 8:20	Tägl. Beginn Schattenperiode 1 9:30													
	Tägl. Ende Schattenperiode 1 7:10	Tägl. Ende Schattenperiode 1 8:20	Tägl. Ende Schattenperiode 1 10:00	Tägl. Ende Schattenperiode 1 8:40	Tägl. Ende Schattenperiode 1 10:10													
	Tägl. Beginn Schattenperiode 2 6:40	Tägl. Beginn Schattenperiode 2 7:30	Tägl. Beginn Schattenperiode 2 9:40	Tägl. Beginn Schattenperiode 2 7:50	Tägl. Beginn Schattenperiode 2 9:20													
	Tägl. Ende Schattenperiode 2 6:50	Tägl. Ende Schattenperiode 2 7:50	Tägl. Ende Schattenperiode 2 10:00	Tägl. Ende Schattenperiode 2 8:10	Tägl. Ende Schattenperiode 2 10:00													

Projektdaten	
Projekt	Windpark Wussetin
Geographische nördl. Breite in °	53,852306
Geographische östl. Länge in °	13,514012
Wetterstation Sonnenscheindauer	Angermünde
Wetterstation Windrichtung	Neustrelitz
Immissionsort (IQ)	
Bezeichnung	IO-36
x-Koordinate in m	33403470
y-Koordinate in m	5966314
z-Koordinate in m	11,86

	WEA VB08 Vestas V90- 2MW	WEA VB09 Vestas V90- 2MW	WEA VB12 stas V90-2MW	WEA VB13 stas V90-2MW	WEA VB14 stas V90-2MW	WEA VB15 stas V90-2MW												
Typ der WEA																		
Nabenhöhe in m	95,0	95,0	95,0	95,0	95,0	95,0	95,0	95,0	95,0	95,0	95,0	95,0	95,0	95,0	95,0	95,0	95,0	95,0
Rotordurchm. WEA in m	90,0	90,0	90,0	90,0	90,0	90,0	90,0	90,0	90,0	90,0	90,0	90,0	90,0	90,0	90,0	90,0	90,0	90,0
x-Koordinate der WEA in m	33404635	33404266	33404956	33403919	33404401	33403810	33404401	33403810	33404401	33403810	33404401	33403810	33404401	33403810	33404401	33403810	33404401	33403810
y-Koordinate der WEA in m	5966116	5965997	5966458	5965543	5966688	5965739	5966688	5965739	5966688	5965739	5966688	5965739	5966688	5965739	5966688	5965739	5966688	5965739
Entfernung der WEA vom IQ in m	1182	899	1493	892	1122	668	1122	668	1122	668	1122	668	1122	668	1122	668	1122	668
Azimuth der WEA bez. des IQ in ° N	101	119	86	151	125	151	125	151	125	151	125	151	125	151	125	151	125	151
Astron. Beschattungsdauer in h/a	5,0	11,7	1,7	10,0	6,7	35,0	6,7	35,0	6,7	35,0	6,7	35,0	6,7	35,0	6,7	35,0	6,7	35,0
Wahrscheinliche Beschattungsdauer in h/a	20,0	30,0	10,0	20,0	10,0	40,0	10,0	40,0	10,0	40,0	10,0	40,0	10,0	40,0	10,0	40,0	10,0	40,0
Max. Beschatt.dauer in min/d	20	30	20	40	40	70	40	70	40	70	40	70	40	70	40	70	40	70
Anzahl der Beschattungstage in d/a																		
Jahreszeit																		
Beginn Schattenperiode 1	11. Mrz.	19. Feb.	0. Jan.	21. Dez.	30. Jan.	21. Dez.	30. Jan.	21. Dez.	30. Jan.	21. Dez.	30. Jan.	21. Dez.	30. Jan.	21. Dez.	30. Jan.	21. Dez.	30. Jan.	21. Dez.
Ende Schattenperiode 1	11. Mrz.	19. Feb.	0. Jan.	31. Dez.	9. Feb.	20. Jan.	9. Feb.	20. Jan.	9. Feb.	20. Jan.	9. Feb.	20. Jan.	9. Feb.	20. Jan.	9. Feb.	20. Jan.	9. Feb.	20. Jan.
Beginn Schattenperiode 2	30. Sep.	20. Okt.	10. Sep.	9. Dez.	30. Okt.	29. Nov.	30. Okt.	29. Nov.	30. Okt.	29. Nov.	30. Okt.	29. Nov.	30. Okt.	29. Nov.	30. Okt.	29. Nov.	30. Okt.	29. Nov.
Ende Schattenperiode 2	30. Sep.	30. Okt.	10. Sep.	19. Dez.	9. Nov.	19. Dez.	9. Nov.	19. Dez.	9. Nov.	19. Dez.	9. Nov.	19. Dez.	9. Nov.	19. Dez.	9. Nov.	19. Dez.	9. Nov.	19. Dez.
Min. und	7:00	8:00	0:00	9:50	8:30	9:40	8:30	9:40	8:30	9:40	8:30	9:40	8:30	9:40	8:30	9:40	8:30	9:40
Max. werte	7:10	8:30	0:00	10:10	8:40	10:30	8:40	10:30	8:40	10:30	8:40	10:30	8:40	10:30	8:40	10:30	8:40	10:30
Min. und	6:40	7:30	6:00	9:50	8:00	9:40	8:00	9:40	8:00	9:40	8:00	9:40	8:00	9:40	8:00	9:40	8:00	9:40
Max. werte	7:00	8:00	6:10	10:10	8:10	10:20	8:10	10:20	8:10	10:20	8:10	10:20	8:10	10:20	8:10	10:20	8:10	10:20

Projektdaten	
Projekt	Windpark Wussentin
Geographische nördl. Breite in °	53,852306
Geographische östl. Länge in °	13,514012
Wetterstation Sonnenscheindauer	Angermünde
Wetterstation Windrichtung	Neustrelitz
Immissionsort (IO)	
Bezeichnung	IO-37
x-Koordinate in m	33403488
y-Koordinate in m	5966319
z-Koordinate in m	12,02

	WEA VB08 Vestas V90- 2MW	WEA VB09 Vestas V90- 2MW	WEA VB12 stas V90-2MW	WEA VB13 stas V90-2MW	WEA VB14 stas V90-2MW	WEA VB15 stas V90-2MW													
Typ der WEA																			
Nabenhöhe in m	95,0	95,0	95,0	95,0	95,0	95,0													
Rotordurchm. WEA in m	90,0	90,0	90,0	90,0	90,0	90,0													
x-Koordinate der WEA in m	33404635	33404266	33404956	33403919	33404401	33403810													
y-Koordinate der WEA in m	5966116	5965897	5966458	5965543	5965688	5965739													
Entfernung der WEA vom IO in m	1165	885	1475	888	1110	663													
Azimuth der WEA bez. des IO in ° N	101	120	86	152	126	152													
Astron. Beschattungsdauer in h/a	6,7	10,0	1,7	3,3	8,3	26,3													
Wahrscheinliche Beschattungsdauer in h/a																			
Max. Beschattungsdauer in min/d	20,0	20,0	10,0	10,0	20,0	30,0													
Anzahl der Beschattungstage in d/a	20	30	20	20	30	60													
Beginn Schattenperiode 1	11. Mrz.	19. Feb.	0. Jan.	21. Dez.	30. Jan.	21. Dez.													
Ende Schattenperiode 1	11. Mrz.	19. Feb.	0. Jan.	21. Dez.	9. Feb.	10. Jan.													
Beginn Schattenperiode 2	30. Sep.	20. Okt.	10. Sep.	19. Dez.	9. Nov.	29. Nov.													
Ende Schattenperiode 2	30. Sep.	30. Okt.	10. Sep.	19. Dez.	9. Nov.	19. Dez.													
Min- und Max.werte																			
Trägl. Beginn Schattenperiode 1	7:00	8:10	0:00	10:00	8:30	9:50													
Trägl. Ende Schattenperiode 1	7:20	8:30	0:00	10:10	8:50	10:30													
Trägl. Beginn Schattenperiode 2	6:40	7:40	6:00	10:00	8:00	9:50													
Trägl. Ende Schattenperiode 2	7:00	8:00	6:10	10:10	8:20	10:20													

Projektdaten Projekt <i>Windpark Wussentin</i> 53,852306 13,514012 Angermünde Neustrelitz	
Immissionsort (IO) Bezeichnung IO-38 33403543 5966329 12,49	

	WEA VB08 Vestas V90- 2MW	WEA VB09 2MW/stas V90- 2MW	WEA VB10 stas V90-2MW	WEA VB12 stas V90-2MW	WEA VB14 stas V90-2MW	WEA VB15 stas V90-2MW													
Typ der WEA																			
Nabenhöhe in m	95,0	95,0	95,0	95,0	95,0	95,0													
Rotordurchm. WEA in m	90,0	90,0	90,0	90,0	90,0	90,0													
x-Koordinate der WEA in m	33404635	33404268	33404960	33404956	33404401	33403810													
y-Koordinate der WEA in m	5966116	5965897	5965868	5966458	5965688	5965739													
Entfernung der WEA vom IO in m	1113	842	1493	1419	1071	648													
Azimuth der WEA bez. des IO in ° N	102	122	110	86	128	157													
Astron. Beschattungsdauer in h/a	6,7	15,0	1,7	3,3	8,3	25,0													
Wahrscheinliche Beschattungsdauer in h/a																			
Max. Beschatt.dauer in min/d	20,0	30,0	10,0	10,0	20,0	30,0													
Anzahl der Beschattungstage in d/a	20	40	20	20	30	60													
Jahreszeit																			
Beginn Schattenperiode 1	11. Mrz.	9. Feb.	1. Mrz.	31. Mrz.	30. Jan.	21. Dez.													
Ende Schattenperiode 1	11. Mrz.	19. Feb.	1. Mrz.	31. Mrz.	9. Feb.	10. Jan.													
Beginn Schattenperiode 2	30. Sep.	20. Okt.	0. Jan.	10. Sep.	9. Nov.	29. Nov.													
Ende Schattenperiode 2	30. Sep.	30. Okt.	0. Jan.	10. Sep.	9. Nov.	19. Dez.													
Min. und	7:00	8:10	7:30	6:10	8:30	10:10													
Tägl. Beginn Schattenperiode 1	7:20	8:40	7:40	6:20	8:50	10:50													
Max. und	6:40	7:40	0:00	6:00	8:00	10:10													
Tägl. Beginn Schattenperiode 2	7:00	8:10	0:00	6:10	8:20	10:40													
Max. und	7:00	8:10	0:00	6:10	8:20	10:40													

Projektdaten	
Projekt	Windpark Wussentin
Geographische nördl. Breite in °	53,852306
Geographische östl. Länge in °	13,514012
Wetterstation Sonnenscheindauer	Angermünde
Wetterstation Windrichtung	Neustrelitz
Immissionsort (IO)	
Bezeichnung	IO-39
x-Koordinate in m	33403512
y-Koordinate in m	5966392
z-Koordinate in m	12,5

	WEA VB08 Vestas V90- 2MW	WEA VB09 Vestas V90- 2MW	WEA VB12 Vestas V90- 2MW	WEA VB14 Vestas V90-2MW	WEA VB15 Vestas V90- 2MW
Typ der WEA	95,0	95,0	95,0	95,0	95,0
Nabenhöhe in m	90,0	90,0	90,0	90,0	90,0
Rotordurchm. WEA in m	33404635	33404266	33404958	33404401	33403810
x-Koordinate der WEA in m	5966116	5965897	5966458	5965688	5966739
y-Koordinate der WEA in m	1156	902	1446	1134	718
Entfernung der WEA vom IO in m	105	125	89	130	157
Azmut der WEA bez. des IO in ° N	5,0	11,7	5,0	8,3	16,7
Astron. Beschattungsdauer in h/a	20,0	30,0	20,0	20,0	30,0
Wahrscheinliche Beschattungsdauer in h/a	20	40	20	30	40
Max. Beschatt.dauer in min/d	11. Mrz.	9. Feb.	31. Mrz.	30. Jan.	21. Dez.
Anzahl der Beschattungstage in d/a	11. Mrz.	19. Feb.	31. Mrz.	30. Jan.	31. Dez.
Beginn Schattenperiode 1	10. Okt.	30. Okt.	10. Sep.	9. Nov.	9. Dez.
Ende Schattenperiode 1	10. Okt.	9. Nov.	10. Sep.	19. Nov.	19. Dez.
Tägl. Beginn Schattenperiode 1	7:10	8:20	6:10	8:40	10:10
Tägl. Ende Schattenperiode 1	7:30	8:50	6:30	9:00	10:40
Tägl. Beginn Schattenperiode 2	6:50	7:50	6:10	8:10	10:10
Tägl. Ende Schattenperiode 2	7:00	8:10	6:20	8:30	10:40
Jahres- zeit					
Min- und					
Max- werte					
					46,7
					4,6
					30,0
					140
					21. Dez.
					31. Mrz.
					10. Sep.
					19. Dez.
					6:10
					10:40
					6:10
					10:40

Projektdaten	
Projekt	Windpark Wussetin
Geographische nördl. Breite in °	53,852306
Geographische östl. Länge in °	13,514012
Wetterstation Sonnenscheindauer	Angermünde
Wetterstation Windrichtung	Neustrelitz
Immissionsort (IO)	
Bezeichnung	IO-40
x-Koordinate in m	33403545
y-Koordinate in m	5965415
z-Koordinate in m	12,5

	WEA VB08		WEA VB09		WEA VB12		WEA VB14		WEA VB15												
	Vestas V90-2MW																				
Windenergieanlage																					
Typ der WEA	Vestas V90-2MW																				
Nabenhöhe in m	95,0	95,0	95,0	95,0	95,0	95,0	95,0	95,0	95,0	95,0											
Rotordurchm. WEA in m	90,0	90,0	90,0	90,0	90,0	90,0	90,0	90,0	90,0	90,0											
x-Koordinate der WEA in m	33404635	33404266	33404956	33404401	33404401	33404401	33404401	33404401	33404401	33403810											
y-Koordinate der WEA in m	5965116	5965897	5965458	5965688	5965458	5965688	5965688	5965688	5965739	5965739											
Entfernung der WEA vom IO in m	1130	888	1412	1123	1412	1123	1123	1123	726	726											
Azimuth der WEA bez. des IO in ° N	107	127	89	132	89	132	132	132	160	160											
Astron. Beschattungsdauer in h/a	5,0	11,7	1,7	8,3	1,7	8,3	8,3	8,3	3,3	3,3											
Wahrscheinliche Beschattungsdauer in h/a																					
Max. Beschatt.dauer in mind	20,0	20,0	10,0	20,0	10,0	10,0	20,0	10,0	10,0	10,0											
Anzahl der Beschattungslage in d/a	20	40	20	40	20	20	40	20	20	20											
Jahreszeit																					
Beginn Schattenperiode 1	11. Mrz.	30. Jan.	31. Mrz.	20. Jan.	31. Mrz.	20. Jan.	30. Jan.	21. Dez.	21. Dez.	21. Dez.											21. Dez.
Ende Schattenperiode 1	11. Mrz.	9. Feb.	31. Mrz.	30. Jan.	31. Mrz.	30. Jan.	21. Dez.	21. Dez.	21. Dez.	21. Dez.											31. Mrz.
Beginn Schattenperiode 2	10. Okt.	30. Okt.	0. Jan.	9. Nov.	0. Jan.	9. Nov.	19. Dez.	19. Dez.	19. Dez.	19. Dez.											10. Okt.
Ende Schattenperiode 2	10. Okt.	9. Nov.	0. Jan.	19. Nov.	0. Jan.	19. Nov.	19. Dez.	19. Dez.	19. Dez.	19. Dez.											19. Dez.
Tägl. Beginn Schattenperiode 1	7:20	8:30	6:20	8:50	6:20	8:50	10:30	10:30	10:30	10:30											6:20
Tägl. Ende Schattenperiode 1	7:30	8:50	6:30	9:00	6:30	9:00	10:40	10:40	10:40	10:40											9:00
Max. Tägl. Beginn Schattenperiode 2	6:50	8:00	0:00	8:20	0:00	8:20	10:30	10:30	10:30	10:30											6:50
Max. Tägl. Ende Schattenperiode 2	7:10	8:20	0:00	8:40	0:00	8:40	10:40	10:40	10:40	10:40											6:50
Min- und Max.werte																					

Projektdaten	
Projekt	Windpark Wussentin
Geographische nördl. Breite in °	53,852306
Geographische östl. Länge in °	13,514012
Wetterstation Sonnenscheindauer	Angermünde
Wetterstation Windrichtung	Neustrelitz
Immissionsort (IO)	
Bezeichnung	IO-41
x-Koordinate in m	33403545
y-Koordinate in m	5966437
z-Koordinate in m	12,5

	WEA VB08 Vestas V90- 2MW	WEA VB09 Vestas V90- 2MW	WEA VB12 Vestas V90- 2MW	WEA VB14 Vestas V90- 2MW																
Windereignis																				
Typ der WEA																				
Nabenhöhe in m	95,0	95,0	95,0	95,0																
Rotordurchm. WEA in m	90,0	90,0	90,0	90,0																
x-Koordinate der WEA in m	33404636	33404268	33404956	33404401																
y-Koordinate der WEA in m	5966116	5965897	5966458	5965688																
Entfernung der WEA vom IO in m	1136	901	1411	1137																
Azimuth der WEA bez. des IO in ° N	108	128	90	132																
Astron. Beschattungsdauer in h/a	5,0	13,3	1,7	10,0																
Wahrscheinliche Beschattungsdauer in h/a																				
Max. Beschatt. dauer in min/d	20,0	30,0	10,0	20,0																
Anzahl der Beschattungstage in d/a	20	40	20	30																
Beginn Schattenperiode 1	1. Mrz.	30. Jan.	31. Mrz.	20. Jan.																
Ende Schattenperiode 1	1. Mrz.	9. Feb.	31. Mrz.	30. Jan.																
Beginn Schattenperiode 2	10. Okt.	30. Okt.	0. Jan.	19. Nov.																
Ende Schattenperiode 2	10. Okt.	9. Nov.	0. Jan.	19. Nov.																
Min. und																				
Tägl. Beginn Schattenperiode 1	7:30	8:40	6:20	8:50																
Tägl. Ende Schattenperiode 1	7:40	9:00	6:30	9:10																
Max. werte																				
Tägl. Beginn Schattenperiode 2	7:00	8:00	0:00	8:20																
Tägl. Ende Schattenperiode 2	7:20	8:30	0:00	8:40																

Projekt		Windpark Wussentin
Geographische nördl. Breite in °	53,852306	
Geographische östl. Länge in °	13,514012	
Wetterstation Sonnenscheindauer	Angermünde	
Wetterstation Windrichtung	Neustrelitz	
Immissionsort (IO)		
Bezeichnung	IO-42	
x-Koordinate in m	33403546	
y-Koordinate in m	5966463	
z-Koordinate in m	12,5	

	WEA VB08 Vestas V90- 2MW	WEA VB09 Vestas V90- 2MW	WEA VB14 Vestas V90- 2MW																	
Windenergieanlage																				
Typ der WEA																				
Nabenhöhe in m	95,0	95,0	95,0																	
Rotordurchm. WEA in m	90,0	90,0	90,0																	
x-Koordinate der WEA in m	33404635	33404266	33404401																	
y-Koordinate der WEA in m	5966116	5965697	5965688																	
Entfernung der WEA vom IO in m	1143	916	1154																	
Azimet der WEA bez. des IO in ° N	109	129	133																	
Astron. Beschattungsdauer in h/a	5,0	11,7	6,7																	23,3
Wahrscheinliche Beschattungsdauer in h/a																				1,8
Max. Beschatt.dauer in mind	20,0	20,0	20,0																	30,0
Anzahl der Beschattungstage in d/a	20	40	30																	70
Jahreszeit	1. Mrz.	30. Jan.	20. Jan.																	20. Jan.
Beginn Schattenperiode 1	1. Mrz.	9. Feb.	30. Jan.																	1. Mrz.
Ende Schattenperiode 1																				10. Okt.
Beginn Schattenperiode 2	10. Okt.	9. Nov.	19. Nov.																	19. Nov.
Ende Schattenperiode 2	10. Okt.	19. Nov.	19. Nov.																	10. Okt.
Min- und	7:30	8:40	8:50																	7:30
Tägl. Beginn Schattenperiode 1	7:40	9:00	9:10																	9:10
Max- und	7:00	8:10	8:30																	7:00
Tägl. Beginn Schattenperiode 2	7:20	8:30	8:40																	8:40
Max- und																				
Tägl. Ende Schattenperiode 2																				

Projektdaten	
Projekt	Windpark Wussentin
Geographische nördl. Breite in °	53,852306
Geographische östl. Länge in °	13,514012
Wetterstation Sonnenscheindauer	Angermünde
Wetterstation Windrichtung	Neustrelitz
Immissionsort (IO)	
Bezeichnung	IO-43
x-Koordinate in m	33403545
y-Koordinate in m	5966503
z-Koordinate in m	12,5

	WEA VB08 Vestas V90- 2MW	WEA VB09 Vestas V90- 2MW	WEA VB12 Vestas V90- 2MW	WEA VB14 Vestas V90- 2MW
Typ der WEA				
Nabenhöhe in m	95,0	95,0	95,0	95,0
Rotordurchm. WEA in m	90,0	90,0	90,0	90,0
x-Koordinate der WEA in m	33404635	33404266	33404956	33404401
y-Koordinate der WEA in m	5966116	5965897	5966458	5965688
Entfernung der WEA vom IO in m	1157	942	1412	1182
Azimuth der WEA bez. des IO in ° N	111	131	93	135
Astron. Beschattungsdauer in h/a	6,7	11,7	1,7	8,3
Wahrscheinliche Beschattungsdauer in h/a				
Max. Beschattungsdauer in min/d	20,0	20,0	10,0	20,0
Anzahl der Beschattungstage in d/a	30	40	20	40
Beginn Schattenperiode 1	1. Mrz.	20. Jan.	0. Jan.	10. Jan.
Ende Schattenperiode 1	1. Mrz.	30. Jan.	0. Jan.	20. Jan.
Beginn Schattenperiode 2	10. Okt.	9. Nov.	20. Sep.	19. Nov.
Ende Schattenperiode 2	20. Okt.	19. Nov.	20. Sep.	29. Nov.
Min- und Maxwerte				
Tagl. Beginn Schattenperiode 1	7:30	8:50	0:00	9:00
Tagl. Ende Schattenperiode 1	7:50	9:10	0:00	9:10
Tagl. Beginn Schattenperiode 2	7:10	8:20	6:20	8:30
Tagl. Ende Schattenperiode 2	7:20	8:40	6:30	8:50
Jahreszeit				
				10. Jan.
				1. Mrz.
				20. Sep.
				29. Nov.
				7:30
				9:10
				6:20
				8:50
				26,7
				2,3
				30,0
				100

Projektdaten	
Projekt	Windpark Wussentfin
Geographische nördl. Breite in °	53,852306
Geographische östl. Länge in °	13,514012
Wetterstation Sonnenscheindauer	Angermünde
Wetterstation Windrichtung	Neustrelitz
Immissionsort (IO)	
Bezeichnung	IO-44
x-Koordinate in m	33403487
y-Koordinate in m	5966510
z-Koordinate in m	12,5

	WEA VB08 Vestas V90- 2MW	WEA VB09 Vestas V90- 2MW	WEA VB12 Vestas V90- 2MW	WEA VB14 Vestas V90- 2MW																
Windenergieanlage																				
Typ der WEA																				
Nabenhöhe in m	95,0	95,0	95,0	95,0																
Rotordurchm. WEA in m	90,0	90,0	90,0	90,0																
x-Koordinate der WEA in m	33404635	33404266	33404656	33404401																
y-Koordinate der WEA in m	5966116	5965897	5966458	5965688																
Entfernung der WEA vom IO in m	1214	991	1470	1229																
Azimet der WEA bez. des IO in ° N	110	129	93	133																
Astron. Beschattungsdauer in h/a	5,0	10,0	1,7	5,0																
Wahrscheinliche Beschattungsdauer in h/a																				
Max. Beschattungsdauer in min/d	20,0	20,0	10,0	20,0																
Anzahl der Beschattungstage in d/a	20	40	20	20																
Beginn Schattenperiode 1	1. Mrz.	30. Jan.	0. Jan.	20. Jan.																
Ende Schattenperiode 1	1. Mrz.	9. Feb.	0. Jan.	20. Jan.																
Beginn Schattenperiode 2	10. Okt.	9. Nov.	20. Sep.	19. Nov.																
Ende Schattenperiode 2	10. Okt.	19. Nov.	20. Sep.	19. Nov.																
Min- und Maxwerte																				
Tägl. Beginn Schattenperiode 1	7:30	8:40	0:00	8:50																
Tägl. Ende Schattenperiode 1	7:50	9:00	0:00	9:10																
Tägl. Beginn Schattenperiode 2	7:10	8:10	6:20	8:30																
Tägl. Ende Schattenperiode 2	7:20	8:30	6:30	8:40																

Projekt		Windpark Wussentin	
Geographische nördl. Breite in °	53,852306	Geographische östl. Länge in °	13,514012
Wetterstation Sonnenscheindauer		Angermünde	
Wetterstation Windrichtung		Neustrelitz	
Immissionsort (IO)			
Bezeichnung		10-45	
x-Koordinate in m	33403477	y-Koordinate in m	5966455
z-Koordinate in m	12,5		

	WEA VB08 Vestas V90- 2MW	WEA VB09 Vestas V90- 2MW	WEA VB14 Vestas V90- 2MW	WEA VB16 Vestas V90-2MW																	
Typ der WEA																					
Nabenhöhe in m	95,0	95,0	95,0	95,0																	
Rotordurchm. WEA in m	90,0	90,0	90,0	90,0																	
x-Koordinate der WEA in m	33404635	33404266	33404401	33403810																	
y-Koordinate der WEA in m	5966116	5965697	5965688	5965739																	
Entfernung der WEA vom IO in m	1207	966	1201	790																	
Azimuth der WEA bez. des IO in ° N	108	126	131	156																	
Astron. Beschattungsdauer in h/a	3,3	13,3	5,0	3,3																	
Wahrscheinliche Beschattungsdauer in h/a	10,0	20,0	10,0	10,0																	
Max. Beschatt.dauer in min/d	20	40	30	20																	
Anzahl der Beschattungstage in d/a																					
Beginn Schattenperiode 1	1. Mrz.	30. Jan.	20. Jan.	21. Dez.																	
Ende Schattenperiode 1	1. Mrz.	9. Feb.	30. Jan.	21. Dez.																	
Beginn Schattenperiode 2	10. Okt.	30. Okt.	19. Nov.	19. Dez.																	
Ende Schattenperiode 2	10. Okt.	9. Nov.	19. Nov.	19. Dez.																	
Tägl. Beginn Schattenperiode 1	7:30	8:30	8:50	10:20																	
Tägl. Ende Schattenperiode 1	7:40	8:50	9:00	10:30																	
Max- und werte	7:00	8:00	8:20	10:20																	
	7:10	8:20	8:30	10:30																	

Projektdaten	
Projekt	Windpark Wusselfin
Geographische nördl. Breite in °	53,852306
Geographische östl. Länge in °	13,514012
Wetterstation Sonnenscheindauer	Angermünde
Wetterstation Windrichtung	Neustrelitz
Immissionsort (IO)	
Bezeichnung	IO-46
x-Koordinate in m	33403465
y-Koordinate in m	5966412
z-Koordinate in m	12,43

	WEA VB08 Vestas V90- 2MW	WEA VB09 Vestas V90- 2MW	WEA VB12 Vestas V90- 2MW	WEA VB14 Vestas V90-2MW Atlas V90-2MW	WEA VB15 Atlas V90-2MW															
Windenergieanlage																				
Typ der WEA																				
Nabenhöhe in m	95,0	95,0	95,0	95,0	95,0															
Rotordurchm. WEA in m	90,0	90,0	90,0	90,0	90,0															
x-Koordinate der WEA in m	33404635	33404266	33404956	33404401	33403810															
y-Koordinate der WEA in m	5966116	5966897	5966458	5965668	5965739															
Entfernung der WEA vom IO in m	1207	952	1492	1183	756															
Azimuth der WEA bez. des IO in ° N	105	124	89	129	154															
Astron. Beschattungsdauer in h/a	5,0	8,3	1,7	5,0	15,0															
Wahrscheinliche Beschattungsdauer in h/a																				
Max. Beschatt.dauer in min/d	20,0	20,0	10,0	20,0	30,0															
Anzahl der Beschattungstage in d/a	20	30	20	20	40															
Jahreszeit																				
Beginn Schattenperiode 1	11. Mrz.	9. Feb.	31. Mrz.	30. Jan.	21. Dez.															
Ende Schattenperiode 1	11. Mrz.	9. Feb.	31. Mrz.	30. Jan.	31. Dez.															
Beginn Schattenperiode 2	10. Okt.	30. Okt.	0. Jan.	9. Nov.	9. Dez.															
Ende Schattenperiode 2	10. Okt.	9. Nov.	0. Jan.	9. Nov.	19. Dez.															
Tägl. Beginn Schattenperiode 1	7:20	8:20	6:20	8:40	10:00															
Tägl. Ende Schattenperiode 1	7:30	8:40	6:30	9:00	10:30															
Max. werte	6:50	7:50	0:00	8:10	10:00															
	7:10	8:10	0:00	8:20	10:20															

Projektdaten	
Projekt	Windpark Wussentin
Geographische nördl. Breite in °	53,852306
Geographische östl. Länge in °	13,514012
Wetterstation Sonnenscheindauer	Angermünde
Wetterstation Windrichtung	Neustrelitz
Immissionsort (IO)	
Bezeichnung	IO-47
x-Koordinate in m	33403467
y-Koordinate in m	5966479
z-Koordinate in m	12,5

	WEA VB08 Vestas V90-2MW	WEA VB09 Vestas V90-2MW	WEA VB12 Vestas V90-2MW	WEA VB14 Vestas V90-2MW																
Typ der WEA	2MW	2MW	2MW	2MW																
Nabenhöhe in m	95,0	95,0	95,0	95,0																
Rotordurchm. WEA in m	90,0	90,0	90,0	90,0																
x-Koordinate der WEA in m	33404635	33404268	33404966	33404401																
y-Koordinate der WEA in m	5966116	5965897	5966458	5965688																
Entfernung der WEA vom IO in m	1223	988	1489	1224																
Azimuth der WEA bez. des IO in ° N	108	127	92	131																
Astron. Beschattungsdauer in h/a	5,0	10,0	1,7	6,7																
Wahrscheinliche Beschattungsdauer in h/a																				
Max. Beschattungsdauer in min/d	20,0	20,0	10,0	20,0																
Anzahl der Beschattungstage in d/a	20	30	20	30																
Beginn Schattenperiode 1	1. Mrz.	30. Jan.	0. Jan.	20. Jan.																
Ende Schattenperiode 1	1. Mrz.	9. Feb.	0. Jan.	30. Jan.																
Beginn Schattenperiode 2	10. Okt.	9. Nov.	20. Sep.	19. Nov.																
Ende Schattenperiode 2	10. Okt.	9. Nov.	20. Sep.	19. Nov.																
Tägl. Beginn Schattenperiode 1	7:30	8:30	0:00	8:50																
Tägl. Ende Schattenperiode 1	7:40	8:50	0:00	9:00																
Max. werte	7:00	8:00	6:20	8:20																
	7:20	8:20	6:30	8:40																

Projektdaten	
Projekt	Windpark Wussentfin
Geographische nördl. Breite in °	53,852306
Geographische östl. Länge in °	13,514012
Wetterstation Sonnenscheindauer	Angermünde
Wetterstation Windrichtung	Neustrelitz
Immissionsort (IO)	
Bezeichnung	IO-48
x-Koordinate in m	33403481
y-Koordinate in m	5966561
z-Koordinate in m	12,5

	WEA VB08 Vestas V90- 2MW	WEA VB09 Vestas V90- 2MW	WEA VB12 Vestas V90- 2MW	WEA VB14 Vestas V90- 2MW																
Windenergieanlage																				
Typ der WEA																				
Nabenhöhe in m	95,0	95,0	95,0	95,0																
Rotordurchm. WEA in m	90,0	90,0	90,0	90,0																
x-Koordinate der WEA in m	33404635	33404266	33404956	33404401																
y-Koordinate der WEA in m	5966116	5965897	5966458	5965688																
Entfernung der WEA vom IO in m	1237	1028	1479	1268																
Azimet der WEA bez. des IO in ° N	112	131	95	135																
Astron. Beschattungsdauer in h/a	5,0	11,7	1,7	8,3																
Wahrscheinliche Beschattungsdauer in h/a																				
Max. Beschatt.dauer in min/d	20,0	20,0	10,0	20,0																
Anzahl der Beschattungstage in d/a	20	40	20	40																
Jahreszeit																				
Beginn Schattenperiode 1	1. Mrz.	20. Jan.	21. Mrz.	10. Jan.																
Ende Schattenperiode 1	1. Mrz.	30. Jan.	21. Mrz.	20. Jan.																
Beginn Schattenperiode 2	20. Okt.	9. Nov.	0. Jan.	19. Nov.																
Ende Schattenperiode 2	20. Okt.	19. Nov.	0. Jan.	29. Nov.																
Min. und																				
Tägl. Beginn Schattenperiode 1	7:40	8:50	6:40	9:00																
Tägl. Ende Schattenperiode 1	7:50	9:10	6:50	9:10																
Max. werte																				
Tägl. Beginn Schattenperiode 2	7:10	8:20	0:00	8:30																
Tägl. Ende Schattenperiode 2	7:30	8:40	0:00	8:50																

Projekt	
Windpark Wussentin	
Geographische nördl. Breite in °	53,852306
Geographische östl. Länge in °	13,514012
Wetterstation Sonnenscheindauer	Angermünde
Wetterstation Windrichtung	Neustrelitz
Immissionsort (IO)	
Bezeichnung	IO-49
x-Koordinate in m	33403484
y-Koordinate in m	5966648
z-Koordinate in m	12,16

	WEA ZB05 Nordex N149/5 X	WEA ZB06 Nordex N149/5 X	WEA VB08 Vestas V90- 2MW	WEA VB09 Vestas V90- 2MW	WEA VB14 Vestas V90- 2MW
Typ der WEA	N149/5 X	N149/5 X	2MW	2MW	2MW
Nabenhöhe in m	164,0	164,0	95,0	95,0	95,0
Rotordurchm. WEA in m	149,0	149,0	90,0	90,0	90,0
x-Koordinate der WEA in m	33402248	33401891	33404635	33404286	33404401
y-Koordinate der WEA in m	5967470	5967486	5966116	5965897	5965688
Entfernung der WEA vom IO in m	1484	1800	1268	1084	1328
Azimuth der WEA bez. des IO in ° N	305	299	116	135	138
Astron. Beschattungsdauer in h/a	13,3	15,0	5,0	10,0	11,7
Wahrscheinliche Beschattungsdauer in h/a					
Max. Beschattungsdauer in min/d	30,0	20,0	20,0	20,0	20,0
Anzahl der Beschattungstage in d/a	40	50	20	40	60
Beginn Schattenperiode 1	9. Jun.	20. Mai.	19. Feb.	10. Jan.	21. Dez.
Ende Schattenperiode 1	19. Jun.	9. Jun.	19. Feb.	20. Jan.	19. Jun.
Beginn Schattenperiode 2	22. Jun.	12. Jul.	20. Okt.	19. Nov.	22. Jun.
Ende Schattenperiode 2	2. Jul.	22. Jul.	20. Okt.	29. Nov.	19. Dez.
Min- und Maxwerte					
Tägl. Beginn Schattenperiode 1	19:40	19:20	7:50	9:00	7:50
Tägl. Ende Schattenperiode 1	20:10	19:40	8:10	9:20	20:10
Tägl. Beginn Schattenperiode 2	19:50	19:30	7:30	8:30	7:30
Tägl. Ende Schattenperiode 2	20:10	19:50	7:40	8:50	20:10

Projektdaten	
Projekt	Windpark Wussentin
Geographische nördl. Breite in °	53.852306
Geographische östl. Länge in °	13.514012
Wetterstation Sonnenscheindauer	Angermünde
Wetterstation Windrichtung	Neustrelitz
Immissionsort (IO)	
Bezeichnung	IO-50
x-Koordinate in m	33403490
y-Koordinate in m	5966673
z-Koordinate in m	12,06

	WEA ZB05	WEA ZB06	WEA VB08	WEA VB09	WEA VB12	WEA VB14														
	Nordex N149/5.X	Nordex N149/5.X	Vestas V90- 2MW	stias V90-2MW	stias V90-2MW	stias V90-2MW														
Nabenhöhe in m	164,0	164,0	95,0	95,0	95,0	95,0														
Rotordurchm. WEA in m	149,0	149,0	90,0	90,0	90,0	90,0														
x-Koordinate der WEA in m	33402248	33401891	33404635	33404266	33404956	33404401														
y-Koordinate der WEA in m	5967470	5967486	5966116	5966897	5966458	5965688														
Entfernung der WEA vom IO in m	1476	1794	1273	1097	1482	1342														
Azimet der WEA bez. des IO in ° N	304	298	117	136	100	138														
Astron. Beschattungsdauer in h/a	16,7	13,3	5,0	13,3	3,3	11,7														
Wahrscheinliche Beschattungsdauer in h/a																				
Max. Beschatt.dauer in mind	30,0	20,0	10,0	20,0	10,0	20,0														
Anzahl der Beschattungstage in d/a	50	40	30	50	20	60														
Jahres- Beginn Schattenperiode 1	9. Jun.	20. Mai.	19. Feb.	10. Jan.	11. Mrz.	21. Dez.														
Ende Schattenperiode 1	19. Jun.	30. Mai.	19. Feb.	20. Jan.	11. Mrz.	10. Jan.														
Beginn Schattenperiode 2	22. Jun.	12. Jul.	20. Okt.	19. Nov.	30. Sep.	29. Nov.														
Ende Schattenperiode 2	12. Jul.	22. Jul.	30. Okt.	9. Dez.	30. Sep.	19. Dez.														
Min- und	19:40	19:20	8:00	9:00	7:00	9:00														
Max- werte	20:00	19:40	8:10	9:20	7:10	9:20														
Min- und	19:40	19:30	7:30	8:40	6:40	8:50														
Max- werte	20:10	19:50	7:40	9:00	6:50	9:10														

Projekt	
Projekt	Windpark Wussentin
Geographische nördl. Breite in °	53,852306
Geographische östl. Länge in °	13,514012
Wetterstation Sonnenscheindauer	Angermünde
Wetterstation Windrichtung	Neustrelitz
Immissionsort (IO)	
Bezeichnung	IO-51
x-Koordinate in m	33403520
y-Koordinate in m	5966702
z-Koordinate in m	12,19

	WEA ZB05 Nordex N149/5.X	WEA ZB06 Nordex N149/5.X	WEA VB08 Vestas V90-2MW	WEA VB09 Vestas V90-2MW	WEA VB12 Vestas V90-2MW	WEA VB14 Vestas V90-2MW				
Typ der WEA	N149/5.X	N149/5.X	2MW	2MW	2MW	2MW				
Nabenhöhe in m	164,0	164,0	95,0	95,0	95,0	95,0				
Rotordurchm. WEA in m	149,0	149,0	90,0	90,0	90,0	90,0				
x-Koordinate der WEA in m	33402248	33401891	33404635	33404266	33404956	33404401				
y-Koordinate der WEA in m	5967470	5967486	5966116	5965897	5966458	5965688				
Entfernung der WEA vom IO in m	1486	1808	1260	1098	1457	1343				
Azimet der WEA bez. des IO in ° N	302	297	119	138	101	140				
Astron. Beschattungsdauer in h/a	25,0	11,7	6,7	18,3	3,3	15,0				
Wahrscheinliche Beschattungsdauer in h/a										
Max. Beschatt.dauer in min/d	30,0	20,0	20,0	20,0	10,0	20,0				
Anzahl der Beschattungstage in d/a	60	50	20	70	20	50				
Jahreszeit										
Beginn Schattenperiode 1	30. Mai.	10. Mai.	19. Feb.	21. Dez.	11. Mrz.	21. Dez.				21. Dez.
Ende Schattenperiode 1	19. Jun.	30. Mai.	19. Feb.	20. Jan.	11. Mrz.	10. Jan.				19. Jun.
Beginn Schattenperiode 2	22. Jun.	22. Jul.	30. Okt.	29. Nov.	30. Sep.	9. Dez.				22. Jun.
Ende Schattenperiode 2	12. Jul.	1. Aug.	30. Okt.	19. Dez.	30. Sep.	19. Dez.				19. Dez.
Min- und										
Tägl. Beginn Schattenperiode 1	19:30	19:10	8:00	9:00	7:00	9:00				7:00
Tägl. Ende Schattenperiode 1	20:00	19:30	8:20	9:30	7:10	9:30				20:00
Max- und										
Tägl. Beginn Schattenperiode 2	19:30	19:20	7:30	8:50	6:40	9:00				6:40
Tägl. Ende Schattenperiode 2	20:00	19:40	7:50	9:10	6:50	9:20				20:00

Projekt		Windpark Wussentlin
Geographische nördl. Breite in °	53.852306	
Geographische östl. Länge in °	13.514012	
Wetterstation	Angermünde	
Wetterstation Sonnenscheindauer	Neustrelitz	
Wetterstation Windrichtung	Neustrelitz	
Immissionsort (IO)		
Bezeichnung	IO-52	
x-Koordinate in m	33403361	
y-Koordinate in m	5966429	
z-Koordinate in m	11,27	

	WEA ZB06 Nordex N149/5.X	WEA VB08 Vestas V90- 2MW	WEA VB09 stas V90-2MW	WEA VB14 stas V90-2MW	WEA VB15 stas V90-2MW														
Typ der WEA	N149/5.X	2MW	stas V90-2MW	stas V90-2MW	stas V90-2MW														
Nabenhöhe in m	164,0	95,0	95,0	95,0	95,0														
Rotordurchm. WEA in m	149,0	90,0	90,0	90,0	90,0														
x-Koordinate der WEA in m	33401891	33404635	33404266	33404401	33403810														
y-Koordinate der WEA in m	5967486	5966116	5965897	5965688	5965739														
Entfernung der WEA vom IO in m	1811	1312	1050	1277	823														
Azimat der WEA bez. des IO in ° N	307	105	122	127	148														
Astron. Beschattungsdauer in h/a	6,7	3,3	8,3	5,0	25,0														
Wahrscheinliche Beschattungsdauer in h/a																			
Max. Beschatt.dauer in min/d	10,0	10,0	20,0	20,0	30,0														
Anzahl der Beschattungstage in d/a	40	20	30	20	60														
Jahres- zeit	Beginn Schattenperiode 1 Ende Schattenperiode 1	11. Mrz. 11. Mrz.	9. Feb. 19. Feb.	30. Jan. 30. Jan.	21. Dez. 10. Jan.														
Min- und Max- werte	Beginn Schattenperiode 2 Ende Schattenperiode 2 Tägl. Beginn Schattenperiode 1 Tägl. Ende Schattenperiode 1	10. Okt. 10. Okt.	30. Okt. 30. Okt.	9. Nov. 9. Nov.	29. Nov. 19. Dez.														
	Tägl. Beginn Schattenperiode 2 Tägl. Ende Schattenperiode 2	7:10 7:20	8:10 8:30	8:30 8:40	9:40 10:10														
	Tägl. Beginn Schattenperiode 2 Tägl. Ende Schattenperiode 2	6:50 7:00	7:40 8:00	8:00 8:20	9:30 10:00														

Projektdaten	
Projekt	Windpark Wussentin
Geographische nördl. Breite in °	53,852306
Geographische östl. Länge in °	13,514012
Wetterstation Sonnenscheindauer	Angermünde
Wetterstation Windrichtung	Neustrelitz
Immissionsort (IO)	
Bezeichnung	IO-53
x-Koordinate in m	33403386
y-Koordinate in m	5966481
z-Koordinate in m	11,75

	WEA ZB06 Nordex N149/5.X	WEA VB08 Vestas V90- 2MW	WEA VB09 stas V90-2MW	WEA VB14 stas V90-2MW	WEA VB15 stas V90-2MW
Typ der WEA	164,0	95,0	95,0	95,0	95,0
Nabenhöhe in m	149,0	90,0	90,0	90,0	90,0
Rotordurchm. WEA in m	33401891	33404635	33404266	33404401	33403810
x-Koordinate der WEA in m	5967486	5966116	5965897	5966688	5965739
y-Koordinate der WEA in m	1801	1301	1056	1288	855
Entfernung der WEA vom IO in m	305	108	125	129	151
Azimuth der WEA bez. des IO in ° N	15,0	3,3	6,7	5,0	11,7
Astron. Beschattungsdauer in h/a	20,0	10,0	20,0	10,0	20,0
Wahrscheinliche Beschattungsdauer in h/a	50	20	30	30	40
Max. Beschatt.dauer in min/d	9. Jun.	1. Mrz.	9. Feb.	30. Jan.	21. Dez.
Anzahl der Beschattungstage in d/a	19. Jun.	1. Mrz.	9. Feb.	30. Jan.	31. Dez.
Jahreszeit	22. Jun.	10. Okt.	30. Okt.	9. Nov.	9. Dez.
Beginn Schattenperiode 1	12. Jul.	10. Okt.	9. Nov.	19. Nov.	19. Dez.
Ende Schattenperiode 1	19:50	7:30	8:20	8:40	9:50
Beginn Schattenperiode 2	20:10	7:40	8:40	8:50	10:20
Ende Schattenperiode 2	19:50	7:00	8:00	8:10	9:50
Min- und Max-werte	20:10	7:10	8:10	8:30	10:10
					41,7 4,3 20,0 160
					21. Dez. 19. Jun. 22. Jun. 19. Dez.
					7:30 20:10 7:00 20:10

Projektdaten	
Projekt	Windpark Wussentfin
Geographische nördl. Breite in °	53.852306
Geographische östl. Länge in °	13.514012
Wetterstation Sonnenscheindauer	Angermünde
Wetterstation Windrichtung	Neustrelitz
Immissionsort (IO)	
Bezeichnung	IO-54
x-Koordinate in m	33403279
y-Koordinate in m	5966571
z-Koordinate in m	10

	WEA ZB06 Nordex N149/5.X	WEA VB08 Vestas V90- 2MW	WEA VB09 stas V90-2MW	WEA VB14 stas V90-2MW	WEA VB15 stas V90-2MW													
Typ der WEA	N149/5.X	Vestas V90-2MW	stas V90-2MW	stas V90-2MW	stas V90-2MW													
Nabenhöhe in m	164,0	95,0	95,0	95,0	95,0													
Rotordurchm. WEA in m	149,0	90,0	90,0	90,0	90,0													
x-Koordinate der WEA in m	33401891	33404635	33404266	33404401	33403810													
y-Koordinate der WEA in m	5967486	5966116	5965697	5965688	5965739													
Entfernung der WEA vom IO in m	1662	1430	1195	1428	987													
Azimet der WEA bez. des IO in ° N	305	110	126	129	149													
Astron. Beschattungsdauer in h/a	13,3	1,7	5,0	3,3	10,0													
Wahrscheinliche Beschattungsdauer in h/a																		
Max. Beschatt.dauer in min/d	20,0	10,0	10,0	10,0	20,0													
Anzahl der Beschattungstage in d/a	40	20	30	20	40													
Beginn Schattenperiode 1	9. Jun.	1. Mrz.	30. Jan.	30. Jan.	21. Dez.													
Ende Schattenperiode 1	19. Jun.	1. Mrz.	9. Feb.	30. Jan.	31. Dez.													
Beginn Schattenperiode 2	22. Jun.	0. Jan.	9. Nov.	19. Nov.	9. Dez.													
Ende Schattenperiode 2	2. Jul.	0. Jan.	9. Nov.	19. Nov.	19. Dez.													
Min.- und Max.werte																		
Tägl. Beginn Schattenperiode 1	19:40	7:30	8:30	8:40	9:40													
Tägl. Ende Schattenperiode 1	20:10	7:40	8:40	8:50	10:00													
Tägl. Beginn Schattenperiode 2	19:50	0:00	8:00	8:20	9:40													
Tägl. Ende Schattenperiode 2	20:10	0:00	8:10	8:30	10:00													

Projektdaten	
Projekt	Windpark Wussentfin
Geographische nördl. Breite in °	53,852306
Geographische östl. Länge in °	13,514012
Wetterstation Sonnenscheindauer	Angermünde
Wetterstation Windrichtung	Neustrelitz
Immissionsort (IO)	
Bezeichnung	IO-55
x-Koordinate in m	33403210
y-Koordinate in m	5966532
z-Koordinate in m	10

	WEA ZB06 Nordex N149/5.X	WEA VB08 Vestas V90- 2MW	WEA VB09 sias V90-2MW	WEA VB13 sias V90-2MW	WEA VB14 sias V90-2MW	WEA VB15 sias V90-2MW							
Typ der WEA	164,0	95,0	95,0	95,0	95,0	95,0							
Nabenhöhe in m	149,0	90,0	90,0	90,0	90,0	90,0							
Rotordurchm. WEA in m	33401691	33404635	33404266	33403919	33404401	33403610							
x-Koordinate der WEA in m	5967486	5966116	5966897	5965543	5966688	5965739							
y-Koordinate der WEA in m	1628	1484	1232	1217	1460	994							
Entfernung der WEA vom IO in m	307	107	122	146	127	144							
Azimuth der WEA bez. des IO in ° N	3,3	3,3	6,7	3,3	3,3	21,7							
Astron. Beschattungsdauer in h/a	10,0	10,0	20,0	10,0	10,0	30,0							
Wahrscheinliche Beschattungsdauer in h/a	20	20	20	20	20	60							
Max. Beschatt.dauer in min/d	19. Jun.	1. Mrz.	9. Feb.	21. Dez.	30. Jan.	21. Dez.							
Anzahl der Beschattungstage in d/a	19. Jun.	1. Mrz.	9. Feb.	21. Dez.	30. Jan.	21. Dez.							
Jahres- zeit	19. Jun.	1. Mrz.	9. Feb.	21. Dez.	30. Jan.	21. Dez.							
Beginn Schattenperiode 1	22. Jun.	10. Okt.	30. Okt.	19. Dez.	9. Nov.	29. Nov.							
Ende Schattenperiode 1	22. Jun.	10. Okt.	30. Okt.	19. Dez.	9. Nov.	29. Nov.							
Beginn Schattenperiode 2	20:00	7:30	8:10	9:30	8:30	9:20							
Ende Schattenperiode 2	20:10	7:40	8:30	9:40	8:40	9:50							
Min- und	20:00	7:00	7:40	9:30	8:00	9:10							
Max- werte	20:10	7:10	8:00	9:40	8:10	9:40							

Projekt		Windpark Wussentfin	
Geographische nördl. Breite in °	53.852306	Geographische östl. Länge in °	13.514012
Wetterstation Sonnenscheindauer	Angermünde	Wetterstation Windrichtung	Neustrelitz
Immissionsort (IO)			
Bezeichnung	IO-56		
x-Koordinate in m	33403150		
y-Koordinate in m	5966553		
z-Koordinate in m	10		

	WEA VB09 Vestas V90- 2MW	WEA VB13 Vestas V90- 2MW	WEA VB15 Vestas V90-2MW										
Windenergieanlage													
Typ der WEA													
Nabenhöhe in m	95,0	95,0	95,0										
Rotordurchm. WEA in m	90,0	90,0	90,0										
x-Koordinate der WEA in m	33404266	33403919	33403810										
y-Koordinate der WEA in m	5965897	5965543	5965739										
Entfernung der WEA vom IO in m	1295	1269	1048										
Azimuth der WEA bez. des IO in ° N	122	144	142										
Astron. Beschattungsdauer in h/a	6,7	8,3	18,3										
Wahrscheinliche Beschattungsdauer in h/a													
Max. Beschatt.dauer in min/d	20,0	20,0	20,0										
Anzahl der Beschattungstage in d/a	20	40	60										
Jahreszeit													
Beginn Schattenperiode 1	9. Feb.	21. Dez.	21. Dez.										21. Dez.
Ende Schattenperiode 1	9. Feb.	31. Dez.	10. Jan.										9. Feb.
Beginn Schattenperiode 2	30. Okt.	9. Dez.	29. Nov.										30. Okt.
Ende Schattenperiode 2	30. Okt.	19. Dez.	19. Dez.										19. Dez.
Min- und	8:10	9:20	9:10										8:10
Max- und	8:30	9:40	9:40										9:40
Min- und	7:40	9:20	9:10										7:40
Max- und	8:00	9:30	9:30										9:30

Projektdaten	
Projekt	Windpark Wusentín
Geographische nördl. Breite in °	53.852306
Geographische östl. Länge in °	13.514012
Wetterstation Sonnenscheindauer	Angermünde
Wetterstation Windrichtung	Neustrelitz
Immissionsort (IO)	
Bezeichnung	IO-60
x-Koordinate in m	33403024
y-Koordinate in m	5966658
z-Koordinate in m	10

	WEA VB09 Vestas V90- 2MW	WEA VB13 Vestas V90- 2MW	WEA VB15 Vestas V90- 2MW																	
Windenergieanlage																				
Typ der WEA	WEA VB09 Vestas V90- 2MW	WEA VB13 Vestas V90- 2MW	WEA VB15 Vestas V90- 2MW																	
Nabenhöhe in m	95,0	95,0	95,0																	
Rotordurchm. WEA in m	90,0	90,0	90,0																	
x-Koordinate der WEA in m	33404266	33403919	33403810																	
y-Koordinate der WEA in m	5965697	5965543	5965739																	
Entfernung der WEA vom IO in m	1457	1430	1209																	
Azimet der WEA bez. des IO in ° N	123	142	141																	
Astron. Beschattungsdauer in h/a	1,7	10,0	13,3																	
Wahrscheinliche Beschattungsdauer in h/a																				
Max. Beschatt.dauer in min/d	10,0	20,0	20,0																	
Anzahl der Beschattungstage in d/a	20	40	60																	
Jahreszeit																				
Beginn Schattenperiode 1	9. Feb.	21. Dez.	21. Dez.																	
Ende Schattenperiode 1	9. Feb.	31. Dez.	10. Jan.																	
Beginn Schattenperiode 2	0. Jan.	9. Dez.	29. Nov.																	
Ende Schattenperiode 2	0. Jan.	19. Dez.	19. Dez.																	
Min- und																				
Tägl. Beginn Schattenperiode 1	8:20	9:10	9:10																	
Tägl. Ende Schattenperiode 1	8:30	9:30	9:30																	
Max- werte																				
Tägl. Beginn Schattenperiode 2	0:00	9:10	9:00																	
Tägl. Ende Schattenperiode 2	0:00	9:30	9:20																	

Projektdaten	
Projekt	Windpark Wussentin
Geographische nördl. Breite in °	53,852306
Geographische östl. Länge in °	13,514012
Wetterstation Sonnenscheindauer	Angermünde
Wetterstation Windrichtung	Neustrelitz
Immissionsort (IO)	
Bezeichnung	IO-62
x-Koordinate in m	33402948
y-Koordinate in m	5966659
z-Koordinate in m	10

	WEA VB13 Vestas V90- 2MW	WEA VB15 Vestas V90- 2MW																		
Windenergieanlage																				
Typ der WEA																				
Nabenhöhe in m	95,0	95,0																		
Rotordurchm. WEA in m	90,0	90,0																		
x-Koordinate der WEA in m	33403919	33403810																		
y-Koordinate der WEA in m	5965543	5965739																		
Entfernung der WEA vom IO in m	1479	1261																		
Azimuth der WEA bez. des IO in ° N	140	138																		
Astron. Beschattungsdauer in h/a	10,0	13,3																		
Wahrscheinliche Beschattungsdauer in h/a																				
Max. Beschatt.dauer in mind	20,0	20,0																		
Anzahl der Beschattungstage in d/a	40	70																		
Jahres- Beginn Schattenperiode 1	21. Dez.	21. Dez.																		
Ende Schattenperiode 1	31. Dez.	20. Jan.																		
Beginn Schattenperiode 2	9. Dez.	29. Nov.																		
Ende Schattenperiode 2	19. Dez.	19. Dez.																		
Min- und Max- werte	Tägl. Beginn Schattenperiode 1 Tägl. Ende Schattenperiode 1 Tägl. Beginn Schattenperiode 2 Tägl. Ende Schattenperiode 2	9:00 9:20 9:00 9:10	9:00 9:20 8:50 9:10																	

Projektdaten	
Projekt	Windpark Wussentfin
Geographische nördl. Breite in °	53.852306
Geographische östl. Länge in °	13.514012
Wetterstation Sonnenscheindauer	Angermünde
Wetterstation Windrichtung	Neustrelitz
Immissionsort (IO)	
Bezeichnung	IO-64
x-Koordinate in m	33402885
y-Koordinate in m	5966655
z-Koordinate in m	10

		WEA VB15													
Windenergieanlage		Vestas V90-2MW													
Typ der WEA		2MW													
Nabenhöhe in m		95,0													
Rordurchm. WEA in m		90,0													
x-Koordinate der WEA in m		33403810													
y-Koordinate der WEA in m		5965739													
Entfernung der WEA vom IO in m		1302													
Azimut der WEA bez. des IO in ° N		136													
Astron. Beschattungsdauer in h/a		10,0													
Wahrscheinliche Beschattungsdauer in h/a															
Max. Beschatt.dauer in min/d		20,0													
Anzahl der Beschattungstage in d/a		40													
Jahreszeit	Beginn Schattenperiode 1	10. Jan.													
	Ende Schattenperiode 1	20. Jan.													
	Beginn Schattenperiode 2	29. Nov.													
	Ende Schattenperiode 2	9. Dez.													
Min- und Max-werte	Tägl. Beginn Schattenperiode 1	9:00													
	Tägl. Ende Schattenperiode 1	9:20													
Min- und Max-werte	Tägl. Beginn Schattenperiode 2	8:40													
	Tägl. Ende Schattenperiode 2	9:00													
			10. Jan.	20. Jan.	29. Nov.	9. Dez.	9:00	9:20	8:40	9:00					

Projekt		Windpark Wussentin
Geographische nördl. Breite in °	53,852306	
Geographische östl. Länge in °	13,514012	
Wetterstation Sonnenscheindauer	Angermünde	
Wetterstation Windrichtung	Neustrelitz	
Immissionsort (IO)		
Bezeichnung	IO-65	
x-Koordinate in m	33402928	
y-Koordinate in m	5966695	
z-Koordinate in m	10	

Windenergieanlage		WEA VB15
Typ der WEA	Vestas V90-2MW	
Nabenhöhe in m	95,0	
Rotordurchm. WEA in m	90,0	
x-Koordinate der WEA in m	33403810	
y-Koordinate der WEA in m	5965739	
Entfernung der WEA vom IO in m	1301	
Azimuth der WEA bez. des IO in ° N	139	
Astron. Beschattungsdauer in h/a	11,7	11,7
Wahrscheinliche Beschattungsdauer in h/a		0,4
Max. Beschattungsdauer in min/d	20,0	20,0
Anzahl der Beschattungstage in d/a	60	60
Jahreszeit		
Beginn Schattenperiode 1	21. Dez.	21. Dez.
Ende Schattenperiode 1	10. Jan.	10. Jan.
Beginn Schattenperiode 2	29. Nov.	29. Nov.
Ende Schattenperiode 2	19. Dez.	19. Dez.
Min- und Max.werte		
Tägl. Beginn Schattenperiode 1	9:00	9:00
Tägl. Ende Schattenperiode 1	9:20	9:20
Tägl. Beginn Schattenperiode 2	8:50	8:50
Tägl. Ende Schattenperiode 2	9:10	9:10

Projektdaten	
Projekt	Windpark Wussentin
Geographische nördl. Breite in °	53.852306
Geographische östl. Länge in °	13.514012
Wetterstation Sonnenscheindauer	Angermünde
Wetterstation Windrichtung	Neustrelitz
Immissionsort (IO)	
Bezeichnung	IO-82
x-Koordinate in m	33403294
y-Koordinate in m	5966896
z-Koordinate in m	10

	WEA ZB05 Nordex N149/5.X	WEA ZB06 Nordex N149/5.X	WEA VB09 stas V90-2MW																	
Typ der WEA																				
Nabenhöhe in m	164,0	164,0	95,0																	
Rotordurchm. WEA in m	149,0	149,0	90,0																	
x-Koordinate der WEA in m	33402248	33401891	33404266																	
y-Koordinate der WEA in m	5967470	5967486	5965697																	
Entfernung der WEA vom IO in m	1193	1522	1394																	
Azimuth der WEA bez. des IO in ° N	300	294	137																	
Astron. Beschattungsdauer in h/a	30,0	15,0	11,7																	
Wahrscheinliche Beschattungsdauer in h/a																				
Max. Beschatt.dauer in mind	30,0	20,0	20,0																	
Max. Beschatt.dauer in mind	70	50	50																	
Anzahl der Beschattungstage in d/a																				
Jahreszeit																				
Beginn Schattenperiode 1	30. Mai.	10. Mai.	21. Dez.																	
Ende Schattenperiode 1	19. Jun.	30. Mai.	20. Jan.																	
Beginn Schattenperiode 2	22. Jun.	22. Jul.	29. Nov.																	
Ende Schattenperiode 2	22. Jul.	1. Aug.	9. Dez.																	
Min. und																				
Tägl. Beginn Schattenperiode 1	19:20	19:00	9:00																	
Tägl. Ende Schattenperiode 1	19:50	19:20	9:20																	
Max. werte																				
Tägl. Beginn Schattenperiode 2	19:20	19:10	8:40																	
Tägl. Ende Schattenperiode 2	19:50	19:30	9:00																	

Projekt		Windpark Wussentin	
Geographische nördl. Breite in °	53,852306	Geographische östl. Länge in °	13,514012
Wetterstation Sonnenscheindauer	Angermünde	Wetterstation Windrichtung	Neustrelitz
Immissionsort (IO)			
Bezeichnung	IO-83	x-Koordinate in m	33403272
y-Koordinate in m	5966775	z-Koordinate in m	10

	WEA ZB05 Notrex N149/5.X	WEA ZB06 Notrex N149/5.X	WEA VB09 stias V90-2MW																		
Typ der WEA	N149/5.X	N149/5.X	N149/5.X	95,0	90,0																
Nabenhöhe in m	164,0	164,0	164,0																		
Rotordurchm. WEA in m	149,0	149,0	149,0																		
x-Koordinate der WEA in m	33402248	33401891	33404266																		
y-Koordinate der WEA in m	5967470	5967466	5966897																		
Entfernung der WEA vom IO in m	1238	1553	1326																		
Azimet der WEA bez. des IO in ° N	305	298	133																		
Astron. Beschattungsdauer in h/a	5,0	21,7	5,0																		
Wahrscheinliche Beschattungsdauer in h/a																					
Max. Beschatt.dauer in mind	10,0	20,0	20,0																		
Anzahl der Beschattungstage in d/a	30	80	20																		
Jahreszeit																					
Beginn Schattenperiode 1	19. Jun.	20. Mai.	20. Jan.																		
Ende Schattenperiode 1	19. Jun.	19. Jun.	20. Jan.																		
Beginn Schattenperiode 2	22. Jun.	22. Jun.	19. Nov.																		
Ende Schattenperiode 2	2. Jul.	22. Jul.	19. Nov.																		
Min- und Max.werte																					
Tägl. Beginn Schattenperiode 1	19:50	19:20	8:50																		
Tägl. Ende Schattenperiode 1	20:00	19:40	9:00																		
Tägl. Beginn Schattenperiode 2	19:50	19:30	8:20																		
Tägl. Ende Schattenperiode 2	20:00	19:50	8:40																		

Projektdaten	
Projekt	Windpark Wussentin
Geographische nördl. Breite in °	53.852306
Geographische östl. Länge in °	13.514012
Wetterstation Sonnenscheindauer	Angermünde
Wetterstation Windrichtung	Neustrelitz
Immissionsort (IO)	
Bezeichnung	IO-90
x-Koordinate in m	33403336
y-Koordinate in m	5966653
z-Koordinate in m	10,45

	WEA Z506 Nordex N149/5.X	WEA VB08 Vestas V90- 2MW	WEA VB09 stias V90-2MW	WEA VB14 stias V90-2MW																
Windenergieanlage																				
Typ der WEA	Nordex N149/5.X	Vestas V90- 2MW	stias V90-2MW	stias V90-2MW																
Nabenhöhe in m	184,0	95,0	95,0	95,0																
Rotordurchm. WEA in m	149,0	90,0	90,0	90,0																
x-Koordinate der WEA in m	33401891	33404635	33404266	33404401																
y-Koordinate der WEA in m	5967486	5966116	5966897	5966668																
Entfernung der WEA vom IO in m	1668	1406	1199	1437																
Azimuth der WEA bez. des IO in ° N	301	114	130	133																
Astron. Beschattungsdauer in h/a	21,7	3,3	6,7	5,0																
Wahrscheinliche Beschattungsdauer in h/a																				
Max. Beschatt.dauer in min/d	20,0	10,0	20,0	20,0																
Anzahl der Beschattungstage in d/a	70	20	30	20																
Jahreszeit																				
Beginn Schattenperiode 1	30. Mai.	19. Feb.	30. Jan.	20. Jan.																
Ende Schattenperiode 1	19. Jun.	19. Feb.	30. Jan.	20. Jan.																
Beginn Schattenperiode 2	22. Jun.	20. Okt.	9. Nov.	19. Nov.																
Ende Schattenperiode 2	22. Jul.	20. Okt.	19. Nov.	19. Nov.																
Min- und Max.werte																				
Tägl. Beginn Schattenperiode 1	19:30	7:50	8:40	8:50																
Tägl. Ende Schattenperiode 1	19:50	8:00	9:00	9:10																
Tägl. Beginn Schattenperiode 2	19:30	7:20	8:20	8:30																
Tägl. Ende Schattenperiode 2	20:00	7:30	8:30	8:40																

Projektdaten	
Projekt	Windpark Wussentin
Geographische nördl. Breite in °	53,852306
Geographische östl. Länge in °	13,514012
Wetterstation Sonnenscheindauer	Angermünde
Wetterstation Windrichtung	Neustrelitz
Immissionsort (IO)	
Bezeichnung	IO-94
x-Koordinate in m	33403385
y-Koordinate in m	5966845
z-Koordinate in m	10,43

Windenergieanlage	WEA ZB05 Nordex N149/5.X	WEA ZB06 Nordex N149/5.X	WEA VB08 stias V90-2MW	WEA VB09 stias V90-2MW																
Typ der WEA	N149/5.X	N149/5.X	stias V90-2MW	stias V90-2MW																
Nabenhöhe in m	164,0	164,0	95,0	95,0																
Rotordurchm. WEA in m	149,0	149,0	90,0	90,0																
x-Koordinate der WEA in m	33402248	33401891	33404635	33404266																
y-Koordinate der WEA in m	5967470	5967486	5966116	5966897																
Entfernung der WEA vom IO in m	1297	1626	1447	1294																
Azimuth der WEA bez. des IO in ° N	300	294	121	138																
Astron. Beschattungsdauer in h/a	30,0	11,7	5,0	11,7																58,3
Wahrscheinliche Beschattungsdauer in h/a																				6,3
Max. Beschatt.dauer in min/d	30,0	30,0	20,0	20,0																30,0
Anzahl der Beschattungstage in d/a	70	40	20	60																180
Jahreszeit	30. Mai.	10. Mai.	9. Feb.	21. Dez.																21. Dez.
Beginn Schattenperiode 1	19. Jun.	20. Mai.	9. Feb.	10. Jan.																19. Jun.
Ende Schattenperiode 1	22. Jun.	22. Jul.	30. Okt.	29. Nov.																22. Jun.
Beginn Schattenperiode 2	22. Jul.	1. Aug.	30. Okt.	19. Dez.																19. Dez.
Ende Schattenperiode 2	19:20	19:00	8:10	9:00																8:10
Min. und	19:50	19:30	8:30	9:20																19:50
Max. werte	19:20	19:10	7:40	8:50																7:40
	19:50	19:30	7:50	9:10																19:50

Projektdaten	
Projekt	Windpark Mussentín
Geographische nördl. Breite in °	53,852306
Geographische östl. Länge in °	13,514012
Wetterstation Sonnenscheindauer	Angermünde
Wetterstation Windrichtung	Neustrelitz
Immissionsort (IO)	
Bezeichnung	IO-95
x-Koordinate in m	33403407
y-Koordinate in m	5966872
z-Koordinate in m	10,47

	WEA ZB05	WEA ZB06	WEA VB08	WEA VB09																
	Nordex	Nordex	Nordex	Nordex																
Typ der WEA	N149/5/X	N149/5/X	N149/5/X	N149/5/X	stias V90-2MW	stias V90-2MW	stias V90-2MW	stias V90-2MW												
Nabenhöhe in m	164,0	164,0	164,0	164,0	95,0	95,0	95,0	95,0												
Rotordurchm. WEA in m	149,0	149,0	149,0	149,0	90,0	90,0	90,0	90,0												
x-Koordinate der WEA in m	33402248	33401891	33404635	33404266																
y-Koordinate der WEA in m	5967470	5967486	5966116	5965897																
Entfernung der WEA vom IO in m	1304	1636	1442	1299																
Azimuth der WEA bez. des IO in ° N	299	293	123	140																
Astron. Beschattungsdauer in h/a	33,3	13,3	1,7	16,7																
Wahrscheinliche Beschattungsdauer in h/a																				
Max. Beschattungsdauer in min/d	30,0	20,0	10,0	20,0																
Anzahl der Beschattungstage in d/a	80	40	20	60																
Beginn Schattenperiode 1	20. Mai.	10. Mai.	9. Feb.	21. Dez.																
Ende Schattenperiode 1	19. Jun.	20. Mai.	9. Feb.	10. Jan.																
Beginn Schattenperiode 2	22. Jun.	22. Jul.	0. Jan.	29. Nov.																
Ende Schattenperiode 2	22. Jul.	1. Aug.	0. Jan.	19. Dez.																
Min. Tagl. Beginn Schattenperiode 1	19:10	19:00	8:20	9:00																
Max. Tagl. Ende Schattenperiode 1	19:40	19:20	8:30	9:30																
Min. Tagl. Beginn Schattenperiode 2	19:20	19:10	0:00	9:00																
Max. Tagl. Ende Schattenperiode 2	19:50	19:30	0:00	9:20																

Projekt		Windpark Wussentlin	
Geographische nördl. Breite in °	53,852306	Geographische östl. Länge in °	13,514012
Wetterstation Sonneneinstrahlungsdauer	Angermünde	Wetterstation Windrichtung	Neustrelitz
Immissionsort (IO)			
Bezeichnung	IO-97	x-Koordinate in m	33403416
y-Koordinate in m	5966802	z-Koordinate in m	10,89

	WEA ZB05 Nordex N149/5-X	WEA ZB06 Nordex N149/5-X	WEA VB08 stas V90-2MW	WEA VB09 stas V90-2MW	WEA VB14 stas V90-2MW														
Typ der WEA	N149/5-X	N149/5-X	95,0	95,0	95,0														
Nabenhöhe in m	164,0	164,0	90,0	90,0	90,0														
Rotordurchm. WEA in m	149,0	149,0	33404635	33404266	33404401														
x-Koordinate der WEA in m	33402248	33401891	5966116	5965897	5965668														
y-Koordinate der WEA in m	5967470	5967486	1399	1242	1487														
Entfernung der WEA vom IO in m	1346	1671	121	138	140														
Azmut der WEA bez. des IO in ° N	301	295	3,3	13,3	11,7														
Astron. Beschattungsdauer in h/a	28,3	13,3	10,0	20,0	20,0														
Wahrscheinliche Beschattungsdauer in h/a	30,0	20,0	20	70	50														
Max. Beschatt.dauer in min/d	70	40																	
Anzahl der Beschattungstage in d/a																			
Jahreszeit	Beginn Schattenperiode 1 Ende Schattenperiode 1	10. Mai 20. Mai	9. Feb. 9. Feb.	21. Dez. 20. Jan.	21. Dez. 10. Jan.														
	Beginn Schattenperiode 2 Ende Schattenperiode 2	22. Jun. 22. Jul.	30. Okt. 30. Okt.	29. Nov. 19. Dez.	9. Dez. 19. Dez.														
Min- und Maxwerte	Tägl. Beginn Schattenperiode 1 Tägl. Ende Schattenperiode 1	19:20 19:50	8:10 8:20	9:00 9:20	9:00 9:20														
	Tägl. Beginn Schattenperiode 2 Tägl. Ende Schattenperiode 2	19:30 20:00	7:40 7:50	8:50 9:10	9:00 9:20														

Projektdaten	
Projekt	Windpark Wussetin
Geographische nördl. Breite in °	53,852306
Geographische östl. Länge in °	13,514012
Wetterstation Sonnenscheindauer	Angermünde
Wetterstation Windrichtung	Neustrelitz
Immissionsort (IO)	
Bezeichnung	IO-98
x-Koordinate in m	33403413
y-Koordinate in m	5966793
z-Koordinate in m	10,91

	WEA ZB05	WEA ZB06	WEA VB08	WEA VB09	WEA VB14															
	Nordex N149/5.X	Nordex N149/5.X	stas V90-2MW	stas V90-2MW	stas V90-2MW															
Typ der WEA																				
Nabenhöhe in m	164,0	164,0	95,0	95,0	95,0															
Rotordurchm. WEA in m	149,0	149,0	90,0	90,0	90,0															
x-Koordinate der WEA in m	33402248	33401891	33404635	33404266	33404401															
y-Koordinate der WEA in m	5967470	5967486	5966116	5965697	5965688															
Entfernung der WEA vom IO in m	1347	1672	1397	1237	1482															
Azimuth der WEA bez. des IO in ° N	301	296	120	138	139															
Astron. Beschattungsdauer in h/a	25,0	15,0	3,3	15,0	11,7															
Wahrscheinliche Beschattungsdauer in h/a																				
Max. Beschatt.dauer in mind	30,0	20,0	10,0	20,0	20,0															
Anzahl der Beschattungstage in dia	60	50	20	70	50															
Jahreszeit																				
Beginn Schattenperiode 1	30. Mai.	10. Mai.	9. Feb.	21. Dez.	21. Dez.															
Ende Schattenperiode 1	19. Jun.	30. Mai.	9. Feb.	20. Jan.	10. Jan.															
Beginn Schattenperiode 2	22. Jun.	22. Jul.	30. Okt.	29. Nov.	9. Dez.															
Ende Schattenperiode 2	12. Jul.	1. Aug.	30. Okt.	19. Dez.	19. Dez.															
Min. und	Tägl. Beginn Schattenperiode 1	19:30	8:10	9:00	9:00															
Max. und	Tägl. Ende Schattenperiode 1	19:50	8:20	9:20	9:20															
Min. wert	Tägl. Beginn Schattenperiode 2	19:30	7:40	8:50	9:00															
Max. wert	Tägl. Ende Schattenperiode 2	20:00	7:50	9:10	9:20															

Projekt		Windpark Mussentlin	
Geographische nördl. Breite in °	53,852306	Geographische östl. Länge in °	13,514012
Wetterstation Sonnenscheindauer	Angermünde	Wetterstation Windrichtung	Neustrelitz
Immissionsort (IO)			
Bezeichnung	IO-99	x-Koordinate in m	33403374
y-Koordinate in m	5966809	z-Koordinate in m	10,51

	WEA ZB05 Nordex	WEA ZB06 Nordex	WEA VB08 Stas V90-2MW	WEA VB09 Stas V90-2MW																
Typ der WEA	N149/5X	N149/5X	Stas V90-2MW	Stas V90-2MW																
Nabenhöhe in m	164,0	164,0	95,0	95,0																
Rotordurchm. WEA in m	149,0	149,0	90,0	90,0																
x-Koordinate der WEA in m	33402248	33401891	33404635	33404286																
y-Koordinate der WEA in m	5967470	5967486	5966115	5965897																
Entfernung der WEA vom IO in m	1306	1630	1439	1276																
Azmut der WEA bez. des IO in ° N	302	296	120	137																
Astron. Beschattungsdauer in h/a	26,7	18,3	3,3	10,0																
Wahrscheinliche Beschattungsdauer in h/a																				
Max. Beschattungsdauer in min/d	30,0	20,0	10,0	20,0																
Anzahl der Beschattungstage in d/a	60	60	20	40																
Beginn Schattenperiode 1	30. Mai.	10. Mai.	9. Feb.	10. Jan.																
Ende Schattenperiode 1	19. Jun.	30. Mai.	9. Feb.	20. Jan.																
Beginn Schattenperiode 2	22. Jun.	12. Jul.	30. Okt.	29. Nov.																
Ende Schattenperiode 2	12. Jul.	1. Aug.	30. Okt.	9. Dez.																
Tägl. Beginn Schattenperiode 1	19:30	19:10	8:10	9:00																
Tägl. Ende Schattenperiode 1	20:00	19:30	8:20	9:20																
Max. Tägl. Beginn Schattenperiode 2	19:30	19:20	7:40	8:40																
Max. Tägl. Ende Schattenperiode 2	20:00	19:40	7:50	9:00																
Jahreszeit																				
Min. und Max. werte																				

Projektdaten	
Projekt	Windpark Wussentin
Geographische nördl. Breite in °	53,852306
Geographische östl. Länge in °	13,514012
Weiterstation Sonnenscheindauer	Angermünde
Weiterstation Windrichtung	Neustrelitz
Immissionsort (IO)	
Bezeichnung	IO-100
x-Koordinate in m	33403414
y-Koordinate in m	5966758
z-Koordinate in m	11,06

Windenergieanlage	WEA ZB05 Nordex N149/5.X	WEA ZB06 Nordex N149/5.X	WEA VB08 stias V90-2MW	WEA VB09 stias V80-2MW	WEA VB14 stias V90-2MW														
Typ der WEA																			
Nabenhöhe in m	164,0	164,0	95,0	95,0	95,0														
Rotordurchm. WEA in m	149,0	149,0	90,0	90,0	90,0														
x-Koordinate der WEA in m	33402248	33401891	33404635	33404266	33404401														
y-Koordinate der WEA in m	5967470	5967486	5966116	5965897	5965688														
Entfernung der WEA vom IO in m	1366	1688	1379	1211	1456														
Azimuth der WEA bez. des IO in ° N	303	297	119	137	139														
Astron. Beschattungsdauer in h/a	25,0	11,7	3,3	13,3	11,7														
Wahrscheinliche Beschattungsdauer in h/a																			
Max. Beschatt.dauer in min/d	30,0	20,0	20,0	20,0	20,0														
Anzahl der Beschattungstage in d/a	60	50	20	50	60														
Jahreszeit																			
Beginn Schattenperiode 1	30. Mai.	20. Mai.	0. Jan.	10. Jan.	21. Dez.														
Ende Schattenperiode 1	19. Jun.	30. Mai.	0. Jan.	20. Jan.	10. Jan.														
Beginn Schattenperiode 2	22. Jun.	12. Jul.	30. Okt.	19. Nov.	29. Nov.														
Ende Schattenperiode 2	12. Jul.	1. Aug.	30. Okt.	9. Dez.	19. Dez.														
Min- und Max.werte																			
Tägl. Beginn Schattenperiode 1	19:30	19:10	0:00	9:00	9:00														
Tägl. Ende Schattenperiode 1	20:00	19:30	0:00	9:20	9:20														
Tägl. Beginn Schattenperiode 2	19:30	19:20	7:30	8:40	8:50														
Tägl. Ende Schattenperiode 2	20:00	19:40	7:50	9:00	9:10														

Projektdaten	
Projekt	Windpark Mussentirn
Geographische nördl. Breite in °	53.852306
Geographische östl. Länge in °	13.514012
Wetterstation Sonnenscheindauer	Angermünde
Wetterstation Windrichtung	Neustrelitz
Immissionsort (IO)	
Bezeichnung	IO-101
x-Koordinate in m	33403396
y-Koordinate in m	5966731
z-Koordinate in m	10,96

	WEA ZB05 Nordex N149/SX	WEA ZB06 Nordex N149/SX	WEA VB08 Vestas V90- 2MW	WEA VB09 Vestas V90- 2MW	WEA VB14 Vestas V90- 2MW														
Typ der WEA	N149/SX	N149/SX	2MW	2MW	2MW														
Nabenhöhe in m	164,0	164,0	95,0	95,0	95,0														
Rotordurchm. WEA in m	149,0	149,0	90,0	90,0	90,0														
x-Koordinate der WEA in m	33402248	33401891	33404635	33404266	33404401														
y-Koordinate der WEA in m	5967470	5967486	5966116	5965697	5965688														
Entfernung der WEA vom IO in m	1365	1684	1383	1205	1448														
Azmut der WEA bez. des IO in ° N	304	298	118	135	137														
Astron. Beschattungsdauer in h/a	13,7	16,6	3,4	9,5	8,8														
Wahrscheinliche Beschattungsdauer in h/a																			
Max. Beschattungsdauer in min/d	24,0	22,0	16,0	18,0	16,0														
Anzahl der Beschattungstage in d/a	43	62	20	43	55														
Beginn Schattenperiode 1	1. Jun.	13. Mai.	12. Feb.	7. Jan.	21. Dez.														
Ende Schattenperiode 1	21. Jun.	12. Jun.	21. Feb.	27. Jan.	18. Jan.														
Beginn Schattenperiode 2	22. Jun.	2. Jul.	22. Okt.	16. Nov.	25. Nov.														
Ende Schattenperiode 2	13. Jul.	1. Aug.	31. Okt.	7. Dez.	20. Dez.														
Min. und	19:34	19:12	7:54	8:52	8:58														
Tägl. Ende Schattenperiode 1	20:00	19:34	8:10	9:12	9:14														
Max. werte	19:36	19:22	7:24	8:30	8:40														
Tägl. Ende Schattenperiode 2	20:00	19:44	7:38	8:48	9:02														

<p>Projektdaten</p> <p>Projekt Windpark Wussentin Geographische nördl. Breite in ° 53,852306 Geographische östl. Länge in ° 13,514012 Wetterstation Sonnenscheindauer Angermünde Wetterstation Windrichtung Neustrelitz</p>	
<p>Immissionsort (IO)</p> <p>Bezeichnung IO-102 x-Koordinate in m 33403380 y-Koordinate in m 5866694 z-Koordinate in m 10,77</p>	

	WEA ZB05 Nordex N149/5.X	WEA ZB06 Nordex N149/5.X	WEA VB08 Vestas V90- 2MW	WEA VB09 Vestas V90- 2MW	WEA VB14 Vestas V90- 2MW
Typ der WEA					
Nabenhöhe in m	164,0	164,0	95,0	95,0	95,0
Rotordurchm. WEA in m	149,0	149,0	90,0	90,0	90,0
x-Koordinate der WEA in m	33402248	33401891	33404635	33404266	33404401
y-Koordinate der WEA in m	5967470	5967486	5966116	5965897	5965888
Entfernung der WEA vom IO in m	1372	1687	1382	1192	1433
Azimuth der WEA bez. des IO in ° N	306	299	116	133	136
Astron. Beschattungsdauer in h/a	6,3	21,3	3,4	8,6	6,8
Wahrscheinliche Beschattungsdauer in h/a					
Max. Beschatt.dauer in mini/d	18,0	22,0	16,0	18,0	16,0
Anzahl der Beschattungstage in d/a	28	75	19	39	41
Jahreszeit					
Beginn Schattenperiode 1	8. Jun.	16. Mai.	15. Feb.	12. Jan.	2. Jan.
Ende Schattenperiode 1	21. Jun.	21. Jun.	23. Feb.	31. Jan.	22. Jan.
Beginn Schattenperiode 2	22. Jun.	22. Jun.	20. Okt.	13. Nov.	22. Nov.
Ende Schattenperiode 2	5. Jul.	29. Jul.	29. Okt.	1. Dez.	11. Dez.
Min- und	19:44	19:18	7:48	8:46	8:54
Tagl. Beginn Schattenperiode 1	20:02	19:40	8:04	9:06	9:10
Max- und	19:46	19:26	7:18	8:22	8:34
Tagl. Beginn Schattenperiode 2	20:02	19:48	7:34	8:40	8:52
Max- und					
Tagl. Ende Schattenperiode 2					
Min- und					
Tagl. Ende Schattenperiode 1					
Max- und					
Tagl. Beginn Schattenperiode 1					
Max- und					
Tagl. Ende Schattenperiode 2					
Min- und					
Tagl. Beginn Schattenperiode 2					
Max- und					
Tagl. Ende Schattenperiode 1					
Min- und					
Tagl. Beginn Schattenperiode 1					
Max- und					
Tagl. Ende Schattenperiode 2					
Min- und					
Tagl. Beginn Schattenperiode 2					
Max- und					
Tagl. Ende Schattenperiode 1					
Min- und					
Tagl. Beginn Schattenperiode 1					
Max- und					
Tagl. Ende Schattenperiode 2					
Min- und					
Tagl. Beginn Schattenperiode 2					
Max- und					
Tagl. Ende Schattenperiode 1					
Min- und					
Tagl. Beginn Schattenperiode 1					
Max- und					
Tagl. Ende Schattenperiode 2					
Min- und					
Tagl. Beginn Schattenperiode 2					
Max- und					
Tagl. Ende Schattenperiode 1					
Min- und					
Tagl. Beginn Schattenperiode 1					
Max- und					
Tagl. Ende Schattenperiode 2					
Min- und					
Tagl. Beginn Schattenperiode 2					
Max- und					
Tagl. Ende Schattenperiode 1					
Min- und					
Tagl. Beginn Schattenperiode 1					
Max- und					
Tagl. Ende Schattenperiode 2					
Min- und					
Tagl. Beginn Schattenperiode 2					
Max- und					
Tagl. Ende Schattenperiode 1					
Min- und					
Tagl. Beginn Schattenperiode 1					
Max- und					
Tagl. Ende Schattenperiode 2					
Min- und					
Tagl. Beginn Schattenperiode 2					
Max- und					
Tagl. Ende Schattenperiode 1					
Min- und					
Tagl. Beginn Schattenperiode 1					
Max- und					
Tagl. Ende Schattenperiode 2					
Min- und					
Tagl. Beginn Schattenperiode 2					
Max- und					
Tagl. Ende Schattenperiode 1					
Min- und					
Tagl. Beginn Schattenperiode 1					
Max- und					
Tagl. Ende Schattenperiode 2					
Min- und					
Tagl. Beginn Schattenperiode 2					
Max- und					
Tagl. Ende Schattenperiode 1					
Min- und					
Tagl. Beginn Schattenperiode 1					
Max- und					
Tagl. Ende Schattenperiode 2					
Min- und					
Tagl. Beginn Schattenperiode 2					
Max- und					
Tagl. Ende Schattenperiode 1					
Min- und					
Tagl. Beginn Schattenperiode 1					
Max- und					
Tagl. Ende Schattenperiode 2					
Min- und					
Tagl. Beginn Schattenperiode 2					
Max- und					
Tagl. Ende Schattenperiode 1					
Min- und					
Tagl. Beginn Schattenperiode 1					
Max- und					
Tagl. Ende Schattenperiode 2					
Min- und					
Tagl. Beginn Schattenperiode 2					
Max- und					
Tagl. Ende Schattenperiode 1					
Min- und					
Tagl. Beginn Schattenperiode 1					
Max- und					
Tagl. Ende Schattenperiode 2					
Min- und					
Tagl. Beginn Schattenperiode 2					
Max- und					
Tagl. Ende Schattenperiode 1					
Min- und					
Tagl. Beginn Schattenperiode 1					
Max- und					
Tagl. Ende Schattenperiode 2					
Min- und					
Tagl. Beginn Schattenperiode 2					
Max- und					
Tagl. Ende Schattenperiode 1					
Min- und					
Tagl. Beginn Schattenperiode 1					
Max- und					
Tagl. Ende Schattenperiode 2					
Min- und					
Tagl. Beginn Schattenperiode 2					
Max- und					
Tagl. Ende Schattenperiode 1					
Min- und					
Tagl. Beginn Schattenperiode 1					
Max- und					
Tagl. Ende Schattenperiode 2					
Min- und					
Tagl. Beginn Schattenperiode 2					
Max- und					
Tagl. Ende Schattenperiode 1					
Min- und					
Tagl. Beginn Schattenperiode 1					
Max- und					
Tagl. Ende Schattenperiode 2					
Min- und					
Tagl. Beginn Schattenperiode 2					
Max- und					
Tagl. Ende Schattenperiode 1					
Min- und					
Tagl. Beginn Schattenperiode 1					
Max- und					
Tagl. Ende Schattenperiode 2					
Min- und					
Tagl. Beginn Schattenperiode 2					
Max- und					
Tagl. Ende Schattenperiode 1					
Min- und					
Tagl. Beginn Schattenperiode 1					
Max- und					
Tagl. Ende Schattenperiode 2					
Min- und					
Tagl. Beginn Schattenperiode 2					
Max- und					
Tagl. Ende Schattenperiode 1					
Min- und					
Tagl. Beginn Schattenperiode 1					
Max- und					
Tagl. Ende Schattenperiode 2					
Min- und					
Tagl. Beginn Schattenperiode 2					
Max- und					
Tagl. Ende Schattenperiode 1					
Min- und					
Tagl. Beginn Schattenperiode 1					
Max- und					
Tagl. Ende Schattenperiode 2					
Min- und					
Tagl. Beginn Schattenperiode 2					
Max- und					
Tagl. Ende Schattenperiode 1					
Min- und					
Tagl. Beginn Schattenperiode 1					
Max- und					
Tagl. Ende Schattenperiode 2					
Min- und					
Tagl. Beginn Schattenperiode 2					
Max- und					
Tagl. Ende Schattenperiode 1					
Min- und					
Tagl. Beginn Schattenperiode 1					
Max- und					
Tagl. Ende Schattenperiode 2					
Min- und					
Tagl. Beginn Schattenperiode 2					
Max- und					
Tagl. Ende Schattenperiode 1					
Min- und					
Tagl. Beginn Schattenperiode 1					
Max- und					
Tagl. Ende Schattenperiode 2					
Min- und					
Tagl. Beginn Schattenperiode 2					
Max- und					
Tagl. Ende Schattenperiode 1					
Min- und					
Tagl. Beginn Schattenperiode 1					
Max- und					
Tagl. Ende Schattenperiode 2					
Min- und					
Tagl. Beginn Schattenperiode 2					
Max- und					
Tagl. Ende Schattenperiode 1					
Min- und					
Tagl. Beginn Schattenperiode 1					
Max- und					
Tagl. Ende Schattenperiode 2					
Min- und					
Tagl. Beginn Schattenperiode 2					
Max- und					
Tagl. Ende Schattenperiode 1					
Min- und					
Tagl. Beginn Schattenperiode 1					
Max- und					
Tagl. Ende Schattenperiode 2					
Min- und					
Tagl. Beginn Schattenperiode 2					
Max- und					
Tagl. Ende Schattenperiode 1					
Min- und					
Tagl. Beginn Schattenperiode 1					
Max- und					
Tagl. Ende Schattenperiode 2					
Min- und					
Tagl. Beginn Schattenperiode 2					
Max- und					
Tagl. Ende Schattenperiode 1					
Min- und					
Tagl. Beginn Schattenperiode 1					
Max- und					
Tagl. Ende Schattenperiode 2					
Min- und					
Tagl. Beginn Schattenperiode 2					
Max- und					
Tagl. Ende Schattenperiode 1					
Min- und					
Tagl. Beginn Schattenperiode 1					
Max- und					
Tagl. Ende Schattenperiode 2					
Min- und					
Tagl. Beginn Schattenperiode 2					

Projekt		Windpark Wussendin	
Geographische nördl. Breite in °	53,852306	Geographische östl. Länge in °	13,514012
Wetterstation Sonnenscheindauer	Angermünde	Wetterstation Windsichtung	Neustrelitz
Immissionsort (IO)			
Bezeichnung	IO-103	x-Koordinate in m	33403373
y-Koordinate in m	5966666	z-Koordinate in m	10,85

	WEA ZB05	WEA ZB06	WEA VB08	WEA VB09	WEA VB14															
Windenergieanlage																				
Typ der WEA	Nordex N149/5.X	Nordex N149/5.X	Vestas V90-2MW	Vestas V90-2MW	Vestas V90-2MW															
Nabenhöhe in m	164,0	164,0	95,0	95,0	95,0															
Rotordurchm. WEA in m	149,0	149,0	90,0	90,0	90,0															
x-Koordinate der WEA in m	33402248	33401891	33404635	33404266	33404401															
y-Koordinate der WEA in m	5967470	5967486	5966116	5965897	5965688															
Entfernung der WEA vom IO in m	1383	1694	1377	1178	1419															
Azimuth der WEA bez. des IO in ° N	307	300	115	132	135															
Astron. Beschattungsdauer in h/a	1,1	21,4	3,4	8,1	6,1															
Wahrscheinliche Beschattungsdauer in h/a																				
Max. Beschatt.dauer in min/d	8,0	22,0	16,0	20,0	16,0															
Anzahl der Beschattungstage in d/a	11	71	20	36	37															
Jahreszeit																				
Beginn Schattenperiode 1	17. Jun.	18. Mai.	16. Feb.	16. Jan.	7. Jan.															
Ende Schattenperiode 1	21. Jun.	21. Jun.	25. Feb.	2. Feb.	24. Jan.															
Beginn Schattenperiode 2	22. Jun.	22. Jun.	18. Okt.	10. Nov.	19. Nov.															
Ende Schattenperiode 2	27. Jun.	27. Jul.	27. Okt.	27. Nov.	7. Dez.															
Min. und Max.werte																				
Tägl. Beginn Schattenperiode 1	19:54	19:22	7:44	8:44	8:52															
Tägl. Ende Schattenperiode 1	20:02	19:44	8:00	9:02	9:08															
Tägl. Beginn Schattenperiode 2	19:54	19:28	7:14	8:16	8:30															
Tägl. Ende Schattenperiode 2	20:02	19:52	7:30	8:36	8:46															

Projektdaten	
Projekt	Windpark Wussentin
Geographische nördl. Breite in °	53,852306
Geographische östl. Länge in °	13,514012
Wetterstation Sonnenscheindauer	Angermünde
Wetterstation Windrichtung	Neustrelitz
Immissionsort (IO)	
Bezeichnung	IO-104
x-Koordinate in m	33403362
y-Koordinate in m	5966636
z-Koordinate in m	10,92

	WEA ZB06 Norderex N149/5.X	WEA VB08 Vestas V90- 2MW	WEA VB09 Vestas V90- 2MW	WEA VB14 Vestas V90- 2MW																
Typ der WEA																				
Nabenhöhe in m	164,0	95,0	95,0	95,0																
Rotordurchm. WEA in m	149,0	90,0	90,0	90,0																
x-Koordinate der WEA in m	33401891	33404635	33404266	33404401																
y-Koordinate der WEA in m	5967486	5966116	5965897	5965698																
Entfernung der WEA vom IO in m	1699	1375	1168	1406																
Azimuth der WEA bez. des IO in ° N	301	113	130	134																
Astron. Beschattungsdauer in h/a	20,8	3,3	7,9	5,7																
Wahrscheinliche Beschattungsdauer in h/a																				
Max. Beschatt.dauer in min/d	22,0	16,0	20,0	16,0																
Anzahl der Beschattungstage in d/a	65	20	34	33																
Jahreszeit																				
Beginn Schattenperiode 1	21. Mai.	18. Feb.	19. Jan.	11. Jan.																
Ende Schattenperiode 1	21. Jun.	27. Feb.	4. Feb.	26. Jan.																
Beginn Schattenperiode 2	22. Jun.	16. Okt.	8. Nov.	17. Nov.																
Ende Schattenperiode 2	24. Jul.	25. Okt.	24. Nov.	3. Dez.																
Min- und																				
Trägl. Beginn Schattenperiode 1	19:26	7:40	8:38	8:48																
Trägl. Ende Schattenperiode 1	19:50	7:54	8:58	9:04																
Max- und																				
Trägl. Beginn Schattenperiode 2	19:30	7:10	8:10	8:24																
Trägl. Ende Schattenperiode 2	19:54	7:26	8:30	8:40																

Projektdaten	
Projekt	Windpark Mussentirn
Geographische nördl. Breite in °	53.852306
Geographische östl. Länge in °	13.514012
Wetterstation Sonnenscheindauer	Angermünde
Wetterstation Windrichtung	Neustrelitz
Immissionsort (IO)	
Bezeichnung	IO-105
x-Koordinate in m	33403355
y-Koordinate in m	5966620
z-Koordinate in m	10,91

	WEA ZB06 Nordex N149/SX	WEA VB08 Vestas V90- 2MW	WEA VB09 Vestas V90- 2MW	WEA VB14 Vestas V90- 2MW															
Typ der WEA																			
Nabenhöhe in m	164,0	95,0	95,0	95,0															
Rotordurchm. WEA in m	149,0	90,0	90,0	90,0															
x-Koordinate der WEA in m	33401881	33404635	33404266	33404401															
y-Koordinate der WEA in m	5967486	5966116	5966897	5965688															
Entfernung der WEA vom IO in m	1701	1376	1163	1401															
Azimuth der WEA bez. des IO in ° N	302	113	130	133															
Astron. Beschattungsdauer in h/a	19,8	3,2	7,6	5,5															
Wahrscheinliche Beschattungsdauer in h/a																			
Max. Beschattungsr. min/d	22,0	16,0	18,0	16,0															
Anzahl der Beschattungstage in d/a	61	18	34	30															
Beginn Schattenperiode 1	23. Mai.	20. Feb.	21. Jan.	13. Jan.															
Ende Schattenperiode 1	21. Jun.	28. Feb.	6. Feb.	27. Jan.															
Beginn Schattenperiode 2	22. Jun.	15. Okt.	6. Nov.	16. Nov.															
Ende Schattenperiode 2	22. Jul.	23. Okt.	22. Nov.	30. Nov.															
Min- und Maxwerte																			
Tägl. Beginn Schattenperiode 1	19:28	7:36	8:36	8:46															
Tägl. Ende Schattenperiode 1	19:52	7:52	8:54	9:02															
Tägl. Beginn Schattenperiode 2	19:32	7:08	8:08	8:20															
Tägl. Ende Schattenperiode 2	19:56	7:22	8:26	8:38															

Projekt		Windpark Wussentün	
Geographische nördl. Breite in °	53,852306	Geographische östl. Länge in °	13,514012
Wetterstation Sonnenscheindauer	Angermünde	Wetterstation Windrichtung	Neustrelitz
Immissionsort (IO)			
Bezeichnung	IO-109	x-Koordinate in m	33403850
y-Koordinate in m	5968941	z-Koordinate in m	5,67

	WEA ZB01	WEA ZB02	WEA ZB03																	
Windereignislage																				
Typ der WEA	N149/5 X N149/5 X	N149/5 X N149/5 X	N149/5 X N149/5 X																	
Nabenhöhe in m	164,0	164,0	164,0																	
Rotordurchm. WEA in m	149,0	149,0	149,0																	
x-Koordinate der WEA in m	33402487	33402128	33402404																	
y-Koordinate der WEA in m	5968812	5968554,4	5968300																	
Entfernung der WEA vom IO in m	1369	1765	1582																	
Azimuth der WEA bez. des IO in ° N	266	259	247																	
Astron. Beschattungsdauer in h/a	10,3	6,1	8,1																	
Wahrscheinliche Beschattungsdauer in h/a																				
Max. Beschatt.dauer in min/d	26,0	20,0	22,0																	
Anzahl der Beschattungstage in d/a	31	24	30																	
Jahreszeit																				
Beginn Schattenperiode 1	22. Mrz.	10. Mrz.	21. Feb.																	
Ende Schattenperiode 1	5. Apr.	21. Mrz.	7. Mrz.																	
Beginn Schattenperiode 2	8. Sep.	24. Sep.	8. Okt.																	
Ende Schattenperiode 2	23. Sep.	5. Okt.	22. Okt.																	
Min. und Max.werte																				
Tägl. Beginn Schattenperiode 1	17:30	17:16	16:40																	
Tägl. Ende Schattenperiode 1	17:54	17:36	17:02																	
Tägl. Beginn Schattenperiode 2	17:20	16:58	16:14																	
Tägl. Ende Schattenperiode 2	17:46	17:18	16:36																	

Projektdaten	
Projekt	Windpark Wussentin
Geographische nördl. Breite in °	53,852306
Geographische östl. Länge in °	13,514012
Wetterstation Sonnenscheindauer	Angermünde
Wetterstation Windrichtung	Neustrelitz
Immissionsort (IO)	
Bezeichnung	IO-113
x-Koordinate in m	33403568
y-Koordinate in m	5969*87
z-Koordinate in m	7,5

	WEA ZB01	WEA ZB02	WEA ZB03																	
Windenergieanlage																				
Typ der WEA	Nordex N149/5.X	Nordex N149/5.X	Nordex N149/5.X																	
Nabenhöhe in m	164,0	164,0	164,0																	
Rotordurchm. WEA in m	149,0	149,0	149,0																	
x-Koordinate der WEA in m	33402487	33402128	33402404																	
y-Koordinate der WEA in m	5968812	5968554,4	5968800																	
Entfernung der WEA vom IO in m	1144	1573	1463																	
Azimuth der WEA bez. des IO in ° N	252	248	234																	
Astron. Beschattungsdauer in h/a	14,3	8,2	11,4																	
Wahrscheinliche Beschattungsdauer in h/a																				
Max. Beschatt.dauer in min/d	30,0	22,0	24,0																	
Anzahl der Beschattungsstage in d/a	37	28	36																	
Jahreszeit																				
Beginn Schattenperiode 1	3. Mrz.	22. Feb.	31. Jan.																	
Ende Schattenperiode 1	20. Mrz.	7. Mrz.	17. Feb.																	
Beginn Schattenperiode 2	24. Sep.	8. Okt.	26. Okt.																	
Ende Schattenperiode 2	12. Okt.	21. Okt.	12. Nov.																	
Min- und Max-werte																				
Tägl. Beginn Schattenperiode 1	16:46	16:42	15:54																	
Tägl. Ende Schattenperiode 1	17:14	17:04	16:18																	
Tägl. Beginn Schattenperiode 2	16:24	16:14	15:24																	
Tägl. Ende Schattenperiode 2	16:54	16:36	15:48																	

Projektdaten		Windpark Wussentín	
Projekt	53,852306		
Geographische nördl. Breite in °	13,514012		
Geographische östl. Länge in °	Angermünde		
Wetterstation Sonnenscheindauer	Neustrelitz		
Wetterstation Windrichtung			
Immissionsort (IO)		IO-121	
Bezeichnung	33407746		
x-Koordinate in m	5970009		
y-Koordinate in m	15,28		
z-Koordinate in m			

		WEA ZB01	
Windenergieanlage		Nordex	
Typ der WEA		N149/5.X	
Nabenhöhe in m		164,0	
Rotordurchm. WEA in m		149,0	
x-Koordinate der WEA in m		33402487	
y-Koordinate der WEA in m		5968812	
Entfernung der WEA vom IO in m		1408	
Azimut der WEA bez. des IO in ° N		149	
Astron. Beschattungsdauer in h/a		14,6	
Wahrscheinliche Beschattungsdauer in h/a			
Max. Beschatt.dauer in min/d		26,0	
Anzahl der Beschattungstage in d/a		44	
Jahreszeit	Beginn Schattenperiode 1	21. Dez.	21. Dez.
	Ende Schattenperiode 1	13. Jan.	13. Jan.
	Beginn Schattenperiode 2	1. Dez.	1. Dez.
	Ende Schattenperiode 2	20. Dez.	20. Dez.
Min. und	Tägl. Beginn Schattenperiode 1	9:38	9:38
	Tägl. Ende Schattenperiode 1	10:08	10:08
Max. wert	Tägl. Beginn Schattenperiode 2	9:34	9:34
	Tägl. Ende Schattenperiode 2	10:02	10:02

Projekt		Windpark Wussentin	
Geographische nördl. Breite in °	53,852306	Geographische östl. Länge in °	13,514012
Wetterstation Sommer Scheindauer	Angermünde	Wetterstation Winter Scheindauer	Neustrelitz
Immissionsort (IO)			
Bezeichnung	IO-125	x-Koordinate in m	33401755
y-Koordinate in m	5968699	z-Koordinate in m	15,33

		WEA ZB01																			
Windenergieanlage		Nordex N149/5 X																			
Typ der WEA		164,0																			
Nabenhöhe in m		149,0																			
Rotordurchm. WEA in m		33402487																			
x-Koordinate der WEA in m		5968612																			
y-Koordinate der WEA in m		1310																			
Entfernung der WEA vom IO in m		147																			
Azimut der WEA bez. des IO in ° N		23,9																			
Astron. Beschattungsdauer in h/a																					
Wahrscheinliche Beschattungsdauer in h/a																					
Max. Beschatt.dauer in min/d		28,0																			
Anzahl der Beschattungstage in d/a		59																			
Beginn Schattenperiode 1		21. Dez.																			
Ende Schattenperiode 1		20. Jan.																			
Beginn Schattenperiode 2		23. Nov.																			
Ende Schattenperiode 2		20. Dez.																			
Min- und Max.werte		Tägl. Beginn Schattenperiode 1		9:28																	
		Tägl. Ende Schattenperiode 1		10:04																	
		Tägl. Beginn Schattenperiode 2		9:20																	
		Tägl. Ende Schattenperiode 2		9:56																	

Projekt		Windpark Wussentfin	
Geographische nördl. Breite in °	53,852306	Geographische östl. Länge in °	13,514012
Wetterstation Sonnenscheindauer	Angermünde	Wetterstation Windsichtung	Neuspreitz
Immissionsort (IO)			
Bezeichnung	IO-133	x-Koordinate in m	33401655
y-Koordinate in m	5969781	z-Koordinate in m	12,47

		WEA ZB01																			
		Nordex																			
		N149/5.X																			
Typ der WEA		164,0																			
Nabenhöhe in m		149,0																			
Rotordurchm. WEA in m		33402487																			
x-Koordinate der WEA in m		5968812																			
y-Koordinate der WEA in m		1277																			
Entfernung der WEA vom IO in m		141																			
Azimut der WEA bez. des IO in ° N		30,0																			
Astron. Beschattungsdauer in h/a																					
Wahrscheinliche Beschattungsdauer in h/a		30,0																			
Max. Beschatt.dauer in min/d		81																			
Anzahl der Beschattungstage in d/a		21. Dez.																			
Jahreszeit		31. Jan.																			
Beginn Schattenperiode 1		12. Nov.																			
Ende Schattenperiode 1		20. Dez.																			
Min. und Max.werte		9:08																			
Tägl. Beginn Schattenperiode 1		9:42																			
Tägl. Ende Schattenperiode 1		8:50																			
Tägl. Beginn Schattenperiode 2		9:22																			
Tägl. Ende Schattenperiode 2																					

Projekt		Windpark Mussentirn	
Geographische nördl. Breite in °	53,852306	Geographische östl. Länge in °	13,514012
Wetterstation Sonnenscheindauer	Angermünde	Wetterstation Windrichtung	Neustrelitz
Immissionsort (IO)			
Bezeichnung	IO-139	x-Koordinate in m	33401546
y-Koordinate in m	5969957	z-Koordinate in m	13,05

		WEA ZB01																	
		Ngrdex																	
Typ der WEA		N149/SX																	
Nabenhöhe in m		164,0																	
Rotordurchm. WEA in m		149,0																	
x-Koordinate der WEA in m		33402487																	
y-Koordinate der WEA in m		5968812																	
Entfernung der WEA vom IO in m		1482																	
Azimut der WEA bez. des IO in ° N		142																	
Astron. Beschattungsdauer in h/a		24,4																	
Wahrscheinliche Beschattungsdauer in h/a																			
Max. Beschatt.dauer in min/d		26,0																	
Anzahl der Beschattungstage in d/a		67																	
Jahreszeit	Beginn Schattenperiode 1	21. Dez.																21. Dez.	
	Ende Schattenperiode 1	24. Jan.																24. Jan.	
	Beginn Schattenperiode 2	19. Nov.																19. Nov.	
Min- und Max.werte	Ende Schattenperiode 2	20. Dez.																20. Dez.	
	Tägl. Beginn Schattenperiode 1	9:08																9:08	
	Tägl. Ende Schattenperiode 1	9:42																9:42	
Max.werte	Tägl. Beginn Schattenperiode 2	8:58																8:58	
	Tägl. Ende Schattenperiode 2	9:30																9:30	

Projekt		Windpark Wussentin	
Geographische nördl. Breite in °	53,852306	Geographische östl. Länge in °	13,514012
Wetterstation Sonnenscheindauer	Angermünde	Wetterstation Windrichtung	Neustrelitz
Immissionsort (IO)			
Bezeichnung	IO-143	x-Koordinate in m	33401642
y-Koordinate in m	5970002	z-Koordinate in m	15

		WEA ZB01	
Windenergieanlage		Nordex	
Typ der WEA	N149/5 X	Nabenhöhe in m	154,0
Rotordurchm. WEA in m	149,0	x-Koordinate der WEA in m	33402487
y-Koordinate der WEA in m	5968812	Entfernung der WEA vom IO in m	1459
Azimuth der WEA bez. des IO in ° N	146	Astron. Beschattungsdauer in h/a	19,7
Wahrscheinliche Beschattungsdauer in h/a		Max. Beschatt.dauer in min/d	26,0
Anzahl der Beschattungstage in d/a			54
Beginn Schattenperiode 1	21. Dez.	Beginn Schattenperiode 2	26. Nov.
Ende Schattenperiode 1	18. Jan.	Ende Schattenperiode 2	20. Dez.
Min- und Maxwerte		Trägl. Beginn Schattenperiode 1	9:22
		Trägl. Ende Schattenperiode 1	9:54
		Trägl. Beginn Schattenperiode 2	9:16
		Trägl. Ende Schattenperiode 2	9:48

Projekt		Windpark Wussentin
Geographische nördl. Breite in °		53,852306
Geographische östl. Länge in °		13,514012
Wetterstation Sonnenscheindauer		Angermünde
Wetterstation Windrichtung		Neustrelitz
Immissionsort (IO)		
Bezeichnung		IO-146
x-Koordinate in m		33401692
y-Koordinate in m		5970012
z-Koordinate in m		15,08

Windenergieanlage		WEA ZB01
Typ der WEA	Nordek	N149/5.X
Nabenhöhe in m	164,0	
Rotordurchm. WEA in m	149,0	
x-Koordinate der WEA in m	33402487	
y-Koordinate der WEA in m	5968812	
Entfernung der WEA vom IO in m	1439	
Azimuth der WEA bez. des IO in ° N	148	
Astron. Beschattungsdauer in h/a	16,9	
Wahrscheinliche Beschattungsdauer in h/a		
Max. Beschatt.dauer in mind	26,0	
Anzahl der Beschattungstage in d/a	49	
Jahreszeit	Beginn Schattenperiode 1	21. Dez.
	Ende Schattenperiode 1	15. Jan.
	Beginn Schattenperiode 2	28. Nov.
	Ende Schattenperiode 2	20. Dez.
Min- und	Tägl. Beginn Schattenperiode 1	9:30
	Tägl. Ende Schattenperiode 1	10:02
Max- werte	Tägl. Beginn Schattenperiode 2	9:26
	Tägl. Ende Schattenperiode 2	9:54
		21. Dez.
		15. Jan.
		28. Nov.
		20. Dez.
		9:30
		10:02
		9:26
		9:54

Projekt		Windpark Wussentin	
Geographische nördl. Breite in °	53,652306	Geographische östl. Länge in °	13,514012
Wetterstation Sonnenscheindauer	Angermünde	Wetterstation Windrichtung	Neustrelitz
Immissionsort (IO)		IO-153	
Bezeichnung	33401686	x-Koordinate in m	5969806
y-Koordinate in m		z-Koordinate in m	14,12

		WEA ZB01																				
		<small>NoraeX</small>																				
		N149/5/X																				
	Nabenhöhe in m		164,0																			
	Rotordurchm. WEA in m		149,0																			
	x-Koordinate der WEA in m		33402487																			
	y-Koordinate der WEA in m		5969812																			
	Entfernung der WEA vom IO in m		1277																			
	Azimet der WEA bez. des IO in ° N		142																			
	Astron. Beschattungsdauer in h/a		30,8																		30,8	
	Wahrscheinliche Beschattungsdauer in h/a																				2,8	
	Max. Beschattungsdauer in min/d		30,0																		30,0	
	Anzahl der Beschattungstage in d/a		76																		76	
Jahreszeit	Beginn Schattenperiode 1		21. Dez.																			21. Dez.
	Ende Schattenperiode 1		29. Jan.																			29. Jan.
	Beginn Schattenperiode 2		15. Nov.																			15. Nov.
Min- und Max-werte	Ende Schattenperiode 2		20. Dez.																			20. Dez.
	Tägl. Beginn Schattenperiode 1		9:12																			9:12
Max-werte	Tägl. Ende Schattenperiode 1		9:48																			9:48
	Tägl. Beginn Schattenperiode 2		8:58																			8:58
	Tägl. Ende Schattenperiode 2		9:34																			9:34

Projekt		Windpark Wussentin	
Geographische nördl. Breite in °	53,852306	Geographische östl. Länge in °	13,514012
Wetterstation Sonnenscheindauer		Angermünde	
Wetterstation Windrichtung		Neustrelitz	
Immissionsort (IO)			
Bezeichnung		IO-157	
x-Koordinate in m	33401074	y-Koordinate in m	5968482
z-Koordinate in m	10,6		

	WEA ZB01	WEA ZB02	WEA ZB03	WEA ZB04	WEA ZB05	WEA ZB06												
	Nordex N149/5.X	Nordex N149/5.X	Nordex N149/5.X	Nordex N149/5.X	Nordex N149/5.X	Nordex N149/5.X												
Typ der WEA	N149/5.X	N149/5.X	N149/5.X	N149/5.X	N149/5.X	N149/5.X												
Nabenhöhe in m	164,0	164,0	164,0	164,0	164,0	164,0												
Rotordurchm. WEA in m	149,0	149,0	149,0	149,0	149,0	149,0												
x-Koordinate der WEA in m	33402487	33402128	33402404	33402045	33402248	33401891												
y-Koordinate der WEA in m	5966872	5966564,4	5966300	5966063,563	5967470	5967486												
Entfernung der WEA vom IO in m	1451	1056	1342	1050	1550	1288												
Azimuth der WEA bez. des IO in ° N	78	87	99	114	132	142												
Astron. Beschattungsdauer in h/a	10,8	18,5	10,6	17,6	12,6	30,4												
Wahrscheinliche Beschattungsdauer in h/a	24,0	32,0	26,0	32,0	24,0	28,0												
Max. Beschatt.dauer in min/d	35	44	32	42	42	79												
Anzahl der Beschattungstage in d/a																		
Beginn Schattenperiode 1	15. Apr.	2. Apr.	14. Mrz.	23. Feb.	18. Jan.	21. Dez.												
Ende Schattenperiode 1	1. Mai.	23. Apr.	29. Mrz.	15. Mrz.	7. Feb.	30. Jan.												
Beginn Schattenperiode 2	13. Aug.	21. Aug.	15. Sep.	30. Sep.	5. Nov.	13. Nov.												
Ende Schattenperiode 2	30. Aug.	11. Sep.	30. Sep.	20. Okt.	25. Nov.	20. Dez.												
Min- und Max. Tagl. Beginn Schattenperiode 1	5:30	6:02	6:46	7:40	8:44	9:12												
Min- und Max. Tagl. Ende Schattenperiode 1	5:54	6:36	7:12	8:12	9:08	9:48												
Min- und Max. Tagl. Beginn Schattenperiode 2	5:34	6:02	6:32	7:14	8:16	8:56												
Min- und Max. Tagl. Ende Schattenperiode 2	5:58	6:36	6:58	7:48	8:40	9:30												

Projektdaten	
Projekt	Windpark Wussentin
Geographische nördl. Breite in °	53,852306
Geographische östl. Länge in °	13,514012
Wetterstation Sonnenscheindauer	Angermünde
Wetterstation Windrichtung	Neustrelitz
Immissionsort (IO)	
Bezeichnung	IO-159
x-Koordinate in m	33401042
y-Koordinate in m	5968408
z-Koordinate in m	11,24

	WEA ZB01	WEA ZB02	WEA ZB03	WEA ZB04	WEA ZB05	WEA ZB06												
	Notarex N149/5.X	Notarex N149/5.X	Notarex N149/5.X	Notarex N149/5.X	Notarex N149/5.X	Notarex N149/5.X												
Typ der WEA	N149/5.X	N149/5.X	N149/5.X	N149/5.X	N149/5.X	N149/5.X												
Nabenhöhe in m	164,0	164,0	164,0	164,0	164,0	164,0												
Rotordurchm. WEA in m	149,0	149,0	149,0	149,0	149,0	149,0												
x-Koordinate der WEA in m	33402487	33402128	33402404	33402045	33402248	33401891												
y-Koordinate der WEA in m	5968812	5968554,4	5968300	5968083,583	5967470	5967486												
Entfernung der WEA vom IO in m	1500	1096	1366	1054	1528	1253												
Azimuth der WEA bez. des IO in ° N	76	84	96	109	129	139												
Astron. Beschattungsdauer in h/a	10,7	18,0	10,5	17,1	11,8	24,0												
Wahrscheinliche Beschattungsdauer in h/a																		
Max. Beschatt.dauer in min/d	24,0	32,0	26,0	32,0	24,0	30,0												
Anzahl der Beschattungstage in d/a	36	45	32	41	39	67												
Beginn Schattenperiode 1	18. Apr.	8. Apr.	19. Mrz.	1. Mrz.	25. Jan.	3. Jan.												
Ende Schattenperiode 1	5. Mai.	29. Apr.	3. Apr.	20. Mrz.	12. Feb.	4. Feb.												
Beginn Schattenperiode 2	9. Aug.	15. Aug.	11. Sep.	24. Sep.	31. Okt.	8. Nov.												
Ende Schattenperiode 2	26. Aug.	6. Sep.	26. Sep.	14. Okt.	19. Nov.	11. Dez.												
Tägl. Beginn Schattenperiode 1	5:20	5:50	6:34	7:24	8:34	9:06												
Tägl. Ende Schattenperiode 1	5:44	6:20	7:00	7:56	8:58	9:36												
Max.-Tägl. Beginn Schattenperiode 2	5:26	5:52	6:22	7:02	8:04	8:42												
Max.-Tägl. Ende Schattenperiode 2	5:50	6:24	6:48	7:34	8:28	9:12												

Projekt	
Windpark Wussentin	
53,852306	
Geographische nördl. Breite in °	
13,514012	
Geographische östl. Länge in °	
Angermünde	
Wetterstation Sonnenscheindauer	
Wetterstation Windrichtung	
Neustrelitz	
Immissionsort (IO)	
IO-160	
Bezeichnung	
33400970	
x-Koordinate in m	
5968447	
y-Koordinate in m	
11,05	
z-Koordinate in m	

	WEA ZB01	WEA ZB02	WEA ZB03	WEA ZB04	WEA ZB05	WEA ZB06														
	Nordex N149/5 X																			
Typ der WEA	N149/5 X																			
Nabenhöhe in m	164,0	164,0	164,0	164,0	164,0	164,0														
Rotordurchm. WEA in m	149,0	149,0	149,0	149,0	149,0	149,0														
x-Koordinate der WEA in m	33402487	33402128	33402404	33402045	33402248	33401891														
y-Koordinate der WEA in m	5968812	5968554,4	5968300	5968083,583	5967470	5967486														
Entfernung der WEA vom IO in m	1560	1163	1442	1135	1609	1331														
Azimet der WEA bez. des IO in ° N	78	86	97	110	129	137														
Astron. Beschattungsdauer in h/a	9,5	15,5	9,2	15,0	10,4	20,5														
Wahrscheinliche Beschattungsdauer in h/a																				
Max. Beschatt.dauer in min/d	24,0	30,0	24,0	30,0	22,0	28,0														
Max. Beschatt.dauer in min/d	32	41	30	38	36	61														
Anzahl der Beschattungstage in d/a																				
Jahreszeit																				
Beginn Schattenperiode 1	15. Apr.	4. Apr.	17. Mrz.	27. Feb.	25. Jan.	6. Jan.														
Ende Schattenperiode 1	30. Apr.	23. Apr.	31. Mrz.	17. Mrz.	11. Feb.	4. Feb.														
Beginn Schattenperiode 2	14. Aug.	21. Aug.	14. Sep.	27. Sep.	1. Nov.	8. Nov.														
Ende Schattenperiode 2	28. Aug.	10. Sep.	28. Sep.	15. Okt.	18. Nov.	8. Dez.														
Min. und	5:28	5:58	6:40	7:26	8:32	9:02														
Max. werte	5:50	6:28	7:04	7:56	8:54	9:30														
Min. und	5:32	5:58	6:26	7:04	8:02	8:38														
Max. werte	5:56	6:28	6:50	7:34	8:24	9:06														

Projekt	
Windpark Wussentin	
Geographische nördl. Breite in °	53,852306
Geographische östl. Länge in °	13,514012
Wetterstation Sommer scheinendauer	Angermünde
Wetterstation Windrichtung	Neustrelitz
Immissionsort (IO)	
Bezeichnung	IO-161
x-Koordinate in m	33400963
y-Koordinate in m	5968482
z-Koordinate in m	10,87

	WEA ZB01	WEA ZB02	WEA ZB03	WEA ZB04	WEA ZB05	WEA ZB06												
	Nordex N149/5 X																	
Typ der WEA	N149/5 X																	
Nabenhöhe in m	164,0	164,0	164,0	164,0	164,0	164,0												
Rotordurchm. WEA in m	149,0	149,0	149,0	149,0	149,0	149,0												
x-Koordinate der WEA in m	33402487	33402128	33402404	33402045	33402248	33401891												
y-Koordinate der WEA in m	5968812	5968554,4	5968300	5968083,583	5967470	5967486												
Entfernung der WEA vom IO in m	1559	1167	1452	1153	1636	1361												
Azimuth der WEA bez. des IO in ° N	79	88	98	111	129	138												
Astron. Beschattungsdauer in h/a	9,2	15,0	9,2	14,7	10,7	21,4												
Wahrscheinliche Beschattungsdauer in h/a																		
Max. Beschatt.dauer in min/d	24,0	30,0	24,0	30,0	22,0	28,0												
Anzahl der Beschattungstage in d/a	31	39	29	38	38	66												
Beginn Schattenperiode 1	13. Apr.	1. Apr.	15. Mrz.	25. Feb.	23. Jan.	1. Jan.												
Ende Schattenperiode 1	28. Apr.	20. Apr.	28. Mrz.	15. Mrz.	10. Feb.	2. Feb.												
Beginn Schattenperiode 2	17. Aug.	25. Aug.	16. Sep.	30. Sep.	2. Nov.	10. Nov.												
Ende Schattenperiode 2	31. Aug.	12. Sep.	30. Sep.	18. Okt.	20. Nov.	12. Dez.												
Tägl. Beginn Schattenperiode 1	5:32	6:04	6:44	7:32	8:36	9:06												
Tägl. Ende Schattenperiode 1	5:56	6:34	7:08	8:02	8:58	9:32												
Max-werte	5:36	6:02	6:30	7:08	8:06	8:40												
	6:00	6:32	6:54	7:38	8:28	9:08												

Projektdaten	
Projekt	Windpark Wussentin
Geographische nördl. Breite in °	53,852306
Geographische östl. Länge in °	13,514012
Wetterstation Sonnenscheindauer	Angermünde
Wetterstation Windrichtung	Neustrelitz
Immissionsort (IO)	
Bezeichnung	IO-162
x-Koordinate in m	33400939
y-Koordinate in m	5968504
z-Koordinate in m	10,76

	WEA ZB01 N149/5.X Noraex	WEA ZB02 N149/5.X Noraex	WEA ZB03 N149/5.X Noraex	WEA ZB04 N149/5.X Noraex	WEA ZB05 N149/5.X Noraex	WEA ZB06 N149/5.X Noraex							
Windenergieanlage													
Typ der WEA	N149/5.X	N149/5.X	N149/5.X	N149/5.X	N149/5.X	N149/5.X							
Nabenhöhe in m	164,0	164,0	164,0	164,0	164,0	164,0							
Rotordurchm. WEA in m	149,0	149,0	149,0	149,0	149,0	149,0							
x-Koordinate der WEA in m	33402487	33402128	33402404	33402045	33402248	33401891							
y-Koordinate der WEA in m	5968812	5968554,4	5968300	5968083,583	5967470	5967486							
Entfernung der WEA vom IO in m	1578	1190	1479	1183	1668	1394							
Azimuth der WEA bez. des IO in ° N	80	89	99	112	130	138							
Astron. Beschattungsdauer in h/a	8,8	14,1	8,6	14,1	10,3	21,1							
Wahrscheinliche Beschattungsdauer in h/a													
Max. Beschatt.dauer in min/d	22,0	30,0	22,0	30,0	22,0	26,0							
Anzahl der Beschattungstage in d/a	30	38	29	37	36	64							
Janres-zeit													
Beginn Schattenperiode 1	11. Apr.	30. Mrz.	13. Mrz.	24. Feb.	23. Jan.	1. Jan.							
Ende Schattenperiode 1	25. Apr.	17. Apr.	27. Mrz.	13. Mrz.	9. Feb.	1. Feb.							
Beginn Schattenperiode 2	19. Aug.	27. Aug.	18. Sep.	1. Okt.	3. Nov.	11. Nov.							
Ende Schattenperiode 2	2. Sep.	14. Sep.	1. Okt.	19. Okt.	20. Nov.	12. Dez.							
Min- und													
Tägl. Beginn Schattenperiode 1	5:36	6:08	6:48	7:34	8:36	9:04							
Tägl. Ende Schattenperiode 1	5:58	6:38	7:10	8:04	8:58	9:32							
Max- und													
Tägl. Beginn Schattenperiode 2	5:40	6:06	6:32	7:10	8:06	8:40							
Tägl. Ende Schattenperiode 2	6:02	6:34	6:54	7:38	8:28	9:08							
Max- und													
Min- und													
Max- und													
Min- und													
Max- und													
Min- und													
Max- und													
Min- und													
Max- und													
Min- und													
Max- und													
Min- und													
Max- und													
Min- und													
Max- und													
Min- und													
Max- und													
Min- und													
Max- und													
Min- und													
Max- und													
Min- und													
Max- und													
Min- und													
Max- und													
Min- und													
Max- und													
Min- und													
Max- und													
Min- und													
Max- und													
Min- und													
Max- und													
Min- und													
Max- und													
Min- und													
Max- und													
Min- und													
Max- und													
Min- und													
Max- und													
Min- und													
Max- und													
Min- und													
Max- und													
Min- und													
Max- und													
Min- und													
Max- und													
Min- und													
Max- und													
Min- und													
Max- und													
Min- und													
Max- und													
Min- und													
Max- und													
Min- und													
Max- und													
Min- und													
Max- und													
Min- und													
Max- und													
Min- und													
Max- und													
Min- und													
Max- und													
Min- und													
Max- und													
Min- und													
Max- und													
Min- und													
Max- und													
Min- und													
Max- und													
Min- und													
Max- und													
Min- und													
Max- und													
Min- und													
Max- und													
Min- und													
Max- und													
Min- und													
Max- und													
Min- und													
Max- und													
Min- und													
Max- und													
Min- und													
Max- und													
Min- und													
Max- und													
Min- und													
Max- und													
Min- und													
Max- und													
Min- und													
Max- und													
Min- und													
Max- und													
Min- und													
Max- und													
Min- und													
Max- und													
Min- und													
Max- und													
Min- und													
Max- und													
Min- und													
Max- und													
Min- und													
Max- und													

Projektdaten	
Projekt	Windpark Wussentfin
Geographische nördl. Breite in °	53,852306
Geographische östl. Länge in °	13,514012
Wetterstation Sonnenscheindauer	Angermünde
Wetterstation Windrichtung	Neustrelitz
Immissionsort (IO)	
Bezeichnung	IO-164
x-Koordinate in m	33400902
y-Koordinate in m	5968541
z-Koordinate in m	10,58

	WEA ZB01 Nordex N149/5.X	WEA ZB02 Nordex N149/5.X	WEA ZB03 Nordex N149/5.X	WEA ZB04 Nordex N149/5.X	WEA ZB05 Nordex N149/5.X	WEA ZB06 Nordex N149/5.X															
Windenergieanlage																					
Typ der WEA	N149/5.X	N149/5.X	N149/5.X	N149/5.X	N149/5.X	N149/5.X															
Nabenhöhe in m	164,0	164,0	164,0	164,0	164,0	164,0															
Rotordurchm. WEA in m	149,0	149,0	149,0	149,0	149,0	149,0															
x-Koordinate der WEA in m	33402487	33402128	33402404	33402045	33402248	33401891															
y-Koordinate der WEA in m	5968812	5968554,4	5966300	5968083,553	5967470	5967486															
Entfernung der WEA vom IO in m	1608	1226	1521	1231	1720	1446															
Azimuth der WEA bez. des IO in ° N	82	91	100	113	130	138															
Astron. Beschattungsdauer in h/a	8,2	13,2	8,2	13,1	9,8	20,1														72,7	
Wahrscheinliche Beschattungsdauer in h/a																					
Max. Beschatt.dauer in min/d	22,0	28,0	24,0	28,0	22,0	26,0														7,5	
Anzahl der Beschattungstage in d/a	29	36	28	36	36	64														40,0	
Jahreszeit																					198
Beginn Schattenperiode 1	9. Apr.	27. Mrz.	12. Mrz.	22. Feb.	22. Jan.	31. Dez.															31. Dez.
Ende Schattenperiode 1	22. Apr.	13. Apr.	25. Mrz.	11. Mrz.	8. Feb.	31. Jan.															22. Apr.
Beginn Schattenperiode 2	22. Aug.	31. Aug.	20. Sep.	4. Okt.	4. Nov.	12. Nov.															22. Aug.
Ende Schattenperiode 2	5. Sep.	17. Sep.	3. Okt.	21. Okt.	21. Nov.	13. Dez.															13. Dez.
Min- und																					
Tägl. Beginn Schattenperiode 1	5:42	6:16	6:52	7:38	8:36	9:04															5:42
Tägl. Ende Schattenperiode 1	6:04	6:44	7:14	8:06	8:58	9:30															9:30
Max- und																					
Tägl. Beginn Schattenperiode 2	5:44	6:10	6:34	7:12	8:08	8:40															5:44
Tägl. Ende Schattenperiode 2	6:06	6:38	6:58	7:40	8:28	9:06															9:06

Projektdaten	
Projekt	Windpark Wussentin
Geographische nördl. Breite in °	53,852306
Geographische östl. Länge in °	13,514012
Wetterstation Sommer scheinendauer	Angermünde
Wetterstation Windrichtung	Neustrelitz
Immissionsort (IO)	
Bezeichnung	IO-165
x-Koordinate in m	33400859
y-Koordinate in m	5968549
z-Koordinate in m	10,62

	WEA ZB01	WEA ZB02	WEA ZB03	WEA ZB04	WEA ZB05	WEA ZB06												
	Nordex N149/5.X	Nordex N149/5.X	Nordex N149/5.X	Nordex N149/5.X	Nordex N149/5.X	Nordex N149/5.X												
Typ der WEA	N149/5.X	N149/5.X	N149/5.X	N149/5.X	N149/5.X	N149/5.X												
Nabenhöhe in m	164,0	164,0	164,0	164,0	164,0	164,0												
Rotordurchm. WEA in m	149,0	149,0	149,0	149,0	149,0	149,0												
x-Koordinate der WEA in m	33402487	33402128	33402404	33402045	33402248	33401891												
y-Koordinate der WEA in m	5968812	5968554,4	5968300	5968083,593	5967470	5967486												
Entfernung der WEA vom IO in m	1649	1269	1565	1274	1759	1482												
Azimuth der WEA bez. des IO in ° N	82	91	100	113	129	137												
Astron. Beschattungsdauer in h/a	7,9	12,5	7,9	12,3	9,2	17,9												
Wahrscheinliche Beschattungsdauer in h/a																		
Max. Beschattungsdauer in min/d	22,0	28,0	22,0	28,0	20,0	26,0												
Anzahl der Beschattungstage in d/a	29	36	28	34	36	58												
Beginn Schattenperiode 1	8. Apr.	26. Mrz.	11. Mrz.	23. Feb.	23. Jan.	4. Jan.												
Ende Schattenperiode 1	21. Apr.	12. Apr.	24. Mrz.	11. Mrz.	9. Feb.	1. Feb.												
Beginn Schattenperiode 2	23. Aug.	1. Sep.	20. Sep.	4. Okt.	3. Nov.	11. Nov.												
Ende Schattenperiode 2	6. Sep.	18. Sep.	3. Okt.	20. Okt.	20. Nov.	9. Dez.												
Min- und Max-werte																		
Tägl. Beginn Schattenperiode 1	5:44	6:16	6:52	7:36	8:34	9:00												
Tägl. Ende Schattenperiode 1	6:06	6:44	7:14	8:04	8:54	9:26												
Tägl. Beginn Schattenperiode 2	5:44	6:10	6:34	7:10	8:04	8:36												
Tägl. Ende Schattenperiode 2	6:06	6:38	6:56	7:38	8:24	9:02												

Projektdaten	
Projekt	Windpark Wusserfin
Geographische nördl. Breite in °	53,852306
Geographische östl. Länge in °	13,514012
Wetterstation Sonnenscheindauer	Angermünde
Wetterstation Windrichtung	Neustrelitz
Immissionsort (IO)	
Bezeichnung	IO-166
x-Koordinate in m	33400837
y-Koordinate in m	5968561
z-Koordinate in m	10,63

	WEA ZB01	WEA ZB02	WEA ZB03	WEA ZB04	WEA ZB05	WEA ZB06												
	Notindex N149/5.X	Notindex N149/5.X	Notindex N149/5.X	Notindex N149/5.X	Notindex N149/5.X	Notindex N149/5.X												
Typ der WEA	N149/5.X	N149/5.X	N149/5.X	N149/5.X	N149/5.X	N149/5.X												
Nabenhöhe in m	164,0	164,0	164,0	164,0	164,0	164,0												
Rotordurchm. WEA in m	149,0	149,0	149,0	149,0	149,0	149,0												
x-Koordinate der WEA in m	33402487	33402128	33402404	33402045	33402248	33401891												
y-Koordinate der WEA in m	5968812	5968554,4	5968300	5968083,583	5967470	5967486												
Entfernung der WEA vom IO in m	1669	1291	1589	1299	1784	1506												
Azimuth der WEA bez. des IO in ° N	83	92	101	113	129	137												
Astron. Beschattungsdauer in h/a	7,6	11,7	7,6	11,9	8,8	17,1												
Wahrscheinliche Beschattungsdauer in h/a																		
Max. Beschatt.dauer in min/d	22,0	26,0	22,0	28,0	20,0	24,0												
Anzahl der Beschattungstage in d/a	29	34	27	34	35	56												
Jahreszeit																		
Beginn Schattenperiode 1	7. Apr.	26. Mrz.	11. Mrz.	22. Feb.	24. Jan.	5. Jan.												
Ende Schattenperiode 1	20. Apr.	11. Apr.	23. Mrz.	10. Mrz.	9. Feb.	1. Feb.												
Beginn Schattenperiode 2	24. Aug.	3. Sep.	21. Sep.	5. Okt.	3. Nov.	11. Nov.												
Ende Schattenperiode 2	7. Sep.	19. Sep.	4. Okt.	21. Okt.	20. Nov.	8. Dez.												
Min- und	5:46	6:18	6:52	7:36	8:34	9:00												
Trägl. Beginn Schattenperiode 1	6:06	6:46	7:14	8:04	8:54	9:24												
Max- und	5:46	6:12	6:36	7:10	8:04	8:36												
Trägl. Beginn Schattenperiode 2	6:08	6:40	6:56	7:38	8:24	9:00												

Projektdaten	
Projekt	Windpark Wussentin
Geographische nördl. Breite in °	53,852306
Geographische östl. Länge in °	13,514012
Wetterstation Sonnenscheindauer	Angermünde
Wetterstation Windrichtung	Neustrelitz
Immissionsort (IO)	
Bezeichnung	IO-167
x-Koordinate in m	33400799
y-Koordinate in m	5968577
z-Koordinate in m	10,68

	WEA ZB01	WEA ZB02	WEA ZB03	WEA ZB04	WEA ZB06															
	Nordex: N149/5 X																			
Typ der WEA	N149/5 X																			
Nabenhöhe in m	164,0	164,0	164,0	164,0	164,0															
Rotordurchm. WEA in m	149,0	149,0	149,0	149,0	149,0															
x-Koordinate der WEA in m	33402487	33402128	33402404	33402045	33401891															
y-Koordinate der WEA in m	5968812	5968554,4	5968300	5968083,583	5967486															
Entfernung der WEA vom IO in m	1704	1329	1629	1340	1544															
Azimuth der WEA bez. des IO in ° N	83	92	101	113	136															
Astron. Beschattungsdauer in h/a	7,2	11,1	7,2	11,0	16,0															
Wahrscheinliche Beschattungsdauer in h/a																				
Max. Beschattungsdauer in min/d	22,0	26,0	22,0	26,0	24,0															
Anzahl der Beschattungstage in d/a	27	34	27	33	53															
Beginn Schattenperiode 1	6. Apr.	24. Mrz.	10. Mrz.	22. Feb.	7. Jan.															
Ende Schattenperiode 1	18. Apr.	9. Apr.	22. Mrz.	9. Mrz.	1. Feb.															
Beginn Schattenperiode 2	26. Aug.	4. Sep.	22. Sep.	5. Okt.	11. Nov.															
Ende Schattenperiode 2	8. Sep.	20. Sep.	5. Okt.	21. Okt.	7. Dez.															
Min- und Max-werte																				
Tägl. Beginn Schattenperiode 1	5:48	6:22	6:54	7:38	8:58															
Tägl. Ende Schattenperiode 1	6:10	6:48	7:16	8:02	9:22															
Tägl. Beginn Schattenperiode 2	5:48	6:14	6:36	7:10	8:32															
Tägl. Ende Schattenperiode 2	6:08	6:40	6:58	7:36	8:58															

Projektdaten	
Projekt	Windpark Wussentin
Geographische nördl. Breite in °	53,852306
Geographische östl. Länge in °	13,514012
Wetterstation Sonnenscheindauer	Angermünde
Wetterstation Windrichtung	Neustrelitz
Immissionsort (IO)	
Bezeichnung	IO-169
x-Koordinate in m	33400767
y-Koordinate in m	5968587
z-Koordinate in m	10,72

	WEA ZB01 Nördex N149/5.X	WEA ZB02 Nördex N149/5.X	WEA ZB03 Nördex N149/5.X	WEA ZB04 Nördex N149/5.X	WEA ZB06 Nördex N149/5.X
Typ der WEA	N149/5.X	N149/5.X	N149/5.X	N149/5.X	N149/5.X
Nabenhöhe in m	164,0	164,0	164,0	164,0	164,0
Rotordurchm. WEA in m	149,0	149,0	149,0	149,0	149,0
x-Koordinate der WEA in m	33402487	33402128	33402404	33402045	33401891
y-Koordinate der WEA in m	5968812	5968554,4	5968300	5968063,563	5967486
Entfernung der WEA vom IO in m	1735	1361	1662	1374	1573
Azimuth der WEA bez. des IO in ° N	84	93	101	113	136
Astron. Beschattungsdauer in h/a	6,9	10,6	7,0	10,8	15,0
Wahrscheinliche Beschattungsdauer in h/a					
Max. Beschattungsdauer in min/d	20,0	26,0	22,0	26,0	24,0
Anzahl der Beschattungstage in d/a	27	32	26	32	51
Beginn Schattenperiode 1	5. Apr.	24. Mrz.	10. Mrz.	22. Feb.	8. Jan.
Ende Schattenperiode 1	17. Apr.	8. Apr.	22. Mrz.	9. Mrz.	2. Feb.
Beginn Schattenperiode 2	27. Aug.	6. Sep.	23. Sep.	6. Okt.	11. Nov.
Ende Schattenperiode 2	9. Sep.	21. Sep.	5. Okt.	21. Okt.	5. Dez.
Tägl. Beginn Schattenperiode 1	5:50	6:22	6:54	7:36	8:56
Tägl. Ende Schattenperiode 1	6:10	6:48	7:16	8:02	9:20
Max. werte	5:50	6:14	6:36	7:10	8:30
Min. werte	6:10	6:40	6:56	7:36	8:54

Projekt		Windpark Wussentin	
Geographische nördl. Breite in °	53,852306	Geographische östl. Länge in °	13,514012
Wetterstation Sonnenscheindauer	Angermünde	Wetterstation Windrichtung	Neustrelitz
Immissionsort (IO)		IO-170	
Bezeichnung	33400770	x-Koordinate in m	5968632
y-Koordinate in m	10,53	z-Koordinate in m	

	WEA ZB01	WEA ZB02	WEA ZB03	WEA ZB04	WEA ZB06															
Windenergieanlage																				
Typ der WEA	Nordex N149/5.X																			
Nabenhöhe in m	164,0	164,0	164,0	164,0	164,0															
Rotordurchm. WEA in m	149,0	149,0	149,0	149,0	149,0															
x-Koordinate der WEA in m	33402487	33402128	33402404	33402045	33401891															
y-Koordinate der WEA in m	5968812	5968554,4	59688300	59688083,583	5967486															
Entfernung der WEA vom IO in m	1726	1360	1667	1388	1603															
Azimet der WEA bez. des IO in ° N	85	94	103	114	137															
Astron. Beschattungsdauer in h/a	6,9	10,4	6,8	10,5	16,1															
Wahrscheinliche Beschattungsdauer in h/a	20,0	26,0	20,0	24,0	24,0															
Max. Beschatt.dauer in min/d	27	32	25	33	56															
Anzahl der Beschattungstage in d/a	2. Apr.	21. Mrz.	8. Mrz.	19. Feb.	3. Jan.															
Jahreszeit	15. Apr.	5. Apr.	19. Mrz.	6. Mrz.	30. Jan.															
Beginn Schattenperiode 1	30. Aug.	9. Sep.	25. Sep.	8. Okt.	13. Nov.															
Ende Schattenperiode 1	11. Sep.	24. Sep.	7. Okt.	24. Okt.	10. Dez.															
Min- und Maxwerte	5:56	6:30	7:00	7:44	9:00															
	6:16	6:56	7:20	8:08	9:24															
	5:54	6:20	6:40	7:16	8:36															
	6:14	6:46	7:02	7:40	9:00															

Projektdaten	
Projekt	Windpark Wussentlin
Geographische nördl. Breite in °	53,852306
Geographische östl. Länge in °	13,514012
Wetterstation Sonnenscheindauer	Angermünde
Wetterstation Windrichtung	Neustrelitz
Immissionsort (IO)	
Bezeichnung	IO-171
x-Koordinate in m	33400724
y-Koordinate in m	5968640
z-Koordinate in m	10,6

	WEA ZB01	WEA ZB02	WEA ZB03	WEA ZB04	WEA ZB06															
Wendenergieanlage	Nordex N149/5.X	Nordex N149/5.X	Nordex N149/5.X	Nordex N149/5.X	Nordex N149/5.X															
Typ der WEA	N149/5.X	N149/5.X	N149/5.X	N149/5.X	N149/5.X															
Nabenhöhe in m	164,0	164,0	164,0	164,0	164,0															
Rotordurchm. WEA in m	149,0	149,0	149,0	149,0	149,0															
x-Koordinate der WEA in m	33402487	33402128	33402404	33402045	33401891															
y-Koordinate der WEA in m	5968812	5968554,4	5968300	5968083,583	5967486															
Entfernung der WEA vom IO in m	1771	1407	1714	1433	1641															
Azimuth der WEA bez. des IO in ° N	86	95	103	114	136															
Astron. Beschattungsdauer in h/a	6,4	9,9	6,6	9,8	14,4															
Wahrscheinliche Beschattungsdauer in h/a	20,0	24,0	20,0	24,0	22,0															
Max. Beschatt.dauer in min/d	25	31	24	30	51															
Anzahl der Beschattungstage in d/a	2. Apr.	20. Mrz.	8. Mrz.	20. Feb.	7. Jan.															
Jahreszeit	13. Apr.	4. Apr.	19. Mrz.	6. Mrz.	31. Jan.															
Beginn Schattenperiode 1	31. Aug.	10. Sep.	26. Sep.	9. Okt.	12. Nov.															
Ende Schattenperiode 1	12. Sep.	24. Sep.	7. Okt.	23. Okt.	7. Dez.															
Min- und Max-werte	Tägl. Beginn Schattenperiode 1 Tägl. Ende Schattenperiode 1	5:58 6:16	6:30 7:20	7:00 8:06	7:42 8:56															
	Tägl. Beginn Schattenperiode 2 Tägl. Ende Schattenperiode 2	5:54 6:14	6:20 6:44	6:40 7:00	7:14 7:38															

Projekt		Windpark Wussentin	
Geographische nördl. Breite in °	53,852306	Geographische östl. Länge in °	13,514012
Wetterstation Sommerscheindauer	Angermünde	Wetterstation Windrichtung	Neustrelitz
Immissionsort (IO)			
Bezeichnung	IO-173	x-Koordinate in m	33400680
y-Koordinate in m	5968712	z-Koordinate in m	10,28

	WEA ZB01	WEA ZB02	WEA ZB03	WEA ZB04	WEA ZB06															
	Nordex N149/5.X	Nordex N149/5.X	Nordex N149/5.X	Nordex N149/5.X	Nordex N149/5.X															
Typ der WEA	N149/5.X	N149/5.X	N149/5.X	N149/5.X	N149/5.X															
Nabenhöhe in m	164,0	164,0	164,0	164,0	164,0															
Rotordurchm. WEA in m	149,0	149,0	149,0	149,0	149,0															
x-Koordinate der WEA in m	33402487	33402128	33402404	33402045	33401891															
y-Koordinate der WEA in m	5968812	5968554,4	5968300	5968083,583	5967486															
Entfernung der WEA vom IO in m	1810	1457	1773	1503	1723															
Azimuth der WEA bez. des IO in ° N	88	97	105	116	137															
Astron. Beschattungsdauer in h/a	6,1	9,0	6,0	9,4	14,5															
Wahrscheinliche Beschattungsdauer in h/a																				
Max. Beschatt.dauer in min/d	20,0	24,0	20,0	24,0	22,0															
Anzahl der Beschattungstage in d/a	24	30	25	32	56															
Jahreszeit																				
Beginn Schattenperiode 1	29. Mrz.	16. Mrz.	4. Mrz.	16. Feb.	2. Jan.															
Ende Schattenperiode 1	9. Apr.	30. Mrz.	16. Mrz.	3. Mrz.	29. Jan.															
Beginn Schattenperiode 2	4. Sep.	15. Sep.	29. Sep.	12. Okt.	14. Nov.															
Ende Schattenperiode 2	15. Sep.	29. Sep.	10. Okt.	27. Okt.	11. Dez.															
Mini- und Max-werte																				
Tägl. Beginn Schattenperiode 1	6:06	6:40	7:08	7:48	8:58															
Tägl. Ende Schattenperiode 1	6:26	7:04	7:28	8:12	9:20															
Tägl. Beginn Schattenperiode 2	6:00	6:26	6:46	7:20	8:36															
Tägl. Ende Schattenperiode 2	6:20	6:50	7:04	7:42	8:58															

Projektdaten	
Projekt	Windpark Wussentfin
Geographische nördl. Breite in °	53,852306
Geographische östl. Länge in °	13,514012
Wetterstation Sonnenscheindauer	Angermünde
Wetterstation Windrichtung	Neustrelitz
Immissionsort (IO)	
Bezeichnung	IO-178
x-Koordinate in m	33400714
y-Koordinate in m	5968751
z-Koordinate in m	10,1

	WEA ZB01	WEA ZB02	WEA ZB03	WEA ZB04	WEA ZB06															
	Nordex		Nordex		Nordex		Nordex		Nordex		Nordex		Nordex		Nordex		Nordex		Nordex	
	Typ der WEA	N149/5.X																		
	Nabenhöhe in m	164,0	164,0	164,0	164,0	164,0	164,0	164,0	164,0	164,0	164,0	164,0	164,0	164,0	164,0	164,0	164,0	164,0	164,0	164,0
	Rotordurchm. WEA in m	149,0	149,0	149,0	149,0	149,0	149,0	149,0	149,0	149,0	149,0	149,0	149,0	149,0	149,0	149,0	149,0	149,0	149,0	149,0
	x-Koordinate der WEA in m	33402487	33402126	33402404	33402045	33401891	33401891	33401891	33401891	33401891	33401891	33401891	33401891	33401891	33401891	33401891	33401891	33401891	33401891	33401891
	y-Koordinate der WEA in m	5968812	5968554,4	5966300	5968063,583	5967486	5967486	5967486	5967486	5967486	5967486	5967486	5967486	5967486	5967486	5967486	5967486	5967486	5967486	5967486
	Entfernung der WEA vom IO in m	1774	1428	1749	1489	1728	1728	1728	1728	1728	1728	1728	1728	1728	1728	1728	1728	1728	1728	1728
	Azmut der WEA bez. des IO in ° N	89	99	106	118	138	138	138	138	138	138	138	138	138	138	138	138	138	138	138
	Astron. Beschattungsdauer in h/a	6,2	9,4	6,4	9,5	18,9														
	Wahrscheinliche Beschattungsdauer in h/a	20,0	24,0	20,0	24,0	22,0														
	Max. Beschatt.dauer in min/d	25	30	26	32	71														
Jahreszeit	Anzahl der Beschattungstage in d/a	27. Mrz.	14. Mrz.	2. Mrz.	13. Feb.	21. Dez.														
	Beginn Schattenperiode 1	8. Apr.	28. Mrz.	14. Mrz.	28. Feb.	26. Jan.														
	Ende Schattenperiode 1	6. Sep.	17. Sep.	1. Okt.	15. Okt.	17. Nov.														
	Beginn Schattenperiode 2	17. Sep.	1. Okt.	13. Okt.	30. Okt.	20. Dez.														
	Ende Schattenperiode 2	6:10	6:46	7:14	7:56	9:00	9:00	9:00	9:00	9:00	9:00	9:00	9:00	9:00	9:00	9:00	9:00	9:00	9:00	9:00
Min- und	Tägl. Beginn Schattenperiode 1	6:30	7:12	7:32	8:18	9:26	9:26	9:26	9:26	9:26	9:26	9:26	9:26	9:26	9:26	9:26	9:26	9:26	9:26	9:26
	Tägl. Ende Schattenperiode 1	6:04	6:32	6:50	7:26	8:42	8:42	8:42	8:42	8:42	8:42	8:42	8:42	8:42	8:42	8:42	8:42	8:42	8:42	8:42
Max-werte	Tägl. Beginn Schattenperiode 2	6:24	6:56	7:10	7:50	9:08	9:08	9:08	9:08	9:08	9:08	9:08	9:08	9:08	9:08	9:08	9:08	9:08	9:08	9:08
	Tägl. Ende Schattenperiode 2																			

Projektdaten	
Projekt	Windpark Wussentin
Geographische nördl. Breite in °	53,852306
Geographische östl. Länge in °	13,514012
Wetterstation Sonnen-scheindauer	Angermünde
Wetterstation Windrichtung	Neustrelitz
Immissionsort (IO)	
Bezeichnung	IO-179
x-Koordinate in m	33400752
y-Koordinate in m	5968725
z-Koordinate in m	10,2

	WEA ZB01	WEA ZB02	WEA ZB03	WEA ZB04	WEA ZB06														
	Nordex N149/5.X	Nordex N149/5.X	Nordex N149/5.X	Nordex N149/5.X	Nordex N149/5.X														
Typ der WEA	N149/5.X	N149/5.X	N149/5.X	N149/5.X	N149/5.X														
Nabenhöhe in m	164,0	164,0	164,0	164,0	164,0														
Rotordurchm. WEA in m	149,0	149,0	149,0	149,0	149,0														
x-Koordinate der WEA in m	33402487	33402128	33402404	33402045	33401891														
y-Koordinate der WEA in m	5968812	5968554,4	5968300	5968083,563	5967486														
Entfernung der WEA vom IO in m	1737	1387	1706	1443	1683														
Azimuth der WEA bez. des IO in ° N	88	98	106	118	139														
Astron. Beschattungsdauer in h/a	6,6	9,9	6,6	10,1	20,0														
Wahrscheinliche Beschattungsdauer in h/a	20,0	24,0	20,0	24,0	22,0														
Max. Beschattungsdauer in min/d	25	32	26	32	71														
Anzahl der Beschattungstage in d/a	29. Mrz.	15. Mrz.	3. Mrz.	14. Feb.	21. Dez.														
Beginn Schattenperiode 1	9. Apr.	30. Mrz.	15. Mrz.	1. Mrz.	26. Jan.														
Ende Schattenperiode 1	4. Sep.	15. Sep.	30. Sep.	14. Okt.	17. Nov.														
Beginn Schattenperiode 2	16. Sep.	30. Sep.	12. Okt.	29. Okt.	20. Dez.														
Ende Schattenperiode 2																			
Min- und Max-werte	6:08 6:28 6:02 6:22	6:44 7:08 6:30 6:54	7:12 7:32 6:48 7:08	7:54 8:18 7:26 7:50	9:00 9:28 8:44 9:10														

Projekt		Windpark Wussetin	
Geographische nördl. Breite in °	53,852306	Geographische östl. Länge in °	13,514012
Wetterstation Sonnenscheindauer	Angermünde	Wetterstation Windrichtung	Neustrelitz
Immissionsort (IO)		IO-180	
Bezeichnung	33400808	x-Koordinate in m	5968655
y-Koordinate in m	10,33	z-Koordinate in m	

	WEA ZB01	WEA ZB02	WEA ZB03	WEA ZB04	WEA ZB06															
	Nordex N149/5.X	Nordex N149/5.X	Nordex N149/5.X	Nordex N149/5.X	Nordex N149/5.X															
Typ der WEA	N149/5.X	N149/5.X	N149/5.X	N149/5.X	N149/5.X															
Nabenhöhe in m	164,0	164,0	164,0	164,0	164,0															
Rotordurchm. WEA in m	149,0	149,0	149,0	149,0	149,0															
x-Koordinate der WEA in m	33402487	33402128	33402404	33402045	33401891															
y-Koordinate der WEA in m	5968812	5968554,4	5968300	5968063,583	5967486															
Entfernung der WEA vom IO in m	1686	1324	1635	1363	1594															
Azimuth der WEA bez. des IO in ° N	86	96	104	116	138															
Astron. Beschattungsdauer in h/a	7,1	11,0	7,2	11,1	20,6															
Wahrscheinliche Beschattungsdauer in h/a	20,0	26,0	22,0	26,0	24,0															
Max. Beschatt.dauer in mind	27	33	27	34	75															
Anzahl der Beschattungstage in d/a																				
Jahreszeit																				
Beginn Schattenperiode 1	2. Apr.	19. Mrz.	6. Mrz.	17. Feb.	21. Dez.															
Ende Schattenperiode 1	14. Apr.	4. Apr.	18. Mrz.	5. Mrz.	28. Jan.															
Beginn Schattenperiode 2	30. Aug.	10. Sep.	26. Sep.	10. Okt.	15. Nov.															
Ende Schattenperiode 2	12. Sep.	25. Sep.	9. Okt.	26. Okt.	20. Dez.															
Min- und	5:58	6:34	7:04	7:48	9:02															
Tägl. Beginn Schattenperiode 1	6:18	7:00	7:26	8:14	9:28															
Max- und	5:56	6:22	6:44	7:20	8:42															
Tägl. Beginn Schattenperiode 2	6:16	6:48	7:04	7:46	9:08															
Max- und																				
Tägl. Ende Schattenperiode 2																				
Min- und																				
Tägl. Ende Schattenperiode 1																				
Max- und																				
Tägl. Beginn Schattenperiode 1																				
Max- und																				
Tägl. Ende Schattenperiode 2																				

Projektdaten	
Projekt	Windpark Wussentin
Geographische nördl. Breite in °	53,852306
Geographische östl. Länge in °	13,514012
Wetterstation Sonnenscheindauer	Angermünde
Wetterstation Windrichtung	Neustrelitz
Immissionsort (IO)	
Bezeichnung	IO-182
x-Koordinate in m	33400828
y-Koordinate in m	5968652
z-Koordinate in m	10,29

	WEA ZB01	WEA ZB02	WEA ZB03	WEA ZB04	WEA ZB06															
Windenergieanlage	Nordex N149/5 X																			
Typ der WEA	N149/5 X																			
Nabenhöhe in m	164,0	164,0	164,0	164,0	164,0															
Rotordurchm. WEA in m	149,0	149,0	149,0	149,0	149,0															
x-Koordinate der WEA in m	33402487	33402128	33402404	33402045	33401891															
y-Koordinate der WEA in m	5968812	596854,4	5968300	5968083,563	5967486															
Entfernung der WEA vom IO in m	1667	1304	1815	1343	1578															
Azimuth der WEA bez. des IO in ° N	86	96	104	116	139															
Astron. Beschattungsdauer in h/a	7,3	11,4	7,4	11,3	21,7															
Wahrscheinliche Beschattungsdauer in h/a																				
Max. Beschatt.dauer in mind	22,0	26,0	22,0	26,0	24,0															
Anzahl der Beschattungstage in d/a	26	33	27	34	74															
Jahreszeit																				
Beginn Schattenperiode 1	2. Apr.	20. Mrz.	6. Mrz.	17. Feb.	21. Dez.															
Ende Schattenperiode 1	14. Apr.	4. Apr.	18. Mrz.	5. Mrz.	28. Jan.															
Beginn Schattenperiode 2	30. Aug.	9. Sep.	26. Sep.	10. Okt.	16. Nov.															
Ende Schattenperiode 2	11. Sep.	25. Sep.	9. Okt.	26. Okt.	20. Dez.															
Tägl. Beginn Schattenperiode 1	5:58	6:34	7:04	7:50	9:02															
Tägl. Ende Schattenperiode 1	6:18	7:00	7:26	8:16	9:30															
Max. werte	5:54	6:22	6:44	7:22	8:44															
Min. werte	6:16	6:50	7:06	7:46	9:12															

Projektdaten	
Projekt	Windpark Wussentfin
Geographische nördl. Breite in °	53,852306
Geographische östl. Länge in °	13,514012
Wetterstation Sommer-scheindauer	Angermünde
Wetterstation Windrichtung	Neustrelitz
Immissionsort (IO)	
Bezeichnung	IO-183
x-Koordinate in m	33400893
y-Koordinate in m	5968638
z-Koordinate in m	10,16

	WEA ZB01	WEA ZB02	WEA ZB03	WEA ZB04	WEA ZB05	WEA ZB06														
	Nordex N149/5.X	Nordex N149/5.X	Nordex N149/5.X	Nordex N149/5.X	Nordex N149/5.X	Nordex N149/5.X														
Typ der WEA	N149/5.X	N149/5.X	N149/5.X	N149/5.X	N149/5.X	N149/5.X														
Nabenhöhe in m	164,0	164,0	164,0	164,0	164,0	164,0														
Rotordurchm. WEA in m	149,0	149,0	149,0	149,0	149,0	149,0														
x-Koordinate der WEA in m	33402487	33402128	33402404	33402045	33402248	33401891														
y-Koordinate der WEA in m	5968812	5968554,4	5968300	5968083,583	5967470	5967486														
Entfernung der WEA vom IO in m	1603	1238	1548	1278	1789	1524														
Azimuth der WEA bez. des IO in ° N	85	95	104	117	132	140														
Astron. Beschattungsdauer in h/a	7,9	12,7	8,0	12,6	9,9	23,8														
Wahrscheinliche Beschattungsdauer in h/a																				
Max. Beschatt.dauer in min/d	22,0	28,0	22,0	26,0	20,0	24,0														
Anzahl der Beschattungstage in d/a	28	35	28	36	39	71														
Beginn Schattenperiode 1	3. Apr.	21. Mrz.	6. Mrz.	16. Feb.	17. Jan.	21. Dez.														
Ende Schattenperiode 1	16. Apr.	6. Apr.	19. Mrz.	5. Mrz.	4. Feb.	26. Jan.														
Beginn Schattenperiode 2	28. Aug.	7. Sep.	25. Sep.	10. Okt.	8. Nov.	17. Nov.														
Ende Schattenperiode 2	10. Sep.	24. Sep.	8. Okt.	27. Okt.	27. Nov.	20. Dez.														
Tägl. Beginn Schattenperiode 1	5:54	6:32	7:04	7:52	8:44	9:04														
Tägl. Ende Schattenperiode 1	6:16	7:00	7:26	8:18	9:04	9:36														
Max.-Tägl. Beginn Schattenperiode 2	5:52	6:22	6:44	7:24	8:16	8:50														
Max.-Tägl. Ende Schattenperiode 2	6:14	6:50	7:06	7:50	8:36	9:20														

Projekt	
Geographische nördl. Breite in °	53,852306
Geographische östl. Länge in °	13,514012
Wetterstation Sonnenscheindauer	Angermünde
Wetterstation Windrichtung	Neustrelitz
Immissionsort (IO)	
Bezeichnung	IO-184
x-Koordinate in m	33400883
y-Koordinate in m	5968579
z-Koordinate in m	10,43

	WEA ZB01	WEA ZB02	WEA ZB03	WEA ZB04	WEA ZB05	WEA ZB06														
Windenergieanlage																				
Typ der WEA	Nordex N149/5.X																			
Nabenhöhe in m	164,0	164,0	164,0	164,0	164,0	164,0														
Rotordurchm. WEA in m	149,0	149,0	149,0	149,0	149,0	149,0														
x-Koordinate der WEA in m	33402487	33402128	33402404	33402045	33402248	33401891														
y-Koordinate der WEA in m	5968812	5968554,4	59688300	5968083,583	5967470	5967486														
Entfernung der WEA vom IO in m	1621	1245	1546	1263	1759	1487														
Azimuth der WEA bez. des IO in ° N	83	92	102	114	130	139														
Astron. Beschattungsdauer in h/a	7,9	12,6	8,0	12,6	9,5	21,4														
Wahrscheinliche Beschattungsdauer in h/a																				
Max. Beschatt.dauer in mind	20,0	28,0	22,0	28,0	20,0	26,0														
Anzahl der Beschattungstage in d/a	30	35	27	36	36	79														
Jahreszeit																				
Beginn Schattenperiode 1	6. Apr.	25. Mrz.	10. Mrz.	20. Feb.	21. Jan.	21. Dez.														
Ende Schattenperiode 1	20. Apr.	10. Apr.	22. Mrz.	9. Mrz.	7. Feb.	30. Jan.														
Beginn Schattenperiode 2	24. Aug.	3. Sep.	22. Sep.	6. Okt.	5. Nov.	13. Nov.														
Ende Schattenperiode 2	7. Sep.	20. Sep.	5. Okt.	23. Okt.	22. Nov.	20. Dez.														
Min- und	5:48	6:22	6:56	7:42	8:38	9:04														
Max- und	6:08	6:50	7:18	8:10	8:58	9:32														
Min- und	5:48	6:14	6:38	7:16	8:10	8:42														
Max- und	6:08	6:42	7:00	7:42	8:30	9:08														

Projektdaten	
Projekt	Windpark Wussentin
Geographische nördl. Breite in °	53,852306
Geographische östl. Länge in °	13,514012
Wetterstation Sonnenscheindauer	Angermünde
Wetterstation Windrichtung	Neustrelitz
Immissionsort (IO)	
Bezeichnung	IO-185
x-Koordinate in m	33400920
y-Koordinate in m	5968551
z-Koordinate in m	10,53

	WEA ZB01	WEA ZB02	WEA ZB03	WEA ZB04	WEA ZB05	WEA ZB06													
	Nordex N149/5.X	Nordex N149/5.X	Nordex N149/5.X	Nordex N149/5.X	Nordex N149/5.X	Nordex N149/5.X													
Typ der WEA	N149/5.X	N149/5.X	N149/5.X	N149/5.X	N149/5.X	N149/5.X													
Nabenhöhe in m	164,0	164,0	164,0	164,0	164,0	164,0													
Rotordurchm. WEA in m	149,0	149,0	149,0	149,0	149,0	149,0													
x-Koordinate der WEA in m	33402487	33402128	33402404	33402045	33402248	33401891													
y-Koordinate der WEA in m	5968812	5968554,4	5968300	5968083,583	5967470	5967486													
Entfernung der WEA vom IO in m	1589	1208	1505	1218	1712	1441													
Azimuth der WEA bez. des IO in ° N	82	91	101	114	130	139													
Astron. Beschattungsdauer in h/a	8,5	13,4	8,4	13,5	10,1	23,2													
Wahrscheinliche Beschattungsdauer in h/a																			
Max. Beschatt.dauer in mind	22,0	28,0	22,0	28,0	22,0	26,0													
Anzahl der Beschattungstage in d/a	30	37	29	37	36	79													
Jahreszeit	8. Apr.	27. Mrz.	11. Mrz.	21. Feb.	21. Jan.	21. Dez.													
Beginn Schattenperiode 1	22. Apr.	13. Apr.	24. Mrz.	10. Mrz.	7. Feb.	30. Jan.													
Ende Schattenperiode 1	22. Aug.	31. Aug.	20. Sep.	4. Okt.	5. Nov.	13. Nov.													
Beginn Schattenperiode 2	5. Sep.	18. Sep.	4. Okt.	22. Okt.	22. Nov.	20. Dez.													
Ende Schattenperiode 2																			
Min- und	5:42	6:16	6:54	7:40	8:38	9:06													
Tägl. Beginn Schattenperiode 1	6:04	6:46	7:16	8:08	9:00	9:34													
Tägl. Ende Schattenperiode 1																			
Max- und	5:44	6:12	6:36	7:14	8:10	8:44													
Tägl. Beginn Schattenperiode 2	6:06	6:40	6:58	7:42	8:30	9:10													
Tägl. Ende Schattenperiode 2																			

Projektdaten	
Projekt	Windpark Wussentfin
Geographische nördl. Breite in °	53,852306
Geographische östl. Länge in °	13,514012
Wetterstation Sonnenscheindauer	Angermünde
Wetterstation Windrichtung	Neustrelitz
Immissionsort (IO)	
Bezeichnung	IO-186
x-Koordinate in m	33400976
y-Koordinate in m	5968552
z-Koordinate in m	10,52

	WEA ZB01 Nordex N149/5.X	WEA ZB02 Nordex N149/5.X	WEA ZB03 Nordex N149/5.X	WEA ZB04 Nordex N149/5.X	WEA ZB05 Nordex N149/5.X	WEA ZB06 Nordex N149/5.X												
Typ der WEA	N149/5.X	N149/5.X	N149/5.X	N149/5.X	N149/5.X	N149/5.X												
Nabenhöhe in m	164,0	164,0	164,0	164,0	164,0	164,0												
Rotordurchm. WEA in m	149,0	149,0	149,0	149,0	149,0	149,0												
x-Koordinate der WEA in m	33402487	33402128	33402404	33402045	33402248	33401891												
y-Koordinate der WEA in m	5968812	5968554,4	5968300	5968063,583	5967470	5967486												
Entfernung der WEA vom IO in m	1533	1152	1450	1167	1670	1405												
Azimuth der WEA bez. des IO in ° N	81	91	101	115	132	141												
Astron. Beschattungsdauer in h/a	9,1	14,8	9,0	14,7	11,2	26,5												
Wahrscheinliche Beschattungsdauer in h/a																		
Max. Beschatt.dauer in mind	22,0	30,0	24,0	30,0	22,0	26,0												
Anzahl der Beschattungstage in d/a	30	39	29	38	40	76												
Jahreszeit																		
Beginn Schattenperiode 1	9. Apr.	27. Mrz.	11. Mrz.	20. Feb.	18. Jan.	21. Dez.												
Ende Schattenperiode 1	23. Apr.	14. Mrz.	24. Mrz.	10. Mrz.	6. Feb.	29. Jan.												
Beginn Schattenperiode 2	21. Aug.	30. Aug.	20. Sep.	5. Okt.	6. Nov.	15. Nov.												
Ende Schattenperiode 2	4. Sep.	18. Sep.	4. Okt.	23. Okt.	25. Nov.	20. Dez.												
Min- und																		
Tägl. Beginn Schattenperiode 1	5:42	6:18	6:54	7:44	8:42	9:06												
Tägl. Ende Schattenperiode 1	6:04	6:46	7:18	8:14	9:04	9:40												
Max- und																		
Tägl. Beginn Schattenperiode 2	5:44	6:12	6:38	7:18	8:14	8:52												
Tägl. Ende Schattenperiode 2	6:06	6:42	7:02	7:48	8:36	9:22												

Projektdaten	
Projekt	Windpark Wussentin
Geographische nördl. Breite in °	53,852306
Geographische östl. Länge in °	13,514012
Wetterstation Sonnenscheindauer	Angermünde
Wetterstation Windrichtung	Neustrelitz
Immissionsort (IO)	
Bezeichnung	IO-187
x-Koordinate in m	33400991
y-Koordinate in m	5968524
z-Koordinate in m	10,66

	WEA ZB01	WEA ZB02	WEA ZB03	WEA ZB04	WEA ZB05	WEA ZB06													
	Nordex N149/5,X	Nordex N149/5,X	Nordex N149/5,X	Nordex N149/5,X	Nordex N149/5,X	Nordex N149/5,X													
Typ der WEA	N149/5,X	N149/5,X	N149/5,X	N149/5,X	N149/5,X	N149/5,X													
Nabenhöhe in m	164,0	164,0	164,0	164,0	164,0	164,0													
Rotordurchm. WEA in m	149,0	149,0	149,0	149,0	149,0	149,0													
x-Koordinate der WEA in m	33402487	33402128	33402404	33402045	33402248	33401891													
y-Koordinate der WEA in m	5968812	596854,4	5968300	5968063,583	5967470	5967486													
Entfernung der WEA vom IO in m	1523	1137	1431	1142	1640	1374													
Azimuth der WEA bez. des IO in ° N	80	90	100	114	131	140													
Astron. Beschattungsdauer in h/a	9,5	15,5	9,3	15,0	11,0	27,1													
Wahrscheinliche Beschattungsdauer in h/a																			
Max. Beschatt.dauer in min/d	24,0	30,0	24,0	30,0	22,0	28,0													
Anzahl der Beschattungslage in dia	32	40	31	38	39	79													
Jahreszeit																			
Beginn Schattenperiode 1	11. Apr.	29. Mrz.	12. Mrz.	22. Feb.	20. Jan.	21. Dez.													
Ende Schattenperiode 1	26. Apr.	17. Apr.	26. Mrz.	12. Mrz.	7. Feb.	30. Jan.													
Beginn Schattenperiode 2	18. Aug.	27. Aug.	18. Sep.	3. Okt.	5. Nov.	13. Nov.													
Ende Schattenperiode 2	2. Sep.	15. Sep.	3. Okt.	21. Okt.	24. Nov.	20. Dez.													
Min- und	5:38	6:12	6:50	7:40	8:42	9:06													
Tägl. Beginn Schattenperiode 1	6:00	6:42	7:16	8:10	9:04	9:40													
Max- und	5:40	6:08	6:34	7:14	8:12	8:50													
Tägl. Beginn Schattenperiode 2	6:04	6:38	6:58	7:46	8:34	9:20													
Max- und																			
Tägl. Ende Schattenperiode 2																			
Min- und																			
Tägl. Ende Schattenperiode 1																			

Projektdaten	
Projekt	Windpark Wussentfin
Geographische nördl. Breite in °	53,852306
Geographische östl. Länge in °	13,514012
Wetterstation Sonnenscheindauer	Angermünde
Wetterstation Windrichtung	Neustrelitz
Immissionsort (IO)	
Bezeichnung	IO-189
x-Koordinate in m	33400738
y-Koordinate in m	59666608
z-Koordinate in m	11,75

	WEA ZB05 Nortex N149/5.X	WEA ZB06 Nortex N149/5.X
Typ der WEA	164,0	164,0
Nabenhöhe in m	149,0	149,0
Rotordurchm. WEA in m	33402248	33401891
x-Koordinate der WEA in m	5967470	5967486
y-Koordinate der WEA in m	1739	1449
Entfernung der WEA vom IO in m	62	54
Azimuth der WEA bez. des IO in ° N	16,0	5,5
Astron. Beschattungsdauer in h/a	22,0	16,0
Wahrscheinliche Beschattungsdauer in h/a	62	27
Max. Beschatt.dauer in min/d		
Anzahl der Beschattungstage in d/a		
Jahreszeit	14. Mai. 13. Jun.	9. Jun. 21. Jun.
Beginn Schattenperiode 1	1. Jul.	22. Jun.
Ende Schattenperiode 1	31. Jul.	5. Jul.
Min- und Max.werte	Tägl. Beginn Schattenperiode 1 Tägl. Ende Schattenperiode 1	4:30 4:52
	Tägl. Beginn Schattenperiode 2 Tägl. Ende Schattenperiode 2	4:40 4:14
		5:00 4:30
		21,5 2,5 22,0 79
		14. Mai. 21. Jun. 22. Jun. 31. Jul.
		4:12 4:52 4:14 5:00

Projektdatei	
Projekt	Windpark Wussentfin
Geographische nördl. Breite in °	53.852306
Geographische östl. Länge in °	13.514012
Wetterstation Sonnenscheindauer	Angermünde
Wetterstation Windrichtung	Neustrelitz
Immissionsort (IO)	
Bezeichnung	IO-190
x-Koordinate in m	33400888
y-Koordinate in m	5966590
z-Koordinate in m	11,84

Windenergieanlage		WEA ZB05
Typ der WEA	Nordex N149/5,X	
Nabenhöhe in m	164,0	
Rotordurchm. WEA in m	149,0	
x-Koordinate der WEA in m	33402248	
y-Koordinate der WEA in m	5967470	
Entfernung der WEA vom IO in m	1537	
Azimat der WEA bez. des IO in ° N	56	
Astron. Beschattungsdauer in h/a	16,0	16,0
Wahrscheinliche Beschattungsdauer in h/a		2,6
Max. Beschatt.dauer in min/d	24,0	24,0
Anzahl der Beschattungstage in d/a	49	49
Jahreszeit		
Beginn Schattenperiode 1	29. Mai.	29. Mai.
Ende Schattenperiode 1	21. Jun.	21. Jun.
Beginn Schattenperiode 2	22. Jun.	22. Jun.
Ende Schattenperiode 2	16. Jul.	16. Jul.
Min- und		
Tägl. Beginn Schattenperiode 1	4:16	4:16
Tägl. Ende Schattenperiode 1	4:40	4:40
Max- und		
Tägl. Beginn Schattenperiode 2	4:18	4:18
Tägl. Ende Schattenperiode 2	4:42	4:42

Projekt		Windpark Wussentin	
Geographische nördl. Breite in °	53,852306	Geographische östl. Länge in °	13,514012
Wetterstation Sonnen scheinendauer	Angermünde	Wetterstation Windrichtung	Neustrelitz
Immissionsort (IO)		IO-197	
Bezeichnung	33400963	x-Koordinate in m	5966544
y-Koordinate in m		z-Koordinate in m	11,64

		WEA ZB05	
Windenergieanlage		Nordex	
Typ der WEA	N149/5 X		
Nabenhöhe in m	154,0		
Rotordurchm. WEA in m	149,0		
x-Koordinate der WEA in m	33402248		
y-Koordinate der WEA in m	5967470		
Entfernung der WEA vom IO in m	1584		
Azimuth der WEA bez. des IO in ° N	55		
Astron. Beschattungsdauer in h/a	13,0		13,0
Wahrscheinliche Beschattungsdauer in h/a			2,2
Max. Beschatt.dauer in min/d	22,0		22,0
Anzahl der Beschattungstage in d/a	43		43
Beginn Schattenperiode 1	1. Jun.		1. Jun.
Ende Schattenperiode 1	21. Jun.		21. Jun.
Beginn Schattenperiode 2	22. Jun.		22. Jun.
Ende Schattenperiode 2	13. Jul.		13. Jul.
Tägl. Beginn Schattenperiode 1	4:14		4:14
Tägl. Ende Schattenperiode 1	4:36		4:36
Tägl. Beginn Schattenperiode 2	4:14		4:14
Tägl. Ende Schattenperiode 2	4:38		4:38
Jahreszeit			
Min- und Max-werte			

Projekt		Windpark Wussentlin
Geographische nördl. Breite in °		53.852306
Geographische östl. Länge in °		13.514012
Wetterstation Sonnenscheindauer		Angermünde
Wetterstation Windrichtung		Neustrelitz
Immissionsort (IO)		
Bezeichnung		IO-198
x-Koordinate in m		33400914
y-Koordinate in m		5966560
z-Koordinate in m		11,62

Windenergieanlage		WEA ZB05
Typ der WEA	Nordex N149/5,X	
Nabenhöhe in m	164,0	
Rotordurchm. WEA in m	149,0	
x-Koordinate der WEA in m	33402248	
y-Koordinate der WEA in m	5867470	
Entfernung der WEA vom IO in m	1615	
Azimet der WEA bez. des IO in ° N	57	
Astron. Beschattungsdauer in h/a	17,6	17,6
Wahrscheinliche Beschattungsdauer in h/a		2,7
Max. Beschatt.dauer in min/d	24,0	24,0
Anzahl der Beschattungstage in d/a	54	54
Jahreszeit		
Beginn Schattenperiode 1	26. Mai.	26. Mai.
Ende Schattenperiode 1	21. Jun.	21. Jun.
Beginn Schattenperiode 2	22. Jun.	22. Jun.
Ende Schattenperiode 2	18. Jul.	18. Jul.
Min- und	Tägl. Beginn Schattenperiode 1	4:18
Max- und	Tägl. Ende Schattenperiode 1	4:42
Min- und	Tägl. Beginn Schattenperiode 2	4:20
Max- und	Tägl. Ende Schattenperiode 2	4:44

9.2 Fotodokumentation

IO-01 Wussentin 25a, Wussentin



IO-02 Wussentin 25, Wussentin



IO-03 Wussentin 24, Wussentin



IO-04 Dersewitz 19, Dersewitz



IO-05 Grüttow 1, Grüttow



IO-06 Grüttow 3, Grüttow



IO-07 Grüttow 4, Grüttow



IO-08 Mühlenstraße 17, Medow



IO-25 Hauptstraße 2, Medow



IO-36 Hauptstraße 6a, Medow



IO-82 Mühlenstraße 10, Medow



IO-97 Kirchstraße 16, Medow



IO-111 Grüttow 5, Grüttow



IO-130 Dersewitz 20, Dersewitz



IO-155 Dersewitz 18, Dersewitz



IO-157 Wussentin 23, Wussentin



IO-159 Wussentin 26, Wussentin



IO-187 Wussentin 20, Wussentin

